

1.- DATOS DE OBRA.....	2
1.1.- Normas consideradas.....	2
1.2.- Estados límite.....	2
1.2.1.- Situaciones de proyecto.....	2
1.2.2.- Combinaciones.....	4
1.3.- Sismo	5
1.3.1.- Datos generales de sismo.....	6
1.4.- Resistencia al fuego.....	6
2.- ESTRUCTURA.....	6
2.1.- Geometría.....	6
2.1.1.- Nudos.....	6
2.1.2.- Barras.....	7
2.2.- Cargas.....	12
2.2.1.- Barras.....	12
2.3.- Resultados.....	13
2.3.1.- Nudos.....	13
2.3.2.- Barras.....	43
2.3.3.- Sismo	140



1.- DATOS DE OBRA

1.1.- Normas consideradas

Aceros laminados y armados: CTE DB SE-A

Hormigón: EHE-08

1.2.- Estados límite

E.L.U. de rotura. Hormigón	CTE
E.L.U. de rotura. Acero laminado	Cota de nieve: Altitud inferior o igual a 1000 m
Desplazamientos	Acciones características

1.2.1.- Situaciones de proyecto

Para las distintas situaciones de proyecto, las combinaciones de acciones se definirán de acuerdo con los siguientes criterios:

- Situaciones persistentes o transitorias

- Con coeficientes de combinación

$$\sum_{j \geq 1} \gamma_{Gj} G_{kj} + \gamma_{Q1} \Psi_{p1} Q_{k1} + \sum_{i > 1} \gamma_{Qi} \Psi_{ai} Q_{ki}$$

- Sin coeficientes de combinación

$$\sum_{j \geq 1} \gamma_{Gj} G_{kj} + \sum_{i \geq 1} \gamma_{Qi} Q_{ki}$$

- Situaciones sísmicas

- Con coeficientes de combinación

$$\sum_{j \geq 1} \gamma_{Gj} G_{kj} + \gamma_{AE} A_E + \sum_{i \geq 1} \gamma_{Qi} \Psi_{ai} Q_{ki}$$

- Sin coeficientes de combinación

$$\sum_{j \geq 1} \gamma_{Gj} G_{kj} + \gamma_{AE} A_E + \sum_{i \geq 1} \gamma_{Qi} Q_{ki}$$

- Donde:

G_k Acción permanente

Q_k Acción variable

A_E Acción sísmica

γ_G Coeficiente parcial de seguridad de las acciones permanentes

$\gamma_{Q,1}$ Coeficiente parcial de seguridad de la acción variable principal

$\gamma_{Q,i}$ Coeficiente parcial de seguridad de las acciones variables de acompañamiento

γ_{AE} Coeficiente parcial de seguridad de la acción sísmica

$\Psi_{p,1}$ Coeficiente de combinación de la acción variable principal

$\Psi_{a,i}$ Coeficiente de combinación de las acciones variables de acompañamiento



Listados

Pórtico frontal 1

Fecha: 10/06/15

Para cada situación de proyecto y estado límite los coeficientes a utilizar serán:

E.L.U. de rotura. Hormigón: EHE-08

Persistente o transitoria				
	Coeficientes parciales de seguridad (γ)		Coeficientes de combinación (ψ)	
	Favorable	Desfavorable	Principal (ψ_p)	Acompañamiento (ψ_a)
Carga permanente (G)	1.000	1.350	-	-
Viento (Q)	0.000	1.500	1.000	0.600

Sísmica				
	Coeficientes parciales de seguridad (γ)		Coeficientes de combinación (ψ)	
	Favorable	Desfavorable	Principal (ψ_p)	Acompañamiento (ψ_a)
Carga permanente (G)	1.000	1.000	-	-
Viento (Q)	0.000	1.000	0.000	0.000
Sismo (E)	-1.000	1.000	1.000	0.300 ⁽¹⁾
Notas: ⁽¹⁾ Fracción de las solicitaciones sísmicas a considerar en la dirección ortogonal: Las solicitaciones obtenidas de los resultados del análisis en cada una de las direcciones ortogonales se combinarán con el 30 % de los de la otra.				

E.L.U. de rotura. Acero laminado: CTE DB SE-A

Persistente o transitoria				
	Coeficientes parciales de seguridad (γ)		Coeficientes de combinación (ψ)	
	Favorable	Desfavorable	Principal (ψ_p)	Acompañamiento (ψ_a)
Carga permanente (G)	0.800	1.350	-	-
Viento (Q)	0.000	1.500	1.000	0.600

Sísmica				
	Coeficientes parciales de seguridad (γ)		Coeficientes de combinación (ψ)	
	Favorable	Desfavorable	Principal (ψ_p)	Acompañamiento (ψ_a)
Carga permanente (G)	1.000	1.000	-	-
Viento (Q)	0.000	1.000	0.000	0.000
Sismo (E)	-1.000	1.000	1.000	0.300 ⁽¹⁾
Notas: ⁽¹⁾ Fracción de las solicitaciones sísmicas a considerar en la dirección ortogonal: Las solicitaciones obtenidas de los resultados del análisis en cada una de las direcciones ortogonales se combinarán con el 30 % de los de la otra.				

Accidental de incendio				
	Coeficientes parciales de seguridad (γ)		Coeficientes de combinación (ψ)	
	Favorable	Desfavorable	Principal (ψ_p)	Acompañamiento (ψ_a)
Carga permanente (G)	1.000	1.000	-	-
Viento (Q)	0.000	1.000	0.500	0.000



Listados

Pórtico frontal 1

Fecha: 10/06/15

Desplazamientos

Característica		
	Coeficientes parciales de seguridad (γ)	
	Favorable	Desfavorable
Carga permanente (G)	1.000	1.000
Viento (Q)	0.000	1.000

Sísmica		
	Coeficientes parciales de seguridad (γ)	
	Favorable	Desfavorable
Carga permanente (G)	1.000	1.000
Viento (Q)		
Sismo (E)	-1.000	1.000

1.2.2.- Combinaciones

▪ Nombres de las hipótesis

G Carga permanente
V(0°) H1 Viento a 0°
V(180°) H2 Viento a 180°
SX Sismo X
SY Sismo Y

▪ E.L.U. de rotura. Hormigón

Comb.	G	V(0°) H1	V(180°) H2	SX	SY
1	1.000				
2	1.350				
3	1.000	1.500			
4	1.350	1.500			
5	1.000		1.500		
6	1.350		1.500		
7	1.000			-0.300	-1.000
8	1.000			0.300	-1.000
9	1.000			-0.300	1.000
10	1.000			0.300	1.000
11	1.000			-1.000	-0.300
12	1.000			1.000	-0.300
13	1.000			-1.000	0.300
14	1.000			1.000	0.300



Listados

Pórtico frontal 1

Fecha: 10/06/15

▪ E.L.U. de rotura. Acero laminado

1. Coeficientes para situaciones persistentes o transitorias y sísmicas

Comb.	G	V(0°) H1	V(180°) H2	SX	SY
1	0.800				
2	1.350				
3	0.800	1.500			
4	1.350	1.500			
5	0.800		1.500		
6	1.350		1.500		
7	1.000			-0.300	-1.000
8	1.000			0.300	-1.000
9	1.000			-0.300	1.000
10	1.000			0.300	1.000
11	1.000			-1.000	-0.300
12	1.000			1.000	-0.300
13	1.000			-1.000	0.300
14	1.000			1.000	0.300

2. Coeficientes para situaciones accidentales de incendio

Comb.	G	V(0°) H1	V(180°) H2	SX	SY
1	1.000				
2	1.000	0.500			
3	1.000		0.500		

▪ Desplazamientos

Comb.	G	V(0°) H1	V(180°) H2	SX	SY
1	1.000				
2	1.000	1.000			
3	1.000		1.000		
4	1.000			-1.000	
5	1.000			1.000	
6	1.000				-1.000
7	1.000				1.000

1.3.- Sismo

Norma utilizada: NCSE-02

Norma de Construcción Sismorresistente NCSE-02

Método de cálculo: Análisis mediante espectros de respuesta (NCSE-02, 3.6.2)



1.3.1.- Datos generales de sismo

Caracterización del emplazamiento

a_b : Aceleración básica (NCSE-02, 2.1 y Anejo 1)

a_b : 0.060 g

K: Coeficiente de contribución (NCSE-02, 2.1 y Anejo 1)

K : 1.00

Tipo de suelo (NCSE-02, 2.4): Tipo II

Sistema estructural

Ductilidad (NCSE-02, Tabla 3.1): Ductilidad baja

W: Amortiguamiento (NCSE-02, Tabla 3.1)

W : 5.00 %

Tipo de construcción (NCSE-02, 2.2): Construcciones de importancia normal

Parámetros de cálculo

Número de modos

: 6.00

Fracción de sobrecarga de uso

: 0.60

Fracción de sobrecarga de nieve

: 0.50

No se realiza análisis de los efectos de 2º orden

Direcciones de análisis

Acción sísmica según X

Acción sísmica según Y

1.4.- Resistencia al fuego

Perfiles de acero

Norma: CTE DB SI. Anejo D: Resistencia al fuego de los elementos de acero.

Resistencia requerida: R 90

Revestimiento de protección: Pintura intumescente

Densidad: 0.0 kg/m³

Conductividad: 0.01 W/(m·K)

Calor específico: 0.00 J/(kg·K)

El espesor mínimo necesario de revestimiento para cada barra se indica en la tabla de comprobación de resistencia.

2.- ESTRUCTURA

2.1.- Geometría

2.1.1.- Nudos

Referencias:

Δ_x , Δ_y , Δ_z : Desplazamientos prescritos en ejes globales.

θ_x , θ_y , θ_z : Giros prescritos en ejes globales.

Cada grado de libertad se marca con 'X' si está coaccionado y, en caso contrario, con '-'.

Nudos										
Referencia	Coordenadas			Vinculación exterior						Vinculación interior
	X (m)	Y (m)	Z (m)	Δ_x	Δ_y	Δ_z	θ_x	θ_y	θ_z	
N1	0.000	0.000	0.000	X	X	X	X	X	X	Empotrado
N2	0.000	0.000	7.000	-	-	-	-	-	-	Empotrado



Listados

Pórtico frontal 1

Fecha: 10/06/15

Referencia	Nudos									
	Coordenadas			Vinculación exterior						Vinculación interior
	X (m)	Y (m)	Z (m)	Δ_x	Δ_y	Δ_z	θ_x	θ_y	θ_z	
N3	0.000	5.000	0.000	X	X	X	X	X	X	Empotrado
N4	0.000	5.000	7.000	-	-	-	-	-	-	Empotrado
N5	0.000	10.000	0.000	X	X	X	X	X	X	Empotrado
N6	0.000	10.000	7.000	-	-	-	-	-	-	Empotrado
N7	0.000	14.620	7.000	-	-	-	-	-	-	Empotrado
N8	0.000	14.620	0.000	X	X	X	X	X	X	Empotrado
N9	0.000	19.240	7.000	-	-	-	-	-	-	Empotrado
N10	0.000	19.240	0.000	X	X	X	X	X	X	Empotrado
N11	0.000	23.860	7.000	-	-	-	-	-	-	Empotrado
N12	0.000	23.860	0.000	X	X	X	X	X	X	Empotrado
N13	0.000	28.480	7.000	-	-	-	-	-	-	Empotrado
N14	0.000	28.480	0.000	X	X	X	X	X	X	Empotrado
N15	0.000	33.100	7.000	-	-	-	-	-	-	Empotrado
N16	0.000	33.100	0.000	X	X	X	X	X	X	Empotrado
N17	0.000	37.720	7.000	-	-	-	-	-	-	Empotrado
N18	0.000	37.720	0.000	X	X	X	X	X	X	Empotrado
N19	0.000	42.340	7.000	-	-	-	-	-	-	Empotrado
N20	0.000	42.340	0.000	X	X	X	X	X	X	Empotrado
N21	0.000	0.000	3.500	-	-	-	-	-	-	Empotrado
N22	0.000	42.340	3.500	-	-	-	-	-	-	Empotrado
N23	0.000	5.000	3.500	-	-	-	-	-	-	Empotrado
N24	0.000	10.000	3.500	-	-	-	-	-	-	Empotrado
N25	0.000	14.620	3.500	-	-	-	-	-	-	Empotrado
N26	0.000	19.240	3.500	-	-	-	-	-	-	Empotrado
N27	0.000	23.860	3.500	-	-	-	-	-	-	Empotrado
N28	0.000	28.480	3.500	-	-	-	-	-	-	Empotrado
N29	0.000	33.100	3.500	-	-	-	-	-	-	Empotrado
N30	0.000	37.720	3.500	-	-	-	-	-	-	Empotrado

2.1.2.- Barras

2.1.2.1.- Materiales utilizados

Materiales utilizados							
Material		E (MPa)	ν	G (MPa)	f_y (MPa)	α_t (m/m°C)	γ (kN/m³)
Tipo	Designación						
Acero laminado	S275	210000.00	0.300	81000.00	275.00	0.000012	77.01
Hormigón	HA-30, $Y_c=1.5$	28577.00	0.200	11907.08	-	0.000010	24.53
Notación: E: Módulo de elasticidad ν : Módulo de Poisson G: Módulo de cortadura f_y : Límite elástico α_t : Coeficiente de dilatación γ : Peso específico							



Listados

Pórtico frontal 1

Fecha: 10/06/15

2.1.2.2.- Descripción

Descripción									
Material		Barra (Ni/Nf)	Pieza (Ni/Nf)	Perfil(Serie)	Longitud (m)	β_{xy}	β_{xz}	Lb _{Sup.} (m)	Lb _{Inf.} (m)
Tipo	Designación								
Acero laminado	S275	N2/N4	N2/N4	HE 180 B (HEB)	5.000	0.50	0.50	-	-
		N4/N6	N4/N6	HE 180 B (HEB)	5.000	0.50	0.50	-	-
		N6/N7	N6/N7	HE 180 B (HEB)	4.620	0.50	0.50	-	-
		N7/N9	N7/N9	HE 180 B (HEB)	4.620	0.50	0.50	-	-
		N9/N11	N9/N11	HE 180 B (HEB)	4.620	0.50	0.50	-	-
		N11/N13	N11/N13	HE 180 B (HEB)	4.620	0.50	0.50	-	-
		N13/N15	N13/N15	HE 180 B (HEB)	4.620	0.50	0.50	-	-
		N15/N17	N15/N17	HE 180 B (HEB)	4.620	0.50	0.50	-	-
		N17/N19	N17/N19	HE 180 B (HEB)	4.620	0.50	0.50	-	-
		N1/N23	N1/N23	Ø12 (Redondos)	6.103	0.00	0.00	-	-
		N23/N2	N23/N2	Ø12 (Redondos)	6.103	0.00	0.00	-	-
		N21/N4	N21/N4	Ø12 (Redondos)	6.103	0.00	0.00	-	-
		N3/N21	N3/N21	Ø12 (Redondos)	6.103	0.00	0.00	-	-
		N21/N23	N21/N23	HE 180 B (HEB)	5.000	0.50	0.50	-	-
		N23/N24	N23/N24	HE 180 B (HEB)	5.000	0.50	0.50	-	-
		N24/N25	N24/N25	HE 180 B (HEB)	4.620	0.50	0.50	-	-
		N25/N26	N25/N26	HE 180 B (HEB)	4.620	0.50	0.50	-	-
		N26/N27	N26/N27	HE 180 B (HEB)	4.620	0.50	0.50	-	-
		N27/N28	N27/N28	HE 180 B (HEB)	4.620	0.50	0.50	-	-
		N28/N29	N28/N29	HE 180 B (HEB)	4.620	0.50	0.50	-	-
		N29/N30	N29/N30	HE 180 B (HEB)	4.620	0.50	0.50	-	-
		N30/N22	N30/N22	HE 180 B (HEB)	4.620	0.50	0.50	-	-
		N18/N22	N18/N22	Ø12 (Redondos)	5.796	0.00	0.00	-	-
		N22/N17	N22/N17	Ø12 (Redondos)	5.796	0.00	0.00	-	-
		N30/N19	N30/N19	Ø12 (Redondos)	5.796	0.00	0.00	-	-
		N20/N30	N20/N30	Ø12 (Redondos)	5.796	0.00	0.00	-	-
Hormigón	HA-30, Yc=1.5	N21/N2	N21/N2	50 cm x 50 cm (Rectangular)	3.500	2.00	0.70	-	-
		N23/N4	N23/N4	50 cm x 50 cm (Rectangular)	3.500	2.00	0.70	-	-
		N24/N6	N24/N6	50 cm x 50 cm (Rectangular)	3.500	2.00	0.70	-	-
		N25/N7	N25/N7	50 cm x 50 cm (Rectangular)	3.500	2.00	0.70	-	-
		N26/N9	N26/N9	50 cm x 50 cm (Rectangular)	3.500	2.00	0.70	-	-
		N27/N11	N27/N11	50 cm x 50 cm (Rectangular)	3.500	2.00	0.70	-	-
		N28/N13	N28/N13	50 cm x 50 cm (Rectangular)	3.500	2.00	0.70	-	-
		N29/N15	N29/N15	50 cm x 50 cm (Rectangular)	3.500	2.00	0.70	-	-
		N30/N17	N30/N17	50 cm x 50 cm (Rectangular)	3.500	2.00	0.70	-	-



Listados

Pórtico frontal 1

Fecha: 10/06/15

Descripción									
Material		Barra (Ni/Nf)	Pieza (Ni/Nf)	Perfil(Serie)	Longitud (m)	β_{xy}	β_{xz}	Lb _{Sup.} (m)	Lb _{Inf.} (m)
Tipo	Designación								
		N22/N19	N22/N19	50 cm x 50 cm (Rectangular)	3.500	2.00	0.70	-	-
		N1/N21	N1/N21	50 cm x 50 cm (Rectangular)	3.500	2.00	0.70	-	-
		N3/N23	N3/N23	50 cm x 50 cm (Rectangular)	3.500	2.00	0.70	-	-
		N5/N24	N5/N24	50 cm x 50 cm (Rectangular)	3.500	2.00	0.70	-	-
		N8/N25	N8/N25	50 cm x 50 cm (Rectangular)	3.500	2.00	0.70	-	-
		N10/N26	N10/N26	50 cm x 50 cm (Rectangular)	3.500	2.00	0.70	-	-
		N12/N27	N12/N27	50 cm x 50 cm (Rectangular)	3.500	2.00	0.70	-	-
		N14/N28	N14/N28	50 cm x 50 cm (Rectangular)	3.500	2.00	0.70	-	-
		N16/N29	N16/N29	50 cm x 50 cm (Rectangular)	3.500	2.00	0.70	-	-
		N18/N30	N18/N30	50 cm x 50 cm (Rectangular)	3.500	2.00	0.70	-	-
		N20/N22	N20/N22	50 cm x 50 cm (Rectangular)	3.500	2.00	0.70	-	-
Notación: Ni: Nudo inicial Nf: Nudo final β_{xy} : Coeficiente de pandeo en el plano 'XY' β_{xz} : Coeficiente de pandeo en el plano 'XZ' Lb _{Sup.} : Separación entre arriostramientos del ala superior Lb _{Inf.} : Separación entre arriostramientos del ala inferior									

2.1.2.3.- Características mecánicas

Tipos de pieza	
Ref.	Piezas
1	N2/N4, N4/N6, N6/N7, N7/N9, N9/N11, N11/N13, N13/N15, N15/N17, N17/N19, N21/N23, N23/N24, N24/N25, N25/N26, N26/N27, N27/N28, N28/N29, N29/N30 y N30/N22
2	N1/N23, N23/N2, N21/N4, N3/N21, N18/N22, N22/N17, N30/N19 y N20/N30
3	N21/N2, N23/N4, N24/N6, N25/N7, N26/N9, N27/N11, N28/N13, N29/N15, N30/N17, N22/N19, N1/N21, N3/N23, N5/N24, N8/N25, N10/N26, N12/N27, N14/N28, N16/N29, N18/N30 y N20/N22

Características mecánicas									
Material		Ref.	Descripción	A (cm ²)	A _{vy} (cm ²)	A _{vz} (cm ²)	I _{yy} (cm ⁴)	I _{zz} (cm ⁴)	I _t (cm ⁴)
Tipo	Designación								
Acero laminado	S275	1	HE 180 B , (HEB)	65.30	37.80	11.63	3831.00	1363.00	42.16
		2	Ø12, (Redondos)	1.13	1.02	1.02	0.10	0.10	0.20
Hormigón	HA-30, Y _c =1.5	3	50 cm x 50 cm, (Rectangular)	2500.00	2083.33	2083.33	520833.33	520833.33	875000.00
Notación: Ref.: Referencia A: Área de la sección transversal A _{vy} : Área de cortante de la sección según el eje local 'Y' A _{vz} : Área de cortante de la sección según el eje local 'Z' I _{yy} : Inercia de la sección alrededor del eje local 'Y' I _{zz} : Inercia de la sección alrededor del eje local 'Z' I _t : Inercia a torsión Las características mecánicas de las piezas corresponden a la sección en el punto medio de las mismas.									



Listados

Pórtico frontal 1

Fecha: 10/06/15

2.1.2.4.- Tabla de medición

Tabla de medición						
Material		Pieza (Ni/Nf)	Perfil(Serie)	Longitud (m)	Volumen (m³)	Peso (kg)
Tipo	Designación					
Acero laminado	S275	N2/N4	HE 180 B (HEB)	5.000	0.033	256.30
		N4/N6	HE 180 B (HEB)	5.000	0.033	256.30
		N6/N7	HE 180 B (HEB)	4.620	0.030	236.82
		N7/N9	HE 180 B (HEB)	4.620	0.030	236.82
		N9/N11	HE 180 B (HEB)	4.620	0.030	236.82
		N11/N13	HE 180 B (HEB)	4.620	0.030	236.82
		N13/N15	HE 180 B (HEB)	4.620	0.030	236.82
		N15/N17	HE 180 B (HEB)	4.620	0.030	236.82
		N17/N19	HE 180 B (HEB)	4.620	0.030	236.82
		N1/N23	Ø12 (Redondos)	6.103	0.001	5.42
		N23/N2	Ø12 (Redondos)	6.103	0.001	5.42
		N21/N4	Ø12 (Redondos)	6.103	0.001	5.42
		N3/N21	Ø12 (Redondos)	6.103	0.001	5.42
		N21/N23	HE 180 B (HEB)	5.000	0.033	256.30
		N23/N24	HE 180 B (HEB)	5.000	0.033	256.30
		N24/N25	HE 180 B (HEB)	4.620	0.030	236.82
		N25/N26	HE 180 B (HEB)	4.620	0.030	236.82
		N26/N27	HE 180 B (HEB)	4.620	0.030	236.82
		N27/N28	HE 180 B (HEB)	4.620	0.030	236.82
		N28/N29	HE 180 B (HEB)	4.620	0.030	236.82
		N29/N30	HE 180 B (HEB)	4.620	0.030	236.82
		N30/N22	HE 180 B (HEB)	4.620	0.030	236.82
		N18/N22	Ø12 (Redondos)	5.796	0.001	5.15
		N22/N17	Ø12 (Redondos)	5.796	0.001	5.15
		N30/N19	Ø12 (Redondos)	5.796	0.001	5.15
		N20/N30	Ø12 (Redondos)	5.796	0.001	5.15
Hormigón	HA-30, Yc=1.5	N21/N2	50 cm x 50 cm (Rectangular)	3.500	0.875	2187.50
		N23/N4	50 cm x 50 cm (Rectangular)	3.500	0.875	2187.50
		N24/N6	50 cm x 50 cm (Rectangular)	3.500	0.875	2187.50
		N25/N7	50 cm x 50 cm (Rectangular)	3.500	0.875	2187.50
		N26/N9	50 cm x 50 cm (Rectangular)	3.500	0.875	2187.50
		N27/N11	50 cm x 50 cm (Rectangular)	3.500	0.875	2187.50
		N28/N13	50 cm x 50 cm (Rectangular)	3.500	0.875	2187.50
		N29/N15	50 cm x 50 cm (Rectangular)	3.500	0.875	2187.50
		N30/N17	50 cm x 50 cm (Rectangular)	3.500	0.875	2187.50
		N22/N19	50 cm x 50 cm (Rectangular)	3.500	0.875	2187.50



Listados

Pórtico frontal 1

Fecha: 10/06/15

Tabla de medición						
Material		Pieza (Ni/Nf)	Perfil(Serie)	Longitud (m)	Volumen (m³)	Peso (kg)
Tipo	Designación					
		N1/N21	50 cm x 50 cm (Rectangular)	3.500	0.875	2187.50
		N3/N23	50 cm x 50 cm (Rectangular)	3.500	0.875	2187.50
		N5/N24	50 cm x 50 cm (Rectangular)	3.500	0.875	2187.50
		N8/N25	50 cm x 50 cm (Rectangular)	3.500	0.875	2187.50
		N10/N26	50 cm x 50 cm (Rectangular)	3.500	0.875	2187.50
		N12/N27	50 cm x 50 cm (Rectangular)	3.500	0.875	2187.50
		N14/N28	50 cm x 50 cm (Rectangular)	3.500	0.875	2187.50
		N16/N29	50 cm x 50 cm (Rectangular)	3.500	0.875	2187.50
		N18/N30	50 cm x 50 cm (Rectangular)	3.500	0.875	2187.50
		N20/N22	50 cm x 50 cm (Rectangular)	3.500	0.875	2187.50
Notación: Ni: Nudo inicial Nf: Nudo final						

2.1.2.5.- Resumen de medición

Resumen de medición												
Material		Serie	Perfil	Longitud			Volumen			Peso		
Tipo	Designación			Perfil (m)	Serie (m)	Material (m)	Perfil (m³)	Serie (m³)	Material (m³)	Perfil (kg)	Serie (kg)	Material (kg)
Acero laminado	S275	HEB	HE 180 B	84.680			0.553			4340.74		
		Redondos	Ø12	47.597	84.680		0.005	0.553		42.26	4340.74	
					47.597			0.005			42.26	
						132.277			0.558			4383.00
Hormigón	HA-30, Yc=1.5	Rectangular	50 cm x 50 cm	70.000	70.000	70.000	17.500	17.500	17.500	43750.00	43750.00	43750.00

2.1.2.6.- Medición de superficies

Acero laminado: Medición de las superficies a pintar				
Serie	Perfil	Superficie unitaria (m²/m)	Longitud (m)	Superficie (m²)
HEB	HE 180 B	1.063	84.680	90.015
Redondos	Ø12	0.038	47.597	1.794
Total				91.809

Hormigón: Medición de las superficies de encofrado				
Serie	Perfil	Superficie unitaria (m²/m)	Longitud (m)	Superficie (m²)
Rectangular	50 cm x 50 cm	2.000	70.000	140.000
Total				140.000



2.2.- Cargas

2.2.1.- Barras

Referencias:

'P1', 'P2':

- Cargas puntuales, uniformes, en faja y momentos puntuales: 'P1' es el valor de la carga. 'P2' no se utiliza.
- Cargas trapezoidales: 'P1' es el valor de la carga en el punto donde comienza (L1) y 'P2' es el valor de la carga en el punto donde termina (L2).
- Cargas triangulares: 'P1' es el valor máximo de la carga. 'P2' no se utiliza.
- Incrementos de temperatura: 'P1' y 'P2' son los valores de la temperatura en las caras exteriores o paramentos de la pieza. La orientación de la variación del incremento de temperatura sobre la sección transversal dependerá de la dirección seleccionada.

'L1', 'L2':

- Cargas y momentos puntuales: 'L1' es la distancia entre el nudo inicial de la barra y la posición donde se aplica la carga. 'L2' no se utiliza.
- Cargas trapezoidales, en faja, y triangulares: 'L1' es la distancia entre el nudo inicial de la barra y la posición donde comienza la carga, 'L2' es la distancia entre el nudo inicial de la barra y la posición donde termina la carga.

Unidades:

- Cargas puntuales: kN
- Momentos puntuales: kN·m.
- Cargas uniformes, en faja, triangulares y trapezoidales: kN/m.
- Incrementos de temperatura: °C.

Cargas en barras										
Barra	Hipótesis	Tipo	Valores		Posición		Dirección			
			P1	P2	L1 (m)	L2 (m)	Ejes	X	Y	Z
N2/N4	Carga permanente	Uniforme	0.503	-	-	-	Globales	0.000	0.000	-1.000
N4/N6	Carga permanente	Uniforme	0.503	-	-	-	Globales	0.000	0.000	-1.000
N6/N7	Carga permanente	Uniforme	0.503	-	-	-	Globales	0.000	0.000	-1.000
N7/N9	Carga permanente	Uniforme	0.503	-	-	-	Globales	0.000	0.000	-1.000
N9/N11	Carga permanente	Uniforme	0.503	-	-	-	Globales	0.000	0.000	-1.000
N11/N13	Carga permanente	Uniforme	0.503	-	-	-	Globales	0.000	0.000	-1.000
N13/N15	Carga permanente	Uniforme	0.503	-	-	-	Globales	0.000	0.000	-1.000
N15/N17	Carga permanente	Uniforme	0.503	-	-	-	Globales	0.000	0.000	-1.000
N17/N19	Carga permanente	Uniforme	0.503	-	-	-	Globales	0.000	0.000	-1.000
N21/N23	Carga permanente	Uniforme	0.503	-	-	-	Globales	0.000	0.000	-1.000
N23/N24	Carga permanente	Uniforme	0.503	-	-	-	Globales	0.000	0.000	-1.000
N24/N25	Carga permanente	Uniforme	0.503	-	-	-	Globales	0.000	0.000	-1.000
N25/N26	Carga permanente	Uniforme	0.503	-	-	-	Globales	0.000	0.000	-1.000
N26/N27	Carga permanente	Uniforme	0.503	-	-	-	Globales	0.000	0.000	-1.000
N27/N28	Carga permanente	Uniforme	0.503	-	-	-	Globales	0.000	0.000	-1.000
N28/N29	Carga permanente	Uniforme	0.503	-	-	-	Globales	0.000	0.000	-1.000
N29/N30	Carga permanente	Uniforme	0.503	-	-	-	Globales	0.000	0.000	-1.000
N30/N22	Carga permanente	Uniforme	0.503	-	-	-	Globales	0.000	0.000	-1.000
N21/N2	Carga permanente	Uniforme	6.131	-	-	-	Globales	0.000	0.000	-1.000
N21/N2	V(0°) H1	Uniforme	4.745	-	-	-	Globales	0.000	1.000	0.000
N21/N2	V(180°) H2	Uniforme	2.080	-	-	-	Globales	0.000	-1.000	0.000



Listados

Pórtico frontal 1

Fecha: 10/06/15

Cargas en barras										
Barra	Hipótesis	Tipo	Valores		Posición		Dirección			
			P1	P2	L1 (m)	L2 (m)	Ejes	X	Y	Z
N23/N4	Carga permanente	Uniforme	6.131	-	-	-	Globales	0.000	0.000	-1.000
N24/N6	Carga permanente	Uniforme	6.131	-	-	-	Globales	0.000	0.000	-1.000
N25/N7	Carga permanente	Uniforme	6.131	-	-	-	Globales	0.000	0.000	-1.000
N26/N9	Carga permanente	Uniforme	6.131	-	-	-	Globales	0.000	0.000	-1.000
N27/N11	Carga permanente	Uniforme	6.131	-	-	-	Globales	0.000	0.000	-1.000
N28/N13	Carga permanente	Uniforme	6.131	-	-	-	Globales	0.000	0.000	-1.000
N29/N15	Carga permanente	Uniforme	6.131	-	-	-	Globales	0.000	0.000	-1.000
N30/N17	Carga permanente	Uniforme	6.131	-	-	-	Globales	0.000	0.000	-1.000
N22/N19	Carga permanente	Uniforme	6.131	-	-	-	Globales	0.000	0.000	-1.000
N22/N19	V(0°) H1	Uniforme	2.080	-	-	-	Globales	0.000	1.000	0.000
N22/N19	V(180°) H2	Uniforme	4.745	-	-	-	Globales	0.000	-1.000	0.000
N1/N21	Carga permanente	Uniforme	6.131	-	-	-	Globales	0.000	0.000	-1.000
N1/N21	V(0°) H1	Uniforme	4.745	-	-	-	Globales	0.000	1.000	0.000
N1/N21	V(180°) H2	Uniforme	2.080	-	-	-	Globales	0.000	-1.000	0.000
N3/N23	Carga permanente	Uniforme	6.131	-	-	-	Globales	0.000	0.000	-1.000
N5/N24	Carga permanente	Uniforme	6.131	-	-	-	Globales	0.000	0.000	-1.000
N8/N25	Carga permanente	Uniforme	6.131	-	-	-	Globales	0.000	0.000	-1.000
N10/N26	Carga permanente	Uniforme	6.131	-	-	-	Globales	0.000	0.000	-1.000
N12/N27	Carga permanente	Uniforme	6.131	-	-	-	Globales	0.000	0.000	-1.000
N14/N28	Carga permanente	Uniforme	6.131	-	-	-	Globales	0.000	0.000	-1.000
N16/N29	Carga permanente	Uniforme	6.131	-	-	-	Globales	0.000	0.000	-1.000
N18/N30	Carga permanente	Uniforme	6.131	-	-	-	Globales	0.000	0.000	-1.000
N20/N22	Carga permanente	Uniforme	6.131	-	-	-	Globales	0.000	0.000	-1.000
N20/N22	V(0°) H1	Uniforme	2.080	-	-	-	Globales	0.000	1.000	0.000
N20/N22	V(180°) H2	Uniforme	4.745	-	-	-	Globales	0.000	-1.000	0.000

2.3.- Resultados

2.3.1.- Nudos

2.3.1.1.- Desplazamientos

Referencias:

Dx, Dy, Dz: Desplazamientos de los nudos en ejes globales.

Gx, Gy, Gz: Giros de los nudos en ejes globales.

2.3.1.1.1.- Hipótesis

Desplazamientos de los nudos, por hipótesis							
Referencia	Descripción	Desplazamientos en ejes globales					
		Dx (mm)	Dy (mm)	Dz (mm)	Gx (mRad)	Gy (mRad)	Gz (mRad)
N1	Carga permanente	0.000	0.000	0.000	-	-	-
	V(0°) H1	0.000	0.000	0.000	-	-	-
	V(180°) H2	0.000	0.000	0.000	-	-	-
	Sismo X: Modo 1	0.000	0.000	0.000	-	-	-
	Sismo X: Modo 2	0.000	0.000	0.000	-	-	-
	Sismo X: Modo 3	0.000	0.000	0.000	-	-	-
	Sismo X: Modo 4	0.000	0.000	0.000	-	-	-



Listados

Pórtico frontal 1

Fecha: 10/06/15

Desplazamientos de los nudos, por hipótesis							
Referencia	Descripción	Desplazamientos en ejes globales					
		Dx (mm)	Dy (mm)	Dz (mm)	Gx (mRad)	Gy (mRad)	Gz (mRad)
	Sismo X: Modo 5	0.000	0.000	0.000	-	-	-
	Sismo X: Modo 6	0.000	0.000	0.000	-	-	-
	Sismo Y: Modo 1	0.000	0.000	0.000	-	-	-
	Sismo Y: Modo 2	0.000	0.000	0.000	-	-	-
	Sismo Y: Modo 3	0.000	0.000	0.000	-	-	-
	Sismo Y: Modo 4	0.000	0.000	0.000	-	-	-
	Sismo Y: Modo 5	0.000	0.000	0.000	-	-	-
	Sismo Y: Modo 6	0.000	0.000	0.000	-	-	-
N2	Carga permanente	0.000	0.005	-0.023	-	-	-
	V(0°) H1	0.000	0.755	0.001	-	-	-
	V(180°) H2	0.000	-0.677	-0.001	-	-	-
	Sismo X: Modo 1	1.689	0.000	0.000	-	-	-
	Sismo X: Modo 2	0.000	0.000	0.000	-	-	-
	Sismo X: Modo 3	0.000	0.000	0.000	-	-	-
	Sismo X: Modo 4	-0.211	0.000	0.000	-	-	-
	Sismo X: Modo 5	0.000	0.000	0.000	-	-	-
	Sismo X: Modo 6	0.000	0.000	0.000	-	-	-
	Sismo Y: Modo 1	0.000	0.000	0.000	-	-	-
	Sismo Y: Modo 2	0.000	1.222	0.002	-	-	-
	Sismo Y: Modo 3	0.000	0.000	0.000	-	-	-
	Sismo Y: Modo 4	0.000	0.000	0.000	-	-	-
	Sismo Y: Modo 5	0.000	0.017	0.000	-	-	-
	Sismo Y: Modo 6	0.000	0.000	0.000	-	-	-
N3	Carga permanente	0.000	0.000	0.000	0.002	0.000	0.000
	V(0°) H1	0.000	0.000	0.000	-0.036	0.000	0.000
	V(180°) H2	0.000	0.000	0.000	0.028	0.000	0.000
	Sismo X: Modo 1	0.000	0.000	0.000	0.000	0.052	0.074
	Sismo X: Modo 2	0.000	0.000	0.000	0.000	0.000	0.000
	Sismo X: Modo 3	0.000	0.000	0.000	0.000	0.000	0.000
	Sismo X: Modo 4	0.000	0.000	0.000	0.000	-0.006	-0.009
	Sismo X: Modo 5	0.000	0.000	0.000	0.000	0.000	0.000
	Sismo X: Modo 6	0.000	0.000	0.000	0.000	0.000	0.000
	Sismo Y: Modo 1	0.000	0.000	0.000	0.000	0.000	0.000
	Sismo Y: Modo 2	0.000	0.000	0.000	-0.043	0.000	0.000
	Sismo Y: Modo 3	0.000	0.000	0.000	0.000	0.000	0.000
	Sismo Y: Modo 4	0.000	0.000	0.000	0.000	0.000	0.000
	Sismo Y: Modo 5	0.000	0.000	0.000	0.002	0.000	0.000
	Sismo Y: Modo 6	0.000	0.000	0.000	0.000	0.000	0.000
N4	Carga permanente	0.000	0.004	-0.025	-	-	-
	V(0°) H1	0.000	0.731	-0.001	-	-	-
	V(180°) H2	0.000	-0.669	0.001	-	-	-
	Sismo X: Modo 1	2.362	0.000	0.000	-	-	-
	Sismo X: Modo 2	0.000	0.000	0.000	-	-	-
	Sismo X: Modo 3	0.000	0.000	0.000	-	-	-
	Sismo X: Modo 4	-0.252	0.000	0.000	-	-	-



Listados

Pórtico frontal 1

Fecha: 10/06/15

Desplazamientos de los nudos, por hipótesis							
Referencia	Descripción	Desplazamientos en ejes globales					
		Dx (mm)	Dy (mm)	Dz (mm)	Gx (mRad)	Gy (mRad)	Gz (mRad)
	Sismo X: Modo 5	0.000	0.000	0.000	-	-	-
	Sismo X: Modo 6	0.000	0.000	0.000	-	-	-
	Sismo Y: Modo 1	0.000	0.000	0.000	-	-	-
	Sismo Y: Modo 2	0.000	1.222	-0.001	-	-	-
	Sismo Y: Modo 3	0.000	0.000	0.000	-	-	-
	Sismo Y: Modo 4	0.000	0.000	0.000	-	-	-
	Sismo Y: Modo 5	0.000	0.017	0.000	-	-	-
	Sismo Y: Modo 6	0.000	0.000	0.000	-	-	-
N5	Carga permanente	0.000	0.000	0.000	0.000	0.000	0.000
	V(0°) H1	0.000	0.000	0.000	0.000	0.000	0.000
	V(180°) H2	0.000	0.000	0.000	0.000	0.000	0.000
	Sismo X: Modo 1	0.000	0.000	0.000	0.000	0.000	0.000
	Sismo X: Modo 2	0.000	0.000	0.000	0.000	0.000	0.000
	Sismo X: Modo 3	0.000	0.000	0.000	0.000	0.000	0.000
	Sismo X: Modo 4	0.000	0.000	0.000	0.000	0.000	0.000
	Sismo X: Modo 5	0.000	0.000	0.000	0.000	0.000	0.000
	Sismo X: Modo 6	0.000	0.000	0.000	0.000	0.000	0.000
	Sismo Y: Modo 1	0.000	0.000	0.000	0.000	0.000	0.000
	Sismo Y: Modo 2	0.000	0.000	0.000	0.000	0.000	0.000
	Sismo Y: Modo 3	0.000	0.000	0.000	0.000	0.000	0.000
	Sismo Y: Modo 4	0.000	0.000	0.000	0.000	0.000	0.000
	Sismo Y: Modo 5	0.000	0.000	0.000	0.000	0.000	0.000
	Sismo Y: Modo 6	0.000	0.000	0.000	0.000	0.000	0.000
N6	Carga permanente	0.000	0.002	-0.025	0.000	0.000	0.000
	V(0°) H1	0.000	0.710	0.000	-0.105	0.000	0.000
	V(180°) H2	0.000	-0.666	0.000	0.105	0.000	0.000
	Sismo X: Modo 1	2.794	0.000	0.000	0.000	0.578	-0.019
	Sismo X: Modo 2	0.000	0.000	0.000	0.000	0.000	0.000
	Sismo X: Modo 3	0.000	0.000	0.000	0.000	0.000	0.000
	Sismo X: Modo 4	-0.217	0.000	0.000	0.000	-0.045	-0.004
	Sismo X: Modo 5	0.000	0.000	0.000	0.000	0.000	0.000
	Sismo X: Modo 6	0.000	0.000	0.000	0.000	0.000	0.000
	Sismo Y: Modo 1	0.000	0.000	0.000	0.000	0.000	0.000
	Sismo Y: Modo 2	0.000	1.224	0.000	-0.206	0.000	0.000
	Sismo Y: Modo 3	0.000	0.000	0.000	0.000	0.000	0.000
	Sismo Y: Modo 4	0.000	0.000	0.000	0.000	0.000	0.000
	Sismo Y: Modo 5	0.000	0.017	0.000	-0.016	0.000	0.000
	Sismo Y: Modo 6	0.000	0.000	0.000	0.000	0.000	0.000
N7	Carga permanente	0.000	0.001	-0.024	0.000	0.000	0.000
	V(0°) H1	0.000	0.693	0.000	-0.107	0.000	0.000
	V(180°) H2	0.000	-0.667	0.000	0.107	0.000	0.000
	Sismo X: Modo 1	2.932	0.000	0.000	0.000	0.606	-0.005
	Sismo X: Modo 2	0.000	0.000	0.000	0.000	0.000	0.000
	Sismo X: Modo 3	0.000	0.000	0.000	0.000	0.000	0.000
	Sismo X: Modo 4	-0.134	0.000	0.000	0.000	-0.028	-0.008



Listados

Pórtico frontal 1

Fecha: 10/06/15

Desplazamientos de los nudos, por hipótesis							
Referencia	Descripción	Desplazamientos en ejes globales					
		Dx (mm)	Dy (mm)	Dz (mm)	Gx (mRad)	Gy (mRad)	Gz (mRad)
	Sismo X: Modo 5	0.000	0.000	0.000	0.000	0.000	0.000
	Sismo X: Modo 6	0.000	0.000	0.000	0.000	0.000	0.000
	Sismo Y: Modo 1	0.000	0.000	0.000	0.000	0.000	0.000
	Sismo Y: Modo 2	0.000	1.225	0.000	-0.205	0.000	0.000
	Sismo Y: Modo 3	0.000	0.000	0.000	0.000	0.000	0.000
	Sismo Y: Modo 4	0.000	0.000	0.000	0.000	0.000	0.000
	Sismo Y: Modo 5	0.000	0.018	0.000	-0.016	0.000	0.000
	Sismo Y: Modo 6	0.000	0.000	0.000	0.000	0.000	0.000
N8	Carga permanente	0.000	0.000	0.000	0.000	0.000	0.000
	V(0°) H1	0.000	0.000	0.000	0.000	0.000	0.000
	V(180°) H2	0.000	0.000	0.000	0.000	0.000	0.000
	Sismo X: Modo 1	0.000	0.000	0.000	0.000	0.000	0.000
	Sismo X: Modo 2	0.000	0.000	0.000	0.000	0.000	0.000
	Sismo X: Modo 3	0.000	0.000	0.000	0.000	0.000	0.000
	Sismo X: Modo 4	0.000	0.000	0.000	0.000	0.000	0.000
	Sismo X: Modo 5	0.000	0.000	0.000	0.000	0.000	0.000
	Sismo X: Modo 6	0.000	0.000	0.000	0.000	0.000	0.000
	Sismo Y: Modo 1	0.000	0.000	0.000	0.000	0.000	0.000
	Sismo Y: Modo 2	0.000	0.000	0.000	0.000	0.000	0.000
	Sismo Y: Modo 3	0.000	0.000	0.000	0.000	0.000	0.000
	Sismo Y: Modo 4	0.000	0.000	0.000	0.000	0.000	0.000
	Sismo Y: Modo 5	0.000	0.000	0.000	0.000	0.000	0.000
	Sismo Y: Modo 6	0.000	0.000	0.000	0.000	0.000	0.000
N9	Carga permanente	0.000	0.000	-0.024	0.000	0.000	0.000
	V(0°) H1	0.000	0.680	0.000	-0.108	0.000	0.000
	V(180°) H2	0.000	-0.672	0.000	0.108	0.000	0.000
	Sismo X: Modo 1	2.930	0.000	0.000	0.000	0.606	0.005
	Sismo X: Modo 2	0.000	0.000	0.000	0.000	0.000	0.000
	Sismo X: Modo 3	0.000	0.000	0.000	0.000	0.000	0.000
	Sismo X: Modo 4	-0.021	0.000	0.000	0.000	-0.004	-0.009
	Sismo X: Modo 5	0.000	0.000	0.000	0.000	0.000	0.000
	Sismo X: Modo 6	0.000	0.000	0.000	0.000	0.000	0.000
	Sismo Y: Modo 1	0.000	0.000	0.000	0.000	0.000	0.000
	Sismo Y: Modo 2	0.000	1.225	0.000	-0.205	0.000	0.000
	Sismo Y: Modo 3	0.000	0.000	0.000	0.000	0.000	0.000
	Sismo Y: Modo 4	0.000	0.000	0.000	0.000	0.000	0.000
	Sismo Y: Modo 5	0.000	0.018	0.000	-0.016	0.000	0.000
	Sismo Y: Modo 6	0.000	0.000	0.000	0.000	0.000	0.000
N10	Carga permanente	0.000	0.000	0.000	0.000	0.000	0.000
	V(0°) H1	0.000	0.000	0.000	0.000	0.000	0.000
	V(180°) H2	0.000	0.000	0.000	0.000	0.000	0.000
	Sismo X: Modo 1	0.000	0.000	0.000	0.000	0.000	0.000
	Sismo X: Modo 2	0.000	0.000	0.000	0.000	0.000	0.000
	Sismo X: Modo 3	0.000	0.000	0.000	0.000	0.000	0.000
	Sismo X: Modo 4	0.000	0.000	0.000	0.000	0.000	0.000



Listados

Pórtico frontal 1

Fecha: 10/06/15

Desplazamientos de los nudos, por hipótesis							
Referencia	Descripción	Desplazamientos en ejes globales					
		Dx (mm)	Dy (mm)	Dz (mm)	Gx (mRad)	Gy (mRad)	Gz (mRad)
	Sismo X: Modo 5	0.000	0.000	0.000	0.000	0.000	0.000
	Sismo X: Modo 6	0.000	0.000	0.000	0.000	0.000	0.000
	Sismo Y: Modo 1	0.000	0.000	0.000	0.000	0.000	0.000
	Sismo Y: Modo 2	0.000	0.000	0.000	0.000	0.000	0.000
	Sismo Y: Modo 3	0.000	0.000	0.000	0.000	0.000	0.000
	Sismo Y: Modo 4	0.000	0.000	0.000	0.000	0.000	0.000
	Sismo Y: Modo 5	0.000	0.000	0.000	0.000	0.000	0.000
	Sismo Y: Modo 6	0.000	0.000	0.000	0.000	0.000	0.000
N11	Carga permanente	0.000	0.000	-0.024	0.000	0.000	0.000
	V(0°) H1	0.000	0.671	0.000	-0.108	0.000	0.000
	V(180°) H2	0.000	-0.680	0.000	0.108	0.000	0.000
	Sismo X: Modo 1	2.802	0.000	0.000	0.000	0.579	0.014
	Sismo X: Modo 2	0.000	0.000	0.000	0.000	0.000	0.000
	Sismo X: Modo 3	0.000	0.000	0.000	0.000	0.000	0.000
	Sismo X: Modo 4	0.096	0.000	0.000	0.000	0.020	-0.008
	Sismo X: Modo 5	0.000	0.000	0.000	0.000	0.000	0.000
	Sismo X: Modo 6	0.000	0.000	0.000	0.000	0.000	0.000
	Sismo Y: Modo 1	0.000	0.000	0.000	0.000	0.000	0.000
	Sismo Y: Modo 2	0.000	1.225	0.000	-0.205	0.000	0.000
	Sismo Y: Modo 3	0.000	0.000	0.000	0.000	0.000	0.000
	Sismo Y: Modo 4	0.000	0.000	0.000	0.000	0.000	0.000
	Sismo Y: Modo 5	0.000	0.018	0.000	-0.016	0.000	0.000
	Sismo Y: Modo 6	0.000	0.000	0.000	0.000	0.000	0.000
N12	Carga permanente	0.000	0.000	0.000	0.000	0.000	0.000
	V(0°) H1	0.000	0.000	0.000	0.000	0.000	0.000
	V(180°) H2	0.000	0.000	0.000	0.000	0.000	0.000
	Sismo X: Modo 1	0.000	0.000	0.000	0.000	0.000	0.000
	Sismo X: Modo 2	0.000	0.000	0.000	0.000	0.000	0.000
	Sismo X: Modo 3	0.000	0.000	0.000	0.000	0.000	0.000
	Sismo X: Modo 4	0.000	0.000	0.000	0.000	0.000	0.000
	Sismo X: Modo 5	0.000	0.000	0.000	0.000	0.000	0.000
	Sismo X: Modo 6	0.000	0.000	0.000	0.000	0.000	0.000
	Sismo Y: Modo 1	0.000	0.000	0.000	0.000	0.000	0.000
	Sismo Y: Modo 2	0.000	0.000	0.000	0.000	0.000	0.000
	Sismo Y: Modo 3	0.000	0.000	0.000	0.000	0.000	0.000
	Sismo Y: Modo 4	0.000	0.000	0.000	0.000	0.000	0.000
	Sismo Y: Modo 5	0.000	0.000	0.000	0.000	0.000	0.000
	Sismo Y: Modo 6	0.000	0.000	0.000	0.000	0.000	0.000
N13	Carga permanente	0.000	-0.001	-0.024	0.000	0.000	0.000
	V(0°) H1	0.000	0.666	0.000	-0.107	0.000	0.000
	V(180°) H2	0.000	-0.693	0.000	0.107	0.000	0.000
	Sismo X: Modo 1	2.554	0.000	0.000	0.000	0.528	0.023
	Sismo X: Modo 2	0.000	0.000	0.000	0.000	0.000	0.000
	Sismo X: Modo 3	0.000	0.000	0.000	0.000	0.000	0.000
	Sismo X: Modo 4	0.193	0.000	0.000	0.000	0.040	-0.006



Listados

Pórtico frontal 1

Fecha: 10/06/15

Desplazamientos de los nudos, por hipótesis							
Referencia	Descripción	Desplazamientos en ejes globales					
		Dx (mm)	Dy (mm)	Dz (mm)	Gx (mRad)	Gy (mRad)	Gz (mRad)
	Sismo X: Modo 5	0.000	0.000	0.000	0.000	0.000	0.000
	Sismo X: Modo 6	0.000	0.000	0.000	0.000	0.000	0.000
	Sismo Y: Modo 1	0.000	0.000	0.000	0.000	0.000	0.000
	Sismo Y: Modo 2	0.000	1.223	0.000	-0.205	0.000	0.000
	Sismo Y: Modo 3	0.000	0.000	0.000	0.000	0.000	0.000
	Sismo Y: Modo 4	0.000	0.000	0.000	0.000	0.000	0.000
	Sismo Y: Modo 5	0.000	0.017	0.000	-0.016	0.000	0.000
	Sismo Y: Modo 6	0.000	0.000	0.000	0.000	0.000	0.000
N14	Carga permanente	0.000	0.000	0.000	0.000	0.000	0.000
	V(0°) H1	0.000	0.000	0.000	0.000	0.000	0.000
	V(180°) H2	0.000	0.000	0.000	0.000	0.000	0.000
	Sismo X: Modo 1	0.000	0.000	0.000	0.000	0.000	0.000
	Sismo X: Modo 2	0.000	0.000	0.000	0.000	0.000	0.000
	Sismo X: Modo 3	0.000	0.000	0.000	0.000	0.000	0.000
	Sismo X: Modo 4	0.000	0.000	0.000	0.000	0.000	0.000
	Sismo X: Modo 5	0.000	0.000	0.000	0.000	0.000	0.000
	Sismo X: Modo 6	0.000	0.000	0.000	0.000	0.000	0.000
	Sismo Y: Modo 1	0.000	0.000	0.000	0.000	0.000	0.000
	Sismo Y: Modo 2	0.000	0.000	0.000	0.000	0.000	0.000
	Sismo Y: Modo 3	0.000	0.000	0.000	0.000	0.000	0.000
	Sismo Y: Modo 4	0.000	0.000	0.000	0.000	0.000	0.000
	Sismo Y: Modo 5	0.000	0.000	0.000	0.000	0.000	0.000
	Sismo Y: Modo 6	0.000	0.000	0.000	0.000	0.000	0.000
N15	Carga permanente	0.000	-0.002	-0.024	0.001	0.000	0.000
	V(0°) H1	0.000	0.665	0.000	-0.105	0.000	0.000
	V(180°) H2	0.000	-0.709	0.000	0.104	0.000	0.000
	Sismo X: Modo 1	2.198	0.000	0.000	0.000	0.454	0.031
	Sismo X: Modo 2	0.000	0.000	0.000	0.000	0.000	0.000
	Sismo X: Modo 3	0.000	0.000	0.000	0.000	0.000	0.000
	Sismo X: Modo 4	0.249	0.000	0.000	0.000	0.051	-0.002
	Sismo X: Modo 5	0.000	0.000	0.000	0.000	0.000	0.000
	Sismo X: Modo 6	0.000	0.000	0.000	0.000	0.000	0.000
	Sismo Y: Modo 1	0.000	0.000	0.000	0.000	0.000	0.000
	Sismo Y: Modo 2	0.000	1.221	0.000	-0.204	0.000	0.000
	Sismo Y: Modo 3	0.000	0.000	0.000	0.000	0.000	0.000
	Sismo Y: Modo 4	0.000	0.000	0.000	0.000	0.000	0.000
	Sismo Y: Modo 5	0.000	0.017	0.000	-0.016	0.000	0.000
	Sismo Y: Modo 6	0.000	0.000	0.000	0.000	0.000	0.000
N16	Carga permanente	0.000	0.000	0.000	0.000	0.000	0.000
	V(0°) H1	0.000	0.000	0.000	0.000	0.000	0.000
	V(180°) H2	0.000	0.000	0.000	0.000	0.000	0.000
	Sismo X: Modo 1	0.000	0.000	0.000	0.000	0.000	0.000
	Sismo X: Modo 2	0.000	0.000	0.000	0.000	0.000	0.000
	Sismo X: Modo 3	0.000	0.000	0.000	0.000	0.000	0.000
	Sismo X: Modo 4	0.000	0.000	0.000	0.000	0.000	0.000



Listados

Pórtico frontal 1

Fecha: 10/06/15

Desplazamientos de los nudos, por hipótesis							
Referencia	Descripción	Desplazamientos en ejes globales					
		Dx (mm)	Dy (mm)	Dz (mm)	Gx (mRad)	Gy (mRad)	Gz (mRad)
	Sismo X: Modo 5	0.000	0.000	0.000	0.000	0.000	0.000
	Sismo X: Modo 6	0.000	0.000	0.000	0.000	0.000	0.000
	Sismo Y: Modo 1	0.000	0.000	0.000	0.000	0.000	0.000
	Sismo Y: Modo 2	0.000	0.000	0.000	0.000	0.000	0.000
	Sismo Y: Modo 3	0.000	0.000	0.000	0.000	0.000	0.000
	Sismo Y: Modo 4	0.000	0.000	0.000	0.000	0.000	0.000
	Sismo Y: Modo 5	0.000	0.000	0.000	0.000	0.000	0.000
	Sismo Y: Modo 6	0.000	0.000	0.000	0.000	0.000	0.000
N17	Carga permanente	0.000	-0.004	-0.024	-	-	-
	V(0°) H1	0.000	0.667	0.001	-	-	-
	V(180°) H2	0.000	-0.729	-0.001	-	-	-
	Sismo X: Modo 1	1.750	0.000	0.000	-	-	-
	Sismo X: Modo 2	0.000	0.000	0.000	-	-	-
	Sismo X: Modo 3	0.000	0.000	0.000	-	-	-
	Sismo X: Modo 4	0.252	0.000	0.000	-	-	-
	Sismo X: Modo 5	0.000	0.000	0.000	-	-	-
	Sismo X: Modo 6	0.000	0.000	0.000	-	-	-
	Sismo Y: Modo 1	0.000	0.000	0.000	-	-	-
	Sismo Y: Modo 2	0.000	1.219	0.001	-	-	-
	Sismo Y: Modo 3	0.000	0.000	0.000	-	-	-
	Sismo Y: Modo 4	0.000	0.000	0.000	-	-	-
	Sismo Y: Modo 5	0.000	0.017	0.000	-	-	-
	Sismo Y: Modo 6	0.000	0.000	0.000	-	-	-
N18	Carga permanente	0.000	0.000	0.000	0.000	0.000	0.000
	V(0°) H1	0.000	0.000	0.000	0.000	0.000	0.000
	V(180°) H2	0.000	0.000	0.000	0.000	0.000	0.000
	Sismo X: Modo 1	0.000	0.000	0.000	0.000	0.000	0.000
	Sismo X: Modo 2	0.000	0.000	0.000	0.000	0.000	0.000
	Sismo X: Modo 3	0.000	0.000	0.000	0.000	0.000	0.000
	Sismo X: Modo 4	0.000	0.000	0.000	0.000	0.000	0.000
	Sismo X: Modo 5	0.000	0.000	0.000	0.000	0.000	0.000
	Sismo X: Modo 6	0.000	0.000	0.000	0.000	0.000	0.000
	Sismo Y: Modo 1	0.000	0.000	0.000	0.000	0.000	0.000
	Sismo Y: Modo 2	0.000	0.000	0.000	0.000	0.000	0.000
	Sismo Y: Modo 3	0.000	0.000	0.000	0.000	0.000	0.000
	Sismo Y: Modo 4	0.000	0.000	0.000	0.000	0.000	0.000
	Sismo Y: Modo 5	0.000	0.000	0.000	0.000	0.000	0.000
	Sismo Y: Modo 6	0.000	0.000	0.000	0.000	0.000	0.000
N19	Carga permanente	0.000	-0.005	-0.023	-	-	-
	V(0°) H1	0.000	0.674	-0.001	-	-	-
	V(180°) H2	0.000	-0.751	0.001	-	-	-
	Sismo X: Modo 1	1.281	0.000	0.000	-	-	-
	Sismo X: Modo 2	0.000	0.000	0.000	-	-	-
	Sismo X: Modo 3	0.000	0.000	0.000	-	-	-
	Sismo X: Modo 4	0.210	0.000	0.000	-	-	-



Listados

Pórtico frontal 1

Fecha: 10/06/15

Desplazamientos de los nudos, por hipótesis							
Referencia	Descripción	Desplazamientos en ejes globales					
		Dx (mm)	Dy (mm)	Dz (mm)	Gx (mRad)	Gy (mRad)	Gz (mRad)
	Sismo X: Modo 5	0.000	0.000	0.000	-	-	-
	Sismo X: Modo 6	0.000	0.000	0.000	-	-	-
	Sismo Y: Modo 1	0.000	0.000	0.000	-	-	-
	Sismo Y: Modo 2	0.000	1.219	-0.003	-	-	-
	Sismo Y: Modo 3	0.000	0.000	0.000	-	-	-
	Sismo Y: Modo 4	0.000	0.000	0.000	-	-	-
	Sismo Y: Modo 5	0.000	0.017	0.000	-	-	-
	Sismo Y: Modo 6	0.000	0.000	0.000	-	-	-
N20	Carga permanente	0.000	0.000	0.000	0.000	0.000	0.000
	V(0°) H1	0.000	0.000	0.000	0.000	0.000	0.000
	V(180°) H2	0.000	0.000	0.000	0.000	0.000	0.000
	Sismo X: Modo 1	0.000	0.000	0.000	0.000	0.000	0.000
	Sismo X: Modo 2	0.000	0.000	0.000	0.000	0.000	0.000
	Sismo X: Modo 3	0.000	0.000	0.000	0.000	0.000	0.000
	Sismo X: Modo 4	0.000	0.000	0.000	0.000	0.000	0.000
	Sismo X: Modo 5	0.000	0.000	0.000	0.000	0.000	0.000
	Sismo X: Modo 6	0.000	0.000	0.000	0.000	0.000	0.000
	Sismo Y: Modo 1	0.000	0.000	0.000	0.000	0.000	0.000
	Sismo Y: Modo 2	0.000	0.000	0.000	0.000	0.000	0.000
	Sismo Y: Modo 3	0.000	0.000	0.000	0.000	0.000	0.000
	Sismo Y: Modo 4	0.000	0.000	0.000	0.000	0.000	0.000
	Sismo Y: Modo 5	0.000	0.000	0.000	0.000	0.000	0.000
	Sismo Y: Modo 6	0.000	0.000	0.000	0.000	0.000	0.000
N21	Carga permanente	0.000	-0.001	-0.017	-	-	-
	V(0°) H1	0.000	0.377	0.001	-	-	-
	V(180°) H2	0.000	-0.292	-0.001	-	-	-
	Sismo X: Modo 1	0.553	0.000	0.000	-	-	-
	Sismo X: Modo 2	0.000	0.000	0.000	-	-	-
	Sismo X: Modo 3	0.000	0.000	0.000	-	-	-
	Sismo X: Modo 4	-0.069	0.000	0.000	-	-	-
	Sismo X: Modo 5	0.000	0.000	0.000	-	-	-
	Sismo X: Modo 6	0.000	0.000	0.000	-	-	-
	Sismo Y: Modo 1	0.000	0.000	0.000	-	-	-
	Sismo Y: Modo 2	0.000	0.454	0.002	-	-	-
	Sismo Y: Modo 3	0.000	0.000	0.000	-	-	-
	Sismo Y: Modo 4	0.000	0.000	0.000	-	-	-
	Sismo Y: Modo 5	0.000	-0.025	0.000	-	-	-
	Sismo Y: Modo 6	0.000	0.000	0.000	-	-	-
N22	Carga permanente	0.000	0.001	-0.017	-	-	-
	V(0°) H1	0.000	0.291	-0.001	-	-	-
	V(180°) H2	0.000	-0.373	0.001	-	-	-
	Sismo X: Modo 1	0.419	0.000	0.000	-	-	-
	Sismo X: Modo 2	0.000	0.000	0.000	-	-	-
	Sismo X: Modo 3	0.000	0.000	0.000	-	-	-
	Sismo X: Modo 4	0.069	0.000	0.000	-	-	-



Listados

Pórtico frontal 1

Fecha: 10/06/15

Desplazamientos de los nudos, por hipótesis							
Referencia	Descripción	Desplazamientos en ejes globales					
		Dx (mm)	Dy (mm)	Dz (mm)	Gx (mRad)	Gy (mRad)	Gz (mRad)
	Sismo X: Modo 5	0.000	0.000	0.000	-	-	-
	Sismo X: Modo 6	0.000	0.000	0.000	-	-	-
	Sismo Y: Modo 1	0.000	0.000	0.000	-	-	-
	Sismo Y: Modo 2	0.000	0.454	-0.002	-	-	-
	Sismo Y: Modo 3	0.000	0.000	0.000	-	-	-
	Sismo Y: Modo 4	0.000	0.000	0.000	-	-	-
	Sismo Y: Modo 5	0.000	-0.025	0.000	-	-	-
	Sismo Y: Modo 6	0.000	0.000	0.000	-	-	-
N23	Carga permanente	0.000	0.000	-0.018	-	-	-
	V(0°) H1	0.000	0.331	0.000	-	-	-
	V(180°) H2	0.000	-0.274	0.000	-	-	-
	Sismo X: Modo 1	0.773	0.000	0.000	-	-	-
	Sismo X: Modo 2	0.000	0.000	0.000	-	-	-
	Sismo X: Modo 3	0.000	0.000	0.000	-	-	-
	Sismo X: Modo 4	-0.082	0.000	0.000	-	-	-
	Sismo X: Modo 5	0.000	0.000	0.000	-	-	-
	Sismo X: Modo 6	0.000	0.000	0.000	-	-	-
	Sismo Y: Modo 1	0.000	0.000	0.000	-	-	-
	Sismo Y: Modo 2	0.000	0.456	-0.001	-	-	-
	Sismo Y: Modo 3	0.000	0.000	0.000	-	-	-
	Sismo Y: Modo 4	0.000	0.000	0.000	-	-	-
	Sismo Y: Modo 5	0.000	-0.025	0.000	-	-	-
	Sismo Y: Modo 6	0.000	0.000	0.000	-	-	-
N24	Carga permanente	0.000	0.000	-0.018	0.000	0.000	0.000
	V(0°) H1	0.000	0.299	0.000	-0.118	0.000	0.000
	V(180°) H2	0.000	-0.263	0.000	0.109	0.000	0.000
	Sismo X: Modo 1	0.915	0.000	0.000	0.000	0.452	-0.011
	Sismo X: Modo 2	0.000	0.000	0.000	0.000	0.000	0.000
	Sismo X: Modo 3	0.000	0.000	0.000	0.000	0.000	0.000
	Sismo X: Modo 4	-0.071	0.000	0.000	0.000	-0.035	-0.002
	Sismo X: Modo 5	0.000	0.000	0.000	0.000	0.000	0.000
	Sismo X: Modo 6	0.000	0.000	0.000	0.000	0.000	0.000
	Sismo Y: Modo 1	0.000	0.000	0.000	0.000	0.000	0.000
	Sismo Y: Modo 2	0.000	0.456	0.000	-0.198	0.000	0.000
	Sismo Y: Modo 3	0.000	0.000	0.000	0.000	0.000	0.000
	Sismo Y: Modo 4	0.000	0.000	0.000	0.000	0.000	0.000
	Sismo Y: Modo 5	0.000	-0.026	0.000	0.000	0.000	0.000
	Sismo Y: Modo 6	0.000	0.000	0.000	0.000	0.000	0.000
N25	Carga permanente	0.000	0.000	-0.018	0.000	0.000	0.000
	V(0°) H1	0.000	0.280	0.000	-0.114	0.000	0.000
	V(180°) H2	0.000	-0.260	0.000	0.109	0.000	0.000
	Sismo X: Modo 1	0.960	0.000	0.000	0.000	0.474	-0.003
	Sismo X: Modo 2	0.000	0.000	0.000	0.000	0.000	0.000
	Sismo X: Modo 3	0.000	0.000	0.000	0.000	0.000	0.000
	Sismo X: Modo 4	-0.044	0.000	0.000	0.000	-0.022	-0.004



Listados

Pórtico frontal 1

Fecha: 10/06/15

Desplazamientos de los nudos, por hipótesis							
Referencia	Descripción	Desplazamientos en ejes globales					
		Dx (mm)	Dy (mm)	Dz (mm)	Gx (mRad)	Gy (mRad)	Gz (mRad)
	Sismo X: Modo 5	0.000	0.000	0.000	0.000	0.000	0.000
	Sismo X: Modo 6	0.000	0.000	0.000	0.000	0.000	0.000
	Sismo Y: Modo 1	0.000	0.000	0.000	0.000	0.000	0.000
	Sismo Y: Modo 2	0.000	0.456	0.000	-0.198	0.000	0.000
	Sismo Y: Modo 3	0.000	0.000	0.000	0.000	0.000	0.000
	Sismo Y: Modo 4	0.000	0.000	0.000	0.000	0.000	0.000
	Sismo Y: Modo 5	0.000	-0.026	0.000	0.000	0.000	0.000
	Sismo Y: Modo 6	0.000	0.000	0.000	0.000	0.000	0.000
N26	Carga permanente	0.000	0.000	-0.018	0.000	0.000	0.000
	V(0°) H1	0.000	0.267	0.000	-0.111	0.000	0.000
	V(180°) H2	0.000	-0.261	0.000	0.109	0.000	0.000
	Sismo X: Modo 1	0.960	0.000	0.000	0.000	0.474	0.003
	Sismo X: Modo 2	0.000	0.000	0.000	0.000	0.000	0.000
	Sismo X: Modo 3	0.000	0.000	0.000	0.000	0.000	0.000
	Sismo X: Modo 4	-0.007	0.000	0.000	0.000	-0.003	-0.005
	Sismo X: Modo 5	0.000	0.000	0.000	0.000	0.000	0.000
	Sismo X: Modo 6	0.000	0.000	0.000	0.000	0.000	0.000
	Sismo Y: Modo 1	0.000	0.000	0.000	0.000	0.000	0.000
	Sismo Y: Modo 2	0.000	0.456	0.000	-0.198	0.000	0.000
	Sismo Y: Modo 3	0.000	0.000	0.000	0.000	0.000	0.000
	Sismo Y: Modo 4	0.000	0.000	0.000	0.000	0.000	0.000
	Sismo Y: Modo 5	0.000	-0.026	0.000	0.000	0.000	0.000
	Sismo Y: Modo 6	0.000	0.000	0.000	0.000	0.000	0.000
N27	Carga permanente	0.000	0.000	-0.018	0.000	0.000	0.000
	V(0°) H1	0.000	0.261	0.000	-0.109	0.000	0.000
	V(180°) H2	0.000	-0.268	0.000	0.111	0.000	0.000
	Sismo X: Modo 1	0.918	0.000	0.000	0.000	0.453	0.008
	Sismo X: Modo 2	0.000	0.000	0.000	0.000	0.000	0.000
	Sismo X: Modo 3	0.000	0.000	0.000	0.000	0.000	0.000
	Sismo X: Modo 4	0.031	0.000	0.000	0.000	0.016	-0.005
	Sismo X: Modo 5	0.000	0.000	0.000	0.000	0.000	0.000
	Sismo X: Modo 6	0.000	0.000	0.000	0.000	0.000	0.000
	Sismo Y: Modo 1	0.000	0.000	0.000	0.000	0.000	0.000
	Sismo Y: Modo 2	0.000	0.456	0.000	-0.198	0.000	0.000
	Sismo Y: Modo 3	0.000	0.000	0.000	0.000	0.000	0.000
	Sismo Y: Modo 4	0.000	0.000	0.000	0.000	0.000	0.000
	Sismo Y: Modo 5	0.000	-0.026	0.000	0.000	0.000	0.000
	Sismo Y: Modo 6	0.000	0.000	0.000	0.000	0.000	0.000
N28	Carga permanente	0.000	0.000	-0.018	0.000	0.000	0.000
	V(0°) H1	0.000	0.260	0.000	-0.108	0.000	0.000
	V(180°) H2	0.000	-0.281	0.000	0.114	0.000	0.000
	Sismo X: Modo 1	0.836	0.000	0.000	0.000	0.413	0.013
	Sismo X: Modo 2	0.000	0.000	0.000	0.000	0.000	0.000
	Sismo X: Modo 3	0.000	0.000	0.000	0.000	0.000	0.000
	Sismo X: Modo 4	0.063	0.000	0.000	0.000	0.031	-0.003



Listados

Pórtico frontal 1

Fecha: 10/06/15

Desplazamientos de los nudos, por hipótesis							
Referencia	Descripción	Desplazamientos en ejes globales					
		Dx (mm)	Dy (mm)	Dz (mm)	Gx (mRad)	Gy (mRad)	Gz (mRad)
	Sismo X: Modo 5	0.000	0.000	0.000	0.000	0.000	0.000
	Sismo X: Modo 6	0.000	0.000	0.000	0.000	0.000	0.000
	Sismo Y: Modo 1	0.000	0.000	0.000	0.000	0.000	0.000
	Sismo Y: Modo 2	0.000	0.456	0.000	-0.197	0.000	0.000
	Sismo Y: Modo 3	0.000	0.000	0.000	0.000	0.000	0.000
	Sismo Y: Modo 4	0.000	0.000	0.000	0.000	0.000	0.000
	Sismo Y: Modo 5	0.000	-0.025	0.000	0.000	0.000	0.000
	Sismo Y: Modo 6	0.000	0.000	0.000	0.000	0.000	0.000
N29	Carga permanente	0.000	0.000	-0.018	0.000	0.000	0.000
	V(0°) H1	0.000	0.263	0.000	-0.109	0.000	0.000
	V(180°) H2	0.000	-0.300	0.000	0.118	0.000	0.000
	Sismo X: Modo 1	0.720	0.000	0.000	0.000	0.355	0.017
	Sismo X: Modo 2	0.000	0.000	0.000	0.000	0.000	0.000
	Sismo X: Modo 3	0.000	0.000	0.000	0.000	0.000	0.000
	Sismo X: Modo 4	0.082	0.000	0.000	0.000	0.040	-0.001
	Sismo X: Modo 5	0.000	0.000	0.000	0.000	0.000	0.000
	Sismo X: Modo 6	0.000	0.000	0.000	0.000	0.000	0.000
	Sismo Y: Modo 1	0.000	0.000	0.000	0.000	0.000	0.000
	Sismo Y: Modo 2	0.000	0.456	0.000	-0.197	0.000	0.000
	Sismo Y: Modo 3	0.000	0.000	0.000	0.000	0.000	0.000
	Sismo Y: Modo 4	0.000	0.000	0.000	0.000	0.000	0.000
	Sismo Y: Modo 5	0.000	-0.025	0.000	0.000	0.000	0.000
	Sismo Y: Modo 6	0.000	0.000	0.000	0.000	0.000	0.000
N30	Carga permanente	0.000	0.000	-0.018	-	-	-
	V(0°) H1	0.000	0.273	0.000	-	-	-
	V(180°) H2	0.000	-0.330	-0.001	-	-	-
	Sismo X: Modo 1	0.573	0.000	0.000	-	-	-
	Sismo X: Modo 2	0.000	0.000	0.000	-	-	-
	Sismo X: Modo 3	0.000	0.000	0.000	-	-	-
	Sismo X: Modo 4	0.083	0.000	0.000	-	-	-
	Sismo X: Modo 5	0.000	0.000	0.000	-	-	-
	Sismo X: Modo 6	0.000	0.000	0.000	-	-	-
	Sismo Y: Modo 1	0.000	0.000	0.000	-	-	-
	Sismo Y: Modo 2	0.000	0.456	0.001	-	-	-
	Sismo Y: Modo 3	0.000	0.000	0.000	-	-	-
	Sismo Y: Modo 4	0.000	0.000	0.000	-	-	-
	Sismo Y: Modo 5	0.000	-0.025	0.000	-	-	-
	Sismo Y: Modo 6	0.000	0.000	0.000	-	-	-

2.3.1.1.2.- Combinaciones



Listados

Pórtico frontal 1

Fecha: 10/06/15

Desplazamientos de los nudos, por combinación								
Referencia	Combinación		Desplazamientos en ejes globales					
	Tipo	Descripción	Dx (mm)	Dy (mm)	Dz (mm)	Gx (mRad)	Gy (mRad)	Gz (mRad)
N1	Desplazamientos	G	0.000	0.000	0.000	-	-	-
		G+V(0°)H1	0.000	0.000	0.000	-	-	-
		G+V(180°)H2	0.000	0.000	0.000	-	-	-
		G-SX	0.000	0.000	0.000	-	-	-
		G-SX	0.000	0.000	0.000	-	-	-
		G+SX	0.000	0.000	0.000	-	-	-
		G+SX	0.000	0.000	0.000	-	-	-
		G-SY	0.000	0.000	0.000	-	-	-
		G-SY	0.000	0.000	0.000	-	-	-
		G+SY	0.000	0.000	0.000	-	-	-
		G+SY	0.000	0.000	0.000	-	-	-
		G+SY	0.000	0.000	0.000	-	-	-
N2	Desplazamientos	G	0.000	0.005	-0.023	-	-	-
		G+V(0°)H1	0.000	0.761	-0.022	-	-	-
		G+V(180°)H2	0.000	-0.671	-0.024	-	-	-
		G-SX	-1.895	0.005	-0.023	-	-	-
		G-SX	-1.689	0.005	-0.023	-	-	-
		G+SX	1.689	0.005	-0.023	-	-	-
		G+SX	1.895	0.005	-0.023	-	-	-
		G-SY	0.000	-1.217	-0.025	-	-	-
		G-SY	0.000	0.005	-0.023	-	-	-
		G+SY	0.000	0.005	-0.023	-	-	-
		G+SY	0.000	1.227	-0.020	-	-	-
		G+SY	0.000	1.227	-0.020	-	-	-
N3	Desplazamientos	G	0.000	0.000	0.000	0.002	0.000	0.000
		G+V(0°)H1	0.000	0.000	0.000	-0.033	0.000	0.000
		G+V(180°)H2	0.000	0.000	0.000	0.030	0.000	0.000
		G-SX	0.000	0.000	0.000	0.002	-0.058	-0.083
		G-SX	0.000	0.000	0.000	0.002	-0.052	-0.074
		G+SX	0.000	0.000	0.000	0.002	0.052	0.074
		G+SX	0.000	0.000	0.000	0.002	0.058	0.083
		G-SY	0.000	0.000	0.000	0.002	0.000	0.000
		G-SY	0.000	0.000	0.000	0.045	0.000	0.000
		G+SY	0.000	0.000	0.000	-0.041	0.000	0.000
		G+SY	0.000	0.000	0.000	0.002	0.000	0.000
		G+SY	0.000	0.000	0.000	0.002	0.000	0.000
N4	Desplazamientos	G	0.000	0.004	-0.025	-	-	-
		G+V(0°)H1	0.000	0.735	-0.025	-	-	-
		G+V(180°)H2	0.000	-0.665	-0.024	-	-	-
		G-SX	-2.608	0.004	-0.025	-	-	-
		G-SX	-2.362	0.004	-0.025	-	-	-
		G+SX	2.362	0.004	-0.025	-	-	-
		G+SX	2.608	0.004	-0.025	-	-	-
		G-SY	0.000	-1.218	-0.025	-	-	-
		G-SY	0.000	0.004	-0.023	-	-	-
		G+SY	0.000	0.004	-0.026	-	-	-
		G+SY	0.000	1.226	-0.025	-	-	-
		G+SY	0.000	1.226	-0.025	-	-	-
N5	Desplazamientos	G	0.000	0.000	0.000	0.000	0.000	0.000



Listados

Pórtico frontal 1

Fecha: 10/06/15

Desplazamientos de los nudos, por combinación								
Referencia	Combinación		Desplazamientos en ejes globales					
	Tipo	Descripción	Dx (mm)	Dy (mm)	Dz (mm)	Gx (mRad)	Gy (mRad)	Gz (mRad)
		G+V(0°)H1	0.000	0.000	0.000	0.000	0.000	0.000
		G+V(180°)H2	0.000	0.000	0.000	0.000	0.000	0.000
		G-SX	0.000	0.000	0.000	0.000	0.000	0.000
		G-SX	0.000	0.000	0.000	0.000	0.000	0.000
		G+SX	0.000	0.000	0.000	0.000	0.000	0.000
		G+SX	0.000	0.000	0.000	0.000	0.000	0.000
		G-SY	0.000	0.000	0.000	0.000	0.000	0.000
		G-SY	0.000	0.000	0.000	0.000	0.000	0.000
		G+SY	0.000	0.000	0.000	0.000	0.000	0.000
		G+SY	0.000	0.000	0.000	0.000	0.000	0.000
N6	Desplazamientos	G	0.000	0.002	-0.025	0.000	0.000	0.000
		G+V(0°)H1	0.000	0.712	-0.024	-0.105	0.000	0.000
		G+V(180°)H2	0.000	-0.663	-0.025	0.105	0.000	0.000
		G-SX	-3.007	0.002	-0.025	0.000	-0.621	0.015
		G-SX	-2.794	0.002	-0.025	0.000	-0.534	0.024
		G+SX	2.794	0.002	-0.025	0.000	0.534	-0.024
		G+SX	3.007	0.002	-0.025	0.000	0.621	-0.015
		G-SY	0.000	-1.222	-0.025	0.000	0.000	0.000
		G-SY	0.000	0.002	-0.025	0.206	0.000	0.000
		G+SY	0.000	0.002	-0.025	-0.206	0.000	0.000
N7	Desplazamientos	G	0.000	0.001	-0.024	0.000	0.000	0.000
		G+V(0°)H1	0.000	0.695	-0.024	-0.108	0.000	0.000
		G+V(180°)H2	0.000	-0.665	-0.024	0.107	0.000	0.000
		G-SX	-3.063	0.001	-0.024	0.000	-0.633	-0.003
		G-SX	-2.932	0.001	-0.024	0.000	-0.569	0.012
		G+SX	2.932	0.001	-0.024	0.000	0.569	-0.012
		G+SX	3.063	0.001	-0.024	0.000	0.633	0.003
		G-SY	0.000	-1.224	-0.024	0.000	0.000	0.000
		G-SY	0.000	0.001	-0.024	0.205	0.000	0.000
		G+SY	0.000	0.001	-0.024	-0.206	0.000	0.000
N8	Desplazamientos	G	0.000	0.000	0.000	0.000	0.000	0.000
		G+V(0°)H1	0.000	0.000	0.000	0.000	0.000	0.000
		G+V(180°)H2	0.000	0.000	0.000	0.000	0.000	0.000
		G-SX	0.000	0.000	0.000	0.000	0.000	0.000
		G-SX	0.000	0.000	0.000	0.000	0.000	0.000
		G+SX	0.000	0.000	0.000	0.000	0.000	0.000
		G+SX	0.000	0.000	0.000	0.000	0.000	0.000
		G-SY	0.000	0.000	0.000	0.000	0.000	0.000
		G-SY	0.000	0.000	0.000	0.000	0.000	0.000
		G+SY	0.000	0.000	0.000	0.000	0.000	0.000
N9	Desplazamientos	G	0.000	0.000	-0.024	0.000	0.000	0.000
		G+V(0°)H1	0.000	0.681	-0.024	-0.108	0.000	0.000



Listados

Pórtico frontal 1

Fecha: 10/06/15

Desplazamientos de los nudos, por combinación								
Referencia	Combinación		Desplazamientos en ejes globales					
	Tipo	Descripción	Dx (mm)	Dy (mm)	Dz (mm)	Gx (mRad)	Gy (mRad)	Gz (mRad)
		G+V(180°)H2	0.000	-0.671	-0.024	0.108	0.000	0.000
		G-SX	-2.951	0.000	-0.024	0.000	-0.610	-0.014
		G-SX	-2.930	0.000	-0.024	0.000	0.601	0.014
		G+SX	2.930	0.000	-0.024	0.000	-0.601	-0.014
		G+SX	2.951	0.000	-0.024	0.000	0.610	0.014
		G-SY	0.000	-1.228	-0.024	0.000	0.000	0.000
		G-SY	0.000	0.000	-0.024	0.206	0.000	0.000
		G+SY	0.000	0.000	-0.024	-0.206	0.000	0.000
N10	Desplazamientos	G+SY	0.000	1.229	-0.024	0.000	0.000	0.000
		G	0.000	0.000	0.000	0.000	0.000	0.000
		G+V(0°)H1	0.000	0.000	0.000	0.000	0.000	0.000
		G+V(180°)H2	0.000	0.000	0.000	0.000	0.000	0.000
		G-SX	0.000	0.000	0.000	0.000	0.000	0.000
		G-SX	0.000	0.000	0.000	0.000	0.000	0.000
		G+SX	0.000	0.000	0.000	0.000	0.000	0.000
		G+SX	0.000	0.000	0.000	0.000	0.000	0.000
N11	Desplazamientos	G-SY	0.000	0.000	0.000	0.000	0.000	0.000
		G-SY	0.000	0.000	0.000	0.000	0.000	0.000
		G+SY	0.000	0.000	0.000	0.000	0.000	0.000
		G+SY	0.000	0.000	0.000	0.000	0.000	0.000
		G	0.000	0.000	-0.024	0.000	0.000	0.000
		G+V(0°)H1	0.000	0.671	-0.024	-0.108	0.000	0.000
		G+V(180°)H2	0.000	-0.681	-0.024	0.108	0.000	0.000
		G-SX	-2.896	0.000	-0.024	0.000	-0.599	-0.023
N12	Desplazamientos	G-SX	-2.802	0.000	-0.024	0.000	-0.560	-0.006
		G+SX	2.802	0.000	-0.024	0.000	0.560	0.006
		G+SX	2.896	0.000	-0.024	0.000	0.599	0.023
		G-SY	0.000	-1.227	-0.024	0.000	0.000	0.000
		G-SY	0.000	0.000	-0.024	0.206	0.000	0.000
		G+SY	0.000	0.000	-0.024	-0.206	0.000	0.000
		G+SY	0.000	1.227	-0.024	0.000	0.000	0.000
		G	0.000	0.000	0.000	0.000	0.000	0.000
N13	Desplazamientos	G+V(0°)H1	0.000	0.000	0.000	0.000	0.000	0.000
		G+V(180°)H2	0.000	0.000	0.000	0.000	0.000	0.000
		G-SX	0.000	0.000	0.000	0.000	0.000	0.000
		G-SX	0.000	0.000	0.000	0.000	0.000	0.000
		G+SX	0.000	0.000	0.000	0.000	0.000	0.000
		G+SX	0.000	0.000	0.000	0.000	0.000	0.000
		G-SY	0.000	0.000	0.000	0.000	0.000	0.000
		G-SY	0.000	0.000	0.000	0.000	0.000	0.000
N13	Desplazamientos	G+SY	0.000	0.000	0.000	0.000	0.000	0.000
		G+SY	0.000	0.000	0.000	0.000	0.000	0.000
		G	0.000	-0.001	-0.024	0.000	0.000	0.000
N13	Desplazamientos	G+V(0°)H1	0.000	0.664	-0.024	-0.106	0.000	0.000
		G+V(180°)H2	0.000	-0.695	-0.024	0.107	0.000	0.000
		G	0.000	0.000	0.000	0.000	0.000	0.000



Listados

Pórtico frontal 1

Fecha: 10/06/15

Desplazamientos de los nudos, por combinación								
Referencia	Combinación		Desplazamientos en ejes globales					
	Tipo	Descripción	Dx (mm)	Dy (mm)	Dz (mm)	Gx (mRad)	Gy (mRad)	Gz (mRad)
		G-SX	-2.743	-0.001	-0.024	0.000	-0.567	-0.029
		G-SX	-2.554	-0.001	-0.024	0.000	-0.489	-0.017
		G+SX	2.554	-0.001	-0.024	0.000	0.489	0.017
		G+SX	2.743	-0.001	-0.024	0.000	0.567	0.029
		G-SY	0.000	-1.227	-0.024	0.000	0.000	0.000
		G-SY	0.000	-0.001	-0.024	0.206	0.000	0.000
		G+SY	0.000	-0.001	-0.024	-0.205	0.000	0.000
		G+SY	0.000	1.224	-0.024	0.000	0.000	0.000
N14	Desplazamientos	G	0.000	0.000	0.000	0.000	0.000	0.000
		G+V(0°)H1	0.000	0.000	0.000	0.000	0.000	0.000
		G+V(180°)H2	0.000	0.000	0.000	0.000	0.000	0.000
		G-SX	0.000	0.000	0.000	0.000	0.000	0.000
		G-SX	0.000	0.000	0.000	0.000	0.000	0.000
		G+SX	0.000	0.000	0.000	0.000	0.000	0.000
		G+SX	0.000	0.000	0.000	0.000	0.000	0.000
		G-SY	0.000	0.000	0.000	0.000	0.000	0.000
		G-SY	0.000	0.000	0.000	0.000	0.000	0.000
		G+SY	0.000	0.000	0.000	0.000	0.000	0.000
N15	Desplazamientos	G	0.000	-0.002	-0.024	0.001	0.000	0.000
		G+V(0°)H1	0.000	0.662	-0.024	-0.104	0.000	0.000
		G+V(180°)H2	0.000	-0.712	-0.024	0.105	0.000	0.000
		G-SX	-2.441	-0.002	-0.024	0.001	-0.505	-0.033
		G-SX	-2.198	-0.002	-0.024	0.001	-0.404	-0.029
		G+SX	2.198	-0.002	-0.024	0.001	0.404	0.029
		G+SX	2.441	-0.002	-0.024	0.001	0.505	0.033
		G-SY	0.000	-1.227	-0.024	0.001	0.000	0.000
		G-SY	0.000	-0.002	-0.024	0.206	0.000	0.000
		G+SY	0.000	-0.002	-0.024	-0.204	0.000	0.000
N16	Desplazamientos	G	0.000	0.000	0.000	0.000	0.000	0.000
		G+V(0°)H1	0.000	0.000	0.000	0.000	0.000	0.000
		G+V(180°)H2	0.000	0.000	0.000	0.000	0.000	0.000
		G-SX	0.000	0.000	0.000	0.000	0.000	0.000
		G-SX	0.000	0.000	0.000	0.000	0.000	0.000
		G+SX	0.000	0.000	0.000	0.000	0.000	0.000
		G+SX	0.000	0.000	0.000	0.000	0.000	0.000
		G-SY	0.000	0.000	0.000	0.000	0.000	0.000
		G-SY	0.000	0.000	0.000	0.000	0.000	0.000
		G+SY	0.000	0.000	0.000	0.000	0.000	0.000
N17	Desplazamientos	G	0.000	-0.004	-0.024	-	-	-
		G+V(0°)H1	0.000	0.663	-0.024	-	-	-
		G+V(180°)H2	0.000	-0.732	-0.025	-	-	-
		G-SX	-1.997	-0.004	-0.024	-	-	-



Listados

Pórtico frontal 1

Fecha: 10/06/15

Desplazamientos de los nudos, por combinación								
Referencia	Combinación		Desplazamientos en ejes globales					
	Tipo	Descripción	Dx (mm)	Dy (mm)	Dz (mm)	Gx (mRad)	Gy (mRad)	Gz (mRad)
		G-SX	-1.750	-0.004	-0.024	-	-	-
		G+SX	1.750	-0.004	-0.024	-	-	-
		G+SX	1.997	-0.004	-0.024	-	-	-
		G-SY	0.000	-1.223	-0.026	-	-	-
		G-SY	0.000	-0.004	-0.024	-	-	-
		G+SY	0.000	-0.004	-0.024	-	-	-
		G+SY	0.000	1.216	-0.023	-	-	-
N18	Desplazamientos	G	0.000	0.000	0.000	0.000	0.000	0.000
		G+V(0°)H1	0.000	0.000	0.000	0.000	0.000	0.000
		G+V(180°)H2	0.000	0.000	0.000	0.000	0.000	0.000
		G-SX	0.000	0.000	0.000	0.000	0.000	0.000
		G-SX	0.000	0.000	0.000	0.000	0.000	0.000
		G+SX	0.000	0.000	0.000	0.000	0.000	0.000
		G+SX	0.000	0.000	0.000	0.000	0.000	0.000
		G-SY	0.000	0.000	0.000	0.000	0.000	0.000
		G-SY	0.000	0.000	0.000	0.000	0.000	0.000
		G+SY	0.000	0.000	0.000	0.000	0.000	0.000
		G+SY	0.000	0.000	0.000	0.000	0.000	0.000
N19	Desplazamientos	G	0.000	-0.005	-0.023	-	-	-
		G+V(0°)H1	0.000	0.669	-0.024	-	-	-
		G+V(180°)H2	0.000	-0.755	-0.021	-	-	-
		G-SX	-1.487	-0.005	-0.023	-	-	-
		G-SX	-1.281	-0.005	-0.023	-	-	-
		G+SX	1.281	-0.005	-0.023	-	-	-
		G+SX	1.487	-0.005	-0.023	-	-	-
		G-SY	0.000	-1.224	-0.023	-	-	-
		G-SY	0.000	-0.005	-0.020	-	-	-
		G+SY	0.000	-0.005	-0.025	-	-	-
		G+SY	0.000	1.214	-0.023	-	-	-
N20	Desplazamientos	G	0.000	0.000	0.000	0.000	0.000	0.000
		G+V(0°)H1	0.000	0.000	0.000	0.000	0.000	0.000
		G+V(180°)H2	0.000	0.000	0.000	0.000	0.000	0.000
		G-SX	0.000	0.000	0.000	0.000	0.000	0.000
		G-SX	0.000	0.000	0.000	0.000	0.000	0.000
		G+SX	0.000	0.000	0.000	0.000	0.000	0.000
		G+SX	0.000	0.000	0.000	0.000	0.000	0.000
		G-SY	0.000	0.000	0.000	0.000	0.000	0.000
		G-SY	0.000	0.000	0.000	0.000	0.000	0.000
		G+SY	0.000	0.000	0.000	0.000	0.000	0.000
		G+SY	0.000	0.000	0.000	0.000	0.000	0.000
N21	Desplazamientos	G	0.000	-0.001	-0.017	-	-	-
		G+V(0°)H1	0.000	0.376	-0.016	-	-	-
		G+V(180°)H2	0.000	-0.293	-0.018	-	-	-
		G-SX	-0.620	-0.001	-0.017	-	-	-
		G-SX	-0.553	-0.001	-0.017	-	-	-



Listados

Pórtico frontal 1

Fecha: 10/06/15

Desplazamientos de los nudos, por combinación								
Referencia	Combinación		Desplazamientos en ejes globales					
	Tipo	Descripción	Dx (mm)	Dy (mm)	Dz (mm)	Gx (mRad)	Gy (mRad)	Gz (mRad)
N22	Desplazamientos	G+SX	0.553	-0.001	-0.017	-	-	-
		G+SY	0.620	-0.001	-0.017	-	-	-
		G-SX	0.000	-0.456	-0.019	-	-	-
		G-SY	0.000	-0.001	-0.017	-	-	-
		G+SY	0.000	-0.001	-0.017	-	-	-
		G+SY	0.000	0.454	-0.015	-	-	-
		G	0.000	0.001	-0.017	-	-	-
		G+V(0°)H1	0.000	0.292	-0.018	-	-	-
		G+V(180°)H2	0.000	-0.372	-0.016	-	-	-
		G-SX	-0.487	0.001	-0.017	-	-	-
		G-SX	-0.419	0.001	-0.017	-	-	-
		G+SY	0.419	0.001	-0.017	-	-	-
N23	Desplazamientos	G+SY	0.487	0.001	-0.017	-	-	-
		G-SY	0.000	-0.454	-0.017	-	-	-
		G-SY	0.000	0.001	-0.015	-	-	-
		G+SY	0.000	0.001	-0.019	-	-	-
		G+SY	0.000	0.456	-0.017	-	-	-
		G	0.000	0.000	-0.018	-	-	-
		G+V(0°)H1	0.000	0.330	-0.019	-	-	-
		G+V(180°)H2	0.000	-0.274	-0.018	-	-	-
		G-SX	-0.854	0.000	-0.018	-	-	-
		G-SX	-0.773	0.000	-0.018	-	-	-
		G+SY	0.773	0.000	-0.018	-	-	-
		G+SY	0.854	0.000	-0.018	-	-	-
N24	Desplazamientos	G-SY	0.000	-0.457	-0.018	-	-	-
		G-SY	0.000	0.000	-0.017	-	-	-
		G+SY	0.000	0.000	-0.019	-	-	-
		G+SY	0.000	0.456	-0.018	-	-	-
		G	0.000	0.000	-0.018	0.000	0.000	0.000
		G+V(0°)H1	0.000	0.299	-0.018	-0.118	0.000	0.000
		G+V(180°)H2	0.000	-0.263	-0.018	0.109	0.000	0.000
		G-SX	-0.985	0.000	-0.018	0.000	-0.486	0.008
		G-SX	-0.915	0.000	-0.018	0.000	-0.418	0.013
		G+SY	0.915	0.000	-0.018	0.000	0.418	-0.013
		G+SY	0.985	0.000	-0.018	0.000	0.486	-0.008
		G-SY	0.000	-0.457	-0.018	0.000	0.000	0.000
N25	Desplazamientos	G-SY	0.000	0.000	-0.018	0.198	0.000	0.000
		G+SY	0.000	0.000	-0.018	-0.198	0.000	0.000
		G+SY	0.000	0.457	-0.018	0.000	0.000	0.000
		G	0.000	0.000	-0.018	0.000	0.000	0.000
		G+V(0°)H1	0.000	0.280	-0.018	-0.114	0.000	0.000
		G+V(180°)H2	0.000	-0.260	-0.018	0.108	0.000	0.000
		G-SX	-1.003	0.000	-0.018	0.000	-0.495	-0.001
		G-SX	-0.960	0.000	-0.018	0.000	-0.446	0.007
		G+SY	0.960	0.000	-0.018	0.000	0.446	-0.007
		G+SY	0.000	0.000	-0.018	0.000	0.000	0.000
		G+SY	0.000	0.457	-0.018	0.000	0.000	0.000
		G+SY	0.000	0.457	-0.018	0.000	0.000	0.000



Listados

Pórtico frontal 1

Fecha: 10/06/15

Desplazamientos de los nudos, por combinación								
Referencia	Combinación		Desplazamientos en ejes globales					
	Tipo	Descripción	Dx (mm)	Dy (mm)	Dz (mm)	Gx (mRad)	Gy (mRad)	Gz (mRad)
		G+SX	1.003	0.000	-0.018	0.000	0.495	0.001
		G-SY	0.000	-0.459	-0.018	0.000	0.000	0.000
		G-SY	0.000	0.000	-0.018	0.197	0.000	0.000
		G+SY	0.000	0.000	-0.018	-0.198	0.000	0.000
		G+SY	0.000	0.459	-0.018	0.000	0.000	0.000
		G	0.000	0.000	-0.018	0.000	0.000	0.000
		G+V(0°)H1	0.000	0.268	-0.018	-0.111	0.000	0.000
		G+V(180°)H2	0.000	-0.261	-0.018	0.109	0.000	0.000
		G-SX	-0.966	0.000	-0.018	0.000	-0.477	-0.008
		G-SX	-0.960	0.000	-0.018	0.000	0.470	0.008
N26	Desplazamientos	G+SX	0.960	0.000	-0.018	0.000	-0.470	-0.008
		G+SX	0.966	0.000	-0.018	0.000	0.477	0.008
		G-SY	0.000	-0.457	-0.018	0.000	0.000	0.000
		G-SY	0.000	0.000	-0.018	0.197	0.000	0.000
		G+SY	0.000	0.000	-0.018	-0.198	0.000	0.000
		G+SY	0.000	0.457	-0.018	0.000	0.000	0.000
		G	0.000	0.000	-0.018	0.000	0.000	0.000
		G+V(0°)H1	0.000	0.261	-0.018	-0.109	0.000	0.000
		G+V(180°)H2	0.000	-0.268	-0.018	0.111	0.000	0.000
		G-SX	-0.948	0.000	-0.018	0.000	-0.468	-0.012
N27	Desplazamientos	G-SX	-0.918	0.000	-0.018	0.000	-0.438	-0.003
		G+SX	0.918	0.000	-0.018	0.000	0.438	0.003
		G+SX	0.948	0.000	-0.018	0.000	0.468	0.012
		G-SY	0.000	-0.457	-0.018	0.000	0.000	0.000
		G-SY	0.000	0.000	-0.018	0.198	0.000	0.000
		G+SY	0.000	0.000	-0.018	-0.197	0.000	0.000
		G+SY	0.000	0.457	-0.018	0.000	0.000	0.000
		G	0.000	0.000	-0.018	0.000	0.000	0.000
		G+V(0°)H1	0.000	0.260	-0.018	-0.108	0.000	0.000
		G+V(180°)H2	0.000	-0.281	-0.018	0.114	0.000	0.000
N28	Desplazamientos	G-SX	-0.898	0.000	-0.018	0.000	-0.444	-0.016
		G-SX	-0.836	0.000	-0.018	0.000	-0.383	-0.010
		G+SX	0.836	0.000	-0.018	0.000	0.383	0.010
		G+SX	0.898	0.000	-0.018	0.000	0.444	0.016
		G-SY	0.000	-0.457	-0.018	0.000	0.000	0.000
		G-SY	0.000	0.000	-0.018	0.198	0.000	0.000
		G+SY	0.000	0.000	-0.018	-0.197	0.000	0.000
		G+SY	0.000	0.457	-0.018	0.000	0.000	0.000
		G	0.000	0.000	-0.018	0.000	0.000	0.000
		G+V(0°)H1	0.000	0.264	-0.018	-0.108	0.000	0.000
N29	Desplazamientos	G+V(180°)H2	0.000	-0.300	-0.018	0.118	0.000	0.000
		G-SX	-0.799	0.000	-0.018	0.000	-0.395	-0.018
		G-SX	-0.720	0.000	-0.018	0.000	-0.316	-0.016
		G+SX	0.720	0.000	-0.018	0.000	0.316	0.016
		G+SX	0.799	0.000	-0.018	0.000	0.395	0.018
		G	0.000	0.000	-0.018	0.000	0.000	0.000
		G+V(0°)H1	0.000	0.264	-0.018	-0.108	0.000	0.000



Listados

Pórtico frontal 1

Fecha: 10/06/15

Desplazamientos de los nudos, por combinación								
Referencia	Combinación		Desplazamientos en ejes globales					
	Tipo	Descripción	Dx (mm)	Dy (mm)	Dz (mm)	Gx (mRad)	Gy (mRad)	Gz (mRad)
N30	Desplazamientos	G-SY	0.000	-0.456	-0.018	0.000	0.000	0.000
		G-SY	0.000	0.000	-0.018	0.197	0.000	0.000
		G+SY	0.000	0.000	-0.018	-0.197	0.000	0.000
		G+SY	0.000	0.457	-0.018	0.000	0.000	0.000
		G	0.000	0.000	-0.018	-	-	-
		G+V(0°)H1	0.000	0.274	-0.018	-	-	-
		G+V(180°)H2	0.000	-0.330	-0.019	-	-	-
		G-SX	-0.654	0.000	-0.018	-	-	-
		G-SX	-0.573	0.000	-0.018	-	-	-
		G+SX	0.573	0.000	-0.018	-	-	-
		G+SX	0.654	0.000	-0.018	-	-	-
		G-SY	0.000	-0.456	-0.019	-	-	-
		G-SY	0.000	0.000	-0.018	-	-	-
		G+SY	0.000	0.000	-0.018	-	-	-
		G+SY	0.000	0.457	-0.017	-	-	-

2.3.1.1.3.- Envolventes

Envolvente de los desplazamientos en nudos								
Referencia	Combinación		Desplazamientos en ejes globales					
	Tipo	Descripción	Dx (mm)	Dy (mm)	Dz (mm)	Gx (mRad)	Gy (mRad)	Gz (mRad)
N1	Desplazamientos	Valor mínimo de la envolvente	0.000	0.000	0.000	-	-	-
		Valor máximo de la envolvente	0.000	0.000	0.000	-	-	-
N2	Desplazamientos	Valor mínimo de la envolvente	-1.895	-1.217	-0.025	-	-	-
		Valor máximo de la envolvente	1.895	1.227	-0.020	-	-	-
N3	Desplazamientos	Valor mínimo de la envolvente	0.000	0.000	0.000	-0.041	-0.058	-0.083
		Valor máximo de la envolvente	0.000	0.000	0.000	0.045	0.058	0.083
N4	Desplazamientos	Valor mínimo de la envolvente	-2.608	-1.218	-0.026	-	-	-
		Valor máximo de la envolvente	2.608	1.226	-0.023	-	-	-
N5	Desplazamientos	Valor mínimo de la envolvente	0.000	0.000	0.000	0.000	0.000	0.000
		Valor máximo de la envolvente	0.000	0.000	0.000	0.000	0.000	0.000
N6	Desplazamientos	Valor mínimo de la envolvente	-3.007	-1.222	-0.025	-0.206	-0.621	-0.024
		Valor máximo de la envolvente	3.007	1.227	-0.024	0.206	0.621	0.024
N7	Desplazamientos	Valor mínimo de la envolvente	-3.063	-1.224	-0.024	-0.206	-0.633	-0.012
		Valor máximo de la envolvente	3.063	1.226	-0.024	0.205	0.633	0.012
N8	Desplazamientos	Valor mínimo de la envolvente	0.000	0.000	0.000	0.000	0.000	0.000
		Valor máximo de la envolvente	0.000	0.000	0.000	0.000	0.000	0.000
N9	Desplazamientos	Valor mínimo de la envolvente	-2.951	-1.228	-0.024	-0.206	-0.610	-0.014
		Valor máximo de la envolvente	2.951	1.229	-0.024	0.206	0.610	0.014
N10	Desplazamientos	Valor mínimo de la envolvente	0.000	0.000	0.000	0.000	0.000	0.000
		Valor máximo de la envolvente	0.000	0.000	0.000	0.000	0.000	0.000
N11	Desplazamientos	Valor mínimo de la envolvente	-2.896	-1.227	-0.024	-0.206	-0.599	-0.023
		Valor máximo de la envolvente	2.896	1.227	-0.024	0.206	0.599	0.023
N12	Desplazamientos	Valor mínimo de la envolvente	0.000	0.000	0.000	0.000	0.000	0.000
		Valor máximo de la envolvente	0.000	0.000	0.000	0.000	0.000	0.000
N13	Desplazamientos	Valor mínimo de la envolvente	-2.743	-1.227	-0.024	-0.205	-0.567	-0.029
		Valor máximo de la envolvente	2.743	1.224	-0.024	0.206	0.567	0.029
N14	Desplazamientos	Valor mínimo de la envolvente	0.000	0.000	0.000	0.000	0.000	0.000
		Valor máximo de la envolvente	0.000	0.000	0.000	0.000	0.000	0.000



Listados

Pórtico frontal 1

Fecha: 10/06/15

Envolvente de los desplazamientos en nudos								
Referencia	Combinación		Desplazamientos en ejes globales					
	Tipo	Descripción	Dx (mm)	Dy (mm)	Dz (mm)	Gx (mRad)	Gy (mRad)	Gz (mRad)
N15	Desplazamientos	Valor mínimo de la envolvente	-2.441	-1.227	-0.024	-0.204	-0.505	-0.033
		Valor máximo de la envolvente	2.441	1.222	-0.024	0.206	0.505	0.033
N16	Desplazamientos	Valor mínimo de la envolvente	0.000	0.000	0.000	0.000	0.000	0.000
		Valor máximo de la envolvente	0.000	0.000	0.000	0.000	0.000	0.000
N17	Desplazamientos	Valor mínimo de la envolvente	-1.997	-1.223	-0.026	-	-	-
		Valor máximo de la envolvente	1.997	1.216	-0.023	-	-	-
N18	Desplazamientos	Valor mínimo de la envolvente	0.000	0.000	0.000	0.000	0.000	0.000
		Valor máximo de la envolvente	0.000	0.000	0.000	0.000	0.000	0.000
N19	Desplazamientos	Valor mínimo de la envolvente	-1.487	-1.224	-0.025	-	-	-
		Valor máximo de la envolvente	1.487	1.214	-0.020	-	-	-
N20	Desplazamientos	Valor mínimo de la envolvente	0.000	0.000	0.000	0.000	0.000	0.000
		Valor máximo de la envolvente	0.000	0.000	0.000	0.000	0.000	0.000
N21	Desplazamientos	Valor mínimo de la envolvente	-0.620	-0.456	-0.019	-	-	-
		Valor máximo de la envolvente	0.620	0.454	-0.015	-	-	-
N22	Desplazamientos	Valor mínimo de la envolvente	-0.487	-0.454	-0.019	-	-	-
		Valor máximo de la envolvente	0.487	0.456	-0.015	-	-	-
N23	Desplazamientos	Valor mínimo de la envolvente	-0.854	-0.457	-0.019	-	-	-
		Valor máximo de la envolvente	0.854	0.456	-0.017	-	-	-
N24	Desplazamientos	Valor mínimo de la envolvente	-0.985	-0.457	-0.018	-0.198	-0.486	-0.013
		Valor máximo de la envolvente	0.985	0.457	-0.018	0.198	0.486	0.013
N25	Desplazamientos	Valor mínimo de la envolvente	-1.003	-0.459	-0.018	-0.198	-0.495	-0.007
		Valor máximo de la envolvente	1.003	0.459	-0.018	0.197	0.495	0.007
N26	Desplazamientos	Valor mínimo de la envolvente	-0.966	-0.457	-0.018	-0.198	-0.477	-0.008
		Valor máximo de la envolvente	0.966	0.457	-0.018	0.197	0.477	0.008
N27	Desplazamientos	Valor mínimo de la envolvente	-0.948	-0.457	-0.018	-0.197	-0.468	-0.012
		Valor máximo de la envolvente	0.948	0.457	-0.018	0.198	0.468	0.012
N28	Desplazamientos	Valor mínimo de la envolvente	-0.898	-0.457	-0.018	-0.197	-0.444	-0.016
		Valor máximo de la envolvente	0.898	0.457	-0.018	0.198	0.444	0.016
N29	Desplazamientos	Valor mínimo de la envolvente	-0.799	-0.456	-0.018	-0.197	-0.395	-0.018
		Valor máximo de la envolvente	0.799	0.457	-0.018	0.197	0.395	0.018
N30	Desplazamientos	Valor mínimo de la envolvente	-0.654	-0.456	-0.019	-	-	-
		Valor máximo de la envolvente	0.654	0.457	-0.017	-	-	-

2.3.1.2.- Reacciones

Referencias:

Rx, Ry, Rz: Reacciones en nudos con desplazamientos coaccionados (fuerzas).

Mx, My, Mz: Reacciones en nudos con giros coaccionados (momentos).

2.3.1.2.1.- Hipótesis

Reacciones en los nudos, por hipótesis							
Referencia	Descripción	Reacciones en ejes globales					
		Rx (kN)	Ry (kN)	Rz (kN)	Mx (kN·m)	My (kN·m)	Mz (kN·m)
N1	Carga permanente	0.000	0.221	45.407	-0.28	0.00	0.00
	V(0°) H1	0.000	-14.298	-2.137	19.75	0.00	0.00
	V(180°) H2	0.000	6.958	2.002	-12.98	0.00	0.00
	Sismo X: Modo 1	-1.472	0.000	0.000	0.00	-8.39	0.22
	Sismo X: Modo 2	0.000	0.000	0.000	0.00	0.00	0.00
	Sismo X: Modo 3	0.000	0.000	0.000	0.00	0.00	0.00
	Sismo X: Modo 4	0.184	0.000	0.000	0.00	1.05	-0.02
	Sismo X: Modo 5	0.000	0.000	0.000	0.00	0.00	0.00



Listados

Pórtico frontal 1

Fecha: 10/06/15

Reacciones en los nudos, por hipótesis							
Referencia	Descripción	Reacciones en ejes globales					
		Rx (kN)	Ry (kN)	Rz (kN)	Mx (kN·m)	My (kN·m)	Mz (kN·m)
	Sismo X: Modo 6	0.000	0.000	0.000	0.00	0.00	0.00
	Sismo Y: Modo 1	0.000	0.000	0.000	0.00	0.00	0.00
	Sismo Y: Modo 2	0.000	-2.622	-1.872	7.82	0.00	0.00
	Sismo Y: Modo 3	0.000	-0.001	0.000	0.00	0.00	0.00
	Sismo Y: Modo 4	0.000	0.000	0.000	0.00	0.00	0.00
	Sismo Y: Modo 5	0.000	0.478	-0.046	-0.85	0.00	0.00
	Sismo Y: Modo 6	0.000	0.002	0.000	0.00	0.00	0.00
N3	Carga permanente	0.000	0.050	47.969	-0.06	0.00	0.00
	V(0°) H1	0.000	-4.515	1.310	13.15	0.00	0.00
	V(180°) H2	0.000	3.912	-1.208	-10.25	0.00	0.00
	Sismo X: Modo 1	-2.063	0.000	0.000	0.00	-11.73	0.32
	Sismo X: Modo 2	0.000	0.000	0.000	0.00	0.00	0.00
	Sismo X: Modo 3	0.000	0.000	0.000	0.00	0.00	0.00
	Sismo X: Modo 4	0.221	0.000	0.000	0.00	1.25	0.00
	Sismo X: Modo 5	0.000	0.000	0.000	0.00	0.00	0.00
	Sismo X: Modo 6	0.000	0.000	0.000	0.00	0.00	0.00
	Sismo Y: Modo 1	0.000	0.000	0.000	0.00	0.00	0.00
	Sismo Y: Modo 2	0.000	-2.162	1.123	7.98	0.00	0.00
	Sismo Y: Modo 3	0.000	-0.001	0.000	0.00	0.00	0.00
	Sismo Y: Modo 4	0.000	0.000	0.000	0.00	0.00	0.00
	Sismo Y: Modo 5	0.000	0.523	0.016	-0.86	0.00	0.00
	Sismo Y: Modo 6	0.000	0.002	0.000	0.00	0.00	0.00
N5	Carga permanente	0.000	0.002	47.758	0.00	0.00	0.00
	V(0°) H1	0.000	-3.660	-0.130	11.42	0.00	0.00
	V(180°) H2	0.000	2.858	0.134	-9.63	0.00	0.00
	Sismo X: Modo 1	-2.442	0.000	0.000	0.00	-13.88	0.16
	Sismo X: Modo 2	0.000	0.000	0.000	0.00	0.00	0.00
	Sismo X: Modo 3	0.000	0.000	0.000	0.00	0.00	0.00
	Sismo X: Modo 4	0.191	0.000	0.000	0.00	1.08	0.04
	Sismo X: Modo 5	0.000	0.000	0.000	0.00	0.00	0.00
	Sismo X: Modo 6	0.000	0.000	0.000	0.00	0.00	0.00
	Sismo Y: Modo 1	0.000	0.000	0.000	0.00	0.00	0.00
	Sismo Y: Modo 2	0.000	-2.165	-0.121	7.99	0.00	0.00
	Sismo Y: Modo 3	0.000	-0.001	0.000	0.00	0.00	0.00
	Sismo Y: Modo 4	0.000	0.000	0.000	0.00	0.00	0.00
	Sismo Y: Modo 5	0.000	0.496	-0.005	-0.87	0.00	0.00
	Sismo Y: Modo 6	0.000	0.002	0.000	0.00	0.00	0.00
N8	Carga permanente	0.000	0.010	47.565	-0.01	0.00	0.00
	V(0°) H1	0.000	-3.174	0.008	10.39	0.00	0.00
	V(180°) H2	0.000	2.738	0.006	-9.41	0.00	0.00
	Sismo X: Modo 1	-2.561	0.000	0.000	0.00	-14.57	0.04
	Sismo X: Modo 2	0.000	0.000	0.000	0.00	0.00	0.00
	Sismo X: Modo 3	0.000	0.000	0.000	0.00	0.00	0.00
	Sismo X: Modo 4	0.118	0.000	0.000	0.00	0.67	0.06
	Sismo X: Modo 5	0.000	0.000	0.000	0.00	0.00	0.00



Listados

Pórtico frontal 1

Fecha: 10/06/15

Reacciones en los nudos, por hipótesis							
Referencia	Descripción	Reacciones en ejes globales					
		Rx (kN)	Ry (kN)	Rz (kN)	Mx (kN·m)	My (kN·m)	Mz (kN·m)
	Sismo X: Modo 6	0.000	0.000	0.000	0.00	0.00	0.00
	Sismo Y: Modo 1	0.000	0.000	0.000	0.00	0.00	0.00
	Sismo Y: Modo 2	0.000	-2.172	0.000	8.00	0.00	0.00
	Sismo Y: Modo 3	0.000	0.000	0.000	0.00	0.00	0.00
	Sismo Y: Modo 4	0.000	0.000	0.000	0.00	0.00	0.00
	Sismo Y: Modo 5	0.000	0.499	0.000	-0.88	0.00	0.00
	Sismo Y: Modo 6	0.000	0.001	0.000	0.00	0.00	0.00
N10	Carga permanente	0.000	0.002	47.567	0.00	0.00	0.00
	V(0°) H1	0.000	-2.880	0.008	9.76	0.00	0.00
	V(180°) H2	0.000	2.747	0.008	-9.46	0.00	0.00
	Sismo X: Modo 1	-2.560	0.000	0.000	0.00	-14.56	-0.04
	Sismo X: Modo 2	0.000	0.000	0.000	0.00	0.00	0.00
	Sismo X: Modo 3	0.000	0.000	0.000	0.00	0.00	0.00
	Sismo X: Modo 4	0.019	0.000	0.000	0.00	0.11	0.07
	Sismo X: Modo 5	0.000	0.000	0.000	0.00	0.00	0.00
	Sismo X: Modo 6	0.000	0.000	0.000	0.00	0.00	0.00
	Sismo Y: Modo 1	0.000	0.000	0.000	0.00	0.00	0.00
	Sismo Y: Modo 2	0.000	-2.172	0.000	8.00	0.00	0.00
	Sismo Y: Modo 3	0.000	0.000	0.000	0.00	0.00	0.00
	Sismo Y: Modo 4	0.000	0.000	0.000	0.00	0.00	0.00
	Sismo Y: Modo 5	0.000	0.500	0.000	-0.88	0.00	0.00
	Sismo Y: Modo 6	0.000	0.000	0.000	0.00	0.00	0.00
N12	Carga permanente	0.000	-0.006	47.567	0.01	0.00	0.00
	V(0°) H1	0.000	-2.744	0.008	9.45	0.00	0.00
	V(180°) H2	0.000	2.893	0.007	-9.79	0.00	0.00
	Sismo X: Modo 1	-2.448	0.000	0.000	0.00	-13.92	-0.12
	Sismo X: Modo 2	0.000	0.000	0.000	0.00	0.00	0.00
	Sismo X: Modo 3	0.000	0.000	0.000	0.00	0.00	0.00
	Sismo X: Modo 4	-0.084	0.000	0.000	0.00	-0.48	0.07
	Sismo X: Modo 5	0.000	0.000	0.000	0.00	0.00	0.00
	Sismo X: Modo 6	0.000	0.000	0.000	0.00	0.00	0.00
	Sismo Y: Modo 1	0.000	0.000	0.000	0.00	0.00	0.00
	Sismo Y: Modo 2	0.000	-2.174	0.001	8.00	0.00	0.00
	Sismo Y: Modo 3	0.000	0.000	0.000	0.00	0.00	0.00
	Sismo Y: Modo 4	0.000	0.000	0.000	0.00	0.00	0.00
	Sismo Y: Modo 5	0.000	0.498	0.000	-0.88	0.00	0.00
	Sismo Y: Modo 6	0.000	0.000	0.000	0.00	0.00	0.00
N14	Carga permanente	0.000	-0.014	47.567	0.02	0.00	0.00
	V(0°) H1	0.000	-2.744	0.008	9.41	0.00	0.00
	V(180°) H2	0.000	3.198	0.005	-10.44	0.00	0.00
	Sismo X: Modo 1	-2.231	0.000	0.000	0.00	-12.69	-0.19
	Sismo X: Modo 2	0.000	0.000	0.000	0.00	0.00	0.00
	Sismo X: Modo 3	0.000	0.000	0.000	0.00	0.00	0.00
	Sismo X: Modo 4	-0.169	0.000	0.000	0.00	-0.96	0.05
	Sismo X: Modo 5	0.000	0.000	0.000	0.00	0.00	0.00



Listados

Pórtico frontal 1

Fecha: 10/06/15

Reacciones en los nudos, por hipótesis							
Referencia	Descripción	Reacciones en ejes globales					
		Rx (kN)	Ry (kN)	Rz (kN)	Mx (kN·m)	My (kN·m)	Mz (kN·m)
	Sismo X: Modo 6	0.000	0.000	0.000	0.00	0.00	0.00
	Sismo Y: Modo 1	0.000	0.000	0.000	0.00	0.00	0.00
	Sismo Y: Modo 2	0.000	-2.177	0.001	8.01	0.00	0.00
	Sismo Y: Modo 3	0.000	0.000	0.000	0.00	0.00	0.00
	Sismo Y: Modo 4	0.000	0.000	0.000	0.00	0.00	0.00
	Sismo Y: Modo 5	0.000	0.495	0.000	-0.87	0.00	0.00
	Sismo Y: Modo 6	0.000	-0.001	0.000	0.00	0.00	0.00
N16	Carga permanente	0.000	-0.027	47.567	0.03	0.00	0.00
	V(0°) H1	0.000	-2.885	0.007	9.67	0.00	0.00
	V(180°) H2	0.000	3.712	0.002	-11.51	0.00	0.00
	Sismo X: Modo 1	-1.920	0.000	0.000	0.00	-10.92	-0.25
	Sismo X: Modo 2	0.000	0.000	0.000	0.00	0.00	0.00
	Sismo X: Modo 3	0.000	0.000	0.000	0.00	0.00	0.00
	Sismo X: Modo 4	-0.219	0.000	0.000	0.00	-1.24	0.02
	Sismo X: Modo 5	0.000	0.000	0.000	0.00	0.00	0.00
	Sismo X: Modo 6	0.000	0.000	0.000	0.00	0.00	0.00
	Sismo Y: Modo 1	0.000	0.000	0.000	0.00	0.00	0.00
	Sismo Y: Modo 2	0.000	-2.183	0.001	8.01	0.00	0.00
	Sismo Y: Modo 3	0.000	0.001	0.000	0.00	0.00	0.00
	Sismo Y: Modo 4	0.000	0.000	0.000	0.00	0.00	0.00
	Sismo Y: Modo 5	0.000	0.489	0.000	-0.86	0.00	0.00
	Sismo Y: Modo 6	0.000	-0.002	0.000	0.00	0.00	0.00
N18	Carga permanente	0.000	-0.048	47.584	0.06	0.00	0.00
	V(0°) H1	0.000	-3.932	-1.297	10.27	0.00	0.00
	V(180°) H2	0.000	4.538	1.402	-13.16	0.00	0.00
	Sismo X: Modo 1	-1.528	0.000	0.000	0.00	-8.69	-0.30
	Sismo X: Modo 2	0.000	0.000	0.000	0.00	0.00	0.00
	Sismo X: Modo 3	0.000	0.000	0.000	0.00	0.00	0.00
	Sismo X: Modo 4	-0.221	0.000	0.000	0.00	-1.25	-0.01
	Sismo X: Modo 5	0.000	0.000	0.000	0.00	0.00	0.00
	Sismo X: Modo 6	0.000	0.000	0.000	0.00	0.00	0.00
	Sismo Y: Modo 1	0.000	0.000	0.000	0.00	0.00	0.00
	Sismo Y: Modo 2	0.000	-2.782	-1.208	8.02	0.00	0.00
	Sismo Y: Modo 3	0.000	0.001	0.000	0.00	0.00	0.00
	Sismo Y: Modo 4	0.000	0.000	0.000	0.00	0.00	0.00
	Sismo Y: Modo 5	0.000	0.482	-0.017	-0.85	0.00	0.00
	Sismo Y: Modo 6	0.000	-0.002	0.000	0.00	0.00	0.00
N20	Carga permanente	0.000	-0.191	45.217	0.24	0.00	0.00
	V(0°) H1	0.000	-6.942	2.214	12.92	0.00	0.00
	V(180°) H2	0.000	14.223	-2.357	-19.58	0.00	0.00
	Sismo X: Modo 1	-1.115	0.000	0.000	0.00	-6.36	-0.17
	Sismo X: Modo 2	0.000	0.000	0.000	0.00	0.00	0.00
	Sismo X: Modo 3	0.000	0.000	0.000	0.00	0.00	0.00
	Sismo X: Modo 4	-0.184	0.000	0.000	0.00	-1.05	-0.02
	Sismo X: Modo 5	0.000	0.000	0.000	0.00	0.00	0.00



Listados

Pórtico frontal 1

Fecha: 10/06/15

Reacciones en los nudos, por hipótesis							
Referencia	Descripción	Reacciones en ejes globales					
		Rx (kN)	Ry (kN)	Rz (kN)	Mx (kN·m)	My (kN·m)	Mz (kN·m)
	Sismo X: Modo 6	0.000	0.000	0.000	0.00	0.00	0.00
	Sismo Y: Modo 1	0.000	0.000	0.000	0.00	0.00	0.00
	Sismo Y: Modo 2	0.000	-2.052	2.074	7.84	0.00	0.00
	Sismo Y: Modo 3	0.000	0.001	0.000	0.00	0.00	0.00
	Sismo Y: Modo 4	0.000	0.000	0.000	0.00	0.00	0.00
	Sismo Y: Modo 5	0.000	0.501	0.051	-0.83	0.00	0.00
	Sismo Y: Modo 6	0.000	-0.002	0.000	0.00	0.00	0.00

2.3.1.2.2.- Combinaciones

Reacciones en los nudos, por combinación								
Referencia	Combinación		Reacciones en ejes globales					
	Tipo	Descripción	Rx (kN)	Ry (kN)	Rz (kN)	Mx (kN·m)	My (kN·m)	Mz (kN·m)
N1	Hormigón en cimentaciones	G	0.000	0.221	45.407	-0.28	0.00	0.00
		1.6·G	0.000	0.354	72.652	-0.45	0.00	0.00
		G+1.6·V(0°)H1	0.000	-22.655	41.988	31.31	0.00	0.00
		1.6·G+1.6·V(0°)H1	0.000	-22.521	69.232	31.14	0.00	0.00
		G+1.6·V(180°)H2	0.000	11.352	48.610	-21.04	0.00	0.00
		1.6·G+1.6·V(180°)H2	0.000	11.484	75.855	-21.21	0.00	0.00
		G-0.3·SX-SY	0.000	0.221	45.407	-8.19	0.00	-0.07
		G-0.3·SX-SY	0.496	2.301	47.280	-0.28	2.82	0.00
		G+0.3·SX-SY	-0.496	0.221	45.407	-8.19	-2.82	0.00
		G+0.3·SX-SY	0.000	2.301	47.280	-0.28	0.00	0.07
		G-0.3·SX+SY	0.000	-2.455	43.535	-0.28	0.00	-0.07
		G-0.3·SX+SY	0.496	0.221	45.407	7.63	2.82	0.00
		G+0.3·SX+SY	-0.496	-2.455	43.535	-0.28	-2.82	0.00
		G+0.3·SX+SY	0.000	0.221	45.407	7.63	0.00	0.07
		G-SX-0.3·SY	0.000	0.221	45.407	-2.65	0.00	-0.24
		G-SX-0.3·SY	1.652	0.844	45.969	-0.28	9.41	0.00
		G+SX-0.3·SY	-1.652	0.221	45.407	-2.65	-9.41	0.00
		G+SX-0.3·SY	0.000	0.844	45.969	-0.28	0.00	0.24
		G-SX+0.3·SY	0.000	-0.580	44.846	-0.28	0.00	-0.24
		G-SX+0.3·SY	1.652	0.221	45.407	2.09	9.41	0.00
		G+SX+0.3·SY	-1.652	-0.580	44.846	-0.28	-9.41	0.00
		G+SX+0.3·SY	0.000	0.221	45.407	2.09	0.00	0.24
	Tensiones sobre el terreno	G	0.000	0.221	45.407	-0.28	0.00	0.00
		G+V(0°)H1	0.000	-14.076	43.270	19.47	0.00	0.00
		G+V(180°)H2	0.000	7.177	47.409	-13.26	0.00	0.00
		G-SX	1.472	0.221	45.407	-0.28	8.39	-0.24
		G-SX	1.652	0.221	45.407	-0.28	9.41	-0.22
		G+SX	-1.652	0.221	45.407	-0.28	-9.41	0.22
		G+SX	-1.472	0.221	45.407	-0.28	-8.39	0.24
		G-SY	0.000	0.221	45.407	-8.19	0.00	0.00
		G-SY	0.000	2.301	47.280	-0.28	0.00	0.00
		G+SY	0.000	-2.455	43.535	-0.28	0.00	0.00
		G+SY	0.000	0.221	45.407	7.63	0.00	0.00
		G+SY	0.000	0.221	45.407	7.63	0.00	0.00
N3	Hormigón en cimentaciones	G	0.000	0.050	47.969	-0.06	0.00	0.00
		1.6·G	0.000	0.080	76.751	-0.10	0.00	0.00
		G+1.6·V(0°)H1	0.000	-7.176	50.066	20.98	0.00	0.00
		1.6·G+1.6·V(0°)H1	0.000	-7.147	78.847	20.94	0.00	0.00
		G+1.6·V(180°)H2	0.000	6.310	46.036	-16.46	0.00	0.00



Listados

Pórtico frontal 1

Fecha: 10/06/15

Reacciones en los nudos, por combinación								
Referencia	Combinación		Reacciones en ejes globales					
	Tipo	Descripción	Rx (kN)	Ry (kN)	Rz (kN)	Mx (kN·m)	My (kN·m)	Mz (kN·m)
		1.6·G+1.6·V(180°)H2	0.000	6.341	74.818	-16.50	0.00	0.00
		G-0.3·SX-SY	0.000	0.050	46.846	-8.14	0.00	-0.10
		G-0.3·SX-SY	0.684	2.862	47.969	-0.06	3.89	0.00
		G+0.3·SX-SY	-0.684	0.050	46.846	-8.14	-3.89	0.00
		G+0.3·SX-SY	0.000	2.862	47.969	-0.06	0.00	0.10
		G-0.3·SX+SY	0.000	-2.166	47.969	-0.06	0.00	-0.10
		G-0.3·SX+SY	0.684	0.050	49.093	8.01	3.89	0.00
		G+0.3·SX+SY	-0.684	-2.166	47.969	-0.06	-3.89	0.00
		G+0.3·SX+SY	0.000	0.050	49.093	8.01	0.00	0.10
		G-SX-0.3·SY	0.000	0.050	47.632	-2.49	0.00	-0.33
		G-SX-0.3·SY	2.279	0.895	47.969	-0.06	12.96	0.00
		G+SX-0.3·SY	-2.279	0.050	47.632	-2.49	-12.96	0.00
		G+SX-0.3·SY	0.000	0.895	47.969	-0.06	0.00	0.33
		G-SX+0.3·SY	0.000	-0.616	47.969	-0.06	0.00	-0.33
		G-SX+0.3·SY	2.279	0.050	48.306	2.36	12.96	0.00
		G+SX+0.3·SY	-2.279	-0.616	47.969	-0.06	-12.96	0.00
		G+SX+0.3·SY	0.000	0.050	48.306	2.36	0.00	0.33
	Tensiones sobre el terreno	G	0.000	0.050	47.969	-0.06	0.00	0.00
		G+V(0°)H1	0.000	-4.467	49.280	13.09	0.00	0.00
		G+V(180°)H2	0.000	3.963	46.761	-10.31	0.00	0.00
		G-SX	2.063	0.050	47.969	-0.06	11.73	-0.33
		G-SX	2.279	0.050	47.969	-0.06	12.96	-0.32
		G+SX	-2.279	0.050	47.969	-0.06	-12.96	0.32
		G+SX	-2.063	0.050	47.969	-0.06	-11.73	0.33
		G-SY	0.000	0.050	46.846	-8.14	0.00	0.00
		G-SY	0.000	2.862	47.969	-0.06	0.00	0.00
		G+SY	0.000	-2.166	47.969	-0.06	0.00	0.00
		G+SY	0.000	0.050	49.093	8.01	0.00	0.00
N5	Hormigón en cimentaciones	G	0.000	0.002	47.758	0.00	0.00	0.00
		1.6·G	0.000	0.004	76.413	0.00	0.00	0.00
		G+1.6·V(0°)H1	0.000	-5.854	47.550	18.27	0.00	0.00
		1.6·G+1.6·V(0°)H1	0.000	-5.853	76.205	18.27	0.00	0.00
		G+1.6·V(180°)H2	0.000	4.575	47.973	-15.42	0.00	0.00
		1.6·G+1.6·V(180°)H2	0.000	4.576	76.628	-15.42	0.00	0.00
		G-0.3·SX-SY	0.000	0.002	47.758	-8.09	0.00	-0.06
		G-0.3·SX-SY	0.788	2.225	47.879	0.00	4.48	0.00
		G+0.3·SX-SY	-0.788	0.002	47.758	-8.09	-4.48	0.00
		G+0.3·SX-SY	0.000	2.225	47.879	0.00	0.00	0.06
		G-0.3·SX+SY	0.000	-2.220	47.637	0.00	0.00	-0.06
		G-0.3·SX+SY	0.788	0.002	47.758	8.09	4.48	0.00
		G+0.3·SX+SY	-0.788	-2.220	47.637	0.00	-4.48	0.00
		G+0.3·SX+SY	0.000	0.002	47.758	8.09	0.00	0.06
		G-SX-0.3·SY	0.000	0.002	47.758	-2.43	0.00	-0.19
		G-SX-0.3·SY	2.628	0.669	47.794	0.00	14.94	0.00
		G+SX-0.3·SY	-2.628	0.002	47.758	-2.43	-14.94	0.00
		G+SX-0.3·SY	0.000	0.669	47.794	0.00	0.00	0.19
		G-SX+0.3·SY	0.000	-0.665	47.722	0.00	0.00	-0.19
		G-SX+0.3·SY	2.628	0.002	47.758	2.42	14.94	0.00
		G+SX+0.3·SY	-2.628	-0.665	47.722	0.00	-14.94	0.00
		G+SX+0.3·SY	0.000	0.002	47.758	2.42	0.00	0.19
	Tensiones sobre el terreno	G	0.000	0.002	47.758	0.00	0.00	0.00
		G+V(0°)H1	0.000	-3.658	47.628	11.42	0.00	0.00
		G+V(180°)H2	0.000	2.860	47.892	-9.64	0.00	0.00
		G-SX	2.255	0.002	47.758	0.00	12.82	-0.19



Listados

Pórtico frontal 1

Fecha: 10/06/15

Reacciones en los nudos, por combinación								
Referencia	Combinación		Reacciones en ejes globales					
	Tipo	Descripción	Rx (kN)	Ry (kN)	Rz (kN)	Mx (kN·m)	My (kN·m)	Mz (kN·m)
		G-SX	2.628	0.002	47.758	0.00	14.94	-0.12
		G+ SX	-2.628	0.002	47.758	0.00	-14.94	0.12
		G+ SX	-2.255	0.002	47.758	0.00	-12.82	0.19
		G-SY	0.000	0.002	47.758	-8.09	0.00	0.00
		G-SY	0.000	2.225	47.879	0.00	0.00	0.00
		G+ SY	0.000	-2.220	47.637	0.00	0.00	0.00
		G+ SY	0.000	0.002	47.758	8.09	0.00	0.00
N8	Hormigón en cimentaciones	G	0.000	0.010	47.565	-0.01	0.00	0.00
		1.6· G	0.000	0.017	76.104	-0.02	0.00	0.00
		G+ 1.6· V(0°)H1	0.000	-5.067	47.577	16.62	0.00	0.00
		1.6· G+ 1.6· V(0°)H1	0.000	-5.061	76.116	16.61	0.00	0.00
		G+ 1.6· V(180°)H2	0.000	4.391	47.575	-15.06	0.00	0.00
		1.6· G+ 1.6· V(180°)H2	0.000	4.397	76.114	-15.07	0.00	0.00
		G-0.3· SX-SY	0.000	0.010	47.565	-8.11	0.00	-0.03
		G-0.3· SX-SY	0.803	2.241	47.565	-0.01	4.57	0.01
		G+0.3· SX-SY	-0.803	0.010	47.565	-8.11	-4.57	-0.01
		G+0.3· SX-SY	0.000	2.241	47.565	-0.01	0.00	0.03
		G-0.3· SX+SY	0.000	-2.220	47.565	-0.01	0.00	-0.03
		G-0.3· SX+SY	0.803	0.010	47.566	8.09	4.57	0.01
		G+0.3· SX+SY	-0.803	-2.220	47.565	-0.01	-4.57	-0.01
		G+0.3· SX+SY	0.000	0.010	47.566	8.09	0.00	0.03
		G-SX-0.3· SY	0.000	0.010	47.565	-2.44	0.00	-0.10
		G-SX-0.3· SY	2.676	0.680	47.565	-0.01	15.22	0.02
		G+ SX-0.3· SY	-2.676	0.010	47.565	-2.44	-15.22	-0.02
		G+ SX-0.3· SY	0.000	0.680	47.565	-0.01	0.00	0.10
		G-SX+0.3· SY	0.000	-0.659	47.565	-0.01	0.00	-0.10
		G-SX+0.3· SY	2.676	0.010	47.565	2.42	15.22	0.02
		G+ SX+0.3· SY	-2.676	-0.659	47.565	-0.01	-15.22	-0.02
		G+ SX+0.3· SY	0.000	0.010	47.565	2.42	0.00	0.10
	Tensiones sobre el terreno	G	0.000	0.010	47.565	-0.01	0.00	0.00
		G+ V(0°)H1	0.000	-3.163	47.573	10.38	0.00	0.00
		G+ V(180°)H2	0.000	2.748	47.571	-9.42	0.00	0.00
		G-SX	2.406	0.010	47.565	-0.01	13.68	-0.10
		G-SX	2.676	0.010	47.565	-0.01	15.22	0.02
		G+ SX	-2.676	0.010	47.565	-0.01	-15.22	-0.02
		G+ SX	-2.406	0.010	47.565	-0.01	-13.68	0.10
		G-SY	0.000	0.010	47.565	-8.11	0.00	0.00
		G-SY	0.000	2.241	47.565	-0.01	0.00	0.00
		G+ SY	0.000	-2.220	47.565	-0.01	0.00	0.00
		G+ SY	0.000	0.010	47.566	8.09	0.00	0.00
N10	Hormigón en cimentaciones	G	0.000	0.002	47.567	0.00	0.00	0.00
		1.6· G	0.000	0.003	76.107	0.00	0.00	0.00
		G+ 1.6· V(0°)H1	0.000	-4.606	47.581	15.62	0.00	0.00
		1.6· G+ 1.6· V(0°)H1	0.000	-4.605	76.121	15.62	0.00	0.00
		G+ 1.6· V(180°)H2	0.000	4.397	47.579	-15.13	0.00	0.00
		1.6· G+ 1.6· V(180°)H2	0.000	4.398	76.119	-15.13	0.00	0.00
		G-0.3· SX-SY	-0.762	0.002	47.567	-8.11	-4.33	-0.03
		G-0.3· SX-SY	0.773	2.233	47.567	0.00	4.40	0.03
		G+0.3· SX-SY	-0.773	0.002	47.567	-8.11	-4.40	-0.03
		G+0.3· SX-SY	0.762	2.233	47.567	0.00	4.33	0.03
		G-0.3· SX+SY	-0.762	-2.229	47.567	0.00	-4.33	-0.03
		G-0.3· SX+SY	0.773	0.002	47.567	8.10	4.40	0.03
		G+0.3· SX+SY	-0.773	-2.229	47.567	0.00	-4.40	-0.03
		G+0.3· SX+SY	0.762	0.002	47.567	8.10	4.33	0.03



Listados

Pórtico frontal 1

Fecha: 10/06/15

Reacciones en los nudos, por combinación								
Referencia	Combinación		Reacciones en ejes globales					
	Tipo	Descripción	Rx (kN)	Ry (kN)	Rz (kN)	Mx (kN·m)	My (kN·m)	Mz (kN·m)
		G-SX-0.3·SY	-2.539	0.002	47.567	-2.43	-14.44	-0.11
		G-SX-0.3·SY	2.578	0.671	47.567	0.00	14.66	0.11
		G+SX-0.3·SY	-2.578	0.002	47.567	-2.43	-14.66	-0.11
		G+SX-0.3·SY	2.539	0.671	47.567	0.00	14.44	0.11
		G-SX+0.3·SY	-2.539	-0.667	47.567	0.00	-14.44	-0.11
		G-SX+0.3·SY	2.578	0.002	47.567	2.43	14.66	0.11
		G+SX+0.3·SY	-2.578	-0.667	47.567	0.00	-14.66	-0.11
		G+SX+0.3·SY	2.539	0.002	47.567	2.43	14.44	0.11
	Tensiones sobre el terreno	G	0.000	0.002	47.567	0.00	0.00	0.00
		G+V(0°)H1	0.000	-2.878	47.576	9.76	0.00	0.00
		G+V(180°)H2	0.000	2.749	47.575	-9.46	0.00	0.00
		G-SX	-2.539	0.002	47.567	0.00	-14.44	-0.11
		G-SX	2.578	0.002	47.567	0.00	14.66	0.11
		G+SX	-2.578	0.002	47.567	0.00	-14.66	-0.11
		G+SX	2.539	0.002	47.567	0.00	14.44	0.11
		G-SY	0.000	0.002	47.567	-8.11	0.00	0.00
		G-SY	0.000	2.233	47.567	0.00	0.00	0.00
		G+SY	0.000	-2.229	47.567	0.00	0.00	0.00
		G+SY	0.000	0.002	47.567	8.10	0.00	0.00
N12	Hormigón en cimentaciones	G	0.000	-0.006	47.567	0.01	0.00	0.00
		1.6·G	0.000	-0.009	76.107	0.01	0.00	0.00
		G+1.6·V(0°)H1	0.000	-4.395	47.581	15.12	0.00	0.00
		1.6·G+1.6·V(0°)H1	0.000	-4.399	76.121	15.13	0.00	0.00
		G+1.6·V(180°)H2	0.000	4.623	47.579	-15.65	0.00	0.00
		1.6·G+1.6·V(180°)H2	0.000	4.619	76.119	-15.65	0.00	0.00
		G-0.3·SX-SY	0.000	-0.006	47.566	-8.10	0.00	0.00
		G-0.3·SX-SY	0.759	2.226	47.567	0.01	4.32	0.06
		G+0.3·SX-SY	-0.759	-0.006	47.566	-8.10	-4.32	-0.06
		G+0.3·SX-SY	0.000	2.226	47.567	0.01	0.00	0.00
		G-0.3·SX+SY	0.000	-2.237	47.567	0.01	0.00	0.00
		G-0.3·SX+SY	0.759	-0.006	47.568	8.11	4.32	0.06
		G+0.3·SX+SY	-0.759	-2.237	47.567	0.01	-4.32	-0.06
		G+0.3·SX+SY	0.000	-0.006	47.568	8.11	0.00	0.00
		G-SX-0.3·SY	0.000	-0.006	47.567	-2.42	0.00	0.00
		G-SX-0.3·SY	2.530	0.664	47.567	0.01	14.39	0.18
		G+SX-0.3·SY	-2.530	-0.006	47.567	-2.42	-14.39	-0.18
		G+SX-0.3·SY	0.000	0.664	47.567	0.01	0.00	0.00
		G-SX+0.3·SY	0.000	-0.675	47.567	0.01	0.00	0.00
		G-SX+0.3·SY	2.530	-0.006	47.567	2.44	14.39	0.18
		G+SX+0.3·SY	-2.530	-0.675	47.567	0.01	-14.39	-0.18
		G+SX+0.3·SY	0.000	-0.006	47.567	2.44	0.00	0.00
	Tensiones sobre el terreno	G	0.000	-0.006	47.567	0.01	0.00	0.00
		G+V(0°)H1	0.000	-2.749	47.576	9.45	0.00	0.00
		G+V(180°)H2	0.000	2.887	47.575	-9.78	0.00	0.00
		G-SX	2.365	-0.006	47.567	0.01	13.45	0.05
		G-SX	2.530	-0.006	47.567	0.01	14.39	0.18
		G+SX	-2.530	-0.006	47.567	0.01	-14.39	-0.18
		G+SX	-2.365	-0.006	47.567	0.01	-13.45	-0.05
		G-SY	0.000	-0.006	47.566	-8.10	0.00	0.00
N14	Hormigón en cimentaciones	G	0.000	-0.014	47.567	0.02	0.00	0.00
		1.6·G	0.000	-0.023	76.108	0.03	0.00	0.00



Listados

Pórtico frontal 1

Fecha: 10/06/15

Reacciones en los nudos, por combinación								
Referencia	Combinación		Reacciones en ejes globales					
	Tipo	Descripción	Rx (kN)	Ry (kN)	Rz (kN)	Mx (kN·m)	My (kN·m)	Mz (kN·m)
		G+1.6·V(0°)H1	0.000	-4.405	47.580	15.08	0.00	0.00
		1.6·G+1.6·V(0°)H1	0.000	-4.414	76.120	15.09	0.00	0.00
		G+1.6·V(180°)H2	0.000	5.103	47.576	-16.69	0.00	0.00
		1.6·G+1.6·V(180°)H2	0.000	5.094	76.116	-16.67	0.00	0.00
		G-0.3·SX-SY	0.000	-0.014	47.566	-8.09	0.00	0.00
		G-0.3·SX-SY	0.719	2.220	47.567	0.02	4.09	0.07
		G+0.3·SX-SY	-0.719	-0.014	47.566	-8.09	-4.09	-0.07
		G+0.3·SX-SY	0.000	2.220	47.567	0.02	0.00	0.00
		G-0.3·SX+SY	0.000	-2.249	47.567	0.02	0.00	0.00
		G-0.3·SX+SY	0.719	-0.014	47.569	8.12	4.09	0.07
		G+0.3·SX+SY	-0.719	-2.249	47.567	0.02	-4.09	-0.07
		G+0.3·SX+SY	0.000	-0.014	47.569	8.12	0.00	0.00
		G-SX-0.3·SY	0.000	-0.014	47.567	-2.41	0.00	0.00
		G-SX-0.3·SY	2.397	0.656	47.567	0.02	13.63	0.24
		G+SY-0.3·SX	-2.397	-0.014	47.567	-2.41	-13.63	-0.24
		G+SY-0.3·SX	0.000	0.656	47.567	0.02	0.00	0.00
		G-SX+0.3·SY	0.000	-0.685	47.567	0.02	0.00	0.00
		G-SX+0.3·SY	2.397	-0.014	47.568	2.45	13.63	0.24
		G+SY+0.3·SX	-2.397	-0.685	47.567	0.02	-13.63	-0.24
		G+SY+0.3·SX	0.000	-0.014	47.568	2.45	0.00	0.00
	Tensiones sobre el terreno	G	0.000	-0.014	47.567	0.02	0.00	0.00
		G+V(0°)H1	0.000	-2.759	47.575	9.43	0.00	0.00
		G+V(180°)H2	0.000	3.184	47.573	-10.42	0.00	0.00
		G-SX	2.065	-0.014	47.567	0.02	11.75	0.14
		G-SX	2.397	-0.014	47.567	0.02	13.63	0.24
		G+SY	-2.397	-0.014	47.567	0.02	-13.63	-0.24
		G+SY	-2.065	-0.014	47.567	0.02	-11.75	-0.14
		G-SY	0.000	-0.014	47.566	-8.09	0.00	0.00
		G-SY	0.000	2.220	47.567	0.02	0.00	0.00
		G+SY	0.000	-2.249	47.567	0.02	0.00	0.00
		G+SY	0.000	-0.014	47.569	8.12	0.00	0.00
		G	0.000	-0.027	47.567	0.03	0.00	0.00
N16	Hormigón en cimentaciones	1.6·G	0.000	-0.043	76.108	0.06	0.00	0.00
		G+1.6·V(0°)H1	0.000	-4.643	47.579	15.51	0.00	0.00
		1.6·G+1.6·V(0°)H1	0.000	-4.659	76.119	15.53	0.00	0.00
		G+1.6·V(180°)H2	0.000	5.913	47.570	-18.37	0.00	0.00
		1.6·G+1.6·V(180°)H2	0.000	5.896	76.111	-18.35	0.00	0.00
		G-0.3·SX-SY	0.000	-0.027	47.566	-8.07	0.00	0.00
		G-0.3·SX-SY	0.640	2.212	47.567	0.03	3.64	0.08
		G+0.3·SX-SY	-0.640	-0.027	47.566	-8.07	-3.64	-0.08
		G+0.3·SX-SY	0.000	2.212	47.567	0.03	0.00	0.00
		G-0.3·SX+SY	0.000	-2.265	47.567	0.03	0.00	0.00
		G-0.3·SX+SY	0.640	-0.027	47.569	8.14	3.64	0.08
		G+0.3·SX+SY	-0.640	-2.265	47.567	0.03	-3.64	-0.08
		G+0.3·SX+SY	0.000	-0.027	47.569	8.14	0.00	0.00
		G-SX-0.3·SY	0.000	-0.027	47.567	-2.40	0.00	0.00
		G-SX-0.3·SY	2.133	0.645	47.567	0.03	12.13	0.27
		G+SY-0.3·SX	-2.133	-0.027	47.567	-2.40	-12.13	-0.27
		G+SY-0.3·SX	0.000	0.645	47.567	0.03	0.00	0.00
		G-SX+0.3·SY	0.000	-0.698	47.567	0.03	0.00	0.00
		G-SX+0.3·SY	2.133	-0.027	47.568	2.47	12.13	0.27
		G+SY+0.3·SX	-2.133	-0.698	47.567	0.03	-12.13	-0.27
		G+SY+0.3·SX	0.000	-0.027	47.568	2.47	0.00	0.00
	Tensiones sobre el terreno	G	0.000	-0.027	47.567	0.03	0.00	0.00



Listados

Pórtico frontal 1

Fecha: 10/06/15

Reacciones en los nudos, por combinación								
Referencia	Combinación		Reacciones en ejes globales					
	Tipo	Descripción	Rx (kN)	Ry (kN)	Rz (kN)	Mx (kN·m)	My (kN·m)	Mz (kN·m)
		G+V(0°)H1	0.000	-2.912	47.575	9.70	0.00	0.00
		G+V(180°)H2	0.000	3.685	47.569	-11.47	0.00	0.00
		G-SX	1.706	-0.027	47.567	0.03	9.71	0.23
		G-SX	2.133	-0.027	47.567	0.03	12.13	0.27
		G+SY	-2.133	-0.027	47.567	0.03	-12.13	-0.27
		G+SY	-1.706	-0.027	47.567	0.03	-9.71	-0.23
		G-SY	0.000	-0.027	47.566	-8.07	0.00	0.00
		G-SY	0.000	2.212	47.567	0.03	0.00	0.00
		G+SY	0.000	-2.265	47.567	0.03	0.00	0.00
		G+SY	0.000	-0.027	47.569	8.14	0.00	0.00
		G	0.000	-0.048	47.584	0.06	0.00	0.00
		1.6·G	0.000	-0.076	76.135	0.10	0.00	0.00
		G+1.6·V(0°)H1	0.000	-6.341	45.509	16.49	0.00	0.00
		1.6·G+1.6·V(0°)H1	0.000	-6.371	74.060	16.53	0.00	0.00
N18	Hormigón en cimentaciones	G+1.6·V(180°)H2	0.000	7.215	49.827	-20.99	0.00	0.00
		1.6·G+1.6·V(180°)H2	0.000	7.187	78.377	-20.96	0.00	0.00
		G-0.3·SX-SY	0.000	-0.048	47.584	-8.04	0.00	0.00
		G-0.3·SX-SY	0.523	2.195	48.792	0.06	2.98	0.09
		G+0.3·SX-SY	-0.523	-0.048	47.584	-8.04	-2.98	-0.09
		G+0.3·SX-SY	0.000	2.195	48.792	0.06	0.00	0.00
		G-0.3·SX+SY	0.000	-2.885	46.376	0.06	0.00	0.00
		G-0.3·SX+SY	0.523	-0.048	47.584	8.17	2.98	0.09
		G+0.3·SX+SY	-0.523	-2.885	46.376	0.06	-2.98	-0.09
		G+0.3·SX+SY	0.000	-0.048	47.584	8.17	0.00	0.00
		G-SX-0.3·SY	0.000	-0.048	47.584	-2.37	0.00	0.00
		G-SX-0.3·SY	1.744	0.626	47.947	0.06	9.92	0.31
		G+SY-0.3·SY	-1.744	-0.048	47.584	-2.37	-9.92	-0.31
		G+SY-0.3·SY	0.000	0.626	47.947	0.06	0.00	0.00
		G-SX+0.3·SY	0.000	-0.900	47.222	0.06	0.00	0.00
		G-SX+0.3·SY	1.744	-0.048	47.584	2.50	9.92	0.31
		G+SY+0.3·SY	-1.744	-0.900	47.222	0.06	-9.92	-0.31
		G+SY+0.3·SY	0.000	-0.048	47.584	2.50	0.00	0.00
	Tensiones sobre el terreno	G	0.000	-0.048	47.584	0.06	0.00	0.00
		G+V(0°)H1	0.000	-3.982	46.287	10.33	0.00	0.00
		G+V(180°)H2	0.000	4.492	48.986	-13.10	0.00	0.00
		G-SX	1.528	-0.048	47.584	0.06	8.69	0.30
		G-SX	1.744	-0.048	47.584	0.06	9.92	0.31
		G+SY	-1.744	-0.048	47.584	0.06	-9.92	-0.31
		G+SY	-1.528	-0.048	47.584	0.06	-8.69	-0.30
		G-SY	0.000	-0.048	47.584	-8.04	0.00	0.00
		G-SY	0.000	2.195	48.792	0.06	0.00	0.00
		G+SY	0.000	-2.885	46.376	0.06	0.00	0.00
		G+SY	0.000	-0.048	47.584	8.17	0.00	0.00
N20	Hormigón en cimentaciones	G	0.000	-0.191	45.217	0.24	0.00	0.00
		1.6·G	0.000	-0.306	72.347	0.39	0.00	0.00
		G+1.6·V(0°)H1	0.000	-11.297	48.759	20.92	0.00	0.00
		1.6·G+1.6·V(0°)H1	0.000	-11.411	75.890	21.06	0.00	0.00
		G+1.6·V(180°)H2	0.000	22.563	41.445	-31.08	0.00	0.00
		1.6·G+1.6·V(180°)H2	0.000	22.448	68.575	-30.94	0.00	0.00
		G-0.3·SX-SY	0.000	-0.191	43.143	-7.69	0.00	0.00
		G-0.3·SX-SY	0.389	2.503	45.217	0.24	2.21	0.06
		G+0.3·SX-SY	-0.389	-0.191	43.143	-7.69	-2.21	-0.06
		G+0.3·SX-SY	0.000	2.503	45.217	0.24	0.00	0.00
		G-0.3·SX+SY	0.000	-2.291	45.217	0.24	0.00	0.00



Listados

Pórtico frontal 1

Fecha: 10/06/15

Reacciones en los nudos, por combinación								
Referencia	Combinación		Reacciones en ejes globales					
	Tipo	Descripción	Rx (kN)	Ry (kN)	Rz (kN)	Mx (kN·m)	My (kN·m)	Mz (kN·m)
		G-0.3·SX+SY	0.389	-0.191	47.291	8.17	2.21	0.06
		G+0.3·SX+SY	-0.389	-2.291	45.217	0.24	-2.21	-0.06
		G+0.3·SX+SY	0.000	-0.191	47.291	8.17	0.00	0.00
		G-SX-0.3·SY	0.000	-0.191	44.595	-2.14	0.00	0.00
		G-SX-0.3·SY	1.295	0.616	45.217	0.24	7.38	0.19
		G+SX-0.3·SY	-1.295	-0.191	44.595	-2.14	-7.38	-0.19
		G+SX-0.3·SY	0.000	0.616	45.217	0.24	0.00	0.00
		G-SX+0.3·SY	0.000	-0.820	45.217	0.24	0.00	0.00
		G-SX+0.3·SY	1.295	-0.191	45.839	2.62	7.38	0.19
		G+SX+0.3·SY	-1.295	-0.820	45.217	0.24	-7.38	-0.19
		G+SX+0.3·SY	0.000	-0.191	45.839	2.62	0.00	0.00
	Tensiones sobre el terreno	G	0.000	-0.191	45.217	0.24	0.00	0.00
		G+V(0°)H1	0.000	-7.132	47.431	13.16	0.00	0.00
		G+V(180°)H2	0.000	14.030	42.860	-19.33	0.00	0.00
		G-SX	1.115	-0.191	45.217	0.24	6.36	0.17
		G-SX	1.295	-0.191	45.217	0.24	7.38	0.19
		G+SX	-1.295	-0.191	45.217	0.24	-7.38	-0.19
		G+SX	-1.115	-0.191	45.217	0.24	-6.36	-0.17
		G-SY	0.000	-0.191	43.143	-7.69	0.00	0.00
		G-SY	0.000	2.503	45.217	0.24	0.00	0.00
		G+SY	0.000	-2.291	45.217	0.24	0.00	0.00
		G+SY	0.000	-0.191	47.291	8.17	0.00	0.00

Nota: Las combinaciones de hormigón indicadas son las mismas que se utilizan para comprobar el estado límite de equilibrio en la cimentación.

2.3.1.2.3.- Envoltentes

Envoltentes de las reacciones en nudos								
Referencia	Combinación		Reacciones en ejes globales					
	Tipo	Descripción	Rx (kN)	Ry (kN)	Rz (kN)	Mx (kN·m)	My (kN·m)	Mz (kN·m)
N1	Hormigón en cimentaciones	Valor mínimo de la envoltente	-1.652	-22.655	41.988	-21.21	-9.41	-0.24
		Valor máximo de la envoltente	1.652	11.484	75.855	31.31	9.41	0.24
	Tensiones sobre el terreno	Valor mínimo de la envoltente	-1.652	-14.076	43.270	-13.26	-9.41	-0.24
		Valor máximo de la envoltente	1.652	7.177	47.409	19.47	9.41	0.24
N3	Hormigón en cimentaciones	Valor mínimo de la envoltente	-2.279	-7.176	46.036	-16.50	-12.96	-0.33
		Valor máximo de la envoltente	2.279	6.341	78.847	20.98	12.96	0.33
	Tensiones sobre el terreno	Valor mínimo de la envoltente	-2.279	-4.467	46.761	-10.31	-12.96	-0.33
		Valor máximo de la envoltente	2.279	3.963	49.280	13.09	12.96	0.33
N5	Hormigón en cimentaciones	Valor mínimo de la envoltente	-2.628	-5.854	47.550	-15.42	-14.94	-0.19
		Valor máximo de la envoltente	2.628	4.576	76.628	18.27	14.94	0.19
	Tensiones sobre el terreno	Valor mínimo de la envoltente	-2.628	-3.658	47.628	-9.64	-14.94	-0.19
		Valor máximo de la envoltente	2.628	2.860	47.892	11.42	14.94	0.19
N8	Hormigón en cimentaciones	Valor mínimo de la envoltente	-2.676	-5.067	47.565	-15.07	-15.22	-0.10
		Valor máximo de la envoltente	2.676	4.397	76.116	16.62	15.22	0.10
	Tensiones sobre el terreno	Valor mínimo de la envoltente	-2.676	-3.163	47.565	-9.42	-15.22	-0.10
		Valor máximo de la envoltente	2.676	2.748	47.573	10.38	15.22	0.10
N10	Hormigón en cimentaciones	Valor mínimo de la envoltente	-2.578	-4.606	47.567	-15.13	-14.66	-0.11
		Valor máximo de la envoltente	2.578	4.398	76.121	15.62	14.66	0.11
	Tensiones sobre el terreno	Valor mínimo de la envoltente	-2.578	-2.878	47.567	-9.46	-14.66	-0.11
		Valor máximo de la envoltente	2.578	2.749	47.576	9.76	14.66	0.11
N12	Hormigón en cimentaciones	Valor mínimo de la envoltente	-2.530	-4.399	47.566	-15.65	-14.39	-0.18
		Valor máximo de la envoltente	2.530	4.623	76.121	15.13	14.39	0.18
	Tensiones sobre el terreno	Valor mínimo de la envoltente	-2.530	-2.749	47.566	-9.78	-14.39	-0.18
		Valor máximo de la envoltente	2.530	2.887	47.576	9.45	14.39	0.18



Listados

Pórtico frontal 1

Fecha: 10/06/15

Envoltantes de las reacciones en nudos								
Referencia	Combinación		Reacciones en ejes globales					
	Tipo	Descripción	Rx (kN)	Ry (kN)	Rz (kN)	Mx (kN·m)	My (kN·m)	Mz (kN·m)
N14	Hormigón en cimentaciones	Valor mínimo de la envoltante	-2.397	-4.414	47.566	-16.69	-13.63	-0.24
		Valor máximo de la envoltante	2.397	5.103	76.120	15.09	13.63	0.24
	Tensiones sobre el terreno	Valor mínimo de la envoltante	-2.397	-2.759	47.566	-10.42	-13.63	-0.24
		Valor máximo de la envoltante	2.397	3.184	47.575	9.43	13.63	0.24
N16	Hormigón en cimentaciones	Valor mínimo de la envoltante	-2.133	-4.659	47.566	-18.37	-12.13	-0.27
		Valor máximo de la envoltante	2.133	5.913	76.119	15.53	12.13	0.27
	Tensiones sobre el terreno	Valor mínimo de la envoltante	-2.133	-2.912	47.566	-11.47	-12.13	-0.27
		Valor máximo de la envoltante	2.133	3.685	47.575	9.70	12.13	0.27
N18	Hormigón en cimentaciones	Valor mínimo de la envoltante	-1.744	-6.371	45.509	-20.99	-9.92	-0.31
		Valor máximo de la envoltante	1.744	7.215	78.377	16.53	9.92	0.31
	Tensiones sobre el terreno	Valor mínimo de la envoltante	-1.744	-3.982	46.287	-13.10	-9.92	-0.31
		Valor máximo de la envoltante	1.744	4.492	48.986	10.33	9.92	0.31
N20	Hormigón en cimentaciones	Valor mínimo de la envoltante	-1.295	-11.411	41.445	-31.08	-7.38	-0.19
		Valor máximo de la envoltante	1.295	22.563	75.890	21.06	7.38	0.19
	Tensiones sobre el terreno	Valor mínimo de la envoltante	-1.295	-7.132	42.860	-19.33	-7.38	-0.19
		Valor máximo de la envoltante	1.295	14.030	47.431	13.16	7.38	0.19

Nota: Las combinaciones de hormigón indicadas son las mismas que se utilizan para comprobar el estado límite de equilibrio en la cimentación.

2.3.2.- Barras

2.3.2.1.- Esfuerzos

Referencias:

N: Esfuerzo axial (kN)

Vy: Esfuerzo cortante según el eje local Y de la barra. (kN)

Vz: Esfuerzo cortante según el eje local Z de la barra. (kN)

Mt: Momento torsor (kN·m)

My: Momento flector en el plano 'XZ' (giro de la sección respecto al eje local 'Y' de la barra). (kN·m)

Mz: Momento flector en el plano 'XY' (giro de la sección respecto al eje local 'Z' de la barra). (kN·m)

2.3.2.1.1.- Envoltantes

Envoltantes de los esfuerzos en barras											
Barra	Tipo de combinación	Esfuerzo	Posiciones en la barra								
			0.000 m	0.625 m	1.250 m	1.875 m	2.500 m	3.125 m	3.750 m	4.375 m	5.000 m
N2/N4	Acero laminado	N _{min}	-11.375	-11.375	-11.375	-11.375	-11.375	-11.375	-11.375	-11.375	-11.375
		N _{max}	2.183	2.183	2.183	2.183	2.183	2.183	2.183	2.183	2.183
		Vy _{min}	-0.074	-0.074	-0.074	-0.074	-0.074	-0.074	-0.074	-0.074	-0.074
		Vy _{max}	0.074	0.074	0.074	0.074	0.074	0.074	0.074	0.074	0.074
		Vz _{min}	-2.203	-1.778	-1.354	-0.930	-0.514	-0.263	-0.011	0.240	0.492
		Vz _{max}	-0.557	-0.306	-0.054	0.197	0.457	0.882	1.306	1.730	2.154
		Mt _{min}	0.00	0.00	0.00	0.00	0.00	0.00	0.00	0.00	0.00
		Mt _{max}	0.00	0.00	0.00	0.00	0.00	0.00	0.00	0.00	0.00
		My _{min}	-2.63	-1.38	-0.49	0.06	0.33	-0.03	-0.55	-1.43	-2.64
		My _{max}	0.19	0.46	0.66	0.78	0.76	0.94	0.86	0.72	0.49
		Mz _{min}	-0.19	-0.14	-0.10	-0.05	0.00	-0.04	-0.09	-0.14	-0.18
		Mz _{max}	0.19	0.14	0.10	0.05	0.00	0.04	0.09	0.14	0.18

Envoltantes de los esfuerzos en barras											
Barra	Tipo de combinación	Esfuerzo	Posiciones en la barra								
			0.000 m	0.625 m	1.250 m	1.875 m	2.500 m	3.125 m	3.750 m	4.375 m	5.000 m
N4/N6	Acero laminado	N _{min}	-9.177	-9.177	-9.177	-9.177	-9.177	-9.177	-9.177	-9.177	-9.177
		N _{max}	0.903	0.903	0.903	0.903	0.903	0.903	0.903	0.903	0.903
		Vy _{min}	-0.042	-0.042	-0.042	-0.042	-0.042	-0.042	-0.042	-0.042	-0.042
		Vy _{max}	0.042	0.042	0.042	0.042	0.042	0.042	0.042	0.042	0.042
		Vz _{min}	-2.273	-1.849	-1.425	-1.000	-0.577	-0.326	-0.075	0.177	0.428
		Vz _{max}	-0.435	-0.184	0.068	0.319	0.572	0.996	1.421	1.845	2.269
		Mt _{min}	0.00	0.00	0.00	0.00	0.00	0.00	0.00	0.00	0.00
		Mt _{max}	0.00	0.00	0.00	0.00	0.00	0.00	0.00	0.00	0.00



Listados

Pórtico frontal 1

Fecha: 10/06/15

Envolventes de los esfuerzos en barras											
Barra	Tipo de combinación	Esfuerzo	Posiciones en la barra								
			0.000 m	0.625 m	1.250 m	1.875 m	2.500 m	3.125 m	3.750 m	4.375 m	5.000 m
		$M_{t_{máx}}$	0.00	0.00	0.00	0.00	0.00	0.00	0.00	0.00	0.00
		$M_{y_{mín}}$	-2.84	-1.56	-0.61	-0.01	0.41	-0.03	-0.62	-1.57	-2.85
		$M_{y_{máx}}$	0.58	0.77	0.88	0.92	0.72	0.94	0.91	0.80	0.61
		$M_{z_{mín}}$	-0.10	-0.08	-0.05	-0.02	-0.01	-0.03	-0.06	-0.08	-0.11
		$M_{z_{máx}}$	0.10	0.08	0.05	0.02	0.01	0.03	0.06	0.08	0.11

Envolventes de los esfuerzos en barras											
Barra	Tipo de combinación	Esfuerzo	Posiciones en la barra								
			0.000 m	0.578 m	1.155 m	1.733 m	2.310 m	2.888 m	3.465 m	4.043 m	4.620 m
N6/N7	Acero laminado	$N_{mín}$	-7.814	-7.814	-7.814	-7.814	-7.814	-7.814	-7.814	-7.814	-7.814
		$N_{máx}$	-0.144	-0.144	-0.144	-0.144	-0.144	-0.144	-0.144	-0.144	-0.144
		$V_{y_{mín}}$	-0.024	-0.024	-0.024	-0.024	-0.024	-0.024	-0.024	-0.024	-0.024
		$V_{y_{máx}}$	0.024	0.024	0.024	0.024	0.024	0.024	0.024	0.024	0.024
		$V_{z_{mín}}$	-2.254	-1.862	-1.470	-1.078	-0.686	-0.454	-0.222	0.011	0.243
		$V_{z_{máx}}$	-0.243	-0.011	0.222	0.454	0.687	1.079	1.471	1.863	2.255
		$M_{t_{mín}}$	0.00	0.00	0.00	0.00	0.00	0.00	0.00	0.00	0.00
		$M_{t_{máx}}$	0.00	0.00	0.00	0.00	0.00	0.00	0.00	0.00	0.00
		$M_{y_{mín}}$	-2.79	-1.60	-0.70	-0.10	0.35	-0.11	-0.71	-1.61	-2.80
		$M_{y_{máx}}$	0.86	0.94	0.94	0.88	0.61	0.89	0.95	0.95	0.87
		$M_{z_{mín}}$	-0.05	-0.04	-0.02	-0.01	-0.01	-0.02	-0.03	-0.04	-0.06
		$M_{z_{máx}}$	0.05	0.04	0.02	0.01	0.01	0.02	0.03	0.04	0.06

Envolventes de los esfuerzos en barras											
Barra	Tipo de combinación	Esfuerzo	Posiciones en la barra								
			0.000 m	0.578 m	1.155 m	1.733 m	2.310 m	2.888 m	3.465 m	4.043 m	4.620 m
N7/N9	Acero laminado	$N_{mín}$	-6.219	-6.219	-6.219	-6.219	-6.219	-6.219	-6.219	-6.219	-6.219
		$N_{máx}$	-0.227	-0.227	-0.227	-0.227	-0.227	-0.227	-0.227	-0.227	-0.227
		$V_{y_{mín}}$	-0.013	-0.013	-0.013	-0.013	-0.013	-0.013	-0.013	-0.013	-0.013
		$V_{y_{máx}}$	0.013	0.013	0.013	0.013	0.013	0.013	0.013	0.013	0.013
		$V_{z_{mín}}$	-2.262	-1.870	-1.478	-1.086	-0.694	-0.462	-0.230	0.003	0.235
		$V_{z_{máx}}$	-0.232	0.000	0.233	0.465	0.698	1.090	1.482	1.874	2.266
		$M_{t_{mín}}$	0.00	0.00	0.00	0.00	0.00	0.00	0.00	0.00	0.00
		$M_{t_{máx}}$	0.00	0.00	0.00	0.00	0.00	0.00	0.00	0.00	0.00
		$M_{y_{mín}}$	-2.81	-1.61	-0.71	-0.11	0.36	-0.11	-0.72	-1.63	-2.82
		$M_{y_{máx}}$	0.89	0.96	0.96	0.89	0.61	0.89	0.96	0.96	0.89
		$M_{z_{mín}}$	-0.03	-0.03	-0.02	-0.01	0.00	-0.01	-0.02	-0.02	-0.03
		$M_{z_{máx}}$	0.03	0.03	0.02	0.01	0.00	0.01	0.02	0.02	0.03

Envolventes de los esfuerzos en barras											
Barra	Tipo de combinación	Esfuerzo	Posiciones en la barra								
			0.000 m	0.578 m	1.155 m	1.733 m	2.310 m	2.888 m	3.465 m	4.043 m	4.620 m
N9/N11	Acero laminado	$N_{mín}$	-4.480	-4.480	-4.480	-4.480	-4.480	-4.480	-4.480	-4.480	-4.480
		$N_{máx}$	-0.213	-0.213	-0.213	-0.213	-0.213	-0.213	-0.213	-0.213	-0.213
		$V_{y_{mín}}$	-0.028	-0.028	-0.028	-0.028	-0.028	-0.028	-0.028	-0.028	-0.028
		$V_{y_{máx}}$	0.028	0.028	0.028	0.028	0.028	0.028	0.028	0.028	0.028
		$V_{z_{mín}}$	-2.267	-1.875	-1.483	-1.091	-0.698	-0.466	-0.234	-0.002	0.231
		$V_{z_{máx}}$	-0.231	0.001	0.234	0.466	0.699	1.090	1.483	1.875	2.267
		$M_{t_{mín}}$	0.00	0.00	0.00	0.00	0.00	0.00	0.00	0.00	0.00
		$M_{t_{máx}}$	0.00	0.00	0.00	0.00	0.00	0.00	0.00	0.00	0.00
		$M_{y_{mín}}$	-2.82	-1.62	-0.72	-0.11	0.36	-0.11	-0.72	-1.62	-2.82
		$M_{y_{máx}}$	0.90	0.97	0.96	0.90	0.60	0.89	0.96	0.96	0.90
		$M_{z_{mín}}$	-0.07	-0.05	-0.03	-0.02	0.00	-0.01	-0.03	-0.05	-0.06
		$M_{z_{máx}}$	0.07	0.05	0.03	0.02	0.00	0.01	0.03	0.05	0.06

Envolventes de los esfuerzos en barras											
Barra	Tipo de combinación	Esfuerzo	Posiciones en la barra								
			0.000 m	0.578 m	1.155 m	1.733 m	2.310 m	2.888 m	3.465 m	4.043 m	4.620 m
N11/N13	Acero laminado	$N_{mín}$	-6.066	-6.066	-6.066	-6.066	-6.066	-6.066	-6.066	-6.066	-6.066
		$N_{máx}$	-0.109	-0.109	-0.109	-0.109	-0.106	-0.109	-0.109	-0.109	-0.109



Listados

Pórtico frontal 1

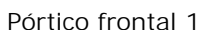
Fecha: 10/06/15

Envoltentes de los esfuerzos en barras											
Barra	Tipo de combinación	Esfuerzo	Posiciones en la barra								
			0.000 m	0.578 m	1.155 m	1.733 m	2.310 m	2.888 m	3.465 m	4.043 m	4.620 m
		$V_{y_{min}}$	-0.039	-0.039	-0.039	-0.039	-0.039	-0.039	-0.039	-0.039	-0.039
		$V_{y_{max}}$	0.039	0.039	0.039	0.039	0.039	0.039	0.039	0.039	0.039
		$V_{z_{min}}$	-2.265	-1.873	-1.481	-1.089	-0.697	-0.464	-0.231	0.001	0.233
		$V_{z_{max}}$	-0.236	-0.004	0.228	0.461	0.693	1.084	1.476	1.868	2.260
		$M_{t_{min}}$	0.00	0.00	0.00	0.00	0.00	0.00	0.00	0.00	0.00
		$M_{t_{max}}$	0.00	0.00	0.00	0.00	0.00	0.00	0.00	0.00	0.00
		$M_{y_{min}}$	-2.82	-1.62	-0.72	-0.11	0.36	-0.11	-0.71	-1.61	-2.80
		$M_{y_{max}}$	0.89	0.96	0.95	0.89	0.61	0.89	0.95	0.96	0.89
		$M_{z_{min}}$	-0.09	-0.07	-0.05	-0.02	0.00	-0.02	-0.04	-0.07	-0.09
		$M_{z_{max}}$	0.09	0.07	0.05	0.02	0.00	0.02	0.04	0.07	0.09

Envoltentes de los esfuerzos en barras											
Barra	Tipo de combinación	Esfuerzo	Posiciones en la barra								
			0.000 m	0.577 m	1.155 m	1.732 m	2.310 m	2.887 m	3.465 m	4.042 m	4.620 m
N13/N15	Acero laminado	N_{min}	-7.645	-7.645	-7.645	-7.645	-7.645	-7.645	-7.645	-7.645	-7.645
		N_{max}	-0.010	-0.010	-0.010	-0.010	-0.006	-0.010	-0.010	-0.010	-0.010
		$V_{y_{min}}$	-0.046	-0.046	-0.046	-0.046	-0.046	-0.046	-0.046	-0.046	-0.046
		$V_{y_{max}}$	0.046	0.046	0.046	0.046	0.046	0.046	0.046	0.046	0.046
		$V_{z_{min}}$	-2.253	-1.861	-1.469	-1.077	-0.685	-0.451	-0.219	0.013	0.246
		$V_{z_{max}}$	-0.248	-0.015	0.217	0.449	0.682	1.072	1.464	1.856	2.248
		$M_{t_{min}}$	0.00	0.00	0.00	0.00	0.00	0.00	0.00	0.00	0.00
		$M_{t_{max}}$	0.00	0.00	0.00	0.00	0.00	0.00	0.00	0.00	0.00
		$M_{y_{min}}$	-2.80	-1.61	-0.71	-0.11	0.35	-0.10	-0.69	-1.59	-2.77
		$M_{y_{max}}$	0.86	0.94	0.94	0.89	0.61	0.88	0.94	0.93	0.86
		$M_{z_{min}}$	-0.11	-0.08	-0.05	-0.03	0.00	-0.03	-0.05	-0.08	-0.11
		$M_{z_{max}}$	0.11	0.08	0.05	0.03	0.00	0.03	0.05	0.08	0.11

Envoltentes de los esfuerzos en barras											
Barra	Tipo de combinación	Esfuerzo	Posiciones en la barra								
			0.000 m	0.577 m	1.155 m	1.732 m	2.310 m	2.887 m	3.465 m	4.042 m	4.620 m
N15/N17	Acero laminado	N_{min}	-8.932	-8.932	-8.932	-8.932	-8.932	-8.932	-8.932	-8.932	-8.932
		N_{max}	0.825	0.825	0.825	0.825	0.825	0.825	0.825	0.825	0.825
		$V_{y_{min}}$	-0.051	-0.051	-0.051	-0.051	-0.051	-0.051	-0.051	-0.051	-0.051
		$V_{y_{max}}$	0.051	0.051	0.051	0.051	0.051	0.051	0.051	0.051	0.051
		$V_{z_{min}}$	-2.229	-1.837	-1.445	-1.053	-0.661	-0.426	-0.194	0.039	0.271
		$V_{z_{max}}$	-0.265	-0.032	0.200	0.432	0.664	1.054	1.446	1.838	2.230
		$M_{t_{min}}$	0.00	0.00	0.00	0.00	0.00	0.00	0.00	0.00	0.00
		$M_{t_{max}}$	0.00	0.00	0.00	0.00	0.00	0.00	0.00	0.00	0.00
		$M_{y_{min}}$	-2.75	-1.57	-0.68	-0.10	0.34	-0.08	-0.67	-1.55	-2.73
		$M_{y_{max}}$	0.83	0.91	0.92	0.88	0.61	0.86	0.90	0.88	0.79
		$M_{z_{min}}$	-0.12	-0.09	-0.06	-0.03	0.00	-0.03	-0.06	-0.09	-0.12
		$M_{z_{max}}$	0.12	0.09	0.06	0.03	0.00	0.03	0.06	0.09	0.12

Envoltentes de los esfuerzos en barras											
Barra	Tipo de combinación	Esfuerzo	Posiciones en la barra								
			0.000 m	0.578 m	1.155 m	1.733 m	2.310 m	2.888 m	3.465 m	4.043 m	4.620 m
N17/N19	Acero laminado	N_{min}	-11.201	-11.201	-11.201	-11.201	-11.201	-11.201	-11.201	-11.201	-11.201
		N_{max}	2.190	2.190	2.190	2.190	2.190	2.190	2.190	2.190	2.190
		$V_{y_{min}}$	-0.064	-0.064	-0.064	-0.064	-0.064	-0.064	-0.064	-0.064	-0.064
		$V_{y_{max}}$	0.064	0.064	0.064	0.064	0.064	0.064	0.064	0.064	0.064
		$V_{z_{min}}$	-2.093	-1.701	-1.309	-0.917	-0.525	-0.284	-0.052	0.181	0.413
		$V_{z_{max}}$	-0.334	-0.102	0.130	0.362	0.595	0.978	1.370	1.762	2.154
		$M_{t_{min}}$	0.00	0.00	0.00	0.00	0.00	0.00	0.00	0.00	0.00
		$M_{t_{max}}$	0.00	0.00	0.00	0.00	0.00	0.00	0.00	0.00	0.00
		$M_{y_{min}}$	-2.51	-1.42	-0.60	-0.10	0.26	-0.01	-0.55	-1.38	-2.51
		$M_{y_{max}}$	0.70	0.83	0.88	0.88	0.65	0.70	0.68	0.55	0.38
		$M_{z_{min}}$	-0.14	-0.11	-0.07	-0.03	0.00	-0.04	-0.08	-0.12	-0.15
		$M_{z_{max}}$	0.14	0.11	0.07	0.03	0.00	0.04	0.08	0.12	0.15



Fecha: 10/06/15



Listados

Pórtico frontal 1

Fecha: 10/06/15

Envoltentes de los esfuerzos en barras											
Barra	Tipo de combinación	Esfuerzo	Posiciones en la barra								
			0.000 m	0.625 m	1.250 m	1.875 m	2.500 m	3.125 m	3.750 m	4.375 m	5.000 m
N21/N23	Acero laminado	N_{\min}	-20.332	-20.332	-20.332	-20.332	-20.332	-20.332	-20.332	-20.332	-20.332
		N_{\max}	6.542	6.542	6.542	6.542	6.542	6.542	6.542	6.542	6.542
		$V_{y\min}$	-0.019	-0.019	-0.019	-0.019	-0.019	-0.019	-0.019	-0.019	-0.019
		$V_{y\max}$	0.019	0.019	0.019	0.019	0.019	0.019	0.019	0.019	0.019
		$V_{z\min}$	-2.327	-1.903	-1.478	-1.054	-0.632	-0.381	-0.129	0.122	0.374
		$V_{z\max}$	-0.266	-0.015	0.237	0.488	0.742	1.166	1.591	2.015	2.439
		$M_{t\min}$	0.00	0.00	0.00	0.00	0.00	0.00	0.00	0.00	0.00
		$M_{t\max}$	0.00	0.00	0.00	0.00	0.00	0.00	0.00	0.00	0.00
		$M_{y\min}$	-3.00	-1.68	-0.70	-0.07	0.40	-0.08	-0.77	-1.83	-3.22
		$M_{y\max}$	1.06	1.15	1.15	1.09	0.76	0.95	0.95	0.88	0.72
		$M_{z\min}$	-0.05	-0.04	-0.03	-0.01	0.00	-0.01	-0.02	-0.03	-0.05
		$M_{z\max}$	0.05	0.04	0.03	0.01	0.00	0.01	0.02	0.03	0.05

Envoltentes de los esfuerzos en barras											
Barra	Tipo de combinación	Esfuerzo	Posiciones en la barra								
			0.000 m	0.625 m	1.250 m	1.875 m	2.500 m	3.125 m	3.750 m	4.375 m	5.000 m
N23/N24	Acero laminado	N_{\min}	-12.855	-12.855	-12.855	-12.855	-12.855	-12.855	-12.855	-12.855	-12.855
		N_{\max}	4.479	4.479	4.479	4.479	4.479	4.479	4.479	4.479	4.479
		$V_{y\min}$	-0.009	-0.009	-0.009	-0.009	-0.009	-0.009	-0.009	-0.009	-0.009
		$V_{y\max}$	0.009	0.009	0.009	0.009	0.009	0.009	0.009	0.009	0.009
		$V_{z\min}$	-2.306	-1.882	-1.458	-1.034	-0.611	-0.358	-0.107	0.144	0.396
		$V_{z\max}$	-0.333	-0.081	0.170	0.421	0.672	1.098	1.522	1.946	2.371
		$M_{t\min}$	0.00	0.00	0.00	0.00	0.00	0.00	0.00	0.00	0.00
		$M_{t\max}$	0.00	0.00	0.00	0.00	0.00	0.00	0.00	0.00	0.00
		$M_{y\min}$	-2.94	-1.63	-0.66	-0.04	0.42	-0.07	-0.72	-1.73	-3.08
		$M_{y\max}$	0.86	0.99	1.03	1.01	0.72	0.95	0.94	0.85	0.68
		$M_{z\min}$	-0.02	-0.01	-0.01	0.00	0.00	-0.01	-0.01	-0.02	-0.03
		$M_{z\max}$	0.02	0.01	0.01	0.00	0.00	0.01	0.01	0.02	0.03

Envoltentes de los esfuerzos en barras											
Barra	Tipo de combinación	Esfuerzo	Posiciones en la barra								
			0.000 m	0.578 m	1.155 m	1.733 m	2.310 m	2.888 m	3.465 m	4.043 m	4.620 m
N24/N25	Acero laminado	N_{\min}	-8.678	-8.678	-8.678	-8.678	-8.678	-8.678	-8.678	-8.678	-8.678
		N_{\max}	1.677	1.677	1.677	1.677	1.677	1.677	1.677	1.677	1.677
		$V_{y\min}$	-0.005	-0.005	-0.005	-0.005	-0.005	-0.005	-0.005	-0.005	-0.005
		$V_{y\max}$	0.005	0.005	0.005	0.005	0.005	0.005	0.005	0.005	0.005
		$V_{z\min}$	-2.271	-1.879	-1.487	-1.095	-0.704	-0.471	-0.239	-0.006	0.226
		$V_{z\max}$	-0.179	0.053	0.286	0.518	0.750	1.143	1.535	1.927	2.319
		$M_{t\min}$	0.00	0.00	0.00	0.00	0.00	0.00	0.00	0.00	0.00
		$M_{t\max}$	0.00	0.00	0.00	0.00	0.00	0.00	0.00	0.00	0.00
		$M_{y\min}$	-2.83	-1.63	-0.72	-0.12	0.36	-0.13	-0.77	-1.71	-2.93
		$M_{y\max}$	1.03	1.06	1.03	0.93	0.61	0.90	0.96	0.97	0.91
		$M_{z\min}$	-0.01	-0.01	0.00	0.00	0.00	0.00	-0.01	-0.01	-0.01
		$M_{z\max}$	0.01	0.01	0.00	0.00	0.00	0.00	0.01	0.01	0.01

Envoltentes de los esfuerzos en barras											
Barra	Tipo de combinación	Esfuerzo	Posiciones en la barra								
			0.000 m	0.578 m	1.155 m	1.733 m	2.310 m	2.888 m	3.465 m	4.043 m	4.620 m
N25/N26	Acero laminado	N_{\min}	-5.516	-5.516	-5.516	-5.516	-5.516	-5.516	-5.516	-5.516	-5.516
		N_{\max}	0.017	0.017	0.017	0.017	0.017	0.017	0.017	0.017	0.017
		$V_{y\min}$	-0.003	-0.003	-0.003	-0.003	-0.003	-0.003	-0.003	-0.003	-0.003
		$V_{y\max}$	0.003	0.003	0.003	0.003	0.003	0.003	0.003	0.003	0.003
		$V_{z\min}$	-2.273	-1.881	-1.489	-1.096	-0.705	-0.472	-0.240	-0.008	0.225
		$V_{z\max}$	-0.201	0.031	0.263	0.496	0.728	1.120	1.512	1.905	2.297
		$M_{t\min}$	0.00	0.00	0.00	0.00	0.00	0.00	0.00	0.00	0.00
		$M_{t\max}$	0.00	0.00	0.00	0.00	0.00	0.00	0.00	0.00	0.00
		$M_{y\min}$	-2.83	-1.63	-0.72	-0.11	0.36	-0.12	-0.74	-1.67	-2.88
		$M_{y\max}$	0.97	1.02	1.00	0.92	0.61	0.90	0.97	0.98	0.91
		$M_{z\min}$	-0.01	-0.01	-0.01	0.00	0.00	0.00	0.00	-0.01	-0.01
		$M_{z\max}$	0.01	0.01	0.01	0.00	0.00	0.00	0.00	0.01	0.01



Listados

Pórtico frontal 1

Fecha: 10/06/15

Envoltentes de los esfuerzos en barras											
Barra	Tipo de combinación	Esfuerzo	Posiciones en la barra								
			0.000 m	0.578 m	1.155 m	1.733 m	2.310 m	2.888 m	3.465 m	4.043 m	4.620 m
N26/N27	Acero laminado	N_{\min}	-3.029	-3.029	-3.029	-3.029	-3.029	-3.029	-3.029	-3.029	-3.029
		N_{\max}	0.013	0.013	0.013	0.013	0.013	0.013	0.013	0.013	0.013
		$V_{y\min}$	-0.006	-0.006	-0.006	-0.006	-0.006	-0.006	-0.006	-0.006	-0.006
		$V_{y\max}$	0.006	0.006	0.006	0.006	0.006	0.006	0.006	0.006	0.006
		$V_{z\min}$	-2.281	-1.889	-1.497	-1.105	-0.713	-0.481	-0.249	-0.016	0.216
		$V_{z\max}$	-0.216	0.016	0.248	0.480	0.713	1.105	1.497	1.889	2.281
		$M_{t\min}$	0.00	0.00	0.00	0.00	0.00	0.00	0.00	0.00	0.00
		$M_{t\max}$	0.00	0.00	0.00	0.00	0.00	0.00	0.00	0.00	0.00
		$M_{y\min}$	-2.85	-1.65	-0.73	-0.12	0.36	-0.12	-0.73	-1.65	-2.85
		$M_{y\max}$	0.94	0.99	0.98	0.91	0.61	0.91	0.98	0.99	0.94
		$M_{z\min}$	-0.02	-0.01	-0.01	0.00	0.00	0.00	-0.01	-0.01	-0.01
		$M_{z\max}$	0.02	0.01	0.01	0.00	0.00	0.00	0.01	0.01	0.01

Envoltentes de los esfuerzos en barras											
Barra	Tipo de combinación	Esfuerzo	Posiciones en la barra								
			0.000 m	0.578 m	1.155 m	1.733 m	2.310 m	2.888 m	3.465 m	4.043 m	4.620 m
N27/N28	Acero laminado	N_{\min}	-5.631	-5.631	-5.631	-5.631	-5.631	-5.631	-5.631	-5.631	-5.631
		N_{\max}	0.043	0.043	0.043	0.043	0.043	0.043	0.043	0.043	0.043
		$V_{y\min}$	-0.008	-0.008	-0.008	-0.008	-0.008	-0.008	-0.008	-0.008	-0.008
		$V_{y\max}$	0.008	0.008	0.008	0.008	0.008	0.008	0.008	0.008	0.008
		$V_{z\min}$	-2.297	-1.905	-1.513	-1.121	-0.728	-0.496	-0.264	-0.031	0.201
		$V_{z\max}$	-0.225	0.007	0.239	0.472	0.704	1.096	1.488	1.880	2.272
		$M_{t\min}$	0.00	0.00	0.00	0.00	0.00	0.00	0.00	0.00	0.00
		$M_{t\max}$	0.00	0.00	0.00	0.00	0.00	0.00	0.00	0.00	0.00
		$M_{y\min}$	-2.88	-1.67	-0.74	-0.12	0.36	-0.11	-0.72	-1.63	-2.83
		$M_{y\max}$	0.91	0.98	0.97	0.90	0.61	0.92	1.00	1.02	0.97
		$M_{z\min}$	-0.02	-0.02	-0.01	-0.01	0.00	0.00	-0.01	-0.01	-0.02
		$M_{z\max}$	0.02	0.02	0.01	0.01	0.00	0.00	0.01	0.01	0.02

Envoltentes de los esfuerzos en barras											
Barra	Tipo de combinación	Esfuerzo	Posiciones en la barra								
			0.000 m	0.577 m	1.155 m	1.732 m	2.310 m	2.887 m	3.465 m	4.042 m	4.620 m
N28/N29	Acero laminado	N_{\min}	-8.845	-8.845	-8.845	-8.845	-8.845	-8.845	-8.845	-8.845	-8.845
		N_{\max}	1.802	1.802	1.802	1.802	1.802	1.802	1.802	1.802	1.802
		$V_{y\min}$	-0.010	-0.010	-0.010	-0.010	-0.010	-0.010	-0.010	-0.010	-0.010
		$V_{y\max}$	0.010	0.010	0.010	0.010	0.010	0.010	0.010	0.010	0.010
		$V_{z\min}$	-2.319	-1.927	-1.535	-1.143	-0.751	-0.518	-0.286	-0.054	0.179
		$V_{z\max}$	-0.227	0.005	0.237	0.470	0.702	1.093	1.485	1.877	2.269
		$M_{t\min}$	0.00	0.00	0.00	0.00	0.00	0.00	0.00	0.00	0.00
		$M_{t\max}$	0.00	0.00	0.00	0.00	0.00	0.00	0.00	0.00	0.00
		$M_{y\min}$	-2.93	-1.71	-0.77	-0.13	0.36	-0.12	-0.72	-1.63	-2.83
		$M_{y\max}$	0.91	0.97	0.96	0.90	0.61	0.93	1.03	1.06	1.03
		$M_{z\min}$	-0.02	-0.02	-0.01	-0.01	0.00	0.00	-0.01	-0.02	-0.02
		$M_{z\max}$	0.02	0.02	0.01	0.01	0.00	0.00	0.01	0.02	0.02

Envoltentes de los esfuerzos en barras											
Barra	Tipo de combinación	Esfuerzo	Posiciones en la barra								
			0.000 m	0.577 m	1.155 m	1.732 m	2.310 m	2.887 m	3.465 m	4.042 m	4.620 m
N29/N30	Acero laminado	N_{\min}	-13.119	-13.119	-13.119	-13.119	-13.119	-13.119	-13.119	-13.119	-13.119
		N_{\max}	4.558	4.558	4.558	4.558	4.558	4.558	4.558	4.558	4.558
		$V_{y\min}$	-0.011	-0.011	-0.011	-0.011	-0.011	-0.011	-0.011	-0.011	-0.011
		$V_{y\max}$	0.011	0.011	0.011	0.011	0.011	0.011	0.011	0.011	0.011
		$V_{z\min}$	-2.349	-1.957	-1.565	-1.173	-0.781	-0.548	-0.316	-0.083	0.149
		$V_{z\max}$	-0.223	0.010	0.242	0.474	0.706	1.098	1.490	1.882	2.274
		$M_{t\min}$	0.00	0.00	0.00	0.00	0.00	0.00	0.00	0.00	0.00
		$M_{t\max}$	0.00	0.00	0.00	0.00	0.00	0.00	0.00	0.00	0.00
		$M_{y\min}$	-3.00	-1.76	-0.80	-0.15	0.35	-0.12	-0.73	-1.64	-2.84
		$M_{y\max}$	0.91	0.98	0.96	0.90	0.62	0.95	1.07	1.12	1.10
		$M_{z\min}$	-0.03	-0.02	-0.01	-0.01	0.00	-0.01	-0.01	-0.02	-0.02
		$M_{z\max}$	0.03	0.02	0.01	0.01	0.00	0.01	0.01	0.02	0.02



Listados

Pórtico frontal 1

Fecha: 10/06/15

Envolventes de los esfuerzos en barras											
Barra	Tipo de combinación	Esfuerzo	Posiciones en la barra								
			0.000 m	0.578 m	1.155 m	1.733 m	2.310 m	2.888 m	3.465 m	4.043 m	4.620 m
N30/N22	Acero laminado	N_{\min}	-20.534	-20.534	-20.534	-20.534	-20.534	-20.534	-20.534	-20.534	-20.534
		N_{\max}	6.579	6.579	6.579	6.579	6.579	6.579	6.579	6.579	6.579
		$V_{y\min}$	-0.015	-0.015	-0.015	-0.015	-0.015	-0.015	-0.015	-0.015	-0.015
		$V_{y\max}$	0.015	0.015	0.015	0.015	0.015	0.015	0.015	0.015	0.015
		$V_{z\min}$	-2.424	-2.032	-1.640	-1.248	-0.856	-0.621	-0.389	-0.156	0.076
		$V_{z\max}$	-0.197	0.035	0.267	0.500	0.732	1.122	1.514	1.906	2.298
		$M_{t\min}$	0.00	0.00	0.00	0.00	0.00	0.00	0.00	0.00	0.00
		$M_{t\max}$	0.00	0.00	0.00	0.00	0.00	0.00	0.00	0.00	0.00
		$M_{y\min}$	-3.13	-1.85	-0.85	-0.15	0.34	-0.15	-0.78	-1.70	-2.91
		$M_{y\max}$	0.96	1.00	0.98	0.89	0.65	1.04	1.19	1.28	1.30
		$M_{z\min}$	-0.03	-0.02	-0.02	-0.01	0.00	-0.01	-0.02	-0.03	-0.04
		$M_{z\max}$	0.03	0.02	0.02	0.01	0.00	0.01	0.02	0.03	0.04

Envolventes de los esfuerzos en barras											
Barra	Tipo de combinación	Esfuerzo	Posiciones en la barra								
			0.000 m	0.438 m	0.875 m	1.313 m	1.750 m	2.188 m	2.625 m	3.063 m	3.500 m
N21/N2	Hormigón	N_{\min}	-32.228	-28.606	-24.985	-21.364	-17.742	-14.121	-10.500	-6.879	-3.257
		N_{\max}	-22.265	-19.582	-16.900	-14.217	-11.535	-8.853	-6.170	-3.488	-0.805
		$V_{y\min}$	-1.036	-1.036	-1.036	-1.036	-1.036	-1.036	-1.036	-1.036	-1.036
		$V_{y\max}$	1.036	1.036	1.036	1.036	1.036	1.036	1.036	1.036	1.036
		$V_{z\min}$	-7.466	-6.101	-4.736	-3.371	-2.006	-2.033	-5.147	-8.261	-11.375
		$V_{z\max}$	13.691	10.577	7.463	4.349	1.235	0.352	0.878	2.243	3.608
		$M_{t\min}$	-0.19	-0.19	-0.19	-0.19	-0.19	-0.19	-0.19	-0.19	-0.19
		$M_{t\max}$	0.19	0.19	0.19	0.19	0.19	0.19	0.19	0.19	0.19
		$M_{y\min}$	-4.39	-1.85	-4.98	-7.51	-8.73	-8.59	-7.09	-4.22	0.00
		$M_{y\max}$	4.33	1.14	1.00	2.72	3.89	4.47	4.46	3.84	2.63
		$M_{z\min}$	-3.63	-3.17	-2.72	-2.27	-1.81	-1.36	-0.91	-0.45	0.00
		$M_{z\max}$	3.63	3.17	2.72	2.27	1.81	1.36	0.91	0.45	0.00

Envolventes de los esfuerzos en barras											
Barra	Tipo de combinación	Esfuerzo	Posiciones en la barra								
			0.000 m	0.438 m	0.875 m	1.313 m	1.750 m	2.188 m	2.625 m	3.063 m	3.500 m
N23/N4	Hormigón	N_{\min}	-33.325	-29.704	-26.082	-22.461	-18.840	-15.219	-11.597	-7.976	-4.355
		N_{\max}	-23.978	-21.296	-18.613	-15.931	-13.249	-10.566	-7.884	-5.201	-2.519
		$V_{y\min}$	-1.424	-1.424	-1.424	-1.424	-1.424	-1.424	-1.424	-1.424	-1.424
		$V_{y\max}$	1.424	1.424	1.424	1.424	1.424	1.424	1.424	1.424	1.424
		$V_{z\min}$	-1.271	-1.271	-1.271	-1.271	-1.271	-1.271	-1.271	-1.271	-1.271
		$V_{z\max}$	1.289	1.294	1.304	1.326	1.271	1.271	1.271	1.271	1.271
		$M_{t\min}$	-0.26	-0.26	-0.26	-0.26	-0.26	-0.26	-0.26	-0.26	-0.26
		$M_{t\max}$	0.26	0.26	0.26	0.26	0.26	0.26	0.26	0.26	0.26
		$M_{y\min}$	-2.30	-1.78	-1.28	-1.22	-1.50	-1.79	-2.07	-2.36	-2.65
		$M_{y\max}$	2.53	1.98	1.43	0.90	0.55	1.10	1.64	2.20	2.76
		$M_{z\min}$	-4.98	-4.36	-3.74	-3.11	-2.49	-1.87	-1.25	-0.62	0.00
		$M_{z\max}$	4.98	4.36	3.74	3.11	2.49	1.87	1.25	0.62	0.00

Envolventes de los esfuerzos en barras											
Barra	Tipo de combinación	Esfuerzo	Posiciones en la barra								
			0.000 m	0.438 m	0.875 m	1.313 m	1.750 m	2.188 m	2.625 m	3.063 m	3.500 m
N24/N6	Hormigón	N_{\min}	-32.345	-28.724	-25.103	-21.481	-17.860	-14.239	-10.618	-6.996	-3.375
		N_{\max}	-23.763	-21.080	-18.398	-15.715	-13.033	-10.351	-7.668	-4.986	-2.303
		$V_{y\min}$	-1.641	-1.641	-1.641	-1.641	-1.641	-1.641	-1.641	-1.641	-1.641
		$V_{y\max}$	1.641	1.641	1.641	1.641	1.641	1.641	1.641	1.641	1.641
		$V_{z\min}$	-1.519	-1.519	-1.519	-1.519	-1.519	-1.519	-1.519	-1.519	-1.519
		$V_{z\max}$	1.372	1.377	1.387	1.409	1.362	1.362	1.362	1.362	1.362
		$M_{t\min}$	-0.16	-0.16	-0.16	-0.16	-0.16	-0.16	-0.16	-0.16	-0.16
		$M_{t\max}$	0.16	0.16	0.16	0.16	0.16	0.16	0.16	0.16	0.16
		$M_{y\min}$	-2.44	-1.81	-1.30	-0.81	-0.84	-1.44	-2.03	-2.63	-3.23
		$M_{y\max}$	2.63	2.05	1.47	0.90	0.39	0.89	1.55	2.22	2.88
		$M_{z\min}$	-5.74	-5.02	-4.31	-3.59	-2.87	-2.15	-1.44	-0.72	0.00
		$M_{z\max}$	5.74	5.02	4.31	3.59	2.87	2.15	1.44	0.72	0.00



Listados

Pórtico frontal 1

Fecha: 10/06/15

Envolventes de los esfuerzos en barras											
Barra	Tipo de combinación	Esfuerzo	Posiciones en la barra								
			0.000 m	0.438 m	0.875 m	1.313 m	1.750 m	2.188 m	2.625 m	3.063 m	3.500 m
N25/N7	Hormigón	N_{\min}	-32.114	-28.493	-24.872	-21.251	-17.629	-14.008	-10.387	-6.765	-3.144
		N_{\max}	-23.772	-21.089	-18.407	-15.724	-13.042	-10.360	-7.677	-4.995	-2.312
		$V_{y\min}$	-1.672	-1.672	-1.672	-1.672	-1.672	-1.672	-1.672	-1.672	-1.672
		$V_{y\max}$	1.672	1.672	1.672	1.672	1.672	1.672	1.672	1.672	1.672
		$V_{z\min}$	-1.757	-1.757	-1.757	-1.757	-1.757	-1.757	-1.757	-1.757	-1.757
		$V_{z\max}$	1.595	1.595	1.595	1.595	1.595	1.595	1.595	1.595	1.595
		$M_{t\min}$	-0.08	-0.08	-0.08	-0.08	-0.08	-0.08	-0.08	-0.08	-0.08
		$M_{t\max}$	0.08	0.08	0.08	0.08	0.08	0.08	0.08	0.08	0.08
		$M_{y\min}$	-2.96	-2.19	-1.42	-0.85	-0.42	-1.11	-1.81	-2.51	-3.20
		$M_{y\max}$	2.55	1.99	1.43	0.88	0.40	0.88	1.65	2.42	3.19
		$M_{z\min}$	-5.85	-5.12	-4.39	-3.66	-2.93	-2.19	-1.46	-0.73	0.00
		$M_{z\max}$	5.85	5.12	4.39	3.66	2.93	2.19	1.46	0.73	0.00

Envolventes de los esfuerzos en barras											
Barra	Tipo de combinación	Esfuerzo	Posiciones en la barra								
			0.000 m	0.438 m	0.875 m	1.313 m	1.750 m	2.188 m	2.625 m	3.063 m	3.500 m
N26/N9	Hormigón	N_{\min}	-32.111	-28.490	-24.869	-21.248	-17.626	-14.005	-10.384	-6.763	-3.141
		N_{\max}	-23.782	-21.099	-18.417	-15.734	-13.052	-10.370	-7.687	-5.005	-2.322
		$V_{y\min}$	-1.611	-1.611	-1.611	-1.611	-1.611	-1.611	-1.611	-1.611	-1.611
		$V_{y\max}$	1.611	1.611	1.611	1.611	1.611	1.611	1.611	1.611	1.611
		$V_{z\min}$	-1.785	-1.785	-1.785	-1.785	-1.785	-1.785	-1.785	-1.785	-1.785
		$V_{z\max}$	1.739	1.739	1.739	1.739	1.739	1.739	1.739	1.739	1.739
		$M_{t\min}$	-0.09	-0.09	-0.09	-0.09	-0.09	-0.09	-0.09	-0.09	-0.09
		$M_{t\max}$	0.09	0.09	0.09	0.09	0.09	0.09	0.09	0.09	0.09
		$M_{y\min}$	-3.03	-2.25	-1.47	-0.86	-0.39	-0.95	-1.71	-2.47	-3.23
		$M_{y\max}$	2.86	2.10	1.42	0.87	0.39	0.88	1.66	2.44	3.22
		$M_{z\min}$	-5.64	-4.93	-4.23	-3.52	-2.82	-2.11	-1.41	-0.70	0.00
		$M_{z\max}$	5.64	4.93	4.23	3.52	2.82	2.11	1.41	0.70	0.00

Envolventes de los esfuerzos en barras											
Barra	Tipo de combinación	Esfuerzo	Posiciones en la barra								
			0.000 m	0.438 m	0.875 m	1.313 m	1.750 m	2.188 m	2.625 m	3.063 m	3.500 m
N27/N11	Hormigón	N_{\min}	-32.113	-28.491	-24.870	-21.249	-17.628	-14.006	-10.385	-6.764	-3.143
		N_{\max}	-23.780	-21.098	-18.416	-15.733	-13.051	-10.368	-7.686	-5.003	-2.321
		$V_{y\min}$	-1.581	-1.581	-1.581	-1.581	-1.581	-1.581	-1.581	-1.581	-1.581
		$V_{y\max}$	1.581	1.581	1.581	1.581	1.581	1.581	1.581	1.581	1.581
		$V_{z\min}$	-1.732	-1.732	-1.732	-1.732	-1.732	-1.732	-1.732	-1.732	-1.732
		$V_{z\max}$	1.783	1.783	1.783	1.783	1.783	1.783	1.783	1.783	1.783
		$M_{t\min}$	-0.15	-0.15	-0.15	-0.15	-0.15	-0.15	-0.15	-0.15	-0.15
		$M_{t\max}$	0.15	0.15	0.15	0.15	0.15	0.15	0.15	0.15	0.15
		$M_{y\min}$	-2.84	-2.08	-1.41	-0.87	-0.39	-0.88	-1.66	-2.44	-3.22
		$M_{y\max}$	3.02	2.24	1.46	0.85	0.38	0.95	1.71	2.47	3.23
		$M_{z\min}$	-5.53	-4.84	-4.15	-3.46	-2.77	-2.07	-1.38	-0.69	0.00
		$M_{z\max}$	5.53	4.84	4.15	3.46	2.77	2.07	1.38	0.69	0.00

Envolventes de los esfuerzos en barras											
Barra	Tipo de combinación	Esfuerzo	Posiciones en la barra								
			0.000 m	0.438 m	0.875 m	1.313 m	1.750 m	2.188 m	2.625 m	3.063 m	3.500 m
N28/N13	Hormigón	N_{\min}	-32.119	-28.498	-24.876	-21.255	-17.634	-14.012	-10.391	-6.770	-3.149
		N_{\max}	-23.771	-21.088	-18.406	-15.723	-13.041	-10.358	-7.676	-4.994	-2.311
		$V_{y\min}$	-1.497	-1.497	-1.497	-1.497	-1.497	-1.497	-1.497	-1.497	-1.498
		$V_{y\max}$	1.497	1.497	1.497	1.497	1.497	1.497	1.497	1.497	1.498
		$V_{z\min}$	-1.579	-1.579	-1.579	-1.579	-1.579	-1.579	-1.579	-1.579	-1.579
		$V_{z\max}$	1.743	1.743	1.743	1.743	1.743	1.743	1.743	1.743	1.743
		$M_{t\min}$	-0.20	-0.20	-0.20	-0.20	-0.20	-0.20	-0.20	-0.20	-0.20
		$M_{t\max}$	0.20	0.20	0.20	0.20	0.20	0.20	0.20	0.20	0.20
		$M_{y\min}$	-2.54	-1.98	-1.42	-0.87	-0.40	-0.89	-1.65	-2.41	-3.18
		$M_{y\max}$	2.93	2.16	1.40	0.83	0.44	1.13	1.82	2.51	3.20
		$M_{z\min}$	-5.24	-4.58	-3.93	-3.27	-2.62	-1.96	-1.31	-0.65	0.00
		$M_{z\max}$	5.24	4.58	3.93	3.27	2.62	1.96	1.31	0.65	0.00



Listados

Pórtico frontal 1

Fecha: 10/06/15

Envolventes de los esfuerzos en barras											
Barra	Tipo de combinación	Esfuerzo	Posiciones en la barra								
			0.000 m	0.438 m	0.875 m	1.313 m	1.750 m	2.188 m	2.625 m	3.063 m	3.500 m
N29/N15	Hormigón	N_{\min}	-32.125	-28.503	-24.882	-21.261	-17.639	-14.018	-10.397	-6.776	-3.154
		N_{\max}	-23.758	-21.075	-18.393	-15.710	-13.028	-10.345	-7.663	-4.981	-2.298
		$V_{y\min}$	-1.332	-1.332	-1.332	-1.332	-1.332	-1.332	-1.332	-1.332	-1.333
		$V_{y\max}$	1.332	1.332	1.332	1.332	1.332	1.332	1.332	1.332	1.333
		$V_{z\min}$	-1.332	-1.332	-1.339	-1.362	-1.332	-1.332	-1.332	-1.332	-1.332
		$V_{z\max}$	1.616	1.616	1.616	1.616	1.616	1.616	1.616	1.616	1.616
		$M_{t\min}$	-0.22	-0.22	-0.22	-0.22	-0.22	-0.22	-0.22	-0.22	-0.22
		$M_{t\max}$	0.22	0.22	0.22	0.22	0.22	0.22	0.22	0.22	0.22
		$M_{y\min}$	-2.58	-1.99	-1.43	-0.88	-0.40	-0.99	-1.70	-2.40	-3.11
		$M_{y\max}$	2.55	1.88	1.34	0.81	0.87	1.43	1.99	2.55	3.12
		$M_{z\min}$	-4.66	-4.08	-3.50	-2.91	-2.33	-1.75	-1.17	-0.58	0.00
		$M_{z\max}$	4.66	4.08	3.50	2.91	2.33	1.75	1.17	0.58	0.00

Envolventes de los esfuerzos en barras											
Barra	Tipo de combinación	Esfuerzo	Posiciones en la barra								
			0.000 m	0.438 m	0.875 m	1.313 m	1.750 m	2.188 m	2.625 m	3.063 m	3.500 m
N30/N17	Hormigón	N_{\min}	-33.125	-29.503	-25.882	-22.261	-18.640	-15.018	-11.397	-7.776	-4.155
		N_{\max}	-23.785	-21.103	-18.420	-15.738	-13.055	-10.373	-7.690	-5.008	-2.326
		$V_{y\min}$	-1.090	-1.090	-1.090	-1.090	-1.090	-1.090	-1.090	-1.090	-1.090
		$V_{y\max}$	1.090	1.090	1.090	1.090	1.090	1.090	1.090	1.090	1.090
		$V_{z\min}$	-1.337	-1.343	-1.352	-1.375	-1.320	-1.320	-1.320	-1.320	-1.320
		$V_{z\max}$	1.357	1.357	1.357	1.357	1.357	1.357	1.357	1.357	1.357
		$M_{t\min}$	-0.26	-0.26	-0.26	-0.26	-0.26	-0.26	-0.26	-0.26	-0.26
		$M_{t\max}$	0.26	0.26	0.26	0.26	0.26	0.26	0.26	0.26	0.26
		$M_{y\min}$	-2.57	-2.00	-1.43	-0.88	-0.58	-1.16	-1.75	-2.34	-2.94
		$M_{y\max}$	2.35	1.82	1.29	1.20	1.52	1.84	2.16	2.49	2.82
		$M_{z\min}$	-3.82	-3.34	-2.86	-2.39	-1.91	-1.43	-0.95	-0.48	0.00
		$M_{z\max}$	3.82	3.34	2.86	2.39	1.91	1.43	0.95	0.48	0.00

Envolventes de los esfuerzos en barras											
Barra	Tipo de combinación	Esfuerzo	Posiciones en la barra								
			0.000 m	0.438 m	0.875 m	1.313 m	1.750 m	2.188 m	2.625 m	3.063 m	3.500 m
N22/N19	Hormigón	N_{\min}	-32.260	-28.639	-25.018	-21.396	-17.775	-14.154	-10.533	-6.911	-3.290
		N_{\max}	-22.102	-19.419	-16.737	-14.054	-11.372	-8.690	-6.007	-3.325	-0.642
		$V_{y\min}$	-0.813	-0.813	-0.813	-0.813	-0.813	-0.813	-0.813	-0.813	-0.813
		$V_{y\max}$	0.813	0.813	0.813	0.813	0.813	0.813	0.813	0.813	0.813
		$V_{z\min}$	-13.841	-10.727	-7.613	-4.499	-1.386	-0.439	-0.889	-2.254	-3.619
		$V_{z\max}$	7.431	6.066	4.701	3.336	1.971	1.859	4.973	8.087	11.201
		$M_{t\min}$	-0.15	-0.15	-0.15	-0.15	-0.15	-0.15	-0.15	-0.15	-0.15
		$M_{t\max}$	0.15	0.15	0.15	0.15	0.15	0.15	0.15	0.15	0.15
		$M_{y\min}$	-4.64	-1.19	-1.01	-2.68	-3.84	-4.40	-4.37	-3.74	-2.51
		$M_{y\max}$	4.39	1.79	4.79	7.40	8.68	8.61	7.17	4.37	0.21
		$M_{z\min}$	-2.85	-2.49	-2.13	-1.78	-1.42	-1.07	-0.71	-0.36	0.00
		$M_{z\max}$	2.85	2.49	2.13	1.78	1.42	1.07	0.71	0.36	0.00

Envolventes de los esfuerzos en barras											
Barra	Tipo de combinación	Esfuerzo	Posiciones en la barra								
			0.000 m	0.437 m	0.875 m	1.312 m	1.750 m	2.187 m	2.625 m	3.062 m	3.500 m
N1/N21	Hormigón	N_{\min}	-64.303	-60.681	-57.060	-53.439	-49.818	-46.196	-42.575	-38.954	-35.333
		N_{\max}	-43.168	-40.486	-37.803	-35.121	-32.439	-29.756	-27.074	-24.391	-21.709
		$V_{y\min}$	-1.652	-1.652	-1.652	-1.652	-1.652	-1.652	-1.652	-1.652	-1.652
		$V_{y\max}$	1.652	1.652	1.652	1.652	1.652	1.652	1.652	1.652	1.652
		$V_{z\min}$	-10.733	-9.368	-8.003	-6.638	-5.273	-3.908	-2.543	-2.306	-5.144
		$V_{z\max}$	19.844	16.730	13.616	10.502	7.388	4.274	1.867	1.867	1.867
		$M_{t\min}$	-0.24	-0.24	-0.24	-0.24	-0.24	-0.24	-0.24	-0.24	-0.24
		$M_{t\max}$	0.24	0.24	0.24	0.24	0.24	0.24	0.24	0.24	0.24
		$M_{y\min}$	-19.84	-15.45	-11.65	-8.45	-5.88	-3.90	-2.52	-1.74	-1.56
		$M_{y\max}$	29.34	21.34	14.70	9.43	5.55	3.59	2.82	2.11	3.65
		$M_{z\min}$	-9.41	-8.69	-7.96	-7.24	-6.52	-5.80	-5.07	-4.35	-3.63
		$M_{z\max}$	9.41	8.69	7.96	7.24	6.52	5.80	5.07	4.35	3.63



Listados

Pórtico frontal 1

Fecha: 10/06/15

Envoltentes de los esfuerzos en barras											
Barra	Tipo de combinación	Esfuerzo	Posiciones en la barra								
			0.000 m	0.437 m	0.875 m	1.312 m	1.750 m	2.187 m	2.625 m	3.062 m	3.500 m
N3/N23	Hormigón	N_{\min}	-66.724	-63.103	-59.481	-55.860	-52.239	-48.618	-44.996	-41.375	-37.754
		N_{\max}	-46.934	-44.251	-41.569	-38.887	-36.204	-33.522	-30.839	-28.157	-25.474
		$V_{y\min}$	-2.279	-2.279	-2.279	-2.279	-2.279	-2.279	-2.279	-2.279	-2.279
		$V_{y\max}$	2.279	2.279	2.279	2.279	2.279	2.279	2.279	2.279	2.279
		$V_{z\min}$	-4.826	-4.826	-4.826	-4.826	-4.826	-4.826	-4.826	-4.826	-4.826
		$V_{z\max}$	6.725	6.725	6.725	6.725	6.725	6.725	6.725	6.725	6.725
		$M_{t\min}$	-0.33	-0.33	-0.33	-0.33	-0.33	-0.33	-0.33	-0.33	-0.33
		$M_{t\max}$	0.33	0.33	0.33	0.33	0.33	0.33	0.33	0.33	0.33
		$M_{y\min}$	-15.46	-13.35	-11.24	-9.12	-7.02	-4.92	-2.81	-1.43	-3.87
		$M_{y\max}$	19.66	16.72	13.78	10.84	7.90	4.97	2.41	1.59	1.43
		$M_{z\min}$	-12.96	-11.96	-10.96	-9.97	-8.97	-7.97	-6.98	-5.98	-4.98
		$M_{z\max}$	12.96	11.96	10.96	9.97	8.97	7.97	6.98	5.98	4.98

Envoltentes de los esfuerzos en barras											
Barra	Tipo de combinación	Esfuerzo	Posiciones en la barra								
			0.000 m	0.437 m	0.875 m	1.312 m	1.750 m	2.187 m	2.625 m	3.062 m	3.500 m
N5/N24	Hormigón	N_{\min}	-64.675	-61.053	-57.432	-53.811	-50.190	-46.568	-42.947	-39.326	-35.704
		N_{\max}	-47.563	-44.881	-42.199	-39.516	-36.834	-34.151	-31.469	-28.786	-26.104
		$V_{y\min}$	-2.628	-2.628	-2.628	-2.628	-2.628	-2.628	-2.628	-2.628	-2.628
		$V_{y\max}$	2.628	2.628	2.628	2.628	2.628	2.628	2.628	2.628	2.628
		$V_{z\min}$	-4.290	-4.290	-4.290	-4.290	-4.290	-4.290	-4.290	-4.290	-4.290
		$V_{z\max}$	5.488	5.488	5.488	5.488	5.488	5.488	5.488	5.488	5.488
		$M_{t\min}$	-0.19	-0.19	-0.19	-0.19	-0.19	-0.19	-0.19	-0.19	-0.19
		$M_{t\max}$	0.19	0.19	0.19	0.19	0.19	0.19	0.19	0.19	0.19
		$M_{y\min}$	-14.45	-12.58	-10.70	-8.82	-6.95	-5.07	-3.20	-1.50	-2.08
		$M_{y\max}$	17.13	14.73	12.33	9.92	7.52	5.12	2.72	1.51	0.96
		$M_{z\min}$	-14.94	-13.79	-12.64	-11.49	-10.34	-9.19	-8.04	-6.89	-5.74
		$M_{z\max}$	14.94	13.79	12.64	11.49	10.34	9.19	8.04	6.89	5.74

Envoltentes de los esfuerzos en barras											
Barra	Tipo de combinación	Esfuerzo	Posiciones en la barra								
			0.000 m	0.437 m	0.875 m	1.312 m	1.750 m	2.187 m	2.625 m	3.062 m	3.500 m
N8/N25	Hormigón	N_{\min}	-64.224	-60.603	-56.982	-53.360	-49.739	-46.118	-42.497	-38.875	-35.254
		N_{\max}	-47.565	-44.882	-42.200	-39.518	-36.835	-34.153	-31.470	-28.788	-26.105
		$V_{y\min}$	-2.676	-2.676	-2.676	-2.676	-2.676	-2.676	-2.676	-2.676	-2.676
		$V_{y\max}$	2.676	2.676	2.676	2.676	2.676	2.676	2.676	2.676	2.676
		$V_{z\min}$	-4.121	-4.121	-4.121	-4.121	-4.121	-4.121	-4.121	-4.121	-4.121
		$V_{z\max}$	4.750	4.750	4.750	4.750	4.750	4.750	4.750	4.750	4.750
		$M_{t\min}$	-0.10	-0.10	-0.10	-0.10	-0.10	-0.10	-0.10	-0.10	-0.10
		$M_{t\max}$	0.10	0.10	0.10	0.10	0.10	0.10	0.10	0.10	0.10
		$M_{y\min}$	-14.13	-12.32	-10.52	-8.72	-6.92	-5.12	-3.31	-1.51	-1.04
		$M_{y\max}$	15.58	13.50	11.42	9.35	7.27	5.19	3.12	1.52	0.98
		$M_{z\min}$	-15.22	-14.05	-12.88	-11.70	-10.53	-9.36	-8.19	-7.02	-5.85
		$M_{z\max}$	15.22	14.05	12.88	11.70	10.53	9.36	8.19	7.02	5.85

Envoltentes de los esfuerzos en barras											
Barra	Tipo de combinación	Esfuerzo	Posiciones en la barra								
			0.000 m	0.437 m	0.875 m	1.312 m	1.750 m	2.187 m	2.625 m	3.062 m	3.500 m
N10/N26	Hormigón	N_{\min}	-64.228	-60.607	-56.986	-53.364	-49.743	-46.122	-42.501	-38.879	-35.258
		N_{\max}	-47.567	-44.885	-42.202	-39.520	-36.837	-34.155	-31.472	-28.790	-26.108
		$V_{y\min}$	-2.578	-2.578	-2.578	-2.578	-2.578	-2.578	-2.578	-2.578	-2.578
		$V_{y\max}$	2.578	2.578	2.578	2.578	2.578	2.578	2.578	2.578	2.578
		$V_{z\min}$	-4.123	-4.123	-4.123	-4.123	-4.123	-4.123	-4.123	-4.123	-4.123
		$V_{z\max}$	4.318	4.318	4.318	4.318	4.318	4.318	4.318	4.318	4.318
		$M_{t\min}$	-0.11	-0.11	-0.11	-0.11	-0.11	-0.11	-0.11	-0.11	-0.11
		$M_{t\max}$	0.11	0.11	0.11	0.11	0.11	0.11	0.11	0.11	0.11
		$M_{y\min}$	-14.18	-12.38	-10.58	-8.77	-6.97	-5.17	-3.36	-1.56	-0.95
		$M_{y\max}$	14.64	12.75	10.86	8.97	7.08	5.20	3.31	1.56	0.97
		$M_{z\min}$	-14.66	-13.53	-12.40	-11.28	-10.15	-9.02	-7.89	-6.77	-5.64
		$M_{z\max}$	14.66	13.53	12.40	11.28	10.15	9.02	7.89	6.77	5.64



Listados

Pórtico frontal 1

Fecha: 10/06/15

Envoltentes de los esfuerzos en barras											
Barra	Tipo de combinación	Esfuerzo	Posiciones en la barra								
			0.000 m	0.437 m	0.875 m	1.312 m	1.750 m	2.187 m	2.625 m	3.062 m	3.500 m
N12/N27	Hormigón	N_{\min}	-64.228	-60.607	-56.986	-53.364	-49.743	-46.122	-42.501	-38.879	-35.258
		N_{\max}	-47.566	-44.884	-42.201	-39.519	-36.837	-34.154	-31.472	-28.789	-26.107
		$V_{y\min}$	-2.530	-2.530	-2.530	-2.530	-2.530	-2.530	-2.530	-2.530	-2.530
		$V_{y\max}$	2.530	2.530	2.530	2.530	2.530	2.530	2.530	2.530	2.530
		$V_{z\min}$	-4.333	-4.333	-4.333	-4.333	-4.333	-4.333	-4.333	-4.333	-4.333
		$V_{z\max}$	4.123	4.123	4.123	4.123	4.123	4.123	4.123	4.123	4.123
		$M_{t\min}$	-0.18	-0.18	-0.18	-0.18	-0.18	-0.18	-0.18	-0.18	-0.18
		$M_{t\max}$	0.18	0.18	0.18	0.18	0.18	0.18	0.18	0.18	0.18
		$M_{y\min}$	-14.67	-12.78	-10.88	-8.98	-7.09	-5.19	-3.30	-1.51	-0.97
		$M_{y\max}$	14.18	12.38	10.57	8.77	6.97	5.16	3.36	1.56	0.94
		$M_{z\min}$	-14.39	-13.28	-12.17	-11.07	-9.96	-8.85	-7.75	-6.64	-5.53
		$M_{z\max}$	14.39	13.28	12.17	11.07	9.96	8.85	7.75	6.64	5.53

Envoltentes de los esfuerzos en barras											
Barra	Tipo de combinación	Esfuerzo	Posiciones en la barra								
			0.000 m	0.437 m	0.875 m	1.312 m	1.750 m	2.187 m	2.625 m	3.062 m	3.500 m
N14/N28	Hormigón	N_{\min}	-64.228	-60.607	-56.985	-53.364	-49.743	-46.121	-42.500	-38.879	-35.258
		N_{\max}	-47.566	-44.883	-42.201	-39.518	-36.836	-34.154	-31.471	-28.789	-26.106
		$V_{y\min}$	-2.397	-2.397	-2.397	-2.397	-2.397	-2.397	-2.397	-2.397	-2.397
		$V_{y\max}$	2.397	2.397	2.397	2.397	2.397	2.397	2.397	2.397	2.397
		$V_{z\min}$	-4.783	-4.783	-4.783	-4.783	-4.783	-4.783	-4.783	-4.783	-4.783
		$V_{z\max}$	4.136	4.136	4.136	4.136	4.136	4.136	4.136	4.136	4.136
		$M_{t\min}$	-0.24	-0.24	-0.24	-0.24	-0.24	-0.24	-0.24	-0.24	-0.24
		$M_{t\max}$	0.24	0.24	0.24	0.24	0.24	0.24	0.24	0.24	0.24
		$M_{y\min}$	-15.64	-13.55	-11.46	-9.36	-7.27	-5.18	-3.09	-1.51	-0.98
		$M_{y\max}$	14.15	12.34	10.53	8.72	6.91	5.10	3.30	1.49	1.10
		$M_{z\min}$	-13.63	-12.58	-11.53	-10.48	-9.43	-8.39	-7.34	-6.29	-5.24
		$M_{z\max}$	13.63	12.58	11.53	10.48	9.43	8.39	7.34	6.29	5.24

Envoltentes de los esfuerzos en barras											
Barra	Tipo de combinación	Esfuerzo	Posiciones en la barra								
			0.000 m	0.437 m	0.875 m	1.312 m	1.750 m	2.187 m	2.625 m	3.062 m	3.500 m
N16/N29	Hormigón	N_{\min}	-64.227	-60.605	-56.984	-53.363	-49.742	-46.120	-42.499	-38.878	-35.257
		N_{\max}	-47.566	-44.884	-42.201	-39.519	-36.836	-34.154	-31.472	-28.789	-26.107
		$V_{y\min}$	-2.133	-2.133	-2.133	-2.133	-2.133	-2.133	-2.133	-2.133	-2.133
		$V_{y\max}$	2.133	2.133	2.133	2.133	2.133	2.133	2.133	2.133	2.133
		$V_{z\min}$	-5.541	-5.541	-5.541	-5.541	-5.541	-5.541	-5.541	-5.541	-5.541
		$V_{z\max}$	4.364	4.364	4.364	4.364	4.364	4.364	4.364	4.364	4.364
		$M_{t\min}$	-0.27	-0.27	-0.27	-0.27	-0.27	-0.27	-0.27	-0.27	-0.27
		$M_{t\max}$	0.27	0.27	0.27	0.27	0.27	0.27	0.27	0.27	0.27
		$M_{y\min}$	-17.22	-14.80	-12.38	-9.95	-7.53	-5.11	-2.69	-1.52	-0.99
		$M_{y\max}$	14.55	12.64	10.73	8.82	6.92	5.01	3.11	1.43	2.17
		$M_{z\min}$	-12.13	-11.20	-10.26	-9.33	-8.40	-7.46	-6.53	-5.60	-4.66
		$M_{z\max}$	12.13	11.20	10.26	9.33	8.40	7.46	6.53	5.60	4.66

Envoltentes de los esfuerzos en barras											
Barra	Tipo de combinación	Esfuerzo	Posiciones en la barra								
			0.000 m	0.437 m	0.875 m	1.312 m	1.750 m	2.187 m	2.625 m	3.062 m	3.500 m
N18/N30	Hormigón	N_{\min}	-66.341	-62.720	-59.098	-55.477	-51.856	-48.235	-44.613	-40.992	-37.371
		N_{\max}	-46.474	-43.792	-41.109	-38.427	-35.744	-33.062	-30.379	-27.697	-25.015
		$V_{y\min}$	-1.744	-1.744	-1.744	-1.744	-1.744	-1.744	-1.744	-1.744	-1.744
		$V_{y\max}$	1.744	1.744	1.744	1.744	1.744	1.744	1.744	1.744	1.744
		$V_{z\min}$	-6.761	-6.761	-6.761	-6.761	-6.761	-6.761	-6.761	-6.761	-6.761
		$V_{z\max}$	4.862	4.862	4.862	4.862	4.862	4.862	4.862	4.862	4.862
		$M_{t\min}$	-0.31	-0.31	-0.31	-0.31	-0.31	-0.31	-0.31	-0.31	-0.31
		$M_{t\max}$	0.31	0.31	0.31	0.31	0.31	0.31	0.31	0.31	0.31
		$M_{y\min}$	-19.68	-16.72	-13.76	-10.80	-7.85	-4.90	-2.36	-1.53	-1.53
		$M_{y\max}$	15.49	13.36	11.23	9.11	6.99	4.87	2.75	1.37	3.99
		$M_{z\min}$	-9.92	-9.16	-8.39	-7.63	-6.87	-6.11	-5.34	-4.58	-3.82
		$M_{z\max}$	9.92	9.16	8.39	7.63	6.87	6.11	5.34	4.58	3.82



Listados

Pórtico frontal 1

Fecha: 10/06/15

Envoltentes de los esfuerzos en barras											
Barra	Tipo de combinación	Esfuerzo	Posiciones en la barra								
			0.000 m	0.437 m	0.875 m	1.312 m	1.750 m	2.187 m	2.625 m	3.062 m	3.500 m
N20/N22	Hormigón	N_{min}	-64.364	-60.743	-57.121	-53.500	-49.879	-46.258	-42.636	-39.015	-35.394
		N_{max}	-42.717	-40.035	-37.352	-34.670	-31.987	-29.305	-26.622	-23.940	-21.258
		V_{ymin}	-1.295	-1.295	-1.295	-1.295	-1.295	-1.295	-1.295	-1.295	-1.295
		V_{ymax}	1.295	1.295	1.295	1.295	1.295	1.295	1.295	1.295	1.295
		V_{zmin}	-19.773	-16.659	-13.546	-10.432	-7.318	-4.204	-1.917	-1.917	-1.917
		V_{zmax}	10.669	9.304	7.939	6.574	5.209	3.844	2.479	2.296	5.204
		M_{tmin}	-0.19	-0.19	-0.19	-0.19	-0.19	-0.19	-0.19	-0.19	-0.19
		M_{tmax}	0.19	0.19	0.19	0.19	0.19	0.19	0.19	0.19	0.19
		M_{ymin}	-29.12	-21.15	-14.55	-9.30	-5.45	-3.53	-2.75	-2.06	-3.66
		M_{ymax}	19.71	15.34	11.57	8.40	5.85	3.90	2.54	1.79	1.63
		M_{zmin}	-7.38	-6.81	-6.25	-5.68	-5.11	-4.55	-3.98	-3.41	-2.85
		M_{zmax}	7.38	6.81	6.25	5.68	5.11	4.55	3.98	3.41	2.85

Envoltentes de los esfuerzos en barras											
Barra	Tipo de combinación	Esfuerzo	Posiciones en la barra								
			0.000 m	0.725 m	1.449 m	2.174 m	2.898 m	3.623 m	4.347 m	5.072 m	5.796 m
N18/N22	Acero laminado	N_{min}	0.000	0.000	0.000	0.000	0.000	0.000	0.000	0.000	0.000
		N_{max}	1.384	1.384	1.384	1.384	1.384	1.384	1.384	1.384	1.384
		V_{ymin}	0.000	0.000	0.000	0.000	0.000	0.000	0.000	0.000	0.000
		V_{ymax}	0.000	0.000	0.000	0.000	0.000	0.000	0.000	0.000	0.000
		V_{zmin}	0.000	0.000	0.000	0.000	0.000	0.000	0.000	0.000	0.000
		V_{zmax}	0.000	0.000	0.000	0.000	0.000	0.000	0.000	0.000	0.000
		M_{tmin}	0.00	0.00	0.00	0.00	0.00	0.00	0.00	0.00	0.00
		M_{tmax}	0.00	0.00	0.00	0.00	0.00	0.00	0.00	0.00	0.00
		M_{ymin}	0.00	0.00	0.00	0.00	0.00	0.00	0.00	0.00	0.00
		M_{ymax}	0.00	0.00	0.00	0.00	0.00	0.00	0.00	0.00	0.00
		M_{zmin}	0.00	0.00	0.00	0.00	0.00	0.00	0.00	0.00	0.00
		M_{zmax}	0.00	0.00	0.00	0.00	0.00	0.00	0.00	0.00	0.00

Envoltentes de los esfuerzos en barras											
Barra	Tipo de combinación	Esfuerzo	Posiciones en la barra								
			0.000 m	0.725 m	1.449 m	2.174 m	2.898 m	3.623 m	4.347 m	5.072 m	5.796 m
N22/N17	Acero laminado	N_{min}	0.000	0.000	0.000	0.000	0.000	0.000	0.000	0.000	0.000
		N_{max}	1.911	1.911	1.911	1.911	1.911	1.911	1.911	1.911	1.911
		V_{ymin}	0.000	0.000	0.000	0.000	0.000	0.000	0.000	0.000	0.000
		V_{ymax}	0.000	0.000	0.000	0.000	0.000	0.000	0.000	0.000	0.000
		V_{zmin}	0.000	0.000	0.000	0.000	0.000	0.000	0.000	0.000	0.000
		V_{zmax}	0.000	0.000	0.000	0.000	0.000	0.000	0.000	0.000	0.000
		M_{tmin}	0.00	0.00	0.00	0.00	0.00	0.00	0.00	0.00	0.00
		M_{tmax}	0.00	0.00	0.00	0.00	0.00	0.00	0.00	0.00	0.00
		M_{ymin}	0.00	0.00	0.00	0.00	0.00	0.00	0.00	0.00	0.00
		M_{ymax}	0.00	0.00	0.00	0.00	0.00	0.00	0.00	0.00	0.00
		M_{zmin}	0.00	0.00	0.00	0.00	0.00	0.00	0.00	0.00	0.00
		M_{zmax}	0.00	0.00	0.00	0.00	0.00	0.00	0.00	0.00	0.00

Envoltentes de los esfuerzos en barras											
Barra	Tipo de combinación	Esfuerzo	Posiciones en la barra								
			0.000 m	0.725 m	1.449 m	2.174 m	2.898 m	3.623 m	4.347 m	5.072 m	5.796 m
N30/N19	Acero laminado	N_{min}	0.000	0.000	0.000	0.000	0.000	0.000	0.000	0.000	0.000
		N_{max}	1.887	1.887	1.887	1.887	1.887	1.887	1.887	1.887	1.887
		V_{ymin}	0.000	0.000	0.000	0.000	0.000	0.000	0.000	0.000	0.000
		V_{ymax}	0.000	0.000	0.000	0.000	0.000	0.000	0.000	0.000	0.000
		V_{zmin}	0.000	0.000	0.000	0.000	0.000	0.000	0.000	0.000	0.000
		V_{zmax}	0.000	0.000	0.000	0.000	0.000	0.000	0.000	0.000	0.000
		M_{tmin}	0.00	0.00	0.00	0.00	0.00	0.00	0.00	0.00	0.00
		M_{tmax}	0.00	0.00	0.00	0.00	0.00	0.00	0.00	0.00	0.00
		M_{ymin}	0.00	0.00	0.00	0.00	0.00	0.00	0.00	0.00	0.00
		M_{ymax}	0.00	0.00	0.00	0.00	0.00	0.00	0.00	0.00	0.00
		M_{zmin}	0.00	0.00	0.00	0.00	0.00	0.00	0.00	0.00	0.00
		M_{zmax}	0.00	0.00	0.00	0.00	0.00	0.00	0.00	0.00	0.00



Listados

Pórtico frontal 1

Fecha: 10/06/15

Envoltorios de los esfuerzos en barras											
Barra	Tipo de combinación	Esfuerzo	Posiciones en la barra								
			0.000 m	0.725 m	1.449 m	2.174 m	2.898 m	3.623 m	4.347 m	5.072 m	5.796 m
N20/N30	Acero laminado	N _{min}	0.000	0.000	0.000	0.000	0.000	0.000	0.000	0.000	0.000
		N _{max}	1.717	1.717	1.717	1.717	1.717	1.717	1.717	1.717	1.717
		Vy _{min}	0.000	0.000	0.000	0.000	0.000	0.000	0.000	0.000	0.000
		Vy _{max}	0.000	0.000	0.000	0.000	0.000	0.000	0.000	0.000	0.000
		Vz _{min}	0.000	0.000	0.000	0.000	0.000	0.000	0.000	0.000	0.000
		Vz _{max}	0.000	0.000	0.000	0.000	0.000	0.000	0.000	0.000	0.000
		Mt _{min}	0.00	0.00	0.00	0.00	0.00	0.00	0.00	0.00	0.00
		Mt _{max}	0.00	0.00	0.00	0.00	0.00	0.00	0.00	0.00	0.00
		My _{min}	0.00	0.00	0.00	0.00	0.00	0.00	0.00	0.00	0.00
		My _{max}	0.00	0.00	0.00	0.00	0.00	0.00	0.00	0.00	0.00
		Mz _{min}	0.00	0.00	0.00	0.00	0.00	0.00	0.00	0.00	0.00
		Mz _{max}	0.00	0.00	0.00	0.00	0.00	0.00	0.00	0.00	0.00

2.3.2.2.- Resistencia

Referencias:

N: Esfuerzo axial (kN)

Vy: Esfuerzo cortante según el eje local Y de la barra. (kN)

Vz: Esfuerzo cortante según el eje local Z de la barra. (kN)

Mt: Momento torsor (kN·m)

My: Momento flector en el plano 'XZ' (giro de la sección respecto al eje local 'Y' de la barra). (kN·m)

Mz: Momento flector en el plano 'XY' (giro de la sección respecto al eje local 'Z' de la barra). (kN·m)

Los esfuerzos indicados son los correspondientes a la combinación pésima, es decir, aquella que demanda la máxima resistencia de la sección.

Origen de los esfuerzos pésimos:

- G: Sólo gravitatorias
- GV: Gravitatorias + viento
- GS: Gravitatorias + sismo
- GVS: Gravitatorias + viento + sismo

η : Aprovechamiento de la resistencia. La barra cumple con las condiciones de resistencia de la norma si se cumple que $\eta \leq 100$ %.

Comprobación de resistencia a temperatura ambiente

Perfiles de acero										
Barra	η (%)	Posición (m)	Esfuerzos pésimos						Origen	Estado
			N (kN)	Vy (kN)	Vz (kN)	Mt (kN·m)	My (kN·m)	Mz (kN·m)		
N2/N4	2.81	5.000	-11.375	0.000	2.154	0.00	-2.64	0.00	GV	Cumple
N4/N6	2.84	5.000	-9.177	0.000	2.269	0.00	-2.85	0.00	GV	Cumple
N6/N7	2.71	4.620	-7.814	0.000	2.255	0.00	-2.80	0.00	GV	Cumple
N7/N9	2.62	4.620	-6.219	0.000	2.266	0.00	-2.82	0.00	GV	Cumple
N9/N11	2.51	4.620	-4.480	0.000	2.267	0.00	-2.82	0.00	GV	Cumple
N11/N13	2.61	0.000	-6.066	0.000	-2.265	0.00	-2.82	0.00	GV	Cumple
N13/N15	2.69	0.000	-7.645	0.000	-2.253	0.00	-2.80	0.00	GV	Cumple
N15/N17	2.73	0.000	-8.932	0.000	-2.229	0.00	-2.75	0.00	GV	Cumple
N17/N19	2.69	0.000	-11.201	0.000	-2.093	0.00	-2.51	0.00	GV	Cumple
N1/N23	5.69	0.000	1.687	0.000	0.000	0.00	0.00	0.00	GV	Cumple
N23/N2	6.24	0.000	1.847	0.000	0.000	0.00	0.00	0.00	GV	Cumple
N21/N4	6.33	0.000	1.875	0.000	0.000	0.00	0.00	0.00	GV	Cumple



Listados

Pórtico frontal 1

Fecha: 10/06/15

Perfiles de acero										
Barra	η (%)	Posición (m)	Esfuerzos pésimos						Origen	Estado
			N (kN)	Vy (kN)	Vz (kN)	Mt (kN·m)	My (kN·m)	Mz (kN·m)		
N3/N21	4.58	0.000	1.356	0.000	0.000	0.00	0.00	0.00	GV	Cumple
N21/N23	3.82	5.000	-20.217	0.000	2.439	0.00	-3.22	0.00	GV	Cumple
N23/N24	3.25	5.000	-12.791	0.000	2.371	0.00	-3.08	0.00	GV	Cumple
N24/N25	2.86	4.620	-8.666	0.000	2.319	0.00	-2.93	0.00	GV	Cumple
N25/N26	2.63	4.620	-5.516	0.000	2.297	0.00	-2.88	0.00	GV	Cumple
N26/N27	2.45	0.000	-3.029	0.000	-2.281	0.00	-2.85	0.00	GV	Cumple
N27/N28	2.64	0.000	-5.628	0.000	-2.297	0.00	-2.88	0.00	GV	Cumple
N28/N29	2.87	0.000	-8.827	0.000	-2.319	0.00	-2.93	0.00	GV	Cumple
N29/N30	3.19	0.000	-13.073	0.000	-2.349	0.00	-3.00	0.00	GV	Cumple
N30/N22	3.75	0.000	-20.438	0.000	-2.424	0.00	-3.13	0.00	GV	Cumple
N18/N22	4.67	0.000	1.384	0.000	0.000	0.00	0.00	0.00	GV	Cumple
N22/N17	6.45	0.000	1.911	0.000	0.000	0.00	0.00	0.00	GV	Cumple
N30/N19	6.37	0.000	1.887	0.000	0.000	0.00	0.00	0.00	GV	Cumple
N20/N30	5.80	0.000	1.717	0.000	0.000	0.00	0.00	0.00	GV	Cumple

Barras de hormigón	
Errores	
N21/N2	No se realiza ninguna comprobación de resistencia sobre las barras de hormigón.
N23/N4	No se realiza ninguna comprobación de resistencia sobre las barras de hormigón.
N24/N6	No se realiza ninguna comprobación de resistencia sobre las barras de hormigón.
N25/N7	No se realiza ninguna comprobación de resistencia sobre las barras de hormigón.
N26/N9	No se realiza ninguna comprobación de resistencia sobre las barras de hormigón.
N27/N11	No se realiza ninguna comprobación de resistencia sobre las barras de hormigón.
N28/N13	No se realiza ninguna comprobación de resistencia sobre las barras de hormigón.
N29/N15	No se realiza ninguna comprobación de resistencia sobre las barras de hormigón.
N30/N17	No se realiza ninguna comprobación de resistencia sobre las barras de hormigón.
N22/N19	No se realiza ninguna comprobación de resistencia sobre las barras de hormigón.
N1/N21	No se realiza ninguna comprobación de resistencia sobre las barras de hormigón.
N3/N23	No se realiza ninguna comprobación de resistencia sobre las barras de hormigón.
N5/N24	No se realiza ninguna comprobación de resistencia sobre las barras de hormigón.
N8/N25	No se realiza ninguna comprobación de resistencia sobre las barras de hormigón.
N10/N26	No se realiza ninguna comprobación de resistencia sobre las barras de hormigón.
N12/N27	No se realiza ninguna comprobación de resistencia sobre las barras de hormigón.
N14/N28	No se realiza ninguna comprobación de resistencia sobre las barras de hormigón.
N16/N29	No se realiza ninguna comprobación de resistencia sobre las barras de hormigón.
N18/N30	No se realiza ninguna comprobación de resistencia sobre las barras de hormigón.
N20/N22	No se realiza ninguna comprobación de resistencia sobre las barras de hormigón.

Comprobación de resistencia en situación de incendio

Perfiles de acero												
R. req. ⁽¹⁾ : R 90												
Barra	η (%)	Posición (m)	Esfuerzos pésimos						Origen	Rev. mín. nec. ⁽²⁾ Pint. intumescente ⁽³⁾ (mm)	Temperatura ⁽⁴⁾ (°C)	Estado
			N (kN)	Vy (kN)	Vz (kN)	Mt (kN·m)	My (kN·m)	Mz (kN·m)				
N2/N4	5.07	5.000	-4.034	0.000	1.418	0.00	-1.47	0.00	GV	1.4	682	Cumple



Listados

Pórtico frontal 1

Fecha: 10/06/15

Perfiles de acero												
R. req. ⁽¹⁾ : R 90												
Barra	η (%)	Posición (m)	Esfuerzos p _s imos						Origen	Rev. mín. nec. ⁽²⁾ Pint. intumescente ⁽³⁾ (mm)	Temperatura ⁽⁴⁾ (°C)	Estado
			N (kN)	Vy (kN)	Vz (kN)	Mt (kN·m)	My (kN·m)	Mz (kN·m)				
N4/N6	5.04	5.000	-3.271	0.000	1.449	0.00	-1.53	0.00	GV	1.4	682	Cumple
N6/N7	4.62	4.620	-2.767	0.000	1.391	0.00	-1.43	0.00	GV	1.4	682	Cumple
N7/N9	4.51	4.620	-2.229	0.000	1.395	0.00	-1.43	0.00	GV	1.4	682	Cumple
N9/N11	4.36	4.620	-1.648	0.000	1.394	0.00	-1.43	0.00	GV	1.4	682	Cumple
N11/N13	4.49	0.000	-2.179	0.000	-1.395	0.00	-1.43	0.00	GV	1.4	682	Cumple
N13/N15	4.61	0.000	-2.713	0.000	-1.392	0.00	-1.43	0.00	GV	1.4	682	Cumple
N15/N17	4.67	0.000	-3.154	0.000	-1.384	0.00	-1.41	0.00	GV	1.4	682	Cumple
N17/N19	4.66	0.000	-3.939	0.000	-1.345	0.00	-1.34	0.00	GV	1.4	682	Cumple
N1/N23	6.46	0.000	0.559	0.000	0.000	0.00	0.00	0.00	GV	2.8	680	Cumple
N23/N2	6.99	0.000	0.605	0.000	0.000	0.00	0.00	0.00	GV	2.8	680	Cumple
N21/N4	7.32	0.000	0.633	0.000	0.000	0.00	0.00	0.00	GV	2.8	680	Cumple
N3/N21	5.25	0.000	0.454	0.000	0.000	0.00	0.00	0.00	GV	2.8	680	Cumple
N21/N23	6.21	5.000	-6.623	0.000	1.507	0.00	-1.65	0.00	GV	1.4	682	Cumple
N23/N24	5.48	5.000	-4.200	0.000	1.482	0.00	-1.61	0.00	GV	1.4	682	Cumple
N24/N25	4.76	4.620	-2.877	0.000	1.412	0.00	-1.47	0.00	GV	1.4	682	Cumple
N25/N26	4.47	4.620	-1.839	0.000	1.405	0.00	-1.45	0.00	GV	1.4	682	Cumple
N26/N27	4.24	0.000	-1.012	0.000	-1.399	0.00	-1.44	0.00	GV	1.4	682	Cumple
N27/N28	4.48	0.000	-1.873	0.000	-1.405	0.00	-1.45	0.00	GV	1.4	682	Cumple
N28/N29	4.78	0.000	-2.924	0.000	-1.413	0.00	-1.47	0.00	GV	1.4	682	Cumple
N29/N30	5.17	0.000	-4.312	0.000	-1.423	0.00	-1.49	0.00	GV	1.4	682	Cumple
N30/N22	5.87	0.000	-6.717	0.000	-1.449	0.00	-1.54	0.00	GV	1.4	682	Cumple
N18/N22	5.36	0.000	0.464	0.000	0.000	0.00	0.00	0.00	GV	2.8	680	Cumple
N22/N17	7.44	0.000	0.644	0.000	0.000	0.00	0.00	0.00	GV	2.8	680	Cumple
N30/N19	7.17	0.000	0.620	0.000	0.000	0.00	0.00	0.00	GV	2.8	680	Cumple
N20/N30	6.58	0.000	0.569	0.000	0.000	0.00	0.00	0.00	GV	2.8	680	Cumple

Notas:
⁽¹⁾ Resistencia requerida (periodo de tiempo, expresado en minutos, durante el cual un elemento estructural debe mantener su capacidad portante).
⁽²⁾ Espesor de revestimiento mínimo necesario.
⁽³⁾ Pintura intumescente
⁽⁴⁾ Temperatura alcanzada por el perfil con el revestimiento indicado, en el tiempo especificado de resistencia al fuego.

2.3.2.3.- Flechas

Referencias:

Pos.: Valor de la coordenada sobre el eje 'X' local del grupo de flecha en el punto donde se produce el valor p_simo de la flecha.

L.: Distancia entre dos puntos de corte consecutivos de la deformada con la recta que une los nudos extremos del grupo de flecha.

Flechas								
Grupo	Flecha máxima absoluta xy Flecha máxima relativa xy		Flecha máxima absoluta xz Flecha máxima relativa xz		Flecha activa absoluta xy Flecha activa relativa xy		Flecha activa absoluta xz Flecha activa relativa xz	
	Pos. (m)	Flecha (mm)	Pos. (m)	Flecha (mm)	Pos. (m)	Flecha (mm)	Pos. (m)	Flecha (mm)
N2/N4	0.000	0.00	3.125	0.14	0.000	0.00	3.125	0.14
	-	L/(>1000)	3.125	L/(>1000)	-	L/(>1000)	3.125	L/(>1000)
N4/N6	0.000	0.00	3.125	0.14	0.000	0.00	3.125	0.14
	-	L/(>1000)	3.125	L/(>1000)	-	L/(>1000)	3.125	L/(>1000)
N6/N7	0.000	0.00	2.888	0.11	0.000	0.00	2.888	0.11
	-	L/(>1000)	2.888	L/(>1000)	-	L/(>1000)	2.888	L/(>1000)
N7/N9	0.000	0.00	2.888	0.11	0.000	0.00	2.888	0.11
	-	L/(>1000)	2.888	L/(>1000)	-	L/(>1000)	2.888	L/(>1000)
N9/N11	0.000	0.00	1.733	0.11	0.000	0.00	1.733	0.11
	-	L/(>1000)	1.733	L/(>1000)	-	L/(>1000)	1.733	L/(>1000)
N11/N13	0.000	0.00	1.733	0.11	0.000	0.00	1.733	0.11
	-	L/(>1000)	1.733	L/(>1000)	-	L/(>1000)	1.733	L/(>1000)
N13/N15	0.000	0.00	1.732	0.11	0.000	0.00	1.732	0.11
	-	L/(>1000)	1.732	L/(>1000)	-	L/(>1000)	1.732	L/(>1000)



Listados

Pórtico frontal 1

Fecha: 10/06/15

Flechas								
Grupo	Flecha máxima absoluta xy Flecha máxima relativa xy		Flecha máxima absoluta xz Flecha máxima relativa xz		Flecha activa absoluta xy Flecha activa relativa xy		Flecha activa absoluta xz Flecha activa relativa xz	
	Pos. (m)	Flecha (mm)	Pos. (m)	Flecha (mm)	Pos. (m)	Flecha (mm)	Pos. (m)	Flecha (mm)
N15/N17	0.000 -	0.00 L/(>1000)	1.732 1.732	0.11 L/(>1000)	0.000 -	0.00 L/(>1000)	1.732 1.732	0.11 L/(>1000)
N17/N19	0.000 -	0.00 L/(>1000)	1.733 1.733	0.11 L/(>1000)	0.000 -	0.00 L/(>1000)	1.733 1.733	0.11 L/(>1000)
N1/N23	0.000 -	0.00 L/(>1000)	2.289 -	0.00 L/(>1000)	0.000 -	0.00 L/(>1000)	2.289 -	0.00 L/(>1000)
N23/N2	0.000 -	0.00 L/(>1000)	2.670 -	0.00 L/(>1000)	0.000 -	0.00 L/(>1000)	2.670 -	0.00 L/(>1000)
N21/N4	0.000 -	0.00 L/(>1000)	3.815 -	0.00 L/(>1000)	0.000 -	0.00 L/(>1000)	3.815 -	0.00 L/(>1000)
N3/N21	0.000 -	0.00 L/(>1000)	4.577 -	0.00 L/(>1000)	0.000 -	0.00 L/(>1000)	4.577 -	0.00 L/(>1000)
N21/N23	0.000 -	0.00 L/(>1000)	1.875 1.875	0.15 L/(>1000)	0.000 -	0.00 L/(>1000)	1.875 1.875	0.15 L/(>1000)
N23/N24	0.000 -	0.00 L/(>1000)	1.875 1.875	0.14 L/(>1000)	0.000 -	0.00 L/(>1000)	1.875 1.875	0.14 L/(>1000)
N24/N25	0.000 -	0.00 L/(>1000)	1.733 1.733	0.11 L/(>1000)	0.000 -	0.00 L/(>1000)	1.733 1.733	0.11 L/(>1000)
N25/N26	0.000 -	0.00 L/(>1000)	1.733 1.733	0.11 L/(>1000)	0.000 -	0.00 L/(>1000)	1.733 1.733	0.11 L/(>1000)
N26/N27	0.000 -	0.00 L/(>1000)	2.888 2.888	0.11 L/(>1000)	0.000 -	0.00 L/(>1000)	2.888 2.888	0.11 L/(>1000)
N27/N28	0.000 -	0.00 L/(>1000)	2.888 2.888	0.11 L/(>1000)	0.000 -	0.00 L/(>1000)	2.888 2.888	0.11 L/(>1000)
N28/N29	0.000 -	0.00 L/(>1000)	2.887 2.887	0.11 L/(>1000)	0.000 -	0.00 L/(>1000)	2.887 2.887	0.11 L/(>1000)
N29/N30	0.000 -	0.00 L/(>1000)	2.887 2.887	0.11 L/(>1000)	0.000 -	0.00 L/(>1000)	2.887 2.887	0.11 L/(>1000)
N30/N22	0.000 -	0.00 L/(>1000)	3.176 3.176	0.12 L/(>1000)	0.000 -	0.00 L/(>1000)	3.176 3.176	0.12 L/(>1000)
N18/N22	0.000 -	0.00 L/(>1000)	5.434 -	0.00 L/(>1000)	0.000 -	0.00 L/(>1000)	3.623 -	0.00 L/(>1000)
N22/N17	0.000 -	0.00 L/(>1000)	5.434 -	0.00 L/(>1000)	0.000 -	0.00 L/(>1000)	5.434 -	0.00 L/(>1000)
N30/N19	0.000 -	0.00 L/(>1000)	1.811 -	0.00 L/(>1000)	0.000 -	0.00 L/(>1000)	1.449 -	0.00 L/(>1000)
N20/N30	0.000 -	0.00 L/(>1000)	4.347 -	0.00 L/(>1000)	0.000 -	0.00 L/(>1000)	3.985 -	0.00 L/(>1000)
N1/N2	0.000 -	0.00 L/(>1000)	1.750 1.312	0.07 L/(>1000)	0.000 -	0.00 L/(>1000)	1.531 1.312	0.12 L/(>1000)
N3/N4	0.000 -	0.00 L/(>1000)	1.969 1.531	0.08 L/(>1000)	0.000 -	0.00 L/(>1000)	1.750 1.531	0.15 L/(>1000)
N5/N6	0.000 -	0.00 L/(>1000)	2.187 2.187	0.08 L/(>1000)	0.000 -	0.00 L/(>1000)	1.969 2.187	0.16 L/(>1000)
N8/N7	0.000 -	0.00 L/(>1000)	2.187 2.187	0.09 L/(>1000)	0.000 -	0.00 L/(>1000)	2.187 2.187	0.17 L/(>1000)
N10/N9	0.000 -	0.00 L/(>1000)	2.187 2.187	0.09 L/(>1000)	0.000 -	0.00 L/(>1000)	2.187 2.187	0.17 L/(>1000)
N12/N11	0.000 -	0.00 L/(>1000)	2.187 2.187	0.09 L/(>1000)	0.000 -	0.00 L/(>1000)	2.187 2.187	0.17 L/(>1000)
N14/N13	0.000 -	0.00 L/(>1000)	2.187 2.187	0.09 L/(>1000)	0.000 -	0.00 L/(>1000)	2.187 2.187	0.17 L/(>1000)
N16/N15	0.000 -	0.00 L/(>1000)	2.187 2.187	0.08 L/(>1000)	0.000 -	0.00 L/(>1000)	1.969 2.187	0.16 L/(>1000)



Listados

Pórtico frontal 1

Fecha: 10/06/15

Grupo	Flechas							
	Flecha máxima absoluta xy Flecha máxima relativa xy		Flecha máxima absoluta xz Flecha máxima relativa xz		Flecha activa absoluta xy Flecha activa relativa xy		Flecha activa absoluta xz Flecha activa relativa xz	
	Pos. (m)	Flecha (mm)	Pos. (m)	Flecha (mm)	Pos. (m)	Flecha (mm)	Pos. (m)	Flecha (mm)
N18/N17	0.000 -	0.00 L/(>1000)	1.969 1.531	0.08 L/(>1000)	0.000 -	0.00 L/(>1000)	1.750 1.531	0.15 L/(>1000)
N20/N19	0.000 -	0.00 L/(>1000)	1.750 1.312	0.07 L/(>1000)	0.000 -	0.00 L/(>1000)	1.531 1.312	0.12 L/(>1000)

2.3.2.4.- Comprobaciones E.L.U. (Completo)

Nota: Se muestra el listado completo de comprobaciones realizadas para las 10 barras con mayor coeficiente de aprovechamiento.

Barra N22/N17

Perfil: Ø12

Material: Acero (S275)

Limitación de esbeltez - Temperatura ambiente (CTE DB SE-A, Artículos 6.3.1 y 6.3.2.1 - Tabla 6.3)

La esbeltez reducida $\bar{\lambda}$ de las barras de arriostramiento traccionadas no debe superar el valor 4.0.

$$\bar{\lambda} = \sqrt{\frac{A \cdot f_y}{N_{cr}}}$$

$\bar{\lambda} < 0.01$



Donde:

A: Área bruta de la sección transversal de la barra.
 f_y: Límite elástico. (CTE DB SE-A, Tabla 4.1)
 N_{cr}: Axil crítico de pandeo elástico.

A : 1.13 cm²
 f_y : 275.0 MPa
 N_{cr} : ∞



Resistencia a tracción - Temperatura ambiente (CTE DB SE-A, Artículo 6.2.3)

Se debe satisfacer:

$$\eta = \frac{N_{t,Ed}}{N_{t,Rd}} \leq 1$$

h : 0.065



El esfuerzo solicitante de cálculo pésimo se produce para la combinación de acciones 1.35·G+1.5·V(180°)H2.

$N_{t,Ed}$: Axil de tracción solicitante de cálculo pésimo.

$N_{t,Ed}$: 1.91 kN

La resistencia de cálculo a tracción $N_{t,Rd}$ viene dada por:

$$N_{t,Rd} = A \cdot f_{yd}$$

$N_{t,Rd}$: 29.62 kN

Donde:

A: Área bruta de la sección transversal de la barra.

A : 1.13 cm²

f_{yd} : Resistencia de cálculo del acero.

f_{yd} : 261.9 MPa

$$f_{yd} = f_y / \gamma_{M0}$$

Siendo:

f_y : Límite elástico. (CTE DB SE-A, Tabla 4.1)

f_y : 275.0 MPa

γ_{M0} : Coeficiente parcial de seguridad del material.

γ_{M0} : 1.05

Resistencia a compresión - Temperatura ambiente (CTE DB SE-A, Artículo 6.2.5)

La comprobación no procede, ya que no hay axil de compresión.

Resistencia a flexión eje Y - Temperatura ambiente (CTE DB SE-A, Artículo 6.2.6)

La comprobación no procede, ya que no hay momento flector.

Resistencia a flexión eje Z - Temperatura ambiente (CTE DB SE-A, Artículo 6.2.6)

La comprobación no procede, ya que no hay momento flector.

Resistencia a corte Z - Temperatura ambiente (CTE DB SE-A, Artículo 6.2.4)

La comprobación no procede, ya que no hay esfuerzo cortante.

Resistencia a corte Y - Temperatura ambiente (CTE DB SE-A, Artículo 6.2.4)

La comprobación no procede, ya que no hay esfuerzo cortante.

Resistencia a momento flector Y y fuerza cortante Z combinados - Temperatura ambiente (CTE DB SE-A, Artículo 6.2.8)

No hay interacción entre momento flector y esfuerzo cortante para ninguna combinación. Por lo tanto, la comprobación no procede.

Resistencia a momento flector Z y fuerza cortante Y combinados - Temperatura ambiente (CTE DB SE-A, Artículo 6.2.8)

No hay interacción entre momento flector y esfuerzo cortante para ninguna combinación. Por lo tanto, la comprobación no procede.

Resistencia a flexión y axil combinados - Temperatura ambiente (CTE DB SE-A, Artículo 6.2.8)

No hay interacción entre axil y momento flector ni entre momentos flectores en ambas direcciones para ninguna combinación. Por lo tanto, la comprobación no procede.

Resistencia a flexión, axil y cortante combinados - Temperatura ambiente (CTE DB SE-A, Artículo 6.2.8)

No hay interacción entre momento flector, axil y cortante para ninguna combinación. Por lo tanto, la comprobación no procede.

Resistencia a torsión - Temperatura ambiente (CTE DB SE-A, Artículo 6.2.7)

La comprobación no procede, ya que no hay momento torsor.

Resistencia a cortante Z y momento torsor combinados - Temperatura ambiente (CTE DB SE-A, Artículo 6.2.8)

No hay interacción entre momento torsor y esfuerzo cortante para ninguna combinación. Por lo tanto, la comprobación no procede.

Resistencia a cortante Y y momento torsor combinados - Temperatura ambiente (CTE DB SE-A, Artículo 6.2.8)

No hay interacción entre momento torsor y esfuerzo cortante para ninguna combinación. Por lo tanto, la comprobación no procede.

Resistencia a tracción - Situación de incendio (CTE DB SE-A, Artículo 6.2.3, y CTE DB SI, Anejo D)

Se debe satisfacer:

$$\eta = \frac{N_{t,Ed}}{N_{t,Rd}} \leq 1$$

h : 0.074



El esfuerzo solicitante de cálculo pésimo se produce para la combinación de acciones G+0.5·V(180°)H2.

$N_{t,Ed}$: Axil de tracción solicitante de cálculo pésimo.

$N_{t,Ed}$: 0.64 kN

La resistencia de cálculo a tracción $N_{t,Rd}$ viene dada por:

$$N_{t,Rd} = A \cdot f_{yd}$$

$N_{t,Rd}$: 8.65 kN

Donde:

A: Área bruta de la sección transversal de la barra.

A : 1.13 cm²

f_{yd} : Resistencia de cálculo del acero.

f_{yd} : 76.5 MPa

$$f_{yd} = f_{y,\theta} / \gamma_{M,\theta}$$

Siendo:

$f_{y,q}$: Límite elástico reducido para la temperatura que alcanza el perfil.

$f_{y,q}$: 76.5 MPa

$$f_{y,\theta} = f_y \cdot k_{y,\theta}$$

f_y : Límite elástico. (CTE DB SE-A, Tabla 4.1)

f_y : 275.0 MPa

$k_{y,q}$: Factor de reducción del límite elástico para la temperatura que alcanza el perfil.

$k_{y,q}$: 0.28

$\gamma_{M,q}$: Coeficiente parcial de seguridad del material.

$\gamma_{M,q}$: 1.00



Resistencia a compresión - Situación de incendio (CTE DB SE-A, Artículo 6.2.5, y CTE DB SI, Anejo D)
La comprobación no procede, ya que no hay axil de compresión.

Resistencia a flexión eje Y - Situación de incendio (CTE DB SE-A, Artículo 6.2.6, y CTE DB SI, Anejo D)
La comprobación no procede, ya que no hay momento flector.

Resistencia a flexión eje Z - Situación de incendio (CTE DB SE-A, Artículo 6.2.6, y CTE DB SI, Anejo D)
La comprobación no procede, ya que no hay momento flector.

Resistencia a corte Z - Situación de incendio (CTE DB SE-A, Artículo 6.2.4, y CTE DB SI, Anejo D)
La comprobación no procede, ya que no hay esfuerzo cortante.

Resistencia a corte Y - Situación de incendio (CTE DB SE-A, Artículo 6.2.4, y CTE DB SI, Anejo D)
La comprobación no procede, ya que no hay esfuerzo cortante.

Resistencia a momento flector Y y fuerza cortante Z combinados - Situación de incendio (CTE DB SE-A, Artículo 6.2.8, y CTE DB SI, Anejo D)
No hay interacción entre momento flector y esfuerzo cortante para ninguna combinación. Por lo tanto, la comprobación no procede.

Resistencia a momento flector Z y fuerza cortante Y combinados - Situación de incendio (CTE DB SE-A, Artículo 6.2.8, y CTE DB SI, Anejo D)
No hay interacción entre momento flector y esfuerzo cortante para ninguna combinación. Por lo tanto, la comprobación no procede.

Resistencia a flexión y axil combinados - Situación de incendio (CTE DB SE-A, Artículo 6.2.8, y CTE DB SI, Anejo D)
No hay interacción entre axil y momento flector ni entre momentos flectores en ambas direcciones para ninguna combinación. Por lo tanto, la comprobación no procede.

Resistencia a flexión, axil y cortante combinados - Situación de incendio (CTE DB SE-A, Artículo 6.2.8, y CTE DB SI, Anejo D)
No hay interacción entre momento flector, axil y cortante para ninguna combinación. Por lo tanto, la comprobación no procede.

Resistencia a torsión - Situación de incendio (CTE DB SE-A, Artículo 6.2.7, y CTE DB SI, Anejo D)
La comprobación no procede, ya que no hay momento torsor.

Resistencia a cortante Z y momento torsor combinados - Situación de incendio (CTE DB SE-A, Artículo 6.2.8, y CTE DB SI, Anejo D)
No hay interacción entre momento torsor y esfuerzo cortante para ninguna combinación. Por lo tanto, la comprobación no procede.



Listados

Pórtico frontal 1

Fecha: 10/06/15

Resistencia a cortante Y y momento torsor combinados - Situación de incendio (CTE DB SE-A, Artículo 6.2.8, y CTE DB SI, Anejo D)

No hay interacción entre momento torsor y esfuerzo cortante para ninguna combinación. Por lo tanto, la comprobación no procede.



Listados

Pórtico frontal 1

Fecha: 10/06/15

Resistencia a tracción - Temperatura ambiente (CTE DB SE-A, Artículo 6.2.3)

Se debe satisfacer:

$$\eta = \frac{N_{t,Ed}}{N_{t,Rd}} \leq 1$$

h : 0.064



El esfuerzo solicitante de cálculo pésimo se produce para la combinación de acciones $0.8 \cdot G + 1.5 \cdot V(0^\circ)H1$.

$N_{t,Ed}$: Axil de tracción solicitante de cálculo pésimo.

$N_{t,Ed}$: 1.89 kN

La resistencia de cálculo a tracción $N_{t,Rd}$ viene dada por:

$$N_{t,Rd} = A \cdot f_{yd}$$

$N_{t,Rd}$: 29.62 kN

Donde:

A: Área bruta de la sección transversal de la barra.

A : 1.13 cm²

f_{yd} : Resistencia de cálculo del acero.

f_{yd} : 261.9 MPa

$$f_{yd} = f_y / \gamma_{M0}$$

Siendo:

f_y : Límite elástico. (CTE DB SE-A, Tabla 4.1)

f_y : 275.0 MPa

γ_{M0} : Coeficiente parcial de seguridad del material.

γ_{M0} : 1.05

Resistencia a compresión - Temperatura ambiente (CTE DB SE-A, Artículo 6.2.5)

La comprobación no procede, ya que no hay axil de compresión.

Resistencia a flexión eje Y - Temperatura ambiente (CTE DB SE-A, Artículo 6.2.6)

La comprobación no procede, ya que no hay momento flector.

Resistencia a flexión eje Z - Temperatura ambiente (CTE DB SE-A, Artículo 6.2.6)

La comprobación no procede, ya que no hay momento flector.

Resistencia a corte Z - Temperatura ambiente (CTE DB SE-A, Artículo 6.2.4)

La comprobación no procede, ya que no hay esfuerzo cortante.

Resistencia a corte Y - Temperatura ambiente (CTE DB SE-A, Artículo 6.2.4)

La comprobación no procede, ya que no hay esfuerzo cortante.

Resistencia a momento flector Y y fuerza cortante Z combinados - Temperatura ambiente (CTE DB SE-A, Artículo 6.2.8)

No hay interacción entre momento flector y esfuerzo cortante para ninguna combinación. Por lo tanto, la comprobación no procede.

Resistencia a momento flector Z y fuerza cortante Y combinados - Temperatura ambiente (CTE DB SE-A, Artículo 6.2.8)

No hay interacción entre momento flector y esfuerzo cortante para ninguna combinación. Por lo tanto, la comprobación no procede.

Resistencia a flexión y axil combinados - Temperatura ambiente (CTE DB SE-A, Artículo 6.2.8)

No hay interacción entre axil y momento flector ni entre momentos flectores en ambas direcciones para ninguna combinación. Por lo tanto, la comprobación no procede.

Resistencia a flexión, axil y cortante combinados - Temperatura ambiente (CTE DB SE-A, Artículo 6.2.8)

No hay interacción entre momento flector, axil y cortante para ninguna combinación. Por lo tanto, la comprobación no procede.

Resistencia a torsión - Temperatura ambiente (CTE DB SE-A, Artículo 6.2.7)

La comprobación no procede, ya que no hay momento torsor.

Resistencia a cortante Z y momento torsor combinados - Temperatura ambiente (CTE DB SE-A, Artículo 6.2.8)

No hay interacción entre momento torsor y esfuerzo cortante para ninguna combinación. Por lo tanto, la comprobación no procede.

Resistencia a cortante Y y momento torsor combinados - Temperatura ambiente (CTE DB SE-A, Artículo 6.2.8)

No hay interacción entre momento torsor y esfuerzo cortante para ninguna combinación. Por lo tanto, la comprobación no procede.

Resistencia a tracción - Situación de incendio (CTE DB SE-A, Artículo 6.2.3, y CTE DB SI, Anejo D)

Se debe satisfacer:

$$\eta = \frac{N_{t,Ed}}{N_{t,Rd}} \leq 1$$

h : 0.072



El esfuerzo solicitante de cálculo pésimo se produce para la combinación de acciones G+0.5·V(0°)H1.

$N_{t,Ed}$: Axil de tracción solicitante de cálculo pésimo.

$N_{t,Ed}$: 0.62 kN

La resistencia de cálculo a tracción $N_{t,Rd}$ viene dada por:

$$N_{t,Rd} = A \cdot f_{yd}$$

$N_{t,Rd}$: 8.65 kN

Donde:

A: Área bruta de la sección transversal de la barra.

A : 1.13 cm²

f_{yd} : Resistencia de cálculo del acero.

f_{yd} : 76.5 MPa

$$f_{yd} = f_{y,\theta} / \gamma_{M,\theta}$$

Siendo:

$f_{y,q}$: Límite elástico reducido para la temperatura que alcanza el perfil.

$f_{y,q}$: 76.5 MPa

$$f_{y,\theta} = f_y \cdot k_{y,\theta}$$

f_y : Límite elástico. (CTE DB SE-A, Tabla 4.1)

f_y : 275.0 MPa

$k_{y,q}$: Factor de reducción del límite elástico para la temperatura que alcanza el perfil.

$k_{y,q}$: 0.28

$\gamma_{M,q}$: Coeficiente parcial de seguridad del material.

$\gamma_{M,q}$: 1.00



Resistencia a compresión - Situación de incendio (CTE DB SE-A, Artículo 6.2.5, y CTE DB SI, Anejo D)
La comprobación no procede, ya que no hay axil de compresión.

Resistencia a flexión eje Y - Situación de incendio (CTE DB SE-A, Artículo 6.2.6, y CTE DB SI, Anejo D)
La comprobación no procede, ya que no hay momento flector.

Resistencia a flexión eje Z - Situación de incendio (CTE DB SE-A, Artículo 6.2.6, y CTE DB SI, Anejo D)
La comprobación no procede, ya que no hay momento flector.

Resistencia a corte Z - Situación de incendio (CTE DB SE-A, Artículo 6.2.4, y CTE DB SI, Anejo D)
La comprobación no procede, ya que no hay esfuerzo cortante.

Resistencia a corte Y - Situación de incendio (CTE DB SE-A, Artículo 6.2.4, y CTE DB SI, Anejo D)
La comprobación no procede, ya que no hay esfuerzo cortante.

Resistencia a momento flector Y y fuerza cortante Z combinados - Situación de incendio (CTE DB SE-A, Artículo 6.2.8, y CTE DB SI, Anejo D)
No hay interacción entre momento flector y esfuerzo cortante para ninguna combinación. Por lo tanto, la comprobación no procede.

Resistencia a momento flector Z y fuerza cortante Y combinados - Situación de incendio (CTE DB SE-A, Artículo 6.2.8, y CTE DB SI, Anejo D)
No hay interacción entre momento flector y esfuerzo cortante para ninguna combinación. Por lo tanto, la comprobación no procede.

Resistencia a flexión y axil combinados - Situación de incendio (CTE DB SE-A, Artículo 6.2.8, y CTE DB SI, Anejo D)
No hay interacción entre axil y momento flector ni entre momentos flectores en ambas direcciones para ninguna combinación. Por lo tanto, la comprobación no procede.

Resistencia a flexión, axil y cortante combinados - Situación de incendio (CTE DB SE-A, Artículo 6.2.8, y CTE DB SI, Anejo D)
No hay interacción entre momento flector, axil y cortante para ninguna combinación. Por lo tanto, la comprobación no procede.

Resistencia a torsión - Situación de incendio (CTE DB SE-A, Artículo 6.2.7, y CTE DB SI, Anejo D)
La comprobación no procede, ya que no hay momento torsor.

Resistencia a cortante Z y momento torsor combinados - Situación de incendio (CTE DB SE-A, Artículo 6.2.8, y CTE DB SI, Anejo D)
No hay interacción entre momento torsor y esfuerzo cortante para ninguna combinación. Por lo tanto, la comprobación no procede.



Listados

Pórtico frontal 1

Fecha: 10/06/15

Resistencia a cortante Y y momento torsor combinados - Situación de incendio (CTE DB SE-A, Artículo 6.2.8, y CTE DB SI, Anejo D)

No hay interacción entre momento torsor y esfuerzo cortante para ninguna combinación. Por lo tanto, la comprobación no procede.



Listados

Pórtico frontal 1

Fecha: 10/06/15

Resistencia a tracción - Temperatura ambiente (CTE DB SE-A, Artículo 6.2.3)

Se debe satisfacer:

$$\eta = \frac{N_{t,Ed}}{N_{t,Rd}} \leq 1$$

h : 0.063



El esfuerzo solicitante de cálculo pésimo se produce para la combinación de acciones 1.35·G+1.5·V(0°)H1.

$N_{t,Ed}$: Axil de tracción solicitante de cálculo pésimo.

$N_{t,Ed}$: 1.88 kN

La resistencia de cálculo a tracción $N_{t,Rd}$ viene dada por:

$$N_{t,Rd} = A \cdot f_{yd}$$

$N_{t,Rd}$: 29.62 kN

Donde:

A: Área bruta de la sección transversal de la barra.

A : 1.13 cm²

f_{yd} : Resistencia de cálculo del acero.

f_{yd} : 261.9 MPa

$$f_{yd} = f_y / \gamma_{M0}$$

Siendo:

f_y : Límite elástico. (CTE DB SE-A, Tabla 4.1)

f_y : 275.0 MPa

γ_{M0} : Coeficiente parcial de seguridad del material.

γ_{M0} : 1.05

Resistencia a compresión - Temperatura ambiente (CTE DB SE-A, Artículo 6.2.5)

La comprobación no procede, ya que no hay axil de compresión.

Resistencia a flexión eje Y - Temperatura ambiente (CTE DB SE-A, Artículo 6.2.6)

La comprobación no procede, ya que no hay momento flector.

Resistencia a flexión eje Z - Temperatura ambiente (CTE DB SE-A, Artículo 6.2.6)

La comprobación no procede, ya que no hay momento flector.

Resistencia a corte Z - Temperatura ambiente (CTE DB SE-A, Artículo 6.2.4)

La comprobación no procede, ya que no hay esfuerzo cortante.

Resistencia a corte Y - Temperatura ambiente (CTE DB SE-A, Artículo 6.2.4)

La comprobación no procede, ya que no hay esfuerzo cortante.

Resistencia a momento flector Y y fuerza cortante Z combinados - Temperatura ambiente (CTE DB SE-A, Artículo 6.2.8)

No hay interacción entre momento flector y esfuerzo cortante para ninguna combinación. Por lo tanto, la comprobación no procede.

Resistencia a momento flector Z y fuerza cortante Y combinados - Temperatura ambiente (CTE DB SE-A, Artículo 6.2.8)

No hay interacción entre momento flector y esfuerzo cortante para ninguna combinación. Por lo tanto, la comprobación no procede.

Resistencia a flexión y axil combinados - Temperatura ambiente (CTE DB SE-A, Artículo 6.2.8)

No hay interacción entre axil y momento flector ni entre momentos flectores en ambas direcciones para ninguna combinación. Por lo tanto, la comprobación no procede.

Resistencia a flexión, axil y cortante combinados - Temperatura ambiente (CTE DB SE-A, Artículo 6.2.8)

No hay interacción entre momento flector, axil y cortante para ninguna combinación. Por lo tanto, la comprobación no procede.

Resistencia a torsión - Temperatura ambiente (CTE DB SE-A, Artículo 6.2.7)

La comprobación no procede, ya que no hay momento torsor.

Resistencia a cortante Z y momento torsor combinados - Temperatura ambiente (CTE DB SE-A, Artículo 6.2.8)

No hay interacción entre momento torsor y esfuerzo cortante para ninguna combinación. Por lo tanto, la comprobación no procede.

Resistencia a cortante Y y momento torsor combinados - Temperatura ambiente (CTE DB SE-A, Artículo 6.2.8)

No hay interacción entre momento torsor y esfuerzo cortante para ninguna combinación. Por lo tanto, la comprobación no procede.

Resistencia a tracción - Situación de incendio (CTE DB SE-A, Artículo 6.2.3, y CTE DB SI, Anejo D)

Se debe satisfacer:

$$\eta = \frac{N_{t,Ed}}{N_{t,Rd}} \leq 1$$

h : 0.073



El esfuerzo solicitante de cálculo pésimo se produce para la combinación de acciones G+0.5·V(0°)H1.

$N_{t,Ed}$: Axil de tracción solicitante de cálculo pésimo.

$N_{t,Ed}$: 0.63 kN

La resistencia de cálculo a tracción $N_{t,Rd}$ viene dada por:

$$N_{t,Rd} = A \cdot f_{yd}$$

$N_{t,Rd}$: 8.65 kN

Donde:

A: Área bruta de la sección transversal de la barra.

A : 1.13 cm²

f_{yd} : Resistencia de cálculo del acero.

f_{yd} : 76.5 MPa

$$f_{yd} = f_{y,\theta} / \gamma_{M,\theta}$$

Siendo:

$f_{y,q}$: Límite elástico reducido para la temperatura que alcanza el perfil.

$f_{y,q}$: 76.5 MPa

$$f_{y,\theta} = f_y \cdot k_{y,\theta}$$

f_y : Límite elástico. (CTE DB SE-A, Tabla 4.1)

f_y : 275.0 MPa

$k_{y,q}$: Factor de reducción del límite elástico para la temperatura que alcanza el perfil.

$k_{y,q}$: 0.28

$\gamma_{M,q}$: Coeficiente parcial de seguridad del material.

$\gamma_{M,q}$: 1.00



Resistencia a compresión - Situación de incendio (CTE DB SE-A, Artículo 6.2.5, y CTE DB SI, Anejo D)
La comprobación no procede, ya que no hay axil de compresión.

Resistencia a flexión eje Y - Situación de incendio (CTE DB SE-A, Artículo 6.2.6, y CTE DB SI, Anejo D)
La comprobación no procede, ya que no hay momento flector.

Resistencia a flexión eje Z - Situación de incendio (CTE DB SE-A, Artículo 6.2.6, y CTE DB SI, Anejo D)
La comprobación no procede, ya que no hay momento flector.

Resistencia a corte Z - Situación de incendio (CTE DB SE-A, Artículo 6.2.4, y CTE DB SI, Anejo D)
La comprobación no procede, ya que no hay esfuerzo cortante.

Resistencia a corte Y - Situación de incendio (CTE DB SE-A, Artículo 6.2.4, y CTE DB SI, Anejo D)
La comprobación no procede, ya que no hay esfuerzo cortante.

Resistencia a momento flector Y y fuerza cortante Z combinados - Situación de incendio (CTE DB SE-A, Artículo 6.2.8, y CTE DB SI, Anejo D)
No hay interacción entre momento flector y esfuerzo cortante para ninguna combinación. Por lo tanto, la comprobación no procede.

Resistencia a momento flector Z y fuerza cortante Y combinados - Situación de incendio (CTE DB SE-A, Artículo 6.2.8, y CTE DB SI, Anejo D)
No hay interacción entre momento flector y esfuerzo cortante para ninguna combinación. Por lo tanto, la comprobación no procede.

Resistencia a flexión y axil combinados - Situación de incendio (CTE DB SE-A, Artículo 6.2.8, y CTE DB SI, Anejo D)
No hay interacción entre axil y momento flector ni entre momentos flectores en ambas direcciones para ninguna combinación. Por lo tanto, la comprobación no procede.

Resistencia a flexión, axil y cortante combinados - Situación de incendio (CTE DB SE-A, Artículo 6.2.8, y CTE DB SI, Anejo D)
No hay interacción entre momento flector, axil y cortante para ninguna combinación. Por lo tanto, la comprobación no procede.

Resistencia a torsión - Situación de incendio (CTE DB SE-A, Artículo 6.2.7, y CTE DB SI, Anejo D)
La comprobación no procede, ya que no hay momento torsor.

Resistencia a cortante Z y momento torsor combinados - Situación de incendio (CTE DB SE-A, Artículo 6.2.8, y CTE DB SI, Anejo D)
No hay interacción entre momento torsor y esfuerzo cortante para ninguna combinación. Por lo tanto, la comprobación no procede.



Listados

Pórtico frontal 1

Fecha: 10/06/15

Resistencia a cortante Y y momento torsor combinados - Situación de incendio (CTE DB SE-A, Artículo 6.2.8, y CTE DB SI, Anejo D)

No hay interacción entre momento torsor y esfuerzo cortante para ninguna combinación. Por lo tanto, la comprobación no procede.



Resistencia a tracción - Temperatura ambiente (CTE DB SE-A, Artículo 6.2.3)

Se debe satisfacer:

$$\eta = \frac{N_{t,Ed}}{N_{t,Rd}} \leq 1$$

h : 0.062



El esfuerzo solicitante de cálculo pésimo se produce para la combinación de acciones $0.8 \cdot G + 1.5 \cdot V(180^\circ)H2$.

$N_{t,Ed}$: Axil de tracción solicitante de cálculo pésimo.

$N_{t,Ed}$: 1.85 kN

La resistencia de cálculo a tracción $N_{t,Rd}$ viene dada por:

$$N_{t,Rd} = A \cdot f_{yd}$$

$N_{t,Rd}$: 29.62 kN

Donde:

A: Área bruta de la sección transversal de la barra.

A : 1.13 cm²

f_{yd} : Resistencia de cálculo del acero.

f_{yd} : 261.9 MPa

$$f_{yd} = f_y / \gamma_{M0}$$

Siendo:

f_y : Límite elástico. (CTE DB SE-A, Tabla 4.1)

f_y : 275.0 MPa

γ_{M0} : Coeficiente parcial de seguridad del material.

γ_{M0} : 1.05

Resistencia a compresión - Temperatura ambiente (CTE DB SE-A, Artículo 6.2.5)

La comprobación no procede, ya que no hay axil de compresión.

Resistencia a flexión eje Y - Temperatura ambiente (CTE DB SE-A, Artículo 6.2.6)

La comprobación no procede, ya que no hay momento flector.

Resistencia a flexión eje Z - Temperatura ambiente (CTE DB SE-A, Artículo 6.2.6)

La comprobación no procede, ya que no hay momento flector.

Resistencia a corte Z - Temperatura ambiente (CTE DB SE-A, Artículo 6.2.4)

La comprobación no procede, ya que no hay esfuerzo cortante.

Resistencia a corte Y - Temperatura ambiente (CTE DB SE-A, Artículo 6.2.4)

La comprobación no procede, ya que no hay esfuerzo cortante.

Resistencia a momento flector Y y fuerza cortante Z combinados - Temperatura ambiente (CTE DB SE-A, Artículo 6.2.8)

No hay interacción entre momento flector y esfuerzo cortante para ninguna combinación. Por lo tanto, la comprobación no procede.

Resistencia a momento flector Z y fuerza cortante Y combinados - Temperatura ambiente (CTE DB SE-A, Artículo 6.2.8)

No hay interacción entre momento flector y esfuerzo cortante para ninguna combinación. Por lo tanto, la comprobación no procede.

Resistencia a flexión y axil combinados - Temperatura ambiente (CTE DB SE-A, Artículo 6.2.8)

No hay interacción entre axil y momento flector ni entre momentos flectores en ambas direcciones para ninguna combinación. Por lo tanto, la comprobación no procede.

Resistencia a flexión, axil y cortante combinados - Temperatura ambiente (CTE DB SE-A, Artículo 6.2.8)

No hay interacción entre momento flector, axil y cortante para ninguna combinación. Por lo tanto, la comprobación no procede.

Resistencia a torsión - Temperatura ambiente (CTE DB SE-A, Artículo 6.2.7)

La comprobación no procede, ya que no hay momento torsor.

Resistencia a cortante Z y momento torsor combinados - Temperatura ambiente (CTE DB SE-A, Artículo 6.2.8)

No hay interacción entre momento torsor y esfuerzo cortante para ninguna combinación. Por lo tanto, la comprobación no procede.

Resistencia a cortante Y y momento torsor combinados - Temperatura ambiente (CTE DB SE-A, Artículo 6.2.8)

No hay interacción entre momento torsor y esfuerzo cortante para ninguna combinación. Por lo tanto, la comprobación no procede.

Resistencia a tracción - Situación de incendio (CTE DB SE-A, Artículo 6.2.3, y CTE DB SI, Anejo D)

Se debe satisfacer:

$$\eta = \frac{N_{t,Ed}}{N_{t,Rd}} \leq 1$$

h : 0.070



El esfuerzo solicitante de cálculo pésimo se produce para la combinación de acciones G+0.5·V(180°)H2.

$N_{t,Ed}$: Axil de tracción solicitante de cálculo pésimo.

$N_{t,Ed}$: 0.61 kN

La resistencia de cálculo a tracción $N_{t,Rd}$ viene dada por:

$$N_{t,Rd} = A \cdot f_{yd}$$

$N_{t,Rd}$: 8.65 kN

Donde:

A: Área bruta de la sección transversal de la barra.

A : 1.13 cm²

f_{yd} : Resistencia de cálculo del acero.

f_{yd} : 76.5 MPa

$$f_{yd} = f_{y,\theta} / \gamma_{M,\theta}$$

Siendo:

$f_{y,q}$: Límite elástico reducido para la temperatura que alcanza el perfil.

$f_{y,q}$: 76.5 MPa

$$f_{y,\theta} = f_y \cdot k_{y,\theta}$$

f_y : Límite elástico. (CTE DB SE-A, Tabla 4.1)

f_y : 275.0 MPa

$k_{y,q}$: Factor de reducción del límite elástico para la temperatura que alcanza el perfil.

$k_{y,q}$: 0.28

$\gamma_{M,q}$: Coeficiente parcial de seguridad del material.

$\gamma_{M,q}$: 1.00



Resistencia a compresión - Situación de incendio (CTE DB SE-A, Artículo 6.2.5, y CTE DB SI, Anejo D)
La comprobación no procede, ya que no hay axil de compresión.

Resistencia a flexión eje Y - Situación de incendio (CTE DB SE-A, Artículo 6.2.6, y CTE DB SI, Anejo D)
La comprobación no procede, ya que no hay momento flector.

Resistencia a flexión eje Z - Situación de incendio (CTE DB SE-A, Artículo 6.2.6, y CTE DB SI, Anejo D)
La comprobación no procede, ya que no hay momento flector.

Resistencia a corte Z - Situación de incendio (CTE DB SE-A, Artículo 6.2.4, y CTE DB SI, Anejo D)
La comprobación no procede, ya que no hay esfuerzo cortante.

Resistencia a corte Y - Situación de incendio (CTE DB SE-A, Artículo 6.2.4, y CTE DB SI, Anejo D)
La comprobación no procede, ya que no hay esfuerzo cortante.

Resistencia a momento flector Y y fuerza cortante Z combinados - Situación de incendio (CTE DB SE-A, Artículo 6.2.8, y CTE DB SI, Anejo D)
No hay interacción entre momento flector y esfuerzo cortante para ninguna combinación. Por lo tanto, la comprobación no procede.

Resistencia a momento flector Z y fuerza cortante Y combinados - Situación de incendio (CTE DB SE-A, Artículo 6.2.8, y CTE DB SI, Anejo D)
No hay interacción entre momento flector y esfuerzo cortante para ninguna combinación. Por lo tanto, la comprobación no procede.

Resistencia a flexión y axil combinados - Situación de incendio (CTE DB SE-A, Artículo 6.2.8, y CTE DB SI, Anejo D)
No hay interacción entre axil y momento flector ni entre momentos flectores en ambas direcciones para ninguna combinación. Por lo tanto, la comprobación no procede.

Resistencia a flexión, axil y cortante combinados - Situación de incendio (CTE DB SE-A, Artículo 6.2.8, y CTE DB SI, Anejo D)
No hay interacción entre momento flector, axil y cortante para ninguna combinación. Por lo tanto, la comprobación no procede.

Resistencia a torsión - Situación de incendio (CTE DB SE-A, Artículo 6.2.7, y CTE DB SI, Anejo D)
La comprobación no procede, ya que no hay momento torsor.

Resistencia a cortante Z y momento torsor combinados - Situación de incendio (CTE DB SE-A, Artículo 6.2.8, y CTE DB SI, Anejo D)
No hay interacción entre momento torsor y esfuerzo cortante para ninguna combinación. Por lo tanto, la comprobación no procede.



Listados

Pórtico frontal 1

Fecha: 10/06/15

Resistencia a cortante Y y momento torsor combinados - Situación de incendio (CTE DB SE-A, Artículo 6.2.8, y CTE DB SI, Anejo D)

No hay interacción entre momento torsor y esfuerzo cortante para ninguna combinación. Por lo tanto, la comprobación no procede.



Listados

Pórtico frontal 1

Fecha: 10/06/15

Barra N20/N30

Perfil: Ø12
Material: Acero (S275)

Nudos		Longitud (m)	Características mecánicas			
Inicial	Final		Área (cm ²)	I _y ⁽¹⁾ (cm4)	I _z ⁽¹⁾ (cm4)	I _t ⁽²⁾ (cm4)
N20	N30	5.796	1.13	0.10	0.10	0.20
Notas: ⁽¹⁾ Inercia respecto al eje indicado ⁽²⁾ Momento de inercia a torsión uniforme						
	Pandeo		Pandeo lateral			
	Plano XY	Plano XZ	Ala sup.	Ala inf.		
β	0.00	0.00	0.00	0.00		
L _k	0.000	0.000	0.000	0.000		
C _m	1.000	1.000	1.000	1.000		
C ₁	-		1.000			
Notación: b: Coeficiente de pandeo L _k : Longitud de pandeo (m) C _m : Coeficiente de momentos C ₁ : Factor de modificación para el momento crítico						
Situación de incendio						
Resistencia requerida: R 90 Factor de forma: 333.33 m-1 Temperatura máx. de la barra: 680.0 °C Pintura intumescente: 2.8 mm						

Limitación de esbeltez - Temperatura ambiente (CTE DB SE-A, Artículos 6.3.1 y 6.3.2.1 - Tabla 6.3)

La esbeltez reducida $\bar{\lambda}$ de las barras de arriostramiento traccionadas no debe superar el valor 4.0.

$$\bar{\lambda} = \sqrt{\frac{A \cdot f_y}{N_{cr}}}$$

$\bar{\lambda} < 0.01$ ✓

Donde:

A: Área bruta de la sección transversal de la barra.

f_y: Límite elástico. (CTE DB SE-A, Tabla 4.1)

N_{cr}: Axil crítico de pandeo elástico.

A : 1.13 cm²

f_y : 275.0 MPa

N_{cr} : ∞



Resistencia a tracción - Temperatura ambiente (CTE DB SE-A, Artículo 6.2.3)

Se debe satisfacer:

$$\eta = \frac{N_{t,Ed}}{N_{t,Rd}} \leq 1$$

h : 0.058



El esfuerzo solicitante de cálculo pésimo se produce para la combinación de acciones 0.8·G+1.5·V(180°)H2.

$N_{t,Ed}$: Axil de tracción solicitante de cálculo pésimo.

$N_{t,Ed}$: 1.72 kN

La resistencia de cálculo a tracción $N_{t,Rd}$ viene dada por:

$$N_{t,Rd} = A \cdot f_{yd}$$

$N_{t,Rd}$: 29.62 kN

Donde:

A: Área bruta de la sección transversal de la barra.

A : 1.13 cm²

f_{yd} : Resistencia de cálculo del acero.

f_{yd} : 261.9 MPa

$$f_{yd} = f_y / \gamma_{M0}$$

Siendo:

f_y : Límite elástico. (CTE DB SE-A, Tabla 4.1)

f_y : 275.0 MPa

γ_{M0} : Coeficiente parcial de seguridad del material.

γ_{M0} : 1.05

Resistencia a compresión - Temperatura ambiente (CTE DB SE-A, Artículo 6.2.5)

La comprobación no procede, ya que no hay axil de compresión.

Resistencia a flexión eje Y - Temperatura ambiente (CTE DB SE-A, Artículo 6.2.6)

La comprobación no procede, ya que no hay momento flector.

Resistencia a flexión eje Z - Temperatura ambiente (CTE DB SE-A, Artículo 6.2.6)

La comprobación no procede, ya que no hay momento flector.

Resistencia a corte Z - Temperatura ambiente (CTE DB SE-A, Artículo 6.2.4)

La comprobación no procede, ya que no hay esfuerzo cortante.

Resistencia a corte Y - Temperatura ambiente (CTE DB SE-A, Artículo 6.2.4)

La comprobación no procede, ya que no hay esfuerzo cortante.

Resistencia a momento flector Y y fuerza cortante Z combinados - Temperatura ambiente (CTE DB SE-A, Artículo 6.2.8)

No hay interacción entre momento flector y esfuerzo cortante para ninguna combinación. Por lo tanto, la comprobación no procede.

Resistencia a momento flector Z y fuerza cortante Y combinados - Temperatura ambiente (CTE DB SE-A, Artículo 6.2.8)

No hay interacción entre momento flector y esfuerzo cortante para ninguna combinación. Por lo tanto, la comprobación no procede.



Listados

Pórtico frontal 1

Fecha: 10/06/15

Resistencia a flexión y axil combinados - Temperatura ambiente (CTE DB SE-A, Artículo 6.2.8)

No hay interacción entre axil y momento flector ni entre momentos flectores en ambas direcciones para ninguna combinación. Por lo tanto, la comprobación no procede.

Resistencia a flexión, axil y cortante combinados - Temperatura ambiente (CTE DB SE-A, Artículo 6.2.8)

No hay interacción entre momento flector, axil y cortante para ninguna combinación. Por lo tanto, la comprobación no procede.

Resistencia a torsión - Temperatura ambiente (CTE DB SE-A, Artículo 6.2.7)

La comprobación no procede, ya que no hay momento torsor.

Resistencia a cortante Z y momento torsor combinados - Temperatura ambiente (CTE DB SE-A, Artículo 6.2.8)

No hay interacción entre momento torsor y esfuerzo cortante para ninguna combinación. Por lo tanto, la comprobación no procede.

Resistencia a cortante Y y momento torsor combinados - Temperatura ambiente (CTE DB SE-A, Artículo 6.2.8)

No hay interacción entre momento torsor y esfuerzo cortante para ninguna combinación. Por lo tanto, la comprobación no procede.

Resistencia a tracción - Situación de incendio (CTE DB SE-A, Artículo 6.2.3, y CTE DB SI, Anejo D)

Se debe satisfacer:

$$\eta = \frac{N_{t,Ed}}{N_{t,Rd}} \leq 1$$

h : 0.066



El esfuerzo solicitante de cálculo pésimo se produce para la combinación de acciones G+0.5·V(180°)H2.

$N_{t,Ed}$: Axil de tracción solicitante de cálculo pésimo.

$N_{t,Ed}$: 0.57 kN

La resistencia de cálculo a tracción $N_{t,Rd}$ viene dada por:

$$N_{t,Rd} = A \cdot f_{yd}$$

$N_{t,Rd}$: 8.65 kN

Donde:

A: Área bruta de la sección transversal de la barra.

A : 1.13 cm²

f_{yd} : Resistencia de cálculo del acero.

f_{yd} : 76.5 MPa

$$f_{yd} = f_{y,\theta} / \gamma_{M,\theta}$$

Siendo:

$f_{y,q}$: Límite elástico reducido para la temperatura que alcanza el perfil.

$f_{y,q}$: 76.5 MPa

$$f_{y,\theta} = f_y \cdot k_{y,\theta}$$

f_y : Límite elástico. (CTE DB SE-A, Tabla 4.1)

f_y : 275.0 MPa

$k_{y,q}$: Factor de reducción del límite elástico para la temperatura que alcanza el perfil.

$k_{y,q}$: 0.28

$\gamma_{M,q}$: Coeficiente parcial de seguridad del material.

$\gamma_{M,q}$: 1.00



Resistencia a compresión - Situación de incendio (CTE DB SE-A, Artículo 6.2.5, y CTE DB SI, Anejo D)
La comprobación no procede, ya que no hay axil de compresión.

Resistencia a flexión eje Y - Situación de incendio (CTE DB SE-A, Artículo 6.2.6, y CTE DB SI, Anejo D)
La comprobación no procede, ya que no hay momento flector.

Resistencia a flexión eje Z - Situación de incendio (CTE DB SE-A, Artículo 6.2.6, y CTE DB SI, Anejo D)
La comprobación no procede, ya que no hay momento flector.

Resistencia a corte Z - Situación de incendio (CTE DB SE-A, Artículo 6.2.4, y CTE DB SI, Anejo D)
La comprobación no procede, ya que no hay esfuerzo cortante.

Resistencia a corte Y - Situación de incendio (CTE DB SE-A, Artículo 6.2.4, y CTE DB SI, Anejo D)
La comprobación no procede, ya que no hay esfuerzo cortante.

Resistencia a momento flector Y y fuerza cortante Z combinados - Situación de incendio (CTE DB SE-A, Artículo 6.2.8, y CTE DB SI, Anejo D)
No hay interacción entre momento flector y esfuerzo cortante para ninguna combinación. Por lo tanto, la comprobación no procede.

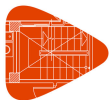
Resistencia a momento flector Z y fuerza cortante Y combinados - Situación de incendio (CTE DB SE-A, Artículo 6.2.8, y CTE DB SI, Anejo D)
No hay interacción entre momento flector y esfuerzo cortante para ninguna combinación. Por lo tanto, la comprobación no procede.

Resistencia a flexión y axil combinados - Situación de incendio (CTE DB SE-A, Artículo 6.2.8, y CTE DB SI, Anejo D)
No hay interacción entre axil y momento flector ni entre momentos flectores en ambas direcciones para ninguna combinación. Por lo tanto, la comprobación no procede.

Resistencia a flexión, axil y cortante combinados - Situación de incendio (CTE DB SE-A, Artículo 6.2.8, y CTE DB SI, Anejo D)
No hay interacción entre momento flector, axil y cortante para ninguna combinación. Por lo tanto, la comprobación no procede.

Resistencia a torsión - Situación de incendio (CTE DB SE-A, Artículo 6.2.7, y CTE DB SI, Anejo D)
La comprobación no procede, ya que no hay momento torsor.

Resistencia a cortante Z y momento torsor combinados - Situación de incendio (CTE DB SE-A, Artículo 6.2.8, y CTE DB SI, Anejo D)
No hay interacción entre momento torsor y esfuerzo cortante para ninguna combinación. Por lo tanto, la comprobación no procede.



Listados

Pórtico frontal 1

Fecha: 10/06/15

Resistencia a cortante Y y momento torsor combinados - Situación de incendio (CTE DB SE-A, Artículo 6.2.8, y CTE DB SI, Anejo D)

No hay interacción entre momento torsor y esfuerzo cortante para ninguna combinación. Por lo tanto, la comprobación no procede.



Listados

Pórtico frontal 1

Fecha: 10/06/15

Resistencia a tracción - Temperatura ambiente (CTE DB SE-A, Artículo 6.2.3)

Se debe satisfacer:

$$\eta = \frac{N_{t,Ed}}{N_{t,Rd}} \leq 1$$

h : 0.057



El esfuerzo solicitante de cálculo pésimo se produce para la combinación de acciones $0.8 \cdot G + 1.5 \cdot V(0^\circ)H1$.

$N_{t,Ed}$: Axil de tracción solicitante de cálculo pésimo.

$N_{t,Ed}$: 1.69 kN

La resistencia de cálculo a tracción $N_{t,Rd}$ viene dada por:

$$N_{t,Rd} = A \cdot f_{yd}$$

$N_{t,Rd}$: 29.62 kN

Donde:

A: Área bruta de la sección transversal de la barra.

A : 1.13 cm²

f_{yd} : Resistencia de cálculo del acero.

f_{yd} : 261.9 MPa

$$f_{yd} = f_y / \gamma_{M0}$$

Siendo:

f_y : Límite elástico. (CTE DB SE-A, Tabla 4.1)

f_y : 275.0 MPa

γ_{M0} : Coeficiente parcial de seguridad del material.

γ_{M0} : 1.05

Resistencia a compresión - Temperatura ambiente (CTE DB SE-A, Artículo 6.2.5)

La comprobación no procede, ya que no hay axil de compresión.

Resistencia a flexión eje Y - Temperatura ambiente (CTE DB SE-A, Artículo 6.2.6)

La comprobación no procede, ya que no hay momento flector.

Resistencia a flexión eje Z - Temperatura ambiente (CTE DB SE-A, Artículo 6.2.6)

La comprobación no procede, ya que no hay momento flector.

Resistencia a corte Z - Temperatura ambiente (CTE DB SE-A, Artículo 6.2.4)

La comprobación no procede, ya que no hay esfuerzo cortante.

Resistencia a corte Y - Temperatura ambiente (CTE DB SE-A, Artículo 6.2.4)

La comprobación no procede, ya que no hay esfuerzo cortante.

Resistencia a momento flector Y y fuerza cortante Z combinados - Temperatura ambiente (CTE DB SE-A, Artículo 6.2.8)

No hay interacción entre momento flector y esfuerzo cortante para ninguna combinación. Por lo tanto, la comprobación no procede.

Resistencia a momento flector Z y fuerza cortante Y combinados - Temperatura ambiente (CTE DB SE-A, Artículo 6.2.8)

No hay interacción entre momento flector y esfuerzo cortante para ninguna combinación. Por lo tanto, la comprobación no procede.

Resistencia a flexión y axil combinados - Temperatura ambiente (CTE DB SE-A, Artículo 6.2.8)

No hay interacción entre axil y momento flector ni entre momentos flectores en ambas direcciones para ninguna combinación. Por lo tanto, la comprobación no procede.

Resistencia a flexión, axil y cortante combinados - Temperatura ambiente (CTE DB SE-A, Artículo 6.2.8)

No hay interacción entre momento flector, axil y cortante para ninguna combinación. Por lo tanto, la comprobación no procede.

Resistencia a torsión - Temperatura ambiente (CTE DB SE-A, Artículo 6.2.7)

La comprobación no procede, ya que no hay momento torsor.

Resistencia a cortante Z y momento torsor combinados - Temperatura ambiente (CTE DB SE-A, Artículo 6.2.8)

No hay interacción entre momento torsor y esfuerzo cortante para ninguna combinación. Por lo tanto, la comprobación no procede.

Resistencia a cortante Y y momento torsor combinados - Temperatura ambiente (CTE DB SE-A, Artículo 6.2.8)

No hay interacción entre momento torsor y esfuerzo cortante para ninguna combinación. Por lo tanto, la comprobación no procede.

Resistencia a tracción - Situación de incendio (CTE DB SE-A, Artículo 6.2.3, y CTE DB SI, Anejo D)

Se debe satisfacer:

$$\eta = \frac{N_{t,Ed}}{N_{t,Rd}} \leq 1$$

h : 0.065



El esfuerzo solicitante de cálculo pésimo se produce para la combinación de acciones G+0.5·V(0°)H1.

$N_{t,Ed}$: Axil de tracción solicitante de cálculo pésimo.

$N_{t,Ed}$: 0.56 kN

La resistencia de cálculo a tracción $N_{t,Rd}$ viene dada por:

$$N_{t,Rd} = A \cdot f_{yd}$$

$N_{t,Rd}$: 8.65 kN

Donde:

A: Área bruta de la sección transversal de la barra.

A : 1.13 cm²

f_{yd} : Resistencia de cálculo del acero.

f_{yd} : 76.5 MPa

$$f_{yd} = f_{y,\theta} / \gamma_{M,\theta}$$

Siendo:

$f_{y,q}$: Límite elástico reducido para la temperatura que alcanza el perfil.

$f_{y,q}$: 76.5 MPa

$$f_{y,\theta} = f_y \cdot k_{y,\theta}$$

f_y : Límite elástico. (CTE DB SE-A, Tabla 4.1)

f_y : 275.0 MPa

$k_{y,q}$: Factor de reducción del límite elástico para la temperatura que alcanza el perfil.

$k_{y,q}$: 0.28

$\gamma_{M,q}$: Coeficiente parcial de seguridad del material.

$\gamma_{M,q}$: 1.00



Resistencia a compresión - Situación de incendio (CTE DB SE-A, Artículo 6.2.5, y CTE DB SI, Anejo D)
La comprobación no procede, ya que no hay axil de compresión.

Resistencia a flexión eje Y - Situación de incendio (CTE DB SE-A, Artículo 6.2.6, y CTE DB SI, Anejo D)
La comprobación no procede, ya que no hay momento flector.

Resistencia a flexión eje Z - Situación de incendio (CTE DB SE-A, Artículo 6.2.6, y CTE DB SI, Anejo D)
La comprobación no procede, ya que no hay momento flector.

Resistencia a corte Z - Situación de incendio (CTE DB SE-A, Artículo 6.2.4, y CTE DB SI, Anejo D)
La comprobación no procede, ya que no hay esfuerzo cortante.

Resistencia a corte Y - Situación de incendio (CTE DB SE-A, Artículo 6.2.4, y CTE DB SI, Anejo D)
La comprobación no procede, ya que no hay esfuerzo cortante.

Resistencia a momento flector Y y fuerza cortante Z combinados - Situación de incendio (CTE DB SE-A, Artículo 6.2.8, y CTE DB SI, Anejo D)
No hay interacción entre momento flector y esfuerzo cortante para ninguna combinación. Por lo tanto, la comprobación no procede.

Resistencia a momento flector Z y fuerza cortante Y combinados - Situación de incendio (CTE DB SE-A, Artículo 6.2.8, y CTE DB SI, Anejo D)
No hay interacción entre momento flector y esfuerzo cortante para ninguna combinación. Por lo tanto, la comprobación no procede.

Resistencia a flexión y axil combinados - Situación de incendio (CTE DB SE-A, Artículo 6.2.8, y CTE DB SI, Anejo D)
No hay interacción entre axil y momento flector ni entre momentos flectores en ambas direcciones para ninguna combinación. Por lo tanto, la comprobación no procede.

Resistencia a flexión, axil y cortante combinados - Situación de incendio (CTE DB SE-A, Artículo 6.2.8, y CTE DB SI, Anejo D)
No hay interacción entre momento flector, axil y cortante para ninguna combinación. Por lo tanto, la comprobación no procede.

Resistencia a torsión - Situación de incendio (CTE DB SE-A, Artículo 6.2.7, y CTE DB SI, Anejo D)
La comprobación no procede, ya que no hay momento torsor.

Resistencia a cortante Z y momento torsor combinados - Situación de incendio (CTE DB SE-A, Artículo 6.2.8, y CTE DB SI, Anejo D)
No hay interacción entre momento torsor y esfuerzo cortante para ninguna combinación. Por lo tanto, la comprobación no procede.



Listados

Pórtico frontal 1

Fecha: 10/06/15

Resistencia a cortante Y y momento torsor combinados - Situación de incendio (CTE DB SE-A, Artículo 6.2.8, y CTE DB SI, Anejo D)

No hay interacción entre momento torsor y esfuerzo cortante para ninguna combinación. Por lo tanto, la comprobación no procede.



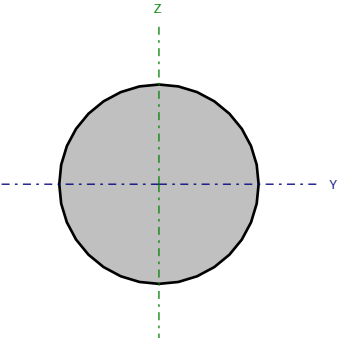
Listados

Pórtico frontal 1

Fecha: 10/06/15

Barra N18/N22

Perfil: Ø12
Material: Acero (S275)



Nudos		Longitud (m)	Características mecánicas			
Inicial	Final		Área (cm²)	I _y ⁽¹⁾ (cm4)	I _z ⁽¹⁾ (cm4)	I _t ⁽²⁾ (cm4)
N18	N22	5.796	1.13	0.10	0.10	0.20
Notas: ⁽¹⁾ Inercia respecto al eje indicado ⁽²⁾ Momento de inercia a torsión uniforme						
	Pandeo		Pandeo lateral			
	Plano XY	Plano XZ	Ala sup.	Ala inf.		
β	0.00	0.00	0.00	0.00		
L _K	0.000	0.000	0.000	0.000		
C _m	1.000	1.000	1.000	1.000		
C ₁	-		1.000			
Notación: b: Coeficiente de pandeo L _K : Longitud de pandeo (m) C _m : Coeficiente de momentos C ₁ : Factor de modificación para el momento crítico						
Situación de incendio						
Resistencia requerida: R 90 Factor de forma: 333.33 m-1 Temperatura máx. de la barra: 680.0 °C Pintura intumescente: 2.8 mm						

Limitación de esbeltez - Temperatura ambiente (CTE DB SE-A, Artículos 6.3.1 y 6.3.2.1 - Tabla 6.3)

La esbeltez reducida $\bar{\lambda}$ de las barras de arriostramiento traccionadas no debe superar el valor 4.0.

$$\bar{\lambda} = \sqrt{\frac{A \cdot f_y}{N_{cr}}}$$

$\bar{\lambda} < 0.01$



Donde:

A: Área bruta de la sección transversal de la barra.

f_y: Límite elástico. (CTE DB SE-A, Tabla 4.1)

N_{cr}: Axil crítico de pandeo elástico.

A : 1.13 cm²

f_y : 275.0 MPa

N_{cr} : ∞



Resistencia a tracción - Temperatura ambiente (CTE DB SE-A, Artículo 6.2.3)

Se debe satisfacer:

$$\eta = \frac{N_{t,Ed}}{N_{t,Rd}} \leq 1$$

h : 0.047



El esfuerzo solicitante de cálculo pésimo se produce para la combinación de acciones 1.35·G+1.5·V(0°)H1.

$N_{t,Ed}$: Axil de tracción solicitante de cálculo pésimo.

$N_{t,Ed}$: 1.38 kN

La resistencia de cálculo a tracción $N_{t,Rd}$ viene dada por:

$$N_{t,Rd} = A \cdot f_{yd}$$

$N_{t,Rd}$: 29.62 kN

Donde:

A: Área bruta de la sección transversal de la barra.

A : 1.13 cm²

f_{yd} : Resistencia de cálculo del acero.

f_{yd} : 261.9 MPa

$$f_{yd} = f_y / \gamma_{M0}$$

Siendo:

f_y : Límite elástico. (CTE DB SE-A, Tabla 4.1)

f_y : 275.0 MPa

γ_{M0} : Coeficiente parcial de seguridad del material.

γ_{M0} : 1.05

Resistencia a compresión - Temperatura ambiente (CTE DB SE-A, Artículo 6.2.5)

La comprobación no procede, ya que no hay axil de compresión.

Resistencia a flexión eje Y - Temperatura ambiente (CTE DB SE-A, Artículo 6.2.6)

La comprobación no procede, ya que no hay momento flector.

Resistencia a flexión eje Z - Temperatura ambiente (CTE DB SE-A, Artículo 6.2.6)

La comprobación no procede, ya que no hay momento flector.

Resistencia a corte Z - Temperatura ambiente (CTE DB SE-A, Artículo 6.2.4)

La comprobación no procede, ya que no hay esfuerzo cortante.

Resistencia a corte Y - Temperatura ambiente (CTE DB SE-A, Artículo 6.2.4)

La comprobación no procede, ya que no hay esfuerzo cortante.

Resistencia a momento flector Y y fuerza cortante Z combinados - Temperatura ambiente (CTE DB SE-A, Artículo 6.2.8)

No hay interacción entre momento flector y esfuerzo cortante para ninguna combinación. Por lo tanto, la comprobación no procede.

Resistencia a momento flector Z y fuerza cortante Y combinados - Temperatura ambiente (CTE DB SE-A, Artículo 6.2.8)

No hay interacción entre momento flector y esfuerzo cortante para ninguna combinación. Por lo tanto, la comprobación no procede.

Resistencia a flexión y axil combinados - Temperatura ambiente (CTE DB SE-A, Artículo 6.2.8)

No hay interacción entre axil y momento flector ni entre momentos flectores en ambas direcciones para ninguna combinación. Por lo tanto, la comprobación no procede.

Resistencia a flexión, axil y cortante combinados - Temperatura ambiente (CTE DB SE-A, Artículo 6.2.8)

No hay interacción entre momento flector, axil y cortante para ninguna combinación. Por lo tanto, la comprobación no procede.

Resistencia a torsión - Temperatura ambiente (CTE DB SE-A, Artículo 6.2.7)

La comprobación no procede, ya que no hay momento torsor.

Resistencia a cortante Z y momento torsor combinados - Temperatura ambiente (CTE DB SE-A, Artículo 6.2.8)

No hay interacción entre momento torsor y esfuerzo cortante para ninguna combinación. Por lo tanto, la comprobación no procede.

Resistencia a cortante Y y momento torsor combinados - Temperatura ambiente (CTE DB SE-A, Artículo 6.2.8)

No hay interacción entre momento torsor y esfuerzo cortante para ninguna combinación. Por lo tanto, la comprobación no procede.

Resistencia a tracción - Situación de incendio (CTE DB SE-A, Artículo 6.2.3, y CTE DB SI, Anejo D)

Se debe satisfacer:

$$\eta = \frac{N_{t,Ed}}{N_{t,Rd}} \leq 1$$

h : 0.054



El esfuerzo solicitante de cálculo pésimo se produce para la combinación de acciones G+0.5·V(0°)H1.

$N_{t,Ed}$: Axil de tracción solicitante de cálculo pésimo.

$N_{t,Ed}$: 0.46 kN

La resistencia de cálculo a tracción $N_{t,Rd}$ viene dada por:

$$N_{t,Rd} = A \cdot f_{yd}$$

$N_{t,Rd}$: 8.65 kN

Donde:

A: Área bruta de la sección transversal de la barra.

A : 1.13 cm²

f_{yd} : Resistencia de cálculo del acero.

f_{yd} : 76.5 MPa

$$f_{yd} = f_{y,\theta} / \gamma_{M,\theta}$$

Siendo:

$f_{y,q}$: Límite elástico reducido para la temperatura que alcanza el perfil.

$f_{y,q}$: 76.5 MPa

$$f_{y,\theta} = f_y \cdot k_{y,\theta}$$

f_y : Límite elástico. (CTE DB SE-A, Tabla 4.1)

f_y : 275.0 MPa

$k_{y,q}$: Factor de reducción del límite elástico para la temperatura que alcanza el perfil.

$k_{y,q}$: 0.28

$\gamma_{M,q}$: Coeficiente parcial de seguridad del material.

$\gamma_{M,q}$: 1.00



Resistencia a compresión - Situación de incendio (CTE DB SE-A, Artículo 6.2.5, y CTE DB SI, Anejo D)
La comprobación no procede, ya que no hay axil de compresión.

Resistencia a flexión eje Y - Situación de incendio (CTE DB SE-A, Artículo 6.2.6, y CTE DB SI, Anejo D)
La comprobación no procede, ya que no hay momento flector.

Resistencia a flexión eje Z - Situación de incendio (CTE DB SE-A, Artículo 6.2.6, y CTE DB SI, Anejo D)
La comprobación no procede, ya que no hay momento flector.

Resistencia a corte Z - Situación de incendio (CTE DB SE-A, Artículo 6.2.4, y CTE DB SI, Anejo D)
La comprobación no procede, ya que no hay esfuerzo cortante.

Resistencia a corte Y - Situación de incendio (CTE DB SE-A, Artículo 6.2.4, y CTE DB SI, Anejo D)
La comprobación no procede, ya que no hay esfuerzo cortante.

Resistencia a momento flector Y y fuerza cortante Z combinados - Situación de incendio (CTE DB SE-A, Artículo 6.2.8, y CTE DB SI, Anejo D)
No hay interacción entre momento flector y esfuerzo cortante para ninguna combinación. Por lo tanto, la comprobación no procede.

Resistencia a momento flector Z y fuerza cortante Y combinados - Situación de incendio (CTE DB SE-A, Artículo 6.2.8, y CTE DB SI, Anejo D)
No hay interacción entre momento flector y esfuerzo cortante para ninguna combinación. Por lo tanto, la comprobación no procede.

Resistencia a flexión y axil combinados - Situación de incendio (CTE DB SE-A, Artículo 6.2.8, y CTE DB SI, Anejo D)
No hay interacción entre axil y momento flector ni entre momentos flectores en ambas direcciones para ninguna combinación. Por lo tanto, la comprobación no procede.

Resistencia a flexión, axil y cortante combinados - Situación de incendio (CTE DB SE-A, Artículo 6.2.8, y CTE DB SI, Anejo D)
No hay interacción entre momento flector, axil y cortante para ninguna combinación. Por lo tanto, la comprobación no procede.

Resistencia a torsión - Situación de incendio (CTE DB SE-A, Artículo 6.2.7, y CTE DB SI, Anejo D)
La comprobación no procede, ya que no hay momento torsor.

Resistencia a cortante Z y momento torsor combinados - Situación de incendio (CTE DB SE-A, Artículo 6.2.8, y CTE DB SI, Anejo D)
No hay interacción entre momento torsor y esfuerzo cortante para ninguna combinación. Por lo tanto, la comprobación no procede.



Listados

Pórtico frontal 1

Fecha: 10/06/15

Resistencia a cortante Y y momento torsor combinados - Situación de incendio (CTE DB SE-A, Artículo 6.2.8, y CTE DB SI, Anejo D)

No hay interacción entre momento torsor y esfuerzo cortante para ninguna combinación. Por lo tanto, la comprobación no procede.



Listados

Pórtico frontal 1

Fecha: 10/06/15

Resistencia a tracción - Temperatura ambiente (CTE DB SE-A, Artículo 6.2.3)

Se debe satisfacer:

$$\eta = \frac{N_{t,Ed}}{N_{t,Rd}} \leq 1$$

h : 0.046



El esfuerzo solicitante de cálculo pésimo se produce para la combinación de acciones 1.35·G+1.5·V(180°)H2.

$N_{t,Ed}$: Axil de tracción solicitante de cálculo pésimo.

$N_{t,Ed}$: 1.36 kN

La resistencia de cálculo a tracción $N_{t,Rd}$ viene dada por:

$$N_{t,Rd} = A \cdot f_{yd}$$

$N_{t,Rd}$: 29.62 kN

Donde:

A: Área bruta de la sección transversal de la barra.

A : 1.13 cm²

f_{yd} : Resistencia de cálculo del acero.

f_{yd} : 261.9 MPa

$$f_{yd} = f_y / \gamma_{M0}$$

Siendo:

f_y : Límite elástico. (CTE DB SE-A, Tabla 4.1)

f_y : 275.0 MPa

γ_{M0} : Coeficiente parcial de seguridad del material.

γ_{M0} : 1.05

Resistencia a compresión - Temperatura ambiente (CTE DB SE-A, Artículo 6.2.5)

La comprobación no procede, ya que no hay axil de compresión.

Resistencia a flexión eje Y - Temperatura ambiente (CTE DB SE-A, Artículo 6.2.6)

La comprobación no procede, ya que no hay momento flector.

Resistencia a flexión eje Z - Temperatura ambiente (CTE DB SE-A, Artículo 6.2.6)

La comprobación no procede, ya que no hay momento flector.

Resistencia a corte Z - Temperatura ambiente (CTE DB SE-A, Artículo 6.2.4)

La comprobación no procede, ya que no hay esfuerzo cortante.

Resistencia a corte Y - Temperatura ambiente (CTE DB SE-A, Artículo 6.2.4)

La comprobación no procede, ya que no hay esfuerzo cortante.

Resistencia a momento flector Y y fuerza cortante Z combinados - Temperatura ambiente (CTE DB SE-A, Artículo 6.2.8)

No hay interacción entre momento flector y esfuerzo cortante para ninguna combinación. Por lo tanto, la comprobación no procede.

Resistencia a momento flector Z y fuerza cortante Y combinados - Temperatura ambiente (CTE DB SE-A, Artículo 6.2.8)

No hay interacción entre momento flector y esfuerzo cortante para ninguna combinación. Por lo tanto, la comprobación no procede.



Resistencia a flexión y axil combinados - Temperatura ambiente (CTE DB SE-A, Artículo 6.2.8)

No hay interacción entre axil y momento flector ni entre momentos flectores en ambas direcciones para ninguna combinación. Por lo tanto, la comprobación no procede.

Resistencia a flexión, axil y cortante combinados - Temperatura ambiente (CTE DB SE-A, Artículo 6.2.8)

No hay interacción entre momento flector, axil y cortante para ninguna combinación. Por lo tanto, la comprobación no procede.

Resistencia a torsión - Temperatura ambiente (CTE DB SE-A, Artículo 6.2.7)

La comprobación no procede, ya que no hay momento torsor.

Resistencia a cortante Z y momento torsor combinados - Temperatura ambiente (CTE DB SE-A, Artículo 6.2.8)

No hay interacción entre momento torsor y esfuerzo cortante para ninguna combinación. Por lo tanto, la comprobación no procede.

Resistencia a cortante Y y momento torsor combinados - Temperatura ambiente (CTE DB SE-A, Artículo 6.2.8)

No hay interacción entre momento torsor y esfuerzo cortante para ninguna combinación. Por lo tanto, la comprobación no procede.

Resistencia a tracción - Situación de incendio (CTE DB SE-A, Artículo 6.2.3, y CTE DB SI, Anejo D)

Se debe satisfacer:

$$\eta = \frac{N_{t,Ed}}{N_{t,Rd}} \leq 1$$

h : 0.053



El esfuerzo solicitante de cálculo pésimo se produce para la combinación de acciones G+0.5·V(180°)H2.

$N_{t,Ed}$: Axil de tracción solicitante de cálculo pésimo.

$N_{t,Ed}$: 0.45 kN

La resistencia de cálculo a tracción $N_{t,Rd}$ viene dada por:

$$N_{t,Rd} = A \cdot f_{yd}$$

$N_{t,Rd}$: 8.65 kN

Donde:

A: Área bruta de la sección transversal de la barra.

A : 1.13 cm²

f_{yd} : Resistencia de cálculo del acero.

f_{yd} : 76.5 MPa

$$f_{yd} = f_{y,\theta} / \gamma_{M,\theta}$$

Siendo:

$f_{y,q}$: Límite elástico reducido para la temperatura que alcanza el perfil.

$f_{y,q}$: 76.5 MPa

$$f_{y,\theta} = f_y \cdot k_{y,\theta}$$

f_y : Límite elástico. (CTE DB SE-A, Tabla 4.1)

f_y : 275.0 MPa

$k_{y,q}$: Factor de reducción del límite elástico para la temperatura que alcanza el perfil.

$k_{y,q}$: 0.28

$\gamma_{M,q}$: Coeficiente parcial de seguridad del material.

$\gamma_{M,q}$: 1.00



Resistencia a compresión - Situación de incendio (CTE DB SE-A, Artículo 6.2.5, y CTE DB SI, Anejo D)
La comprobación no procede, ya que no hay axil de compresión.

Resistencia a flexión eje Y - Situación de incendio (CTE DB SE-A, Artículo 6.2.6, y CTE DB SI, Anejo D)
La comprobación no procede, ya que no hay momento flector.

Resistencia a flexión eje Z - Situación de incendio (CTE DB SE-A, Artículo 6.2.6, y CTE DB SI, Anejo D)
La comprobación no procede, ya que no hay momento flector.

Resistencia a corte Z - Situación de incendio (CTE DB SE-A, Artículo 6.2.4, y CTE DB SI, Anejo D)
La comprobación no procede, ya que no hay esfuerzo cortante.

Resistencia a corte Y - Situación de incendio (CTE DB SE-A, Artículo 6.2.4, y CTE DB SI, Anejo D)
La comprobación no procede, ya que no hay esfuerzo cortante.

Resistencia a momento flector Y y fuerza cortante Z combinados - Situación de incendio (CTE DB SE-A, Artículo 6.2.8, y CTE DB SI, Anejo D)
No hay interacción entre momento flector y esfuerzo cortante para ninguna combinación. Por lo tanto, la comprobación no procede.

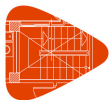
Resistencia a momento flector Z y fuerza cortante Y combinados - Situación de incendio (CTE DB SE-A, Artículo 6.2.8, y CTE DB SI, Anejo D)
No hay interacción entre momento flector y esfuerzo cortante para ninguna combinación. Por lo tanto, la comprobación no procede.

Resistencia a flexión y axil combinados - Situación de incendio (CTE DB SE-A, Artículo 6.2.8, y CTE DB SI, Anejo D)
No hay interacción entre axil y momento flector ni entre momentos flectores en ambas direcciones para ninguna combinación. Por lo tanto, la comprobación no procede.

Resistencia a flexión, axil y cortante combinados - Situación de incendio (CTE DB SE-A, Artículo 6.2.8, y CTE DB SI, Anejo D)
No hay interacción entre momento flector, axil y cortante para ninguna combinación. Por lo tanto, la comprobación no procede.

Resistencia a torsión - Situación de incendio (CTE DB SE-A, Artículo 6.2.7, y CTE DB SI, Anejo D)
La comprobación no procede, ya que no hay momento torsor.

Resistencia a cortante Z y momento torsor combinados - Situación de incendio (CTE DB SE-A, Artículo 6.2.8, y CTE DB SI, Anejo D)
No hay interacción entre momento torsor y esfuerzo cortante para ninguna combinación. Por lo tanto, la comprobación no procede.



Listados

Pórtico frontal 1

Fecha: 10/06/15

Resistencia a cortante Y y momento torsor combinados - Situación de incendio (CTE DB SE-A, Artículo 6.2.8, y CTE DB SI, Anejo D)

No hay interacción entre momento torsor y esfuerzo cortante para ninguna combinación. Por lo tanto, la comprobación no procede.



Listados

Pórtico frontal 1

Fecha: 10/06/15

Barra N21/N23

Perfil: HE 180 B

Material: Acero (S275)

Nudos		Longitud (m)	Características mecánicas			
Inicial	Final		Área (cm ²)	I _y ⁽¹⁾ (cm4)	I _z ⁽¹⁾ (cm4)	I _t ⁽²⁾ (cm4)
N21	N23	5.000	65.30	3831.00	1363.00	42.16
Notas: ⁽¹⁾ Inercia respecto al eje indicado ⁽²⁾ Momento de inercia a torsión uniforme						
	Pandeo		Pandeo lateral			
	Plano XY	Plano XZ	Ala sup.	Ala inf.		
β	0.50	0.50	0.00	0.00		
L _k	2.500	2.500	0.000	0.000		
C _m	1.000	1.000	1.000	1.000		
C ₁	-		1.000			
Notación: b: Coeficiente de pandeo L _k : Longitud de pandeo (m) C _m : Coeficiente de momentos C ₁ : Factor de modificación para el momento crítico						
Situación de incendio						
Resistencia requerida: R 90 Factor de forma: 167.88 m-1 Temperatura máx. de la barra: 682.5 °C Pintura intumescente: 1.4 mm						



Listados

Pórtico frontal 1

Fecha: 10/06/15

Limitación de esbeltez - Temperatura ambiente (CTE DB SE-A, Artículos 6.3.1 y 6.3.2.1 - Tabla 6.3)

La esbeltez reducida $\bar{\lambda}$ de las barras comprimidas debe ser inferior al valor 2.0.

$$\bar{\lambda} = \sqrt{\frac{A \cdot f_y}{N_{cr}}}$$

$\bar{\lambda}$: 0.63



Donde:

Clase: Clase de la sección, según la capacidad de deformación y de desarrollo de la resistencia plástica de los elementos planos comprimidos de una sección.

Clase : 1

A: Área de la sección bruta para las secciones de clase 1, 2 y 3.

A : 65.30 cm²

f_y : Límite elástico. (CTE DB SE-A, Tabla 4.1)

f_y : 275.0 MPa

N_{cr} : Axil crítico de pandeo elástico.

N_{cr} : 4519.96 kN

El axil crítico de pandeo elástico N_{cr} es el menor de los valores obtenidos en a), b) y c):

a) Axil crítico elástico de pandeo por flexión respecto al eje Y.

$N_{cr,y}$: 12704.31 kN

$$N_{cr,y} = \frac{\pi^2 \cdot E \cdot I_y}{L_{ky}^2}$$

b) Axil crítico elástico de pandeo por flexión respecto al eje Z.

$N_{cr,z}$: 4519.96 kN

$$N_{cr,z} = \frac{\pi^2 \cdot E \cdot I_z}{L_{kz}^2}$$

c) Axil crítico elástico de pandeo por torsión.

$N_{cr,T}$: ∞

$$N_{cr,T} = \frac{1}{i_0^2} \cdot \left[G \cdot I_t + \frac{\pi^2 \cdot E \cdot I_w}{L_{kt}^2} \right]$$

Donde:

I_y : Momento de inercia de la sección bruta, respecto al eje Y.

I_y : 3831.00 cm⁴

I_z : Momento de inercia de la sección bruta, respecto al eje Z.

I_z : 1363.00 cm⁴

I_t : Momento de inercia a torsión uniforme.

I_t : 42.16 cm⁴

I_w : Constante de alabeo de la sección.

I_w : 93750.00 cm⁶

E: Módulo de elasticidad.

E : 210000 MPa

G: Módulo de elasticidad transversal.

G : 81000 MPa

L_{ky} : Longitud efectiva de pandeo por flexión, respecto al eje Y.

L_{ky} : 2.500 m

L_{kz} : Longitud efectiva de pandeo por flexión, respecto al eje Z.

L_{kz} : 2.500 m

L_{kt} : Longitud efectiva de pandeo por torsión.

L_{kt} : 0.000 m

i_0 : Radio de giro polar de la sección bruta, respecto al centro de torsión.

i_0 : 8.92 cm

$$i_0 = (i_y^2 + i_z^2 + y_0^2 + z_0^2)^{0.5}$$

Siendo:

i_y , i_z : Radios de giro de la sección bruta, respecto a los ejes principales de inercia Y y Z.

i_y : 7.66 cm

i_z : 4.57 cm



Listados

Pórtico frontal 1

Fecha: 10/06/15

y_o , z_o : Coordenadas del centro de torsión en la dirección de los ejes principales Y y Z, respectivamente, relativas al centro de gravedad de la sección.

y_o : 0.00 mm

z_o : 0.00 mm

Abolladura del alma inducida por el ala comprimida - Temperatura ambiente (Criterio de CYPE Ingenieros, basado en: Eurocódigo 3 EN 1993-1-5: 2006, Artículo 8)

Se debe satisfacer:

$$\frac{h_w}{t_w} \leq k \frac{E}{f_{yf}} \sqrt{\frac{A_w}{A_{fc,ef}}}$$

17.88 ≤ 164.04



Donde:

h_w : Altura del alma.

h_w : 152.00 mm

t_w : Espesor del alma.

t_w : 8.50 mm

A_w : Área del alma.

A_w : 12.92 cm²

$A_{fc,ef}$: Área reducida del ala comprimida.

$A_{fc,ef}$: 25.20 cm²

k : Coeficiente que depende de la clase de la sección.

k : 0.30

E : Módulo de elasticidad.

E : 210000 MPa

f_{yf} : Límite elástico del acero del ala comprimida.

f_{yf} : 275.0 MPa

Siendo:

$$f_{yf} = f_y$$

Resistencia a tracción - Temperatura ambiente (CTE DB SE-A, Artículo 6.2.3)

Se debe satisfacer:

$$\eta = \frac{N_{t,Ed}}{N_{t,Rd}} \leq 1$$

η : 0.004



El esfuerzo solicitante de cálculo pésimo se produce para la combinación de acciones 1.35·G+1.5·V(180°)H2.

$N_{t,Ed}$: Axil de tracción solicitante de cálculo pésimo.

$N_{t,Ed}$: 6.54 kN

La resistencia de cálculo a tracción $N_{t,Rd}$ viene dada por:

$$N_{t,Rd} = A \cdot f_{yd}$$

$N_{t,Rd}$: 1710.24 kN

Donde:

A : Área bruta de la sección transversal de la barra.

A : 65.30 cm²

f_{yd} : Resistencia de cálculo del acero.

f_{yd} : 261.9 MPa

$$f_{yd} = f_y / \gamma_{M0}$$

Siendo:

f_y : Límite elástico. (CTE DB SE-A, Tabla 4.1)

f_y : 275.0 MPa

γ_{M0} : Coeficiente parcial de seguridad del material.

γ_{M0} : 1.05



Listados

Pórtico frontal 1

Fecha: 10/06/15

Resistencia a compresión - Temperatura ambiente (CTE DB SE-A, Artículo 6.2.5)

Se debe satisfacer:

$$\eta = \frac{N_{c,Ed}}{N_{c,Rd}} \leq 1$$

h : 0.012



$$\eta = \frac{N_{c,Ed}}{N_{b,Rd}} \leq 1$$

h : 0.015



El esfuerzo solicitante de cálculo pésimo se produce para la combinación de acciones 0.8·G+1.5·V(0°)H1.

$N_{c,Ed}$: Axil de compresión solicitante de cálculo pésimo.

$N_{c,Ed}$: 20.33 kN

La resistencia de cálculo a compresión $N_{c,Rd}$ viene dada por:

$$N_{c,Rd} = A \cdot f_{yd}$$

$N_{c,Rd}$: 1710.24 kN

Donde:

Clase: Clase de la sección, según la capacidad de deformación y de desarrollo de la resistencia plástica de los elementos planos comprimidos de una sección.

Clase : 1

A: Área de la sección bruta para las secciones de clase 1, 2 y 3.

A : 65.30 cm²

f_{yd} : Resistencia de cálculo del acero.

f_{yd} : 261.9 MPa

$$f_{yd} = f_y / \gamma_{M0}$$

Siendo:

f_y : Límite elástico. (CTE DB SE-A, Tabla 4.1)

f_y : 275.0 MPa

γ_{M0} : Coeficiente parcial de seguridad del material.

γ_{M0} : 1.05

Resistencia a pandeo: (CTE DB SE-A, Artículo 6.3.2)

La resistencia de cálculo a pandeo $N_{b,Rd}$ en una barra comprimida viene dada por:

$$N_{b,Rd} = \chi \cdot A \cdot f_{yd}$$

$N_{b,Rd}$: 1312.22 kN

Donde:

A: Área de la sección bruta para las secciones de clase 1, 2 y 3.

A : 65.30 cm²

f_{yd} : Resistencia de cálculo del acero.

f_{yd} : 261.9 MPa

$$f_{yd} = f_y / \gamma_{M1}$$

Siendo:

f_y : Límite elástico. (CTE DB SE-A, Tabla 4.1)

f_y : 275.0 MPa

γ_{M1} : Coeficiente parcial de seguridad del material.

γ_{M1} : 1.05

c: Coeficiente de reducción por pandeo.

$$\chi = \frac{1}{\Phi + \sqrt{\Phi^2 - (\bar{\lambda})^2}} \leq 1$$

c_y : 0.94

c_z : 0.77

Siendo:

$$\Phi = 0.5 \cdot \left[1 + \alpha \cdot (\bar{\lambda} - 0.2) + (\bar{\lambda})^2 \right]$$

f_y : 0.60

f_z : 0.80

a: Coeficiente de imperfección elástica.

a_y : 0.34

a_z : 0.49

$\bar{\lambda}$: Esbeltez reducida.



Listados

Pórtico frontal 1

Fecha: 10/06/15

$$\bar{\lambda} = \sqrt{\frac{A \cdot f_y}{N_{cr}}}$$

N_{cr} : Axil crítico elástico de pandeo, obtenido como el menor de los siguientes valores:

$N_{cr,y}$: Axil crítico elástico de pandeo por flexión respecto al eje Y.

$N_{cr,z}$: Axil crítico elástico de pandeo por flexión respecto al eje Z.

$N_{cr,T}$: Axil crítico elástico de pandeo por torsión.

$$\bar{\lambda}_y : 0.38$$

$$\bar{\lambda}_z : 0.63$$

$$N_{cr} : 4519.96 \text{ kN}$$

$$N_{cr,y} : 12704.31 \text{ kN}$$

$$N_{cr,z} : 4519.96 \text{ kN}$$

$$N_{cr,T} : \infty$$

Resistencia a flexión eje Y - Temperatura ambiente (CTE DB SE-A, Artículo 6.2.6)

Se debe satisfacer:

$$\eta = \frac{M_{Ed}}{M_{c,Rd}} \leq 1$$

$$h : 0.026$$



Para flexión positiva:

El esfuerzo solicitante de cálculo pésimo se produce en el nudo N23, para la combinación de acciones 0.8·G+1.5·V(180°)H2.

M_{Ed}^+ : Momento flector solicitante de cálculo pésimo.

$$M_{Ed}^+ : 0.72 \text{ kN·m}$$

Para flexión negativa:

El esfuerzo solicitante de cálculo pésimo se produce en el nudo N23, para la combinación de acciones 1.35·G+1.5·V(0°)H1.

M_{Ed}^- : Momento flector solicitante de cálculo pésimo.

$$M_{Ed}^- : 3.22 \text{ kN·m}$$

El momento flector resistente de cálculo $M_{c,Rd}$ viene dado por:

$$M_{c,Rd} = W_{pl,y} \cdot f_{yd}$$

$$M_{c,Rd} : 126.08 \text{ kN·m}$$

Donde:

Clase: Clase de la sección, según la capacidad de deformación y de desarrollo de la resistencia plástica de los elementos planos de una sección a flexión simple.

$$\text{Clase} : 1$$

$W_{pl,y}$: Módulo resistente plástico correspondiente a la fibra con mayor tensión, para las secciones de clase 1 y 2.

$$W_{pl,y} : 481.40 \text{ cm}^3$$

f_{yd} : Resistencia de cálculo del acero.

$$f_{yd} : 261.9 \text{ MPa}$$

$$f_{yd} = f_y / \gamma_{M0}$$

Siendo:

f_y : Límite elástico. (CTE DB SE-A, Tabla 4.1)

$$f_y : 275.0 \text{ MPa}$$

γ_{M0} : Coeficiente parcial de seguridad del material.

$$\gamma_{M0} : 1.05$$

Resistencia a pandeo lateral: (CTE DB SE-A, Artículo 6.3.3.2)

No procede, dado que las longitudes de pandeo lateral son nulas.



Listados

Pórtico frontal 1

Fecha: 10/06/15

Resistencia a flexión eje Z - Temperatura ambiente (CTE DB SE-A, Artículo 6.2.6)

Se debe satisfacer:

$$\eta = \frac{M_{Ed}}{M_{c,Rd}} \leq 1$$

h : 0.001



Para flexión positiva:

El esfuerzo solicitante de cálculo pésimo se produce en el nudo N21, para la combinación de acciones G-SX-0.3·SY.

M_{Ed}^+ : Momento flector solicitante de cálculo pésimo.

M_{Ed}^+ : 0.05 kN·m

Para flexión negativa:

El esfuerzo solicitante de cálculo pésimo se produce en el nudo N21, para la combinación de acciones G+SX-0.3·SY.

M_{Ed}^- : Momento flector solicitante de cálculo pésimo.

M_{Ed}^- : 0.05 kN·m

El momento flector resistente de cálculo $M_{c,Rd}$ viene dado por:

$$M_{c,Rd} = W_{pl,z} \cdot f_{yd}$$

$M_{c,Rd}$: 60.50 kN·m

Donde:

Clase: Clase de la sección, según la capacidad de deformación y de desarrollo de la resistencia plástica de los elementos planos de una sección a flexión simple.

Clase : 1

$W_{pl,z}$: Módulo resistente plástico correspondiente a la fibra con mayor tensión, para las secciones de clase 1 y 2.

$W_{pl,z}$: 231.00 cm³

f_{yd} : Resistencia de cálculo del acero.

f_{yd} : 261.9 MPa

$$f_{yd} = f_y / \gamma_{M0}$$

Siendo:

f_y : Límite elástico. (CTE DB SE-A, Tabla 4.1)

f_y : 275.0 MPa

γ_{M0} : Coeficiente parcial de seguridad del material.

γ_{M0} : 1.05



Listados

Pórtico frontal 1

Fecha: 10/06/15

Resistencia a corte Z - Temperatura ambiente (CTE DB SE-A, Artículo 6.2.4)

Se debe satisfacer:

$$\eta = \frac{V_{Ed}}{V_{c,Rd}} \leq 1$$

h : 0.011



El esfuerzo solicitante de cálculo pésimo se produce en el nudo N23, para la combinación de acciones 1.35·G+1.5·V(0°)H1.

V_{Ed} : Esfuerzo cortante solicitante de cálculo pésimo.

V_{Ed} : 2.44 kN

El esfuerzo cortante resistente de cálculo $V_{c,Rd}$ viene dado por:

$$V_{c,Rd} = A_v \cdot \frac{f_{yd}}{\sqrt{3}}$$

$V_{c,Rd}$: 231.35 kN

Donde:

A_v : Área transversal a cortante.

A_v : 15.30 cm²

$$A_v = h \cdot t_w$$

Siendo:

h: Canto de la sección.

h : 180.00 mm

t_w : Espesor del alma.

t_w : 8.50 mm

f_{yd} : Resistencia de cálculo del acero.

f_{yd} : 261.9 MPa

$$f_{yd} = f_y / \gamma_{M0}$$

Siendo:

f_y : Límite elástico. (CTE DB SE-A, Tabla 4.1)

f_y : 275.0 MPa

γ_{M0} : Coeficiente parcial de seguridad del material.

γ_{M0} : 1.05

Abolladura por cortante del alma: (CTE DB SE-A, Artículo 6.3.3.4)

Aunque no se han dispuesto rigidizadores transversales, no es necesario comprobar la resistencia a la abolladura del alma, puesto que se cumple:

$$\frac{d}{t_w} < 70 \cdot \varepsilon$$

17.88 < 64.71

Donde:

l_w : Esbeltez del alma.

l_w : 17.88

$$\lambda_w = \frac{d}{t_w}$$

l_{max} : Esbeltez máxima.

l_{max} : 64.71

$$\lambda_{max} = 70 \cdot \varepsilon$$

e: Factor de reducción.

e : 0.92

$$\varepsilon = \sqrt{\frac{f_{ref}}{f_y}}$$

Siendo:

f_{ref} : Límite elástico de referencia.

f_{ref} : 235.0 MPa

f_y : Límite elástico. (CTE DB SE-A, Tabla 4.1)

f_y : 275.0 MPa



Listados

Pórtico frontal 1

Fecha: 10/06/15

Resistencia a corte Y - Temperatura ambiente (CTE DB SE-A, Artículo 6.2.4)

Se debe satisfacer:

$$\eta = \frac{V_{Ed}}{V_{c,Rd}} \leq 1$$

$$h < 0.001$$



El esfuerzo solicitante de cálculo pésimo se produce para la combinación de acciones G-SX-0.3·SY.

V_{Ed} : Esfuerzo cortante solicitante de cálculo pésimo.

$$V_{Ed} : 0.02 \text{ kN}$$

El esfuerzo cortante resistente de cálculo $V_{c,Rd}$ viene dado por:

$$V_{c,Rd} = A_v \cdot \frac{f_{yd}}{\sqrt{3}}$$

$$V_{c,Rd} : 792.04 \text{ kN}$$

Donde:

A_v : Área transversal a cortante.

$$A_v : 52.38 \text{ cm}^2$$

$$A_v = A - d \cdot t_w$$

Siendo:

A: Área de la sección bruta.

$$A : 65.30 \text{ cm}^2$$

d: Altura del alma.

$$d : 152.00 \text{ mm}$$

t_w : Espesor del alma.

$$t_w : 8.50 \text{ mm}$$

f_{yd} : Resistencia de cálculo del acero.

$$f_{yd} : 261.9 \text{ MPa}$$

$$f_{yd} = f_y / \gamma_{M0}$$

Siendo:

f_y : Límite elástico. (CTE DB SE-A, Tabla 4.1)

$$f_y : 275.0 \text{ MPa}$$

γ_{M0} : Coeficiente parcial de seguridad del material.

$$\gamma_{M0} : 1.05$$

Resistencia a momento flector Y y fuerza cortante Z combinados - Temperatura ambiente (CTE DB SE-A, Artículo 6.2.8)

No es necesario reducir la resistencia de cálculo a flexión, ya que el esfuerzo cortante solicitante de cálculo pésimo V_{Ed} no es superior al 50% de la resistencia de cálculo a cortante $V_{c,Rd}$.

$$V_{Ed} \leq \frac{V_{c,Rd}}{2}$$

$$0.237 \leq 11.792$$

Los esfuerzos solicitantes de cálculo pésimos se producen para la combinación de acciones 1.35·G+1.5·V(180°)H2.

V_{Ed} : Esfuerzo cortante solicitante de cálculo pésimo.

$$V_{Ed} : 2.33 \text{ kN}$$

$V_{c,Rd}$: Esfuerzo cortante resistente de cálculo.

$$V_{c,Rd} : 231.35 \text{ kN}$$



Listados

Pórtico frontal 1

Fecha: 10/06/15

Resistencia a momento flector Z y fuerza cortante Y combinados - Temperatura ambiente (CTE DB SE-A, Artículo 6.2.8)

No es necesario reducir la resistencia de cálculo a flexión, ya que el esfuerzo cortante solicitante de cálculo pésimo V_{Ed} no es superior al 50% de la resistencia de cálculo a cortante $V_{c,Rd}$.

$$V_{Ed} \leq \frac{V_{c,Rd}}{2}$$

$$0.002 \leq 40.369$$

Los esfuerzos solicitantes de cálculo pésimos se producen para la combinación de acciones G-SX-0.3·SY.

V_{Ed} : Esfuerzo cortante solicitante de cálculo pésimo.

$$V_{Ed} : 0.02 \text{ kN}$$

$V_{c,Rd}$: Esfuerzo cortante resistente de cálculo.

$$V_{c,Rd} : 792.04 \text{ kN}$$

Resistencia a flexión y axil combinados - Temperatura ambiente (CTE DB SE-A, Artículo 6.2.8)

Se debe satisfacer:

$$\eta = \frac{N_{c,Ed}}{N_{pl,Rd}} + \frac{M_{y,Ed}}{M_{pl,Rd,y}} + \frac{M_{z,Ed}}{M_{pl,Rd,z}} \leq 1$$

$$h : 0.037$$



$$\eta = \frac{N_{c,Ed}}{\chi_y \cdot A \cdot f_{yd}} + k_y \cdot \frac{C_{m,y} \cdot M_{y,Ed}}{\chi_{LT} \cdot W_{pl,y} \cdot f_{yd}} + \alpha_z \cdot k_z \cdot \frac{C_{m,z} \cdot M_{z,Ed}}{W_{pl,z} \cdot f_{yd}} \leq 1$$

$$h : 0.038$$



$$\eta = \frac{N_{c,Ed}}{\chi_z \cdot A \cdot f_{yd}} + \alpha_y \cdot k_y \cdot \frac{C_{m,y} \cdot M_{y,Ed}}{W_{pl,y} \cdot f_{yd}} + k_z \cdot \frac{C_{m,z} \cdot M_{z,Ed}}{W_{pl,z} \cdot f_{yd}} \leq 1$$

$$h : 0.031$$



Los esfuerzos solicitantes de cálculo pésimos se producen en el nudo N23, para la combinación de acciones 1.35·G+1.5·V(0°)H1.

Donde:

$N_{c,Ed}$: Axil de compresión solicitante de cálculo pésimo.

$$N_{c,Ed} : 20.22 \text{ kN}$$

$M_{y,Ed}$, $M_{z,Ed}$: Momentos flectores solicitantes de cálculo pésimos, según los ejes Y y Z, respectivamente.

$$M_{y,Ed} : 3.22 \text{ kN·m}$$

$$M_{z,Ed} : 0.00 \text{ kN·m}$$

Clase: Clase de la sección, según la capacidad de deformación y de desarrollo de la resistencia plástica de sus elementos planos, para axil y flexión simple.

$$\text{Clase} : 1$$

$N_{pl,Rd}$: Resistencia a compresión de la sección bruta.

$$N_{pl,Rd} : 1710.24 \text{ kN}$$

$M_{pl,Rd,y}$, $M_{pl,Rd,z}$: Resistencia a flexión de la sección bruta en condiciones plásticas, respecto a los ejes Y y Z, respectivamente.

$$M_{pl,Rd,y} : 126.08 \text{ kN·m}$$

$$M_{pl,Rd,z} : 60.50 \text{ kN·m}$$

Resistencia a pandeo: (CTE DB SE-A, Artículo 6.3.4.2)

A: Área de la sección bruta.

$$A : 65.30 \text{ cm}^2$$

$W_{pl,y}$, $W_{pl,z}$: Módulos resistentes plásticos correspondientes a la fibra comprimida, alrededor de los ejes Y y Z, respectivamente.

$$W_{pl,y} : 481.40 \text{ cm}^3$$

$$W_{pl,z} : 231.00 \text{ cm}^3$$

f_{yd} : Resistencia de cálculo del acero.

$$f_{yd} : 261.9 \text{ MPa}$$

$$f_{yd} = f_y / \gamma_{M1}$$

Siendo:

f_y : Límite elástico. (CTE DB SE-A, Tabla 4.1)

$$f_y : 275.0 \text{ MPa}$$

γ_{M1} : Coeficiente parcial de seguridad del material.

$$\gamma_{M1} : 1.05$$



Listados

Pórtico frontal 1

Fecha: 10/06/15

k_y, k_z : Coeficientes de interacción.

$$k_y = 1 + (\bar{\lambda}_y - 0.2) \cdot \frac{N_{c,Ed}}{\chi_y \cdot N_{c,Rd}}$$

$$k_y : \underline{1.00}$$

$$k_z = 1 + (2 \cdot \bar{\lambda}_z - 0.6) \cdot \frac{N_{c,Ed}}{\chi_z \cdot N_{c,Rd}}$$

$$k_z : \underline{1.01}$$

$C_{m,y}, C_{m,z}$: Factores de momento flector uniforme equivalente.

$$C_{m,y} : \underline{1.00}$$

$$C_{m,z} : \underline{1.00}$$

c_y, c_z : Coeficientes de reducción por pandeo, alrededor de los ejes Y y Z, respectivamente.

$$c_y : \underline{0.94}$$

$$c_z : \underline{0.77}$$

\bar{i}_y, \bar{i}_z : Esbelteces reducidas con valores no mayores que 1.00, en relación a los ejes Y y Z, respectivamente.

$$\bar{i}_y : \underline{0.38}$$

$$\bar{i}_z : \underline{0.63}$$

a_y, a_z : Factores dependientes de la clase de la sección.

$$a_y : \underline{0.60}$$

$$a_z : \underline{0.60}$$

Resistencia a flexión, axil y cortante combinados - Temperatura ambiente (CTE DB SE-A, Artículo 6.2.8)

No es necesario reducir las resistencias de cálculo a flexión y a axil, ya que se puede ignorar el efecto de abolladura por esfuerzo cortante y, además, el esfuerzo cortante solicitante de cálculo pésimo V_{Ed} es menor o igual que el 50% del esfuerzo cortante resistente de cálculo $V_{c,Rd}$.

Los esfuerzos solicitantes de cálculo pésimos se producen para la combinación de acciones $1.35 \cdot G + 1.5 \cdot V(180^\circ)H2$.

$$V_{Ed,z} \leq \frac{V_{c,Rd,z}}{2}$$

$$0.237 \leq 11.791$$

Donde:

$V_{Ed,z}$: Esfuerzo cortante solicitante de cálculo pésimo.

$$V_{Ed,z} : \underline{2.33} \text{ kN}$$

$V_{c,Rd,z}$: Esfuerzo cortante resistente de cálculo.

$$V_{c,Rd,z} : \underline{231.34} \text{ kN}$$



Listados

Pórtico frontal 1

Fecha: 10/06/15

Resistencia a torsión - Temperatura ambiente (CTE DB SE-A, Artículo 6.2.7)

Se debe satisfacer:

$$\eta = \frac{M_{T,Ed}}{M_{T,Rd}} \leq 1$$

$$h < 0.001$$



El esfuerzo solicitante de cálculo pésimo se produce para la combinación de acciones G-SX-0.3·SY.

$M_{T,Ed}$: Momento torsor solicitante de cálculo pésimo.

$M_{T,Ed}$: 0.00 kN·m

El momento torsor resistente de cálculo $M_{T,Rd}$ viene dado por:

$$M_{T,Rd} = \frac{1}{\sqrt{3}} \cdot W_T \cdot f_{yd}$$

$M_{T,Rd}$: 4.55 kN·m

Donde:

W_T : Módulo de resistencia a torsión.

W_T : 30.11 cm³

f_{yd} : Resistencia de cálculo del acero.

f_{yd} : 261.9 MPa

$$f_{yd} = f_y / \gamma_{M0}$$

Siendo:

f_y : Límite elástico. (CTE DB SE-A, Tabla 4.1)

f_y : 275.0 MPa

γ_{M0} : Coeficiente parcial de seguridad del material.

γ_{M0} : 1.05



Listados

Pórtico frontal 1

Fecha: 10/06/15

Resistencia a cortante Z y momento torsor combinados - Temperatura ambiente (CTE DB SE-A, Artículo 6.2.8)

Se debe satisfacer:

$$\eta = \frac{V_{Ed}}{V_{pl,T,Rd}} \leq 1$$

h : 0.005



Los esfuerzos solicitantes de cálculo pésimos se producen en el nudo N23, para la combinación de acciones G+sx+0.3·sy.

V_{Ed} : Esfuerzo cortante solicitante de cálculo pésimo.

V_{Ed} : 1.26 kN

$M_{T,Ed}$: Momento torsor solicitante de cálculo pésimo.

$M_{T,Ed}$: 0.00 kN·m

El esfuerzo cortante resistente de cálculo reducido $V_{pl,T,Rd}$ viene dado por:

$$V_{pl,T,Rd} = \sqrt{1 - \frac{\tau_{T,Ed}}{1.25 \cdot f_{yd} / \sqrt{3}}} \cdot V_{pl,Rd}$$

$V_{pl,T,Rd}$: 231.34 kN

Donde:

$V_{pl,Rd}$: Esfuerzo cortante resistente de cálculo.

$V_{pl,Rd}$: 231.35 kN

$\tau_{T,Ed}$: Tensiones tangenciales por torsión.

$\tau_{T,Ed}$: 0.0 MPa

$$\tau_{T,Ed} = \frac{M_{T,Ed}}{W_t}$$

Siendo:

W_T : Módulo de resistencia a torsión.

W_T : 30.11 cm³

f_{yd} : Resistencia de cálculo del acero.

f_{yd} : 261.9 MPa

$$f_{yd} = f_y / \gamma_{MO}$$

Siendo:

f_y : Límite elástico. (CTE DB SE-A, Tabla 4.1)

f_y : 275.0 MPa

γ_{MO} : Coeficiente parcial de seguridad del material.

γ_{MO} : 1.05



Listados

Pórtico frontal 1

Fecha: 10/06/15

Resistencia a cortante Y y momento torsor combinados - Temperatura ambiente (CTE DB SE-A, Artículo 6.2.8)

Se debe satisfacer:

$$\eta = \frac{V_{Ed}}{V_{pl,T,Rd}} \leq 1$$

$$h < 0.001$$



Los esfuerzos solicitantes de cálculo p^{ésimos} se producen en el nudo N21, para la combinación de acciones G+ S_X +0.3· S_Y .

V_{Ed} : Esfuerzo cortante solicitante de cálculo p^{ésimo}.

$$V_{Ed} : 0.02 \text{ kN}$$

$M_{T,Ed}$: Momento torsor solicitante de cálculo p^{ésimo}.

$$M_{T,Ed} : 0.00 \text{ kN}\cdot\text{m}$$

El esfuerzo cortante resistente de cálculo reducido $V_{pl,T,Rd}$ viene dado por:

$$V_{pl,T,Rd} = \sqrt{1 - \frac{\tau_{T,Ed}}{1.25 \cdot f_{yd} / \sqrt{3}}} \cdot V_{pl,Rd}$$

$$V_{pl,T,Rd} : 792.01 \text{ kN}$$

Donde:

$V_{pl,Rd}$: Esfuerzo cortante resistente de cálculo.

$$V_{pl,Rd} : 792.04 \text{ kN}$$

$\tau_{T,Ed}$: Tensiones tangenciales por torsión.

$$\tau_{T,Ed} : 0.0 \text{ MPa}$$

$$\tau_{T,Ed} = \frac{M_{T,Ed}}{W_t}$$

Siendo:

W_T : Módulo de resistencia a torsión.

$$W_T : 30.11 \text{ cm}^3$$

f_{yd} : Resistencia de cálculo del acero.

$$f_{yd} : 261.9 \text{ MPa}$$

$$f_{yd} = f_y / \gamma_{M0}$$

Siendo:

f_y : Límite elástico. (CTE DB SE-A, Tabla 4.1)

$$f_y : 275.0 \text{ MPa}$$

γ_{M0} : Coeficiente parcial de seguridad del material.

$$\gamma_{M0} : 1.05$$



Listados

Pórtico frontal 1

Fecha: 10/06/15

Resistencia a tracción - Situación de incendio (CTE DB SE-A, Artículo 6.2.3, y CTE DB SI, Anejo D)

Se debe satisfacer:

$$\eta = \frac{N_{t,Ed}}{N_{t,Rd}} \leq 1$$

h : 0.005



El esfuerzo solicitante de cálculo pésimo se produce para la combinación de acciones G+0.5·V(180°)H2.

$N_{t,Ed}$: Axil de tracción solicitante de cálculo pésimo.

$N_{t,Ed}$: 2.30 kN

La resistencia de cálculo a tracción $N_{t,Rd}$ viene dada por:

$$N_{t,Rd} = A \cdot f_{yd}$$

$N_{t,Rd}$: 488.98 kN

Donde:

A: Área bruta de la sección transversal de la barra.

A : 65.30 cm²

f_{yd} : Resistencia de cálculo del acero.

f_{yd} : 74.9 MPa

$$f_{yd} = f_{y,\theta} / \gamma_{M,\theta}$$

Siendo:

$f_{y,q}$: Límite elástico reducido para la temperatura que alcanza el perfil.

$f_{y,q}$: 74.9 MPa

$$f_{y,\theta} = f_y \cdot k_{y,\theta}$$

f_y : Límite elástico. (CTE DB SE-A, Tabla 4.1)

f_y : 275.0 MPa

$k_{y,q}$: Factor de reducción del límite elástico para la temperatura que alcanza el perfil.

$k_{y,q}$: 0.27

$g_{M,q}$: Coeficiente parcial de seguridad del material.

$g_{M,q}$: 1.00

Resistencia a compresión - Situación de incendio (CTE DB SE-A, Artículo 6.2.5, y CTE DB SI, Anejo D)

Se debe satisfacer:

$$\eta = \frac{N_{c,Ed}}{N_{c,Rd}} \leq 1$$

h : 0.014



$$\eta = \frac{N_{c,Ed}}{N_{b,Rd}} \leq 1$$

h : 0.021



El esfuerzo solicitante de cálculo pésimo se produce para la combinación de acciones G+0.5·V(0°)H1.

$N_{c,Ed}$: Axil de compresión solicitante de cálculo pésimo.

$N_{c,Ed}$: 6.62 kN

La resistencia de cálculo a compresión $N_{c,Rd}$ viene dada por:

$$N_{c,Rd} = A \cdot f_{yd}$$

$N_{c,Rd}$: 488.98 kN

Donde:

Clase: Clase de la sección, según la capacidad de deformación y de desarrollo de la resistencia plástica de los elementos planos comprimidos de una sección.

Clase : 1

A: Área de la sección bruta para las secciones de clase 1, 2 y 3.

A : 65.30 cm²

f_{yd} : Resistencia de cálculo del acero.

f_{yd} : 74.9 MPa



Listados

Pórtico frontal 1

Fecha: 10/06/15

$$f_{yd} = f_{y,\theta} / \gamma_{M,\theta}$$

Siendo:

$f_{y,q}$: Límite elástico reducido para la temperatura que alcanza el perfil.

$$f_{y,q} : \underline{74.9} \text{ MPa}$$

$$f_{y,\theta} = f_y \cdot k_{y,\theta}$$

f_y : Límite elástico. (CTE DB SE-A, Tabla 4.1)

$$f_y : \underline{275.0} \text{ MPa}$$

$k_{y,q}$: Factor de reducción del límite elástico para la temperatura que alcanza el perfil.

$$k_{y,q} : \underline{0.27}$$

$g_{M,q}$: Coeficiente parcial de seguridad del material.

$$g_{M,q} : \underline{1.00}$$

Resistencia a pandeo: (CTE DB SE-A, Artículo 6.3.2)

La resistencia de cálculo a pandeo $N_{b,Rd}$ en una barra comprimida viene dada por:

$$N_{b,Rd} = \chi \cdot A \cdot f_{yd}$$

$$N_{b,Rd} : \underline{315.43} \text{ kN}$$

Donde:

A: Área de la sección bruta para las secciones de clase 1, 2 y 3.

$$A : \underline{65.30} \text{ cm}^2$$

f_{yd} : Resistencia de cálculo del acero.

$$f_{yd} : \underline{74.9} \text{ MPa}$$

$$f_{yd} = f_{y,\theta} / \gamma_{M,\theta}$$

Siendo:

$f_{y,q}$: Límite elástico reducido para la temperatura que alcanza el perfil.

$$f_{y,q} : \underline{74.9} \text{ MPa}$$

$$f_{y,\theta} = f_y \cdot k_{y,\theta}$$

f_y : Límite elástico. (CTE DB SE-A, Tabla 4.1)

$$f_y : \underline{275.0} \text{ MPa}$$

$k_{y,q}$: Factor de reducción del límite elástico para la temperatura que alcanza el perfil.

$$k_{y,q} : \underline{0.27}$$

$g_{M,q}$: Coeficiente parcial de seguridad del material.

$$g_{M,q} : \underline{1.00}$$

c: Coeficiente de reducción por pandeo.

$$\chi = \frac{1}{\Phi + \sqrt{\Phi^2 - (\bar{\lambda})^2}} \leq 1$$

$$c_y : \underline{0.85}$$

$$c_z : \underline{0.65}$$

Siendo:

$$\Phi = 0.5 \cdot \left[1 + \alpha \cdot (\bar{\lambda} - 0.2) + (\bar{\lambda})^2 \right]$$

$$f_y : \underline{0.69}$$

$$f_z : \underline{1.00}$$

a: Coeficiente de imperfección elástica.

$$a_y : \underline{0.49}$$

$$a_z : \underline{0.49}$$

$\bar{\lambda}$: Esbeltez reducida.

$$\bar{\lambda} = k_{\lambda,\theta} \cdot \sqrt{\frac{A \cdot f_y}{N_{cr}}}$$

$$\bar{\lambda}_y : \underline{0.49}$$

$$\bar{\lambda}_z : \underline{0.83}$$

$k_{\lambda,q}$: Factor de incremento de la esbeltez reducida para la temperatura que alcanza el perfil.

$$k_{\lambda,q} : \underline{1.31}$$

N_{cr} : Axil crítico elástico de pandeo, obtenido como el menor de los siguientes valores:

$$N_{cr} : \underline{4519.96} \text{ kN}$$

$N_{cr,y}$: Axil crítico elástico de pandeo por flexión respecto al eje Y.

$$N_{cr,y} : \underline{12704.31} \text{ kN}$$

$N_{cr,z}$: Axil crítico elástico de pandeo por flexión respecto al eje Z.

$$N_{cr,z} : \underline{4519.96} \text{ kN}$$



Listados

Pórtico frontal 1

Fecha: 10/06/15

$N_{cr,T}$: Axil crítico elástico de pandeo por torsión.

$N_{cr,T}$: ∞

Resistencia a flexión eje Y - Situación de incendio (CTE DB SE-A, Artículo 6.2.6, y CTE DB SI, Anejo D)

Se debe satisfacer:

$$\eta = \frac{M_{Ed}}{M_{c,Rd}} \leq 1$$

η : 0.046

Para flexión positiva:

M_{Ed}^+ : Momento flector solicitante de cálculo pésimo.

M_{Ed}^+ : 0.00 kN·m

Para flexión negativa:

El esfuerzo solicitante de cálculo pésimo se produce en el nudo N23, para la combinación de acciones G+0.5·V(0°)H1.

M_{Ed}^- : Momento flector solicitante de cálculo pésimo.

M_{Ed}^- : 1.65 kN·m

El momento flector resistente de cálculo $M_{c,Rd}$ viene dado por:

$$M_{c,Rd} = W_{pl,y} \cdot f_{yd}$$

$M_{c,Rd}$: 36.05 kN·m

Donde:

Clase: Clase de la sección, según la capacidad de deformación y de desarrollo de la resistencia plástica de los elementos planos de una sección a flexión simple.

Clase : 1

$W_{pl,y}$: Módulo resistente plástico correspondiente a la fibra con mayor tensión, para las secciones de clase 1 y 2.

$W_{pl,y}$: 481.40 cm³

f_{yd} : Resistencia de cálculo del acero.

f_{yd} : 74.9 MPa

$$f_{yd} = f_{y,\theta} / \gamma_{M,\theta}$$

Siendo:

$f_{y,q}$: Límite elástico reducido para la temperatura que alcanza el perfil.

$f_{y,q}$: 74.9 MPa

$$f_{y,\theta} = f_y \cdot k_{y,\theta}$$

f_y : Límite elástico. (CTE DB SE-A, Tabla 4.1)

f_y : 275.0 MPa

$k_{y,q}$: Factor de reducción del límite elástico para la temperatura que alcanza el perfil.

$k_{y,q}$: 0.27

$\gamma_{M,q}$: Coeficiente parcial de seguridad del material.

$\gamma_{M,q}$: 1.00

Resistencia a pandeo lateral: (CTE DB SE-A, Artículo 6.3.3.2)

No procede, dado que las longitudes de pandeo lateral son nulas.

Resistencia a flexión eje Z - Situación de incendio (CTE DB SE-A, Artículo 6.2.6, y CTE DB SI, Anejo D)

La comprobación no procede, ya que no hay momento flector.



Listados

Pórtico frontal 1

Fecha: 10/06/15

Resistencia a corte Z - Situación de incendio (CTE DB SE-A, Artículo 6.2.4, y CTE DB SI, Anejo D)

Se debe satisfacer:

$$\eta = \frac{V_{Ed}}{V_{c,Rd}} \leq 1$$

h : 0.023



El esfuerzo solicitante de cálculo pésimo se produce en el nudo N23, para la combinación de acciones G+0.5·V(0°)H1.

V_{Ed} : Esfuerzo cortante solicitante de cálculo pésimo.

V_{Ed} : 1.51 kN

El esfuerzo cortante resistente de cálculo $V_{c,Rd}$ viene dado por:

$$V_{c,Rd} = A_v \cdot \frac{f_{yd}}{\sqrt{3}}$$

$V_{c,Rd}$: 66.15 kN

Donde:

A_v : Área transversal a cortante.

A_v : 15.30 cm²

$$A_v = h \cdot t_w$$

Siendo:

h: Canto de la sección.

h : 180.00 mm

t_w : Espesor del alma.

t_w : 8.50 mm

f_{yd} : Resistencia de cálculo del acero.

f_{yd} : 74.9 MPa

$$f_{yd} = f_{y,0} / \gamma_{M,0}$$

Siendo:

$f_{y,q}$: Límite elástico reducido para la temperatura que alcanza el perfil.

$f_{y,q}$: 74.9 MPa

$$f_{y,0} = f_y \cdot k_{y,0}$$

f_y : Límite elástico. (CTE DB SE-A, Tabla 4.1)

f_y : 275.0 MPa

$k_{y,q}$: Factor de reducción del límite elástico para la temperatura que alcanza el perfil.

$k_{y,q}$: 0.27

$g_{M,q}$: Coeficiente parcial de seguridad del material.

$g_{M,q}$: 1.00

Abolladura por cortante del alma: (CTE DB SE-A, Artículo 6.3.3.4)

Aunque no se han dispuesto rigidizadores transversales, no es necesario comprobar la resistencia a la abolladura del alma, puesto que se cumple:

$$\frac{d}{t_w} < 70 \cdot \varepsilon$$

17.88 < 64.71

Donde:

l_w : Esbeltez del alma.

l_w : 17.88

$$\lambda_w = \frac{d}{t_w}$$

l_{max} : Esbeltez máxima.

l_{max} : 64.71

$$\lambda_{max} = 70 \cdot \varepsilon$$

e: Factor de reducción.

e : 0.92

$$\varepsilon = \sqrt{\frac{f_{ref}}{f_y}}$$

Siendo:

f_{ref} : Límite elástico de referencia.

f_{ref} : 235.0 MPa



Listados

Pórtico frontal 1

Fecha: 10/06/15

f_y : Límite elástico. (CTE DB SE-A, Tabla 4.1)

f_y : 275.0 MPa

Resistencia a corte Y - Situación de incendio (CTE DB SE-A, Artículo 6.2.4, y CTE DB SI, Anejo D)

La comprobación no procede, ya que no hay esfuerzo cortante.

Resistencia a momento flector Y y fuerza cortante Z combinados - Situación de incendio (CTE DB SE-A, Artículo 6.2.8, y CTE DB SI, Anejo D)

No es necesario reducir la resistencia de cálculo a flexión, ya que el esfuerzo cortante solicitante de cálculo pésimo V_{Ed} no es superior al 50% de la resistencia de cálculo a cortante $V_{c,Rd}$.

$$V_{Ed} \leq \frac{V_{c,Rd}}{2}$$

$$0.149 \leq 3.371$$

Los esfuerzos solicitantes de cálculo pésimos se producen para la combinación de acciones $G+0.5 \cdot V(180^\circ)H2$.

V_{Ed} : Esfuerzo cortante solicitante de cálculo pésimo.

V_{Ed} : 1.46 kN

$V_{c,Rd}$: Esfuerzo cortante resistente de cálculo.

$V_{c,Rd}$: 66.15 kN

Resistencia a momento flector Z y fuerza cortante Y combinados - Situación de incendio (CTE DB SE-A, Artículo 6.2.8, y CTE DB SI, Anejo D)

No hay interacción entre momento flector y esfuerzo cortante para ninguna combinación. Por lo tanto, la comprobación no procede.

Resistencia a flexión y axil combinados - Situación de incendio (CTE DB SE-A, Artículo 6.2.8, y CTE DB SI, Anejo D)

Se debe satisfacer:

$$\eta = \frac{N_{c,Ed}}{N_{pl,Rd}} + \frac{M_{y,Ed}}{M_{pl,Rd,y}} + \frac{M_{z,Ed}}{M_{pl,Rd,z}} \leq 1$$

$$h : \underline{0.059}$$



$$\eta = \frac{N_{c,Ed}}{\chi_y \cdot A \cdot f_{yd}} + k_y \cdot \frac{c_{m,y} \cdot M_{y,Ed}}{\chi_{LT} \cdot W_{pl,y} \cdot f_{yd}} + \alpha_z \cdot k_z \cdot \frac{c_{m,z} \cdot M_{z,Ed}}{W_{pl,z} \cdot f_{yd}} \leq 1$$

$$h : \underline{0.062}$$



$$\eta = \frac{N_{c,Ed}}{\chi_z \cdot A \cdot f_{yd}} + \alpha_y \cdot k_y \cdot \frac{c_{m,y} \cdot M_{y,Ed}}{W_{pl,y} \cdot f_{yd}} + k_z \cdot \frac{c_{m,z} \cdot M_{z,Ed}}{W_{pl,z} \cdot f_{yd}} \leq 1$$

$$h : \underline{0.049}$$



Los esfuerzos solicitantes de cálculo pésimos se producen en el nudo N23, para la combinación de acciones $G+0.5 \cdot V(0^\circ)H1$.

Donde:

$N_{c,Ed}$: Axil de compresión solicitante de cálculo pésimo.

$N_{c,Ed}$: 6.62 kN

$M_{y,Ed}$, $M_{z,Ed}$: Momentos flectores solicitantes de cálculo pésimos, según los ejes Y y Z, respectivamente.

$M_{y,Ed}$: 1.65 kN·m

$M_{z,Ed}$: 0.00 kN·m

Clase: Clase de la sección, según la capacidad de deformación y de desarrollo de la resistencia plástica de sus elementos planos, para axil y flexión simple.

Clase : 1

$N_{pl,Rd}$: Resistencia a compresión de la sección bruta.

$N_{pl,Rd}$: 488.98 kN



Listados

Pórtico frontal 1

Fecha: 10/06/15

$M_{pl,Rd,y}$, $M_{pl,Rd,z}$: Resistencia a flexión de la sección bruta en condiciones plásticas, respecto a los ejes Y y Z, respectivamente.

$$\begin{aligned} M_{pl,Rd,y} &: \underline{36.05} \text{ kN}\cdot\text{m} \\ M_{pl,Rd,z} &: \underline{17.30} \text{ kN}\cdot\text{m} \end{aligned}$$

Resistencia a pandeo: (CTE DB SE-A, Artículo 6.3.4.2)

A: Área de la sección bruta.

$$A : \underline{65.30} \text{ cm}^2$$

$W_{pl,y}$, $W_{pl,z}$: Módulos resistentes plásticos correspondientes a la fibra comprimida, alrededor de los ejes Y y Z, respectivamente.

$$\begin{aligned} W_{pl,y} &: \underline{481.40} \text{ cm}^3 \\ W_{pl,z} &: \underline{231.00} \text{ cm}^3 \end{aligned}$$

f_{yd} : Resistencia de cálculo del acero.

$$f_{yd} : \underline{74.9} \text{ MPa}$$

$$f_{yd} = f_{y,0} / \gamma_{M,0}$$

Siendo:

$f_{y,q}$: Límite elástico reducido para la temperatura que alcanza el perfil.

$$f_{y,q} : \underline{74.9} \text{ MPa}$$

$$f_{y,0} = f_y \cdot k_{y,0}$$

f_y : Límite elástico. (CTE DB SE-A, Tabla 4.1)

$$f_y : \underline{275.0} \text{ MPa}$$

$k_{y,q}$: Factor de reducción del límite elástico para la temperatura que alcanza el perfil.

$$k_{y,q} : \underline{0.27}$$

$g_{M,q}$: Coeficiente parcial de seguridad del material.

$$g_{M,q} : \underline{1.00}$$

k_y , k_z : Coeficientes de interacción.

$$k_y = 1 + (\bar{\lambda}_y - 0.2) \cdot \frac{N_{c,Ed}}{\chi_y \cdot N_{c,Rd}}$$

$$k_y : \underline{1.00}$$

$$k_z = 1 + (2 \cdot \bar{\lambda}_z - 0.6) \cdot \frac{N_{c,Ed}}{\chi_z \cdot N_{c,Rd}}$$

$$k_z : \underline{1.02}$$

$C_{m,y}$, $C_{m,z}$: Factores de momento flector uniforme equivalente.

$$C_{m,y} : \underline{1.00}$$

$$C_{m,z} : \underline{1.00}$$

c_y , c_z : Coeficientes de reducción por pandeo, alrededor de los ejes Y y Z, respectivamente.

$$c_y : \underline{0.85}$$

$$c_z : \underline{0.65}$$

$\bar{\lambda}_y$, $\bar{\lambda}_z$: Esbelteces reducidas con valores no mayores que 1.00, en relación a los ejes Y y Z, respectivamente.

$$\bar{\lambda}_y : \underline{0.49}$$

$$\bar{\lambda}_z : \underline{0.83}$$

a_y , a_z : Factores dependientes de la clase de la sección.

$$a_y : \underline{0.60}$$

$$a_z : \underline{0.60}$$

Resistencia a flexión, axil y cortante combinados - Situación de incendio (CTE DB SE-A, Artículo 6.2.8, y CTE DB SI, Anejo D)

No es necesario reducir las resistencias de cálculo a flexión y a axil, ya que se puede ignorar el efecto de abolladura por esfuerzo cortante y, además, el esfuerzo cortante solicitante de cálculo pésimo V_{Ed} es menor o igual que el 50% del esfuerzo cortante resistente de cálculo $V_{c,Rd}$.

Los esfuerzos solicitantes de cálculo pésimos se producen para la combinación de acciones $G+0.5 \cdot V(180^\circ)H2$.

$$V_{Ed,z} \leq \frac{V_{c,Rd,z}}{2}$$

$$0.149 \leq 3.371$$

Donde:

$V_{Ed,z}$: Esfuerzo cortante solicitante de cálculo pésimo.

$$V_{Ed,z} : \underline{1.46} \text{ kN}$$

$V_{c,Rd,z}$: Esfuerzo cortante resistente de cálculo.

$$V_{c,Rd,z} : \underline{66.15} \text{ kN}$$



Resistencia a torsión - Situación de incendio (CTE DB SE-A, Artículo 6.2.7, y CTE DB SI, Anejo D)

La comprobación no procede, ya que no hay momento torsor.

Resistencia a cortante Z y momento torsor combinados - Situación de incendio (CTE DB SE-A, Artículo 6.2.8, y CTE DB SI, Anejo D)

No hay interacción entre momento torsor y esfuerzo cortante para ninguna combinación. Por lo tanto, la comprobación no procede.

Resistencia a cortante Y y momento torsor combinados - Situación de incendio (CTE DB SE-A, Artículo 6.2.8, y CTE DB SI, Anejo D)

No hay interacción entre momento torsor y esfuerzo cortante para ninguna combinación. Por lo tanto, la comprobación no procede.



Listados

Pórtico frontal 1

Fecha: 10/06/15

Barra N30/N22

Perfil: HE 180 B

Material: Acero (S275)

Nudos		Longitud (m)	Características mecánicas			
Inicial	Final		Área (cm ²)	I _y ⁽¹⁾ (cm ⁴)	I _z ⁽¹⁾ (cm ⁴)	I _t ⁽²⁾ (cm ⁴)
N30	N22	4.620	65.30	3831.00	1363.00	42.16
Notas: ⁽¹⁾ Inercia respecto al eje indicado ⁽²⁾ Momento de inercia a torsión uniforme						
	Pandeo		Pandeo lateral			
	Plano XY	Plano XZ	Ala sup.	Ala inf.		
β	0.50	0.50	0.00	0.00		
L _k	2.310	2.310	0.000	0.000		
C _m	1.000	1.000	1.000	1.000		
C ₁	-		1.000			
Notación: b: Coeficiente de pandeo L _k : Longitud de pandeo (m) C _m : Coeficiente de momentos C ₁ : Factor de modificación para el momento crítico						
Situación de incendio						
Resistencia requerida: R 90 Factor de forma: 167.88 m-1 Temperatura máx. de la barra: 682.5 °C Pintura intumescente: 1.4 mm						



Listados

Pórtico frontal 1

Fecha: 10/06/15

Limitación de esbeltez - Temperatura ambiente (CTE DB SE-A, Artículos 6.3.1 y 6.3.2.1 - Tabla 6.3)

La esbeltez reducida $\bar{\lambda}$ de las barras comprimidas debe ser inferior al valor 2.0.

$$\bar{\lambda} = \sqrt{\frac{A \cdot f_y}{N_{cr}}}$$

$\bar{\lambda}$: 0.58



Donde:

Clase: Clase de la sección, según la capacidad de deformación y de desarrollo de la resistencia plástica de los elementos planos comprimidos de una sección.

Clase : 1

A: Área de la sección bruta para las secciones de clase 1, 2 y 3.

A : 65.30 cm²

f_y : Límite elástico. (CTE DB SE-A, Tabla 4.1)

f_y : 275.0 MPa

N_{cr} : Axil crítico de pandeo elástico.

N_{cr} : 5294.09 kN

El axil crítico de pandeo elástico N_{cr} es el menor de los valores obtenidos en a), b) y c):

a) Axil crítico elástico de pandeo por flexión respecto al eje Y.

$N_{cr,y}$: 14880.15 kN

$$N_{cr,y} = \frac{\pi^2 \cdot E \cdot I_y}{L_{ky}^2}$$

b) Axil crítico elástico de pandeo por flexión respecto al eje Z.

$N_{cr,z}$: 5294.09 kN

$$N_{cr,z} = \frac{\pi^2 \cdot E \cdot I_z}{L_{kz}^2}$$

c) Axil crítico elástico de pandeo por torsión.

$N_{cr,T}$: ∞

$$N_{cr,T} = \frac{1}{i_0^2} \cdot \left[G \cdot I_t + \frac{\pi^2 \cdot E \cdot I_w}{L_{kt}^2} \right]$$

Donde:

I_y : Momento de inercia de la sección bruta, respecto al eje Y.

I_y : 3831.00 cm⁴

I_z : Momento de inercia de la sección bruta, respecto al eje Z.

I_z : 1363.00 cm⁴

I_t : Momento de inercia a torsión uniforme.

I_t : 42.16 cm⁴

I_w : Constante de alabeo de la sección.

I_w : 93750.00 cm⁶

E: Módulo de elasticidad.

E : 210000 MPa

G: Módulo de elasticidad transversal.

G : 81000 MPa

L_{ky} : Longitud efectiva de pandeo por flexión, respecto al eje Y.

L_{ky} : 2.310 m

L_{kz} : Longitud efectiva de pandeo por flexión, respecto al eje Z.

L_{kz} : 2.310 m

L_{kt} : Longitud efectiva de pandeo por torsión.

L_{kt} : 0.000 m

i_0 : Radio de giro polar de la sección bruta, respecto al centro de torsión.

i_0 : 8.92 cm

$$i_0 = (i_y^2 + i_z^2 + y_0^2 + z_0^2)^{0.5}$$

Siendo:

i_y , i_z : Radios de giro de la sección bruta, respecto a los ejes principales de inercia Y y Z.

i_y : 7.66 cm

i_z : 4.57 cm



Listados

Pórtico frontal 1

Fecha: 10/06/15

y_o , z_o : Coordenadas del centro de torsión en la dirección de los ejes principales Y y Z, respectivamente, relativas al centro de gravedad de la sección.

y_o : 0.00 mm

z_o : 0.00 mm

Abolladura del alma inducida por el ala comprimida - Temperatura ambiente (Criterio de CYPE Ingenieros, basado en: Eurocódigo 3 EN 1993-1-5: 2006, Artículo 8)

Se debe satisfacer:

$$\frac{h_w}{t_w} \leq k \frac{E}{f_{yf}} \sqrt{\frac{A_w}{A_{fc,ef}}}$$

17.88 ≤ 164.04



Donde:

h_w : Altura del alma.

h_w : 152.00 mm

t_w : Espesor del alma.

t_w : 8.50 mm

A_w : Área del alma.

A_w : 12.92 cm²

$A_{fc,ef}$: Área reducida del ala comprimida.

$A_{fc,ef}$: 25.20 cm²

k: Coeficiente que depende de la clase de la sección.

k : 0.30

E: Módulo de elasticidad.

E : 210000 MPa

f_{yf} : Límite elástico del acero del ala comprimida.

f_{yf} : 275.0 MPa

Siendo:

$$f_{yf} = f_y$$

Resistencia a tracción - Temperatura ambiente (CTE DB SE-A, Artículo 6.2.3)

Se debe satisfacer:

$$\eta = \frac{N_{t,Ed}}{N_{t,Rd}} \leq 1$$

η : 0.004



El esfuerzo solicitante de cálculo pésimo se produce para la combinación de acciones 1.35·G+1.5·V(0°)H1.

$N_{t,Ed}$: Axil de tracción solicitante de cálculo pésimo.

$N_{t,Ed}$: 6.58 kN

La resistencia de cálculo a tracción $N_{t,Rd}$ viene dada por:

$$N_{t,Rd} = A \cdot f_{yd}$$

$N_{t,Rd}$: 1710.24 kN

Donde:

A: Área bruta de la sección transversal de la barra.

A : 65.30 cm²

f_{yd} : Resistencia de cálculo del acero.

f_{yd} : 261.9 MPa

$$f_{yd} = f_y / \gamma_{M0}$$

Siendo:

f_y : Límite elástico. (CTE DB SE-A, Tabla 4.1)

f_y : 275.0 MPa

γ_{M0} : Coeficiente parcial de seguridad del material.

γ_{M0} : 1.05



Listados

Pórtico frontal 1

Fecha: 10/06/15

Resistencia a compresión - Temperatura ambiente (CTE DB SE-A, Artículo 6.2.5)

Se debe satisfacer:

$$\eta = \frac{N_{c,Ed}}{N_{c,Rd}} \leq 1$$

h : 0.012



$$\eta = \frac{N_{c,Ed}}{N_{b,Rd}} \leq 1$$

h : 0.015



El esfuerzo solicitante de cálculo pésimo se produce para la combinación de acciones 0.8·G+1.5·V(180°)H2.

$N_{c,Ed}$: Axil de compresión solicitante de cálculo pésimo.

$N_{c,Ed}$: 20.53 kN

La resistencia de cálculo a compresión $N_{c,Rd}$ viene dada por:

$$N_{c,Rd} = A \cdot f_{yd}$$

$N_{c,Rd}$: 1710.24 kN

Donde:

Clase: Clase de la sección, según la capacidad de deformación y de desarrollo de la resistencia plástica de los elementos planos comprimidos de una sección.

Clase : 1

A: Área de la sección bruta para las secciones de clase 1, 2 y 3.

A : 65.30 cm²

f_{yd} : Resistencia de cálculo del acero.

f_{yd} : 261.9 MPa

$$f_{yd} = f_y / \gamma_{M0}$$

Siendo:

f_y : Límite elástico. (CTE DB SE-A, Tabla 4.1)

f_y : 275.0 MPa

γ_{M0} : Coeficiente parcial de seguridad del material.

γ_{M0} : 1.05

Resistencia a pandeo: (CTE DB SE-A, Artículo 6.3.2)

La resistencia de cálculo a pandeo $N_{b,Rd}$ en una barra comprimida viene dada por:

$$N_{b,Rd} = \chi \cdot A \cdot f_{yd}$$

$N_{b,Rd}$: 1360.94 kN

Donde:

A: Área de la sección bruta para las secciones de clase 1, 2 y 3.

A : 65.30 cm²

f_{yd} : Resistencia de cálculo del acero.

f_{yd} : 261.9 MPa

$$f_{yd} = f_y / \gamma_{M1}$$

Siendo:

f_y : Límite elástico. (CTE DB SE-A, Tabla 4.1)

f_y : 275.0 MPa

γ_{M1} : Coeficiente parcial de seguridad del material.

γ_{M1} : 1.05

c: Coeficiente de reducción por pandeo.

$$\chi = \frac{1}{\Phi + \sqrt{\Phi^2 - (\bar{\lambda})^2}} \leq 1$$

c_y : 0.95

c_z : 0.80

Siendo:

$$\Phi = 0.5 \cdot \left[1 + \alpha \cdot (\bar{\lambda} - 0.2) + (\bar{\lambda})^2 \right]$$

f_y : 0.59

f_z : 0.76

a: Coeficiente de imperfección elástica.

a_y : 0.34

a_z : 0.49

$\bar{\lambda}$: Esbeltez reducida.



Listados

Pórtico frontal 1

Fecha: 10/06/15

$$\bar{\lambda} = \sqrt{\frac{A \cdot f_y}{N_{cr}}}$$

N_{cr} : Axil crítico elástico de pandeo, obtenido como el menor de los siguientes valores:

$N_{cr,y}$: Axil crítico elástico de pandeo por flexión respecto al eje Y.

$N_{cr,z}$: Axil crítico elástico de pandeo por flexión respecto al eje Z.

$N_{cr,T}$: Axil crítico elástico de pandeo por torsión.

$$\bar{\lambda}_y : 0.35$$

$$\bar{\lambda}_z : 0.58$$

$$N_{cr} : 5294.09 \text{ kN}$$

$$N_{cr,y} : 14880.15 \text{ kN}$$

$$N_{cr,z} : 5294.09 \text{ kN}$$

$$N_{cr,T} : \infty$$

Resistencia a flexión eje Y - Temperatura ambiente (CTE DB SE-A, Artículo 6.2.6)

Se debe satisfacer:

$$\eta = \frac{M_{Ed}}{M_{c,Rd}} \leq 1$$

$$h : 0.025$$



Para flexión positiva:

El esfuerzo solicitante de cálculo pésimo se produce en el nudo N30, para la combinación de acciones 0.8·G+1.5·V(0°)H1.

M_{Ed}^+ : Momento flector solicitante de cálculo pésimo.

$$M_{Ed}^+ : 0.96 \text{ kN}\cdot\text{m}$$

Para flexión negativa:

El esfuerzo solicitante de cálculo pésimo se produce en el nudo N30, para la combinación de acciones 1.35·G+1.5·V(180°)H2.

M_{Ed}^- : Momento flector solicitante de cálculo pésimo.

$$M_{Ed}^- : 3.13 \text{ kN}\cdot\text{m}$$

El momento flector resistente de cálculo $M_{c,Rd}$ viene dado por:

$$M_{c,Rd} = W_{pl,y} \cdot f_{yd}$$

$$M_{c,Rd} : 126.08 \text{ kN}\cdot\text{m}$$

Donde:

Clase: Clase de la sección, según la capacidad de deformación y de desarrollo de la resistencia plástica de los elementos planos de una sección a flexión simple.

$$\text{Clase} : 1$$

$W_{pl,y}$: Módulo resistente plástico correspondiente a la fibra con mayor tensión, para las secciones de clase 1 y 2.

$$W_{pl,y} : 481.40 \text{ cm}^3$$

f_{yd} : Resistencia de cálculo del acero.

$$f_{yd} : 261.9 \text{ MPa}$$

$$f_{yd} = f_y / \gamma_{M0}$$

Siendo:

f_y : Límite elástico. (CTE DB SE-A, Tabla 4.1)

$$f_y : 275.0 \text{ MPa}$$

γ_{M0} : Coeficiente parcial de seguridad del material.

$$\gamma_{M0} : 1.05$$

Resistencia a pandeo lateral: (CTE DB SE-A, Artículo 6.3.3.2)

No procede, dado que las longitudes de pandeo lateral son nulas.



Listados

Pórtico frontal 1

Fecha: 10/06/15

Resistencia a flexión eje Z - Temperatura ambiente (CTE DB SE-A, Artículo 6.2.6)

Se debe satisfacer:

$$\eta = \frac{M_{Ed}}{M_{c,Rd}} \leq 1$$

h : 0.001



Para flexión positiva:

El esfuerzo solicitante de cálculo pésimo se produce en el nudo N22, para la combinación de acciones G-SX-0.3·SY.

M_{Ed}^+ : Momento flector solicitante de cálculo pésimo.

M_{Ed}^+ : 0.04 kN·m

Para flexión negativa:

El esfuerzo solicitante de cálculo pésimo se produce en el nudo N22, para la combinación de acciones G+SX-0.3·SY.

M_{Ed}^- : Momento flector solicitante de cálculo pésimo.

M_{Ed}^- : 0.04 kN·m

El momento flector resistente de cálculo $M_{c,Rd}$ viene dado por:

$$M_{c,Rd} = W_{pl,z} \cdot f_{yd}$$

$M_{c,Rd}$: 60.50 kN·m

Donde:

Clase: Clase de la sección, según la capacidad de deformación y de desarrollo de la resistencia plástica de los elementos planos de una sección a flexión simple.

Clase : 1

$W_{pl,z}$: Módulo resistente plástico correspondiente a la fibra con mayor tensión, para las secciones de clase 1 y 2.

$W_{pl,z}$: 231.00 cm³

f_{yd} : Resistencia de cálculo del acero.

f_{yd} : 261.9 MPa

$$f_{yd} = f_y / \gamma_{M0}$$

Siendo:

f_y : Límite elástico. (CTE DB SE-A, Tabla 4.1)

f_y : 275.0 MPa

γ_{M0} : Coeficiente parcial de seguridad del material.

γ_{M0} : 1.05

Resistencia a corte Z - Temperatura ambiente (CTE DB SE-A, Artículo 6.2.4)

Se debe satisfacer:

$$\eta = \frac{V_{Ed}}{V_{c,Rd}} \leq 1$$

$$h : \underline{0.010}$$



El esfuerzo solicitante de cálculo pésimo se produce en el nudo N30, para la combinación de acciones 1.35·G+1.5·V(180°)H2.

V_{Ed} : Esfuerzo cortante solicitante de cálculo pésimo.

$$V_{Ed} : \underline{2.42} \text{ kN}$$

El esfuerzo cortante resistente de cálculo $V_{c,Rd}$ viene dado por:

$$V_{c,Rd} = A_v \cdot \frac{f_{yd}}{\sqrt{3}}$$

$$V_{c,Rd} : \underline{231.35} \text{ kN}$$

Donde:

A_v : Área transversal a cortante.

$$A_v : \underline{15.30} \text{ cm}^2$$

$$A_v = h \cdot t_w$$

Siendo:

h: Canto de la sección.

$$h : \underline{180.00} \text{ mm}$$

t_w : Espesor del alma.

$$t_w : \underline{8.50} \text{ mm}$$

f_{yd} : Resistencia de cálculo del acero.

$$f_{yd} : \underline{261.9} \text{ MPa}$$

$$f_{yd} = f_y / \gamma_{M0}$$

Siendo:

f_y : Límite elástico. (CTE DB SE-A, Tabla 4.1)

$$f_y : \underline{275.0} \text{ MPa}$$

γ_{M0} : Coeficiente parcial de seguridad del material.

$$\gamma_{M0} : \underline{1.05}$$

Abolladura por cortante del alma: (CTE DB SE-A, Artículo 6.3.3.4)

Aunque no se han dispuesto rigidizadores transversales, no es necesario comprobar la resistencia a la abolladura del alma, puesto que se cumple:

$$\frac{d}{t_w} < 70 \cdot \varepsilon$$

$$17.88 < 64.71$$

Donde:

l_w : Esbeltez del alma.

$$l_w : \underline{17.88}$$

$$\lambda_w = \frac{d}{t_w}$$

l_{\max} : Esbeltez máxima.

$$l_{\max} : \underline{64.71}$$

$$\lambda_{\max} = 70 \cdot \varepsilon$$

e: Factor de reducción.

$$e : \underline{0.92}$$

$$\varepsilon = \sqrt{\frac{f_{ref}}{f_y}}$$

Siendo:

f_{ref} : Límite elástico de referencia.

$$f_{ref} : \underline{235.0} \text{ MPa}$$

f_y : Límite elástico. (CTE DB SE-A, Tabla 4.1)

$$f_y : \underline{275.0} \text{ MPa}$$



Listados

Pórtico frontal 1

Fecha: 10/06/15

Resistencia a corte Y - Temperatura ambiente (CTE DB SE-A, Artículo 6.2.4)

Se debe satisfacer:

$$\eta = \frac{V_{Ed}}{V_{c,Rd}} \leq 1$$

$$h < 0.001$$



El esfuerzo solicitante de cálculo pésimo se produce para la combinación de acciones G-SX-0.3·SY.

V_{Ed} : Esfuerzo cortante solicitante de cálculo pésimo.

$$V_{Ed} : 0.02 \text{ kN}$$

El esfuerzo cortante resistente de cálculo $V_{c,Rd}$ viene dado por:

$$V_{c,Rd} = A_v \cdot \frac{f_{yd}}{\sqrt{3}}$$

$$V_{c,Rd} : 792.04 \text{ kN}$$

Donde:

A_v : Área transversal a cortante.

$$A_v : 52.38 \text{ cm}^2$$

$$A_v = A - d \cdot t_w$$

Siendo:

A: Área de la sección bruta.

$$A : 65.30 \text{ cm}^2$$

d: Altura del alma.

$$d : 152.00 \text{ mm}$$

t_w : Espesor del alma.

$$t_w : 8.50 \text{ mm}$$

f_{yd} : Resistencia de cálculo del acero.

$$f_{yd} : 261.9 \text{ MPa}$$

$$f_{yd} = f_y / \gamma_{M0}$$

Siendo:

f_y : Límite elástico. (CTE DB SE-A, Tabla 4.1)

$$f_y : 275.0 \text{ MPa}$$

γ_{M0} : Coeficiente parcial de seguridad del material.

$$\gamma_{M0} : 1.05$$

Resistencia a momento flector Y y fuerza cortante Z combinados - Temperatura ambiente (CTE DB SE-A, Artículo 6.2.8)

No es necesario reducir la resistencia de cálculo a flexión, ya que el esfuerzo cortante solicitante de cálculo pésimo V_{Ed} no es superior al 50% de la resistencia de cálculo a cortante $V_{c,Rd}$.

$$V_{Ed} \leq \frac{V_{c,Rd}}{2}$$

$$0.247 \leq 11.792$$

Los esfuerzos solicitantes de cálculo pésimos se producen para la combinación de acciones 1.35·G+1.5·V(180°)H2.

V_{Ed} : Esfuerzo cortante solicitante de cálculo pésimo.

$$V_{Ed} : 2.42 \text{ kN}$$

$V_{c,Rd}$: Esfuerzo cortante resistente de cálculo.

$$V_{c,Rd} : 231.35 \text{ kN}$$



Listados

Pórtico frontal 1

Fecha: 10/06/15

Resistencia a momento flector Z y fuerza cortante Y combinados - Temperatura ambiente (CTE DB SE-A, Artículo 6.2.8)

No es necesario reducir la resistencia de cálculo a flexión, ya que el esfuerzo cortante solicitante de cálculo pésimo V_{Ed} no es superior al 50% de la resistencia de cálculo a cortante $V_{c,Rd}$.

$$V_{Ed} \leq \frac{V_{c,Rd}}{2}$$

$$0.002 \leq 40.369$$

Los esfuerzos solicitantes de cálculo pésimos se producen para la combinación de acciones G-SX-0.3·SY.

V_{Ed} : Esfuerzo cortante solicitante de cálculo pésimo.

$$V_{Ed} : \underline{0.02} \text{ kN}$$

$V_{c,Rd}$: Esfuerzo cortante resistente de cálculo.

$$V_{c,Rd} : \underline{792.04} \text{ kN}$$

Resistencia a flexión y axil combinados - Temperatura ambiente (CTE DB SE-A, Artículo 6.2.8)

Se debe satisfacer:

$$\eta = \frac{N_{c,Ed}}{N_{pl,Rd}} + \frac{M_{y,Ed}}{M_{pl,Rd,y}} + \frac{M_{z,Ed}}{M_{pl,Rd,z}} \leq 1$$

$$h : \underline{0.037}$$



$$\eta = \frac{N_{c,Ed}}{\chi_y \cdot A \cdot f_{yd}} + k_y \cdot \frac{c_{m,y} \cdot M_{y,Ed}}{\chi_{LT} \cdot W_{pl,y} \cdot f_{yd}} + \alpha_z \cdot k_z \cdot \frac{c_{m,z} \cdot M_{z,Ed}}{W_{pl,z} \cdot f_{yd}} \leq 1$$

$$h : \underline{0.038}$$



$$\eta = \frac{N_{c,Ed}}{\chi_z \cdot A \cdot f_{yd}} + \alpha_y \cdot k_y \cdot \frac{c_{m,y} \cdot M_{y,Ed}}{W_{pl,y} \cdot f_{yd}} + k_z \cdot \frac{c_{m,z} \cdot M_{z,Ed}}{W_{pl,z} \cdot f_{yd}} \leq 1$$

$$h : \underline{0.030}$$



Los esfuerzos solicitantes de cálculo pésimos se producen en el nudo N30, para la combinación de acciones 1.35·G+1.5·V(180°)H2.

Donde:

$N_{c,Ed}$: Axil de compresión solicitante de cálculo pésimo.

$$N_{c,Ed} : \underline{20.44} \text{ kN}$$

$M_{y,Ed}$, $M_{z,Ed}$: Momentos flectores solicitantes de cálculo pésimos, según los ejes Y y Z, respectivamente.

$$M_{y,Ed} : \underline{3.13} \text{ kN·m}$$

$$M_{z,Ed} : \underline{0.00} \text{ kN·m}$$

Clase: Clase de la sección, según la capacidad de deformación y de desarrollo de la resistencia plástica de sus elementos planos, para axil y flexión simple.

$$\text{Clase} : \underline{1}$$

$N_{pl,Rd}$: Resistencia a compresión de la sección bruta.

$$N_{pl,Rd} : \underline{1710.24} \text{ kN}$$

$M_{pl,Rd,y}$, $M_{pl,Rd,z}$: Resistencia a flexión de la sección bruta en condiciones plásticas, respecto a los ejes Y y Z, respectivamente.

$$M_{pl,Rd,y} : \underline{126.08} \text{ kN·m}$$

$$M_{pl,Rd,z} : \underline{60.50} \text{ kN·m}$$

Resistencia a pandeo: (CTE DB SE-A, Artículo 6.3.4.2)

A: Área de la sección bruta.

$$A : \underline{65.30} \text{ cm}^2$$

$W_{pl,y}$, $W_{pl,z}$: Módulos resistentes plásticos correspondientes a la fibra comprimida, alrededor de los ejes Y y Z, respectivamente.

$$W_{pl,y} : \underline{481.40} \text{ cm}^3$$

$$W_{pl,z} : \underline{231.00} \text{ cm}^3$$

f_{yd} : Resistencia de cálculo del acero.

$$f_{yd} : \underline{261.9} \text{ MPa}$$

$$f_{yd} = f_y / \gamma_{M1}$$

Siendo:

f_y : Límite elástico. (CTE DB SE-A, Tabla 4.1)

$$f_y : \underline{275.0} \text{ MPa}$$

γ_{M1} : Coeficiente parcial de seguridad del material.

$$\gamma_{M1} : \underline{1.05}$$



Listados

Pórtico frontal 1

Fecha: 10/06/15

k_y, k_z : Coeficientes de interacción.

$$k_y = 1 + (\bar{\lambda}_y - 0.2) \cdot \frac{N_{c,Ed}}{\chi_y \cdot N_{c,Rd}}$$

$$k_y : \underline{1.00}$$

$$k_z = 1 + (2 \cdot \bar{\lambda}_z - 0.6) \cdot \frac{N_{c,Ed}}{\chi_z \cdot N_{c,Rd}}$$

$$k_z : \underline{1.01}$$

$C_{m,y}, C_{m,z}$: Factores de momento flector uniforme equivalente.

$$C_{m,y} : \underline{1.00}$$

$$C_{m,z} : \underline{1.00}$$

c_y, c_z : Coeficientes de reducción por pandeo, alrededor de los ejes Y y Z, respectivamente.

$$c_y : \underline{0.95}$$

$$c_z : \underline{0.80}$$

\bar{i}_y, \bar{i}_z : Esbelteces reducidas con valores no mayores que 1.00, en relación a los ejes Y y Z, respectivamente.

$$\bar{i}_y : \underline{0.35}$$

$$\bar{i}_z : \underline{0.58}$$

a_y, a_z : Factores dependientes de la clase de la sección.

$$a_y : \underline{0.60}$$

$$a_z : \underline{0.60}$$

Resistencia a flexión, axil y cortante combinados - Temperatura ambiente (CTE DB SE-A, Artículo 6.2.8)

No es necesario reducir las resistencias de cálculo a flexión y a axil, ya que se puede ignorar el efecto de abolladura por esfuerzo cortante y, además, el esfuerzo cortante solicitante de cálculo pésimo V_{Ed} es menor o igual que el 50% del esfuerzo cortante resistente de cálculo $V_{c,Rd}$.

Los esfuerzos solicitantes de cálculo pésimos se producen para la combinación de acciones $1.35 \cdot G + 1.5 \cdot V(180^\circ)H2$.

$$V_{Ed,z} \leq \frac{V_{c,Rd,z}}{2}$$

$$0.247 \leq 11.791$$

Donde:

$V_{Ed,z}$: Esfuerzo cortante solicitante de cálculo pésimo.

$$V_{Ed,z} : \underline{2.42} \text{ kN}$$

$V_{c,Rd,z}$: Esfuerzo cortante resistente de cálculo.

$$V_{c,Rd,z} : \underline{231.35} \text{ kN}$$



Listados

Pórtico frontal 1

Fecha: 10/06/15

Resistencia a torsión - Temperatura ambiente (CTE DB SE-A, Artículo 6.2.7)

Se debe satisfacer:

$$\eta = \frac{M_{T,Ed}}{M_{T,Rd}} \leq 1$$

$$h < 0.001$$



El esfuerzo solicitante de cálculo pésimo se produce para la combinación de acciones G-SX-0.3·SY.

$M_{T,Ed}$: Momento torsor solicitante de cálculo pésimo.

$M_{T,Ed}$: 0.00 kN·m

El momento torsor resistente de cálculo $M_{T,Rd}$ viene dado por:

$$M_{T,Rd} = \frac{1}{\sqrt{3}} \cdot W_T \cdot f_{yd}$$

$M_{T,Rd}$: 4.55 kN·m

Donde:

W_T : Módulo de resistencia a torsión.

W_T : 30.11 cm³

f_{yd} : Resistencia de cálculo del acero.

f_{yd} : 261.9 MPa

$$f_{yd} = f_y / \gamma_{M0}$$

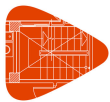
Siendo:

f_y : Límite elástico. (CTE DB SE-A, Tabla 4.1)

f_y : 275.0 MPa

γ_{M0} : Coeficiente parcial de seguridad del material.

γ_{M0} : 1.05



Listados

Pórtico frontal 1

Fecha: 10/06/15

Resistencia a cortante Z y momento torsor combinados - Temperatura ambiente (CTE DB SE-A, Artículo 6.2.8)

Se debe satisfacer:

$$\eta = \frac{V_{Ed}}{V_{pl,T,Rd}} \leq 1$$

h : 0.005



Los esfuerzos solicitantes de cálculo p^{ésimos} se producen en el nudo N30, para la combinación de acciones G+ S_X +0.3· S_Y .

V_{Ed} : Esfuerzo cortante solicitante de cálculo p^{ésimo}.

V_{Ed} : 1.17 kN

$M_{T,Ed}$: Momento torsor solicitante de cálculo p^{ésimo}.

$M_{T,Ed}$: 0.00 kN·m

El esfuerzo cortante resistente de cálculo reducido $V_{pl,T,Rd}$ viene dado por:

$$V_{pl,T,Rd} = \sqrt{1 - \frac{\tau_{T,Ed}}{1.25 \cdot f_{yd} / \sqrt{3}}} \cdot V_{pl,Rd}$$

$V_{pl,T,Rd}$: 231.35 kN

Donde:

$V_{pl,Rd}$: Esfuerzo cortante resistente de cálculo.

$V_{pl,Rd}$: 231.35 kN

$\tau_{T,Ed}$: Tensiones tangenciales por torsión.

$\tau_{T,Ed}$: 0.0 MPa

$$\tau_{T,Ed} = \frac{M_{T,Ed}}{W_t}$$

Siendo:

W_T : Módulo de resistencia a torsión.

W_T : 30.11 cm³

f_{yd} : Resistencia de cálculo del acero.

f_{yd} : 261.9 MPa

$$f_{yd} = f_y / \gamma_{MO}$$

Siendo:

f_y : Límite elástico. (CTE DB SE-A, Tabla 4.1)

f_y : 275.0 MPa

γ_{MO} : Coeficiente parcial de seguridad del material.

γ_{MO} : 1.05



Listados

Pórtico frontal 1

Fecha: 10/06/15

Resistencia a cortante Y y momento torsor combinados - Temperatura ambiente (CTE DB SE-A, Artículo 6.2.8)

Se debe satisfacer:

$$\eta = \frac{V_{Ed}}{V_{pl,T,Rd}} \leq 1$$

$$h < 0.001$$



Los esfuerzos solicitantes de cálculo p^{ésimos} se producen en el nudo N30, para la combinación de acciones G+ S_X +0.3· S_Y .

V_{Ed} : Esfuerzo cortante solicitante de cálculo p^{ésimo}.

$$V_{Ed} : 0.02 \text{ kN}$$

$M_{T,Ed}$: Momento torsor solicitante de cálculo p^{ésimo}.

$$M_{T,Ed} : 0.00 \text{ kN}\cdot\text{m}$$

El esfuerzo cortante resistente de cálculo reducido $V_{pl,T,Rd}$ viene dado por:

$$V_{pl,T,Rd} = \sqrt{1 - \frac{\tau_{T,Ed}}{1.25 \cdot f_{yd} / \sqrt{3}}} \cdot V_{pl,Rd}$$

$$V_{pl,T,Rd} : 792.02 \text{ kN}$$

Donde:

$V_{pl,Rd}$: Esfuerzo cortante resistente de cálculo.

$$V_{pl,Rd} : 792.04 \text{ kN}$$

$\tau_{T,Ed}$: Tensiones tangenciales por torsión.

$$\tau_{T,Ed} : 0.0 \text{ MPa}$$

$$\tau_{T,Ed} = \frac{M_{T,Ed}}{W_t}$$

Siendo:

W_T : Módulo de resistencia a torsión.

$$W_T : 30.11 \text{ cm}^3$$

f_{yd} : Resistencia de cálculo del acero.

$$f_{yd} : 261.9 \text{ MPa}$$

$$f_{yd} = f_y / \gamma_{M0}$$

Siendo:

f_y : Límite elástico. (CTE DB SE-A, Tabla 4.1)

$$f_y : 275.0 \text{ MPa}$$

γ_{M0} : Coeficiente parcial de seguridad del material.

$$\gamma_{M0} : 1.05$$



Listados

Pórtico frontal 1

Fecha: 10/06/15

Resistencia a tracción - Situación de incendio (CTE DB SE-A, Artículo 6.2.3, y CTE DB SI, Anejo D)

Se debe satisfacer:

$$\eta = \frac{N_{t,Ed}}{N_{t,Rd}} \leq 1$$

h : 0.005



El esfuerzo solicitante de cálculo pésimo se produce para la combinación de acciones G+0.5·V(0°)H1.

$N_{t,Ed}$: Axil de tracción solicitante de cálculo pésimo.

$N_{t,Ed}$: 2.29 kN

La resistencia de cálculo a tracción $N_{t,Rd}$ viene dada por:

$$N_{t,Rd} = A \cdot f_{yd}$$

$N_{t,Rd}$: 488.98 kN

Donde:

A: Área bruta de la sección transversal de la barra.

A : 65.30 cm²

f_{yd} : Resistencia de cálculo del acero.

f_{yd} : 74.9 MPa

$$f_{yd} = f_{y,\theta} / \gamma_{M,\theta}$$

Siendo:

$f_{y,q}$: Límite elástico reducido para la temperatura que alcanza el perfil.

$f_{y,q}$: 74.9 MPa

$$f_{y,\theta} = f_y \cdot k_{y,\theta}$$

f_y : Límite elástico. (CTE DB SE-A, Tabla 4.1)

f_y : 275.0 MPa

$k_{y,q}$: Factor de reducción del límite elástico para la temperatura que alcanza el perfil.

$k_{y,q}$: 0.27

$g_{M,q}$: Coeficiente parcial de seguridad del material.

$g_{M,q}$: 1.00

Resistencia a compresión - Situación de incendio (CTE DB SE-A, Artículo 6.2.5, y CTE DB SI, Anejo D)

Se debe satisfacer:

$$\eta = \frac{N_{c,Ed}}{N_{c,Rd}} \leq 1$$

h : 0.014



$$\eta = \frac{N_{c,Ed}}{N_{b,Rd}} \leq 1$$

h : 0.020



El esfuerzo solicitante de cálculo pésimo se produce para la combinación de acciones G+0.5·V(180°)H2.

$N_{c,Ed}$: Axil de compresión solicitante de cálculo pésimo.

$N_{c,Ed}$: 6.72 kN

La resistencia de cálculo a compresión $N_{c,Rd}$ viene dada por:

$$N_{c,Rd} = A \cdot f_{yd}$$

$N_{c,Rd}$: 488.98 kN

Donde:

Clase: Clase de la sección, según la capacidad de deformación y de desarrollo de la resistencia plástica de los elementos planos comprimidos de una sección.

Clase : 1

A: Área de la sección bruta para las secciones de clase 1, 2 y 3.

A : 65.30 cm²

f_{yd} : Resistencia de cálculo del acero.

f_{yd} : 74.9 MPa



Listados

Pórtico frontal 1

Fecha: 10/06/15

$$f_{yd} = f_{y,\theta} / \gamma_{M,\theta}$$

Siendo:

$f_{y,q}$: Límite elástico reducido para la temperatura que alcanza el perfil.

$$f_{y,q} : \underline{74.9} \text{ MPa}$$

$$f_{y,\theta} = f_y \cdot k_{y,\theta}$$

f_y : Límite elástico. (CTE DB SE-A, Tabla 4.1)

$$f_y : \underline{275.0} \text{ MPa}$$

$k_{y,q}$: Factor de reducción del límite elástico para la temperatura que alcanza el perfil.

$$k_{y,q} : \underline{0.27}$$

$g_{M,q}$: Coeficiente parcial de seguridad del material.

$$g_{M,q} : \underline{1.00}$$

Resistencia a pandeo: (CTE DB SE-A, Artículo 6.3.2)

La resistencia de cálculo a pandeo $N_{b,Rd}$ en una barra comprimida viene dada por:

$$N_{b,Rd} = \chi \cdot A \cdot f_{yd}$$

$$N_{b,Rd} : \underline{334.73} \text{ kN}$$

Donde:

A: Área de la sección bruta para las secciones de clase 1, 2 y 3.

$$A : \underline{65.30} \text{ cm}^2$$

f_{yd} : Resistencia de cálculo del acero.

$$f_{yd} : \underline{74.9} \text{ MPa}$$

$$f_{yd} = f_{y,\theta} / \gamma_{M,\theta}$$

Siendo:

$f_{y,q}$: Límite elástico reducido para la temperatura que alcanza el perfil.

$$f_{y,q} : \underline{74.9} \text{ MPa}$$

$$f_{y,\theta} = f_y \cdot k_{y,\theta}$$

f_y : Límite elástico. (CTE DB SE-A, Tabla 4.1)

$$f_y : \underline{275.0} \text{ MPa}$$

$k_{y,q}$: Factor de reducción del límite elástico para la temperatura que alcanza el perfil.

$$k_{y,q} : \underline{0.27}$$

$g_{M,q}$: Coeficiente parcial de seguridad del material.

$$g_{M,q} : \underline{1.00}$$

c: Coeficiente de reducción por pandeo.

$$\chi = \frac{1}{\Phi + \sqrt{\Phi^2 - (\bar{\lambda})^2}} \leq 1$$

$$c_y : \underline{0.87}$$

$$c_z : \underline{0.68}$$

Siendo:

$$\Phi = 0.5 \cdot \left[1 + \alpha \cdot (\bar{\lambda} - 0.2) + (\bar{\lambda})^2 \right]$$

$$f_y : \underline{0.67}$$

$$f_z : \underline{0.93}$$

a: Coeficiente de imperfección elástica.

$$a_y : \underline{0.49}$$

$$a_z : \underline{0.49}$$

$\bar{\lambda}$: Esbeltez reducida.

$$\bar{\lambda} = k_{\lambda,\theta} \cdot \sqrt{\frac{A \cdot f_y}{N_{cr}}}$$

$$\bar{\lambda}_y : \underline{0.46}$$

$$\bar{\lambda}_z : \underline{0.76}$$

$k_{\lambda,q}$: Factor de incremento de la esbeltez reducida para la temperatura que alcanza el perfil.

$$k_{\lambda,q} : \underline{1.31}$$

N_{cr} : Axil crítico elástico de pandeo, obtenido como el menor de los siguientes valores:

$$N_{cr} : \underline{5294.09} \text{ kN}$$

$N_{cr,y}$: Axil crítico elástico de pandeo por flexión respecto al eje Y.

$$N_{cr,y} : \underline{14880.15} \text{ kN}$$

$N_{cr,z}$: Axil crítico elástico de pandeo por flexión respecto al eje Z.

$$N_{cr,z} : \underline{5294.09} \text{ kN}$$



Listados

Pórtico frontal 1

Fecha: 10/06/15

$N_{cr,T}$: Axil crítico elástico de pandeo por torsión.

$N_{cr,T}$: ∞

Resistencia a flexión eje Y - Situación de incendio (CTE DB SE-A, Artículo 6.2.6, y CTE DB SI, Anejo D)

Se debe satisfacer:

$$\eta = \frac{M_{Ed}}{M_{c,Rd}} \leq 1$$

η : 0.043 ✓

Para flexión positiva:

M_{Ed}^+ : Momento flector solicitante de cálculo pésimo.

M_{Ed}^+ : 0.00 kN·m

Para flexión negativa:

El esfuerzo solicitante de cálculo pésimo se produce en el nudo N30, para la combinación de acciones G+0.5·V(180°)H2.

M_{Ed}^- : Momento flector solicitante de cálculo pésimo.

M_{Ed}^- : 1.54 kN·m

El momento flector resistente de cálculo $M_{c,Rd}$ viene dado por:

$$M_{c,Rd} = W_{pl,y} \cdot f_{yd}$$

$M_{c,Rd}$: 36.05 kN·m

Donde:

Clase: Clase de la sección, según la capacidad de deformación y de desarrollo de la resistencia plástica de los elementos planos de una sección a flexión simple.

Clase : 1

$W_{pl,y}$: Módulo resistente plástico correspondiente a la fibra con mayor tensión, para las secciones de clase 1 y 2.

$W_{pl,y}$: 481.40 cm³

f_{yd} : Resistencia de cálculo del acero.

f_{yd} : 74.9 MPa

$$f_{yd} = f_{y,\theta} / \gamma_{M,\theta}$$

Siendo:

$f_{y,q}$: Límite elástico reducido para la temperatura que alcanza el perfil.

$f_{y,q}$: 74.9 MPa

$$f_{y,\theta} = f_y \cdot k_{y,\theta}$$

f_y : Límite elástico. (CTE DB SE-A, Tabla 4.1)

f_y : 275.0 MPa

$k_{y,q}$: Factor de reducción del límite elástico para la temperatura que alcanza el perfil.

$k_{y,q}$: 0.27

$g_{M,q}$: Coeficiente parcial de seguridad del material.

$g_{M,q}$: 1.00

Resistencia a pandeo lateral: (CTE DB SE-A, Artículo 6.3.3.2)

No procede, dado que las longitudes de pandeo lateral son nulas.

Resistencia a flexión eje Z - Situación de incendio (CTE DB SE-A, Artículo 6.2.6, y CTE DB SI, Anejo D)

La comprobación no procede, ya que no hay momento flector.



Listados

Pórtico frontal 1

Fecha: 10/06/15

Resistencia a corte Z - Situación de incendio (CTE DB SE-A, Artículo 6.2.4, y CTE DB SI, Anejo D)

Se debe satisfacer:

$$\eta = \frac{V_{Ed}}{V_{c,Rd}} \leq 1$$

h : 0.022



El esfuerzo solicitante de cálculo pésimo se produce en el nudo N30, para la combinación de acciones G+0.5·V(180°)H2.

V_{Ed} : Esfuerzo cortante solicitante de cálculo pésimo.

V_{Ed} : 1.45 kN

El esfuerzo cortante resistente de cálculo $V_{c,Rd}$ viene dado por:

$$V_{c,Rd} = A_v \cdot \frac{f_{yd}}{\sqrt{3}}$$

$V_{c,Rd}$: 66.15 kN

Donde:

A_v : Área transversal a cortante.

A_v : 15.30 cm²

$$A_v = h \cdot t_w$$

Siendo:

h: Canto de la sección.

h : 180.00 mm

t_w : Espesor del alma.

t_w : 8.50 mm

f_{yd} : Resistencia de cálculo del acero.

f_{yd} : 74.9 MPa

$$f_{yd} = f_{y,0} / \gamma_{M,0}$$

Siendo:

$f_{y,q}$: Límite elástico reducido para la temperatura que alcanza el perfil.

$f_{y,q}$: 74.9 MPa

$$f_{y,0} = f_y \cdot k_{y,0}$$

f_y : Límite elástico. (CTE DB SE-A, Tabla 4.1)

f_y : 275.0 MPa

$k_{y,q}$: Factor de reducción del límite elástico para la temperatura que alcanza el perfil.

$k_{y,q}$: 0.27

$g_{M,q}$: Coeficiente parcial de seguridad del material.

$g_{M,q}$: 1.00

Abolladura por cortante del alma: (CTE DB SE-A, Artículo 6.3.3.4)

Aunque no se han dispuesto rigidizadores transversales, no es necesario comprobar la resistencia a la abolladura del alma, puesto que se cumple:

$$\frac{d}{t_w} < 70 \cdot \varepsilon$$

17.88 < 64.71

Donde:

l_w : Esbeltez del alma.

l_w : 17.88

$$\lambda_w = \frac{d}{t_w}$$

l_{max} : Esbeltez máxima.

l_{max} : 64.71

$$\lambda_{max} = 70 \cdot \varepsilon$$

e: Factor de reducción.

e : 0.92

$$\varepsilon = \sqrt{\frac{f_{ref}}{f_y}}$$

Siendo:

f_{ref} : Límite elástico de referencia.

f_{ref} : 235.0 MPa



Listados

Pórtico frontal 1

Fecha: 10/06/15

f_y : Límite elástico. (CTE DB SE-A, Tabla 4.1)

f_y : 275.0 MPa

Resistencia a corte Y - Situación de incendio (CTE DB SE-A, Artículo 6.2.4, y CTE DB SI, Anejo D)

La comprobación no procede, ya que no hay esfuerzo cortante.

Resistencia a momento flector Y y fuerza cortante Z combinados - Situación de incendio (CTE DB SE-A, Artículo 6.2.8, y CTE DB SI, Anejo D)

No es necesario reducir la resistencia de cálculo a flexión, ya que el esfuerzo cortante solicitante de cálculo pésimo V_{Ed} no es superior al 50% de la resistencia de cálculo a cortante $V_{c,Rd}$.

$$V_{Ed} \leq \frac{V_{c,Rd}}{2}$$

$$0.148 \leq 3.371$$

Los esfuerzos solicitantes de cálculo pésimos se producen para la combinación de acciones $G+0.5 \cdot V(180^\circ)H2$.

V_{Ed} : Esfuerzo cortante solicitante de cálculo pésimo.

V_{Ed} : 1.45 kN

$V_{c,Rd}$: Esfuerzo cortante resistente de cálculo.

$V_{c,Rd}$: 66.15 kN

Resistencia a momento flector Z y fuerza cortante Y combinados - Situación de incendio (CTE DB SE-A, Artículo 6.2.8, y CTE DB SI, Anejo D)

No hay interacción entre momento flector y esfuerzo cortante para ninguna combinación. Por lo tanto, la comprobación no procede.

Resistencia a flexión y axil combinados - Situación de incendio (CTE DB SE-A, Artículo 6.2.8, y CTE DB SI, Anejo D)

Se debe satisfacer:

$$\eta = \frac{N_{c,Ed}}{N_{pl,Rd}} + \frac{M_{y,Ed}}{M_{pl,Rd,y}} + \frac{M_{z,Ed}}{M_{pl,Rd,z}} \leq 1$$

$$h : \underline{0.056}$$



$$\eta = \frac{N_{c,Ed}}{\chi_y \cdot A \cdot f_{yd}} + k_y \cdot \frac{c_{m,y} \cdot M_{y,Ed}}{\chi_{LT} \cdot W_{pl,y} \cdot f_{yd}} + \alpha_z \cdot k_z \cdot \frac{c_{m,z} \cdot M_{z,Ed}}{W_{pl,z} \cdot f_{yd}} \leq 1$$

$$h : \underline{0.059}$$



$$\eta = \frac{N_{c,Ed}}{\chi_z \cdot A \cdot f_{yd}} + \alpha_y \cdot k_y \cdot \frac{c_{m,y} \cdot M_{y,Ed}}{W_{pl,y} \cdot f_{yd}} + k_z \cdot \frac{c_{m,z} \cdot M_{z,Ed}}{W_{pl,z} \cdot f_{yd}} \leq 1$$

$$h : \underline{0.046}$$



Los esfuerzos solicitantes de cálculo pésimos se producen en el nudo N30, para la combinación de acciones $G+0.5 \cdot V(180^\circ)H2$.

Donde:

$N_{c,Ed}$: Axil de compresión solicitante de cálculo pésimo.

$N_{c,Ed}$: 6.72 kN

$M_{y,Ed}$, $M_{z,Ed}$: Momentos flectores solicitantes de cálculo pésimos, según los ejes Y y Z, respectivamente.

$M_{y,Ed}$: 1.54 kN·m

$M_{z,Ed}$: 0.00 kN·m

Clase: Clase de la sección, según la capacidad de deformación y de desarrollo de la resistencia plástica de sus elementos planos, para axil y flexión simple.

Clase : 1

$N_{pl,Rd}$: Resistencia a compresión de la sección bruta.

$N_{pl,Rd}$: 488.98 kN



Listados

Pórtico frontal 1

Fecha: 10/06/15

$M_{pl,Rd,y}$, $M_{pl,Rd,z}$: Resistencia a flexión de la sección bruta en condiciones plásticas, respecto a los ejes Y y Z, respectivamente.

$$M_{pl,Rd,y} : \underline{36.05} \text{ kN}\cdot\text{m}$$

$$M_{pl,Rd,z} : \underline{17.30} \text{ kN}\cdot\text{m}$$

Resistencia a pandeo: (CTE DB SE-A, Artículo 6.3.4.2)

A: Área de la sección bruta.

$$A : \underline{65.30} \text{ cm}^2$$

$W_{pl,y}$, $W_{pl,z}$: Módulos resistentes plásticos correspondientes a la fibra comprimida, alrededor de los ejes Y y Z, respectivamente.

$$W_{pl,y} : \underline{481.40} \text{ cm}^3$$

$$W_{pl,z} : \underline{231.00} \text{ cm}^3$$

f_{yd} : Resistencia de cálculo del acero.

$$f_{yd} : \underline{74.9} \text{ MPa}$$

$$f_{yd} = f_{y,0} / \gamma_{M,0}$$

Siendo:

$f_{y,q}$: Límite elástico reducido para la temperatura que alcanza el perfil.

$$f_{y,q} : \underline{74.9} \text{ MPa}$$

$$f_{y,0} = f_y \cdot k_{y,0}$$

f_y : Límite elástico. (CTE DB SE-A, Tabla 4.1)

$$f_y : \underline{275.0} \text{ MPa}$$

$k_{y,q}$: Factor de reducción del límite elástico para la temperatura que alcanza el perfil.

$$k_{y,q} : \underline{0.27}$$

$g_{M,q}$: Coeficiente parcial de seguridad del material.

$$g_{M,q} : \underline{1.00}$$

k_y , k_z : Coeficientes de interacción.

$$k_y = 1 + (\bar{\lambda}_y - 0.2) \cdot \frac{N_{c,Ed}}{\chi_y \cdot N_{c,Rd}}$$

$$k_y : \underline{1.00}$$

$$k_z = 1 + (2 \cdot \bar{\lambda}_z - 0.6) \cdot \frac{N_{c,Ed}}{\chi_z \cdot N_{c,Rd}}$$

$$k_z : \underline{1.02}$$

$C_{m,y}$, $C_{m,z}$: Factores de momento flector uniforme equivalente.

$$C_{m,y} : \underline{1.00}$$

$$C_{m,z} : \underline{1.00}$$

c_y , c_z : Coeficientes de reducción por pandeo, alrededor de los ejes Y y Z, respectivamente.

$$c_y : \underline{0.87}$$

$$c_z : \underline{0.68}$$

$\bar{\lambda}_y$, $\bar{\lambda}_z$: Esbelteces reducidas con valores no mayores que 1.00, en relación a los ejes Y y Z, respectivamente.

$$\bar{\lambda}_y : \underline{0.46}$$

$$\bar{\lambda}_z : \underline{0.76}$$

a_y , a_z : Factores dependientes de la clase de la sección.

$$a_y : \underline{0.60}$$

$$a_z : \underline{0.60}$$

Resistencia a flexión, axil y cortante combinados - Situación de incendio (CTE DB SE-A, Artículo 6.2.8, y CTE DB SI, Anejo D)

No es necesario reducir las resistencias de cálculo a flexión y a axil, ya que se puede ignorar el efecto de abolladura por esfuerzo cortante y, además, el esfuerzo cortante solicitante de cálculo pésimo V_{Ed} es menor o igual que el 50% del esfuerzo cortante resistente de cálculo $V_{c,Rd}$.

Los esfuerzos solicitantes de cálculo pésimos se producen para la combinación de acciones $G+0.5\cdot V(180^\circ)H2$.

$$V_{Ed,z} \leq \frac{V_{c,Rd,z}}{2}$$

$$0.148 \leq 3.371$$

Donde:

$V_{Ed,z}$: Esfuerzo cortante solicitante de cálculo pésimo.

$$V_{Ed,z} : \underline{1.45} \text{ kN}$$

$V_{c,Rd,z}$: Esfuerzo cortante resistente de cálculo.

$$V_{c,Rd,z} : \underline{66.15} \text{ kN}$$



Resistencia a torsión - Situación de incendio (CTE DB SE-A, Artículo 6.2.7, y CTE DB SI, Anejo D)

La comprobación no procede, ya que no hay momento torsor.

Resistencia a cortante Z y momento torsor combinados - Situación de incendio (CTE DB SE-A, Artículo 6.2.8, y CTE DB SI, Anejo D)

No hay interacción entre momento torsor y esfuerzo cortante para ninguna combinación. Por lo tanto, la comprobación no procede.

Resistencia a cortante Y y momento torsor combinados - Situación de incendio (CTE DB SE-A, Artículo 6.2.8, y CTE DB SI, Anejo D)

No hay interacción entre momento torsor y esfuerzo cortante para ninguna combinación. Por lo tanto, la comprobación no procede.



Listados

Pórtico frontal 1

Fecha: 10/06/15

2.3.2.5.- Comprobaciones E.L.U. (Resumido)

Barras	COMPROBACIONES (CTE DB SE-A) - TEMPERATURA AMBIENTE															Estado
	$\bar{\lambda}$	$\lambda_{w,}$	N _t	N _c	M _y	M _z	V _z	V _y	M _y V _z	M _z V _y	NM-M _z	NM _y V-V _z	M _t	MV _z	MV _y	
N2/N4	$\bar{\lambda} < 2.0$	$\lambda_{w,} \leq \lambda_{w,max}$	$\eta = 0.1$	$\eta = 0.9$	x: 5 m $\eta = 2.1$	x: 0 m $\eta = 0.3$	x: 0 m $\eta = 1.0$	$\eta < 0.1$	$\eta < 0.1$	$\eta < 0.1$	x: 5 m $\eta = 2.8$	$\eta < 0.1$	$\eta < 0.1$	x: 5 m $\eta = 0.6$	x: 0 m $\eta < 0.1$	CUMPLE h = 2.8
N4/N6	$\bar{\lambda} < 2.0$	$\lambda_{w,} \leq \lambda_{w,max}$	$\eta = 0.1$	$\eta = 0.7$	x: 5 m $\eta = 2.3$	x: 5 m $\eta = 0.2$	x: 0 m $\eta = 1.0$	$\eta < 0.1$	$\eta < 0.1$	$\eta < 0.1$	x: 5 m $\eta = 2.8$	$\eta < 0.1$	$\eta < 0.1$	x: 5 m $\eta = 0.5$	x: 0 m $\eta < 0.1$	CUMPLE h = 2.8
N6/N7	$\bar{\lambda} < 2.0$	$\lambda_{w,} \leq \lambda_{w,max}$	$N_{Ed} = 0.00$ N.P. ⁽¹⁾	$\eta = 0.6$	x: 4.62 m $\eta = 2.2$	x: 4.62 m $\eta = 0.1$	x: 4.62 m $\eta = 1.0$	$\eta < 0.1$	$\eta < 0.1$	$\eta < 0.1$	x: 4.62 m $\eta = 2.7$	$\eta < 0.1$	$\eta < 0.1$	x: 4.62 m $\eta = 0.5$	x: 0 m $\eta < 0.1$	CUMPLE h = 2.7
N7/N9	$\bar{\lambda} < 2.0$	$\lambda_{w,} \leq \lambda_{w,max}$	$N_{Ed} = 0.00$ N.P. ⁽¹⁾	$\eta = 0.5$	x: 4.62 m $\eta = 2.2$	x: 0 m $\eta = 0.1$	x: 4.62 m $\eta = 1.0$	$\eta < 0.1$	$\eta < 0.1$	$\eta < 0.1$	x: 4.62 m $\eta = 2.6$	$\eta < 0.1$	$\eta < 0.1$	x: 4.62 m $\eta = 0.5$	x: 0 m $\eta < 0.1$	CUMPLE h = 2.6
N9/N11	$\bar{\lambda} < 2.0$	$\lambda_{w,} \leq \lambda_{w,max}$	$N_{Ed} = 0.00$ N.P. ⁽¹⁾	$\eta = 0.3$	x: 0 m $\eta = 2.2$	x: 0 m $\eta = 0.1$	x: 0 m $\eta = 1.0$	$\eta < 0.1$	$\eta < 0.1$	$\eta < 0.1$	x: 4.62 m $\eta = 2.5$	$\eta < 0.1$	$\eta < 0.1$	x: 0 m $\eta = 0.5$	x: 0 m $\eta < 0.1$	CUMPLE h = 2.5
N11/N13	$\bar{\lambda} < 2.0$	$\lambda_{w,} \leq \lambda_{w,max}$	$N_{Ed} = 0.00$ N.P. ⁽¹⁾	$\eta = 0.4$	x: 0 m $\eta = 2.2$	x: 0 m $\eta = 0.2$	x: 0 m $\eta = 1.0$	$\eta < 0.1$	$\eta < 0.1$	$\eta < 0.1$	x: 0 m $\eta = 2.6$	$\eta < 0.1$	$\eta < 0.1$	x: 0 m $\eta = 0.5$	x: 0 m $\eta < 0.1$	CUMPL h = 2.6
N13/N15	$\bar{\lambda} < 2.0$	$\lambda_{w,} \leq \lambda_{w,max}$	$N_{Ed} = 0.00$ N.P. ⁽¹⁾	$\eta = 0.6$	x: 0 m $\eta = 2.2$	x: 0 m $\eta = 0.2$	x: 0 m $\eta = 1.0$	$\eta < 0.1$	$\eta < 0.1$	$\eta < 0.1$	x: 0 m $\eta = 2.7$	$\eta < 0.1$	$\eta < 0.1$	x: 0 m $\eta = 0.5$	x: 0 m $\eta < 0.1$	CUMPLE h = 2.7
N15/N17	$\bar{\lambda} < 2.0$	$\lambda_{w,} \leq \lambda_{w,max}$	$\eta < 0.1$	$\eta = 0.7$	x: 0 m $\eta = 2.2$	x: 0 m $\eta = 0.2$	x: 4.62 m $\eta = 1.0$	$\eta < 0.1$	$\eta < 0.1$	$\eta < 0.1$	x: 0 m $\eta = 2.7$	$\eta < 0.1$	$\eta < 0.1$	x: 0 m $\eta = 0.5$	x: 0 m $\eta < 0.1$	CUMPLE h = 2.7
N17/N19	$\bar{\lambda} < 2.0$	$\lambda_{w,} \leq \lambda_{w,max}$	$\eta = 0.1$	$\eta = 0.8$	x: 0 m $\eta = 2.0$	x: 4.62 m $\eta = 0.3$	x: 4.62 m $\eta = 0.9$	$\eta < 0.1$	$\eta < 0.1$	$\eta < 0.1$	x: 0 m $\eta = 2.7$	$\eta < 0.1$	$\eta < 0.1$	x: 0 m $\eta = 0.5$	x: 0 m $\eta < 0.1$	CUMPLE h = 2.7
N1/N23	$\bar{\lambda} \leq 4.0$		$\eta = 5.7$	$N_{Ed} = 0.00$ N.P. ⁽²⁾	$M_{Ed} = 0.00$ N.P. ⁽³⁾	$M_{Ed} = 0.00$ N.P. ⁽³⁾	$V_{Ed} = 0.00$ N.P. ⁽⁴⁾	$V_{Ed} = 0.00$ N.P. ⁽⁴⁾	N.P. ⁽⁵⁾	N.P. ⁽⁵⁾	N.P. ⁽⁶⁾	N.P. ⁽⁷⁾	$M_{Ed} = 0.00$ N.P. ⁽⁸⁾	N.P. ⁽⁹⁾	N.P. ⁽⁹⁾	CUMPLE h = 5.7
N23/N2	$\bar{\lambda} \leq 4.0$		$\eta = 6.2$	$N_{Ed} = 0.00$ N.P. ⁽²⁾	$M_{Ed} = 0.00$ N.P. ⁽³⁾	$M_{Ed} = 0.00$ N.P. ⁽³⁾	$V_{Ed} = 0.00$ N.P. ⁽⁴⁾	$V_{Ed} = 0.00$ N.P. ⁽⁴⁾	N.P. ⁽⁵⁾	N.P. ⁽⁵⁾	N.P. ⁽⁶⁾	N.P. ⁽⁷⁾	$M_{Ed} = 0.00$ N.P. ⁽⁸⁾	N.P. ⁽⁹⁾	N.P. ⁽⁹⁾	CUMPLE h = 6.2
N21/N4	$\bar{\lambda} \leq 4.0$		$\eta = 6.3$	$N_{Ed} = 0.00$ N.P. ⁽²⁾	$M_{Ed} = 0.00$ N.P. ⁽³⁾	$M_{Ed} = 0.00$ N.P. ⁽³⁾	$V_{Ed} = 0.00$ N.P. ⁽⁴⁾	$V_{Ed} = 0.00$ N.P. ⁽⁴⁾	N.P. ⁽⁵⁾	N.P. ⁽⁵⁾	N.P. ⁽⁶⁾	N.P. ⁽⁷⁾	$M_{Ed} = 0.00$ N.P. ⁽⁸⁾	N.P. ⁽⁹⁾	N.P. ⁽⁹⁾	CUMPLE h = 6.3
N3/N21	$\bar{\lambda} \leq 4.0$		$\eta = 4.6$	$N_{Ed} = 0.00$ N.P. ⁽²⁾	$M_{Ed} = 0.00$ N.P. ⁽³⁾	$M_{Ed} = 0.00$ N.P. ⁽³⁾	$V_{Ed} = 0.00$ N.P. ⁽⁴⁾	$V_{Ed} = 0.00$ N.P. ⁽⁴⁾	N.P. ⁽⁵⁾	N.P. ⁽⁵⁾	N.P. ⁽⁶⁾	N.P. ⁽⁷⁾	$M_{Ed} = 0.00$ N.P. ⁽⁸⁾	N.P. ⁽⁹⁾	N.P. ⁽⁹⁾	CUMPLE h = 4.6
N21/N23	$\bar{\lambda} < 2.0$	$\lambda_{w,} \leq \lambda_{w,max}$	$\eta = 0.4$	$\eta = 1.5$	x: 5 m $\eta = 2.6$	x: 0 m $\eta = 0.1$	x: 5 m $\eta = 1.1$	$\eta < 0.1$	$\eta < 0.1$	$\eta < 0.1$	x: 5 m $\eta = 3.8$	$\eta < 0.1$	$\eta < 0.1$	x: 5 m $\eta = 0.5$	x: 0 m $\eta < 0.1$	CUMPLE h = 3.8
N23/N24	$\bar{\lambda} < 2.0$	$\lambda_{w,} \leq \lambda_{w,max}$	$\eta = 0.3$	$\eta = 1.0$	x: 5 m $\eta = 2.4$	x: 5 m $\eta < 0.1$	x: 5 m $\eta = 1.0$	$\eta < 0.1$	$\eta < 0.1$	$\eta < 0.1$	x: 5 m $\eta = 3.2$	$\eta < 0.1$	$\eta < 0.1$	x: 5 m $\eta = 0.5$	x: 0 m $\eta < 0.1$	CUMPLE h = 3.2
N24/N25	$\bar{\lambda} < 2.0$	$\lambda_{w,} \leq \lambda_{w,max}$	$\eta = 0.1$	$\eta = 0.6$	x: 4.62 m $\eta = 2.3$	x: 4.62 m $\eta < 0.1$	x: 4.62 m $\eta = 1.0$	$\eta < 0.1$	$\eta < 0.1$	$\eta < 0.1$	x: 4.62 m $\eta = 2.9$	$\eta < 0.1$	$\eta < 0.1$	x: 4.62 m $\eta = 0.5$	x: 0 m $\eta < 0.1$	CUMPLE h = 2.9
N25/N26	$\bar{\lambda} < 2.0$	$\lambda_{w,} \leq \lambda_{w,max}$	$\eta < 0.1$	$\eta = 0.4$	x: 4.62 m $\eta = 2.3$	x: 0 m $\eta < 0.1$	x: 4.62 m $\eta = 1.0$	$\eta < 0.1$	$\eta < 0.1$	$\eta < 0.1$	x: 4.62 m $\eta = 2.6$	$\eta < 0.1$	$\eta < 0.1$	x: 4.62 m $\eta = 0.5$	x: 0 m $\eta < 0.1$	CUMPLE h = 2.6
N26/N27	$\bar{\lambda} < 2.0$	$\lambda_{w,} \leq \lambda_{w,max}$	$\eta < 0.1$	$\eta = 0.2$	x: 0 m $\eta = 2.3$	x: 0 m $\eta < 0.1$	x: 0 m $\eta = 1.0$	$\eta < 0.1$	$\eta < 0.1$	$\eta < 0.1$	x: 0 m $\eta = 2.4$	$\eta < 0.1$	$\eta < 0.1$	x: 0 m $\eta = 0.5$	x: 0 m $\eta < 0.1$	CUMPLE h = 2.4
N27/N28	$\bar{\lambda} < 2.0$	$\lambda_{w,} \leq \lambda_{w,max}$	$\eta < 0.1$	$\eta = 0.4$	x: 0 m $\eta = 2.3$	x: 0 m $\eta < 0.1$	x: 0 m $\eta = 1.0$	$\eta < 0.1$	$\eta < 0.1$	$\eta < 0.1$	x: 0 m $\eta = 2.6$	$\eta < 0.1$	$\eta < 0.1$	x: 0 m $\eta = 0.5$	x: 0 m $\eta < 0.1$	CUMPLE h = 2.6
N28/N29	$\bar{\lambda} < 2.0$	$\lambda_{w,} \leq \lambda_{w,max}$	$\eta = 0.1$	$\eta = 0.6$	x: 0 m $\eta = 2.3$	x: 0 m $\eta < 0.1$	x: 0 m $\eta = 1.0$	$\eta < 0.1$	$\eta < 0.1$	$\eta < 0.1$	x: 0 m $\eta = 2.9$	$\eta < 0.1$	$\eta < 0.1$	x: 0 m $\eta = 0.5$	x: 0 m $\eta < 0.1$	CUMPLE h = 2.9
N29/N30	$\bar{\lambda} < 2.0$	$\lambda_{w,} \leq \lambda_{w,max}$	$\eta = 0.3$	$\eta = 1.0$	x: 0 m $\eta = 2.4$	x: 0 m $\eta < 0.1$	x: 0 m $\eta = 1.0$	$\eta < 0.1$	$\eta < 0.1$	$\eta < 0.1$	x: 0 m $\eta = 3.2$	$\eta < 0.1$	$\eta < 0.1$	x: 0 m $\eta = 0.5$	x: 0 m $\eta < 0.1$	CUMPLE h = 3.2
N30/N22	$\bar{\lambda} < 2.0$	$\lambda_{w,} \leq \lambda_{w,max}$	$\eta = 0.4$	$\eta = 1.5$	x: 0 m $\eta = 2.5$	x: 4.62 m $\eta = 0.1$	x: 0 m $\eta = 1.0$	$\eta < 0.1$	$\eta < 0.1$	$\eta < 0.1$	x: 0 m $\eta = 3.8$	$\eta < 0.1$	$\eta < 0.1$	x: 0 m $\eta = 0.5$	x: 0 m $\eta < 0.1$	CUMPLE h = 3.8
N18/N22	$\bar{\lambda} \leq 4.0$		$\eta = 4.7$	$N_{Ed} = 0.00$ N.P. ⁽²⁾	$M_{Ed} = 0.00$ N.P. ⁽³⁾	$M_{Ed} = 0.00$ N.P. ⁽³⁾	$V_{Ed} = 0.00$ N.P. ⁽⁴⁾	$V_{Ed} = 0.00$ N.P. ⁽⁴⁾	N.P. ⁽⁵⁾	N.P. ⁽⁵⁾	N.P. ⁽⁶⁾	N.P. ⁽⁷⁾	$M_{Ed} = 0.00$ N.P. ⁽⁸⁾	N.P. ⁽⁹⁾	N.P. ⁽⁹⁾	CUMPLE h = 4.7
N22/N17	$\bar{\lambda} \leq 4.0$		$\eta = 6.5$	$N_{Ed} = 0.00$ N.P. ⁽²⁾	$M_{Ed} = 0.00$ N.P. ⁽³⁾	$M_{Ed} = 0.00$ N.P. ⁽³⁾	$V_{Ed} = 0.00$ N.P. ⁽⁴⁾	$V_{Ed} = 0.00$ N.P. ⁽⁴⁾	N.P. ⁽⁵⁾	N.P. ⁽⁵⁾	N.P. ⁽⁶⁾	N.P. ⁽⁷⁾	$M_{Ed} = 0.00$ N.P. ⁽⁸⁾	N.P. ⁽⁹⁾	N.P. ⁽⁹⁾	CUMPLE h = 6.5
N30/N19	$\bar{\lambda} \leq 4.0$		$\eta = 6.4$	$N_{Ed} = 0.00$ N.P. ⁽²⁾	$M_{Ed} = 0.00$ N.P. ⁽³⁾	$M_{Ed} = 0.00$ N.P. ⁽³⁾	$V_{Ed} = 0.00$ N.P. ⁽⁴⁾	$V_{Ed} = 0.00$ N.P. ⁽⁴⁾	N.P. ⁽⁵⁾	N.P. ⁽⁵⁾	N.P. ⁽⁶⁾	N.P. ⁽⁷⁾	$M_{Ed} = 0.00$ N.P. ⁽⁸⁾	N.P. ⁽⁹⁾	N.P. ⁽⁹⁾	CUMPLE h = 6.4
N20/N30	$\bar{\lambda} \leq 4.0$		$\eta = 5.8$	$N_{Ed} = 0.00$ N.P. ⁽²⁾	$M_{Ed} = 0.00$ N.P. ⁽³⁾	$M_{Ed} = 0.00$ N.P. ⁽³⁾	$V_{Ed} = 0.00$ N.P. ⁽⁴⁾	$V_{Ed} = 0.00$ N.P. ⁽⁴⁾	N.P. ⁽⁵⁾	N.P. ⁽⁵⁾	N.P. ⁽⁶⁾	N.P. ⁽⁷⁾	$M_{Ed} = 0.00$ N.P. ⁽⁸⁾	N.P. ⁽⁹⁾	N.P. ⁽⁹⁾	CUMPLE h = 5.8
Notación: 1.: Limitación de esbeltez 1.: Abolladura del alma inducida por el ala comprimida N: Resistencia a tracción N: Resistencia a compresión M _y : Resistencia a flexión eje Y M _z : Resistencia a flexión eje Z V _z : Resistencia a corte Z V _y : Resistencia a corte Y M.V _z : Resistencia a momento flector Y y fuerza cortante Z combinados M.V _y : Resistencia a momento flector Z y fuerza cortante Y combinados NM.M _z : Resistencia a flexión y axil combinados NM.M _y V.V _z : Resistencia a flexión, axil y cortante combinados M _t : Resistencia a torsión M.V _z : Resistencia a cortante Z y momento torsor combinados M.V _y : Resistencia a cortante Y y momento torsor combinados x: Distancia al origen de la barra h: Coeficiente de aprovechamiento (%) N.P.: No procede																
Comprobaciones que no proceden (N.P.): (1) La comprobación no procede, ya que no hay axil de tracción. (2) La comprobación no procede, ya que no hay axil de compresión. (3) La comprobación no procede, ya que no hay momento flector. (4) La comprobación no procede, ya que no hay esfuerzo cortante. (5) No hay interacción entre momento flector y esfuerzo cortante para ninguna combinación. Por lo tanto, la comprobación no procede. (6) No hay interacción entre axil y momento flector ni entre momentos flectores en ambas direcciones para ninguna combinación. Por lo tanto, la comprobación no procede. (7) No hay interacción entre momento flector, axil y cortante para ninguna combinación. Por lo tanto, la comprobación no procede. (8) La comprobación no procede, ya que no hay momento torsor. (9) No hay interacción entre momento torsor y esfuerzo cortante para ninguna combinación. Por lo tanto, la comprobación no procede.																

Barras	COMPROBACIONES (CTE DB SE-A) - SITUACIÓN DE INCENDIO														Estado
	N_t	N_c	M_y	M_z	V_z	V_y	$M_y V_z$	$M_z V_y$	$N M_y M_z$	$N M_y V_z V_y$	M_t	$M_y V_z$	$M_z V_y$	$M_y V_y$	
N2/N4	$\eta = 0.1$	$\eta = 1.3$	x: 5 m $\eta = 4.1$	$M_{Ed} = 0.00$ N.P. ⁽¹⁾	x: 5 m $\eta = 2.1$	$V_{Ed} = 0.00$ N.P. ⁽²⁾	$\eta < 0.1$	N.P. ⁽³⁾	x: 5 m $\eta = 5.1$	$\eta < 0.1$	$M_{Ed} = 0.00$ N.P. ⁽⁴⁾	N.P. ⁽⁵⁾	N.P. ⁽⁵⁾	N.P. ⁽⁵⁾	CUMPLE h = 5.1
N4/N6	$\eta < 0.1$	$\eta = 1.0$	x: 5 m $\eta = 4.2$	$M_{Ed} = 0.00$ N.P. ⁽¹⁾	x: 5 m $\eta = 2.2$	$V_{Ed} = 0.00$ N.P. ⁽²⁾	$\eta < 0.1$	N.P. ⁽³⁾	x: 5 m $\eta = 5.0$	$\eta < 0.1$	$M_{Ed} = 0.00$ N.P. ⁽⁴⁾	N.P. ⁽⁵⁾	N.P. ⁽⁵⁾	N.P. ⁽⁵⁾	CUMPLE h = 5.0
N6/N7	$N_{Ed} = 0.00$ N.P. ⁽⁶⁾	$\eta = 0.8$	x: 4.62 m $\eta = 4.0$	$M_{Ed} = 0.00$ N.P. ⁽¹⁾	x: 4.62 m $\eta = 2.1$	$V_{Ed} = 0.00$ N.P. ⁽²⁾	$\eta < 0.1$	N.P. ⁽³⁾	x: 4.62 m $\eta = 4.6$	$\eta < 0.1$	$M_{Ed} = 0.00$ N.P. ⁽⁴⁾	N.P. ⁽⁵⁾	N.P. ⁽⁵⁾	N.P. ⁽⁵⁾	CUMPLE h = 4.6
N7/N9	$N_{Ed} = 0.00$ N.P. ⁽⁶⁾	$\eta = 0.7$	x: 4.62 m $\eta = 4.0$	$M_{Ed} = 0.00$ N.P. ⁽¹⁾	x: 4.62 m $\eta = 2.1$	$V_{Ed} = 0.00$ N.P. ⁽²⁾	$\eta < 0.1$	N.P. ⁽³⁾	x: 4.62 m $\eta = 4.5$	$\eta < 0.1$	$M_{Ed} = 0.00$ N.P. ⁽⁴⁾	N.P. ⁽⁵⁾	N.P. ⁽⁵⁾	N.P. ⁽⁵⁾	CUMPLE h = 4.5
N9/N11	$N_{Ed} = 0.00$ N.P. ⁽⁶⁾	$\eta = 0.5$	x: 0 m $\eta = 4.0$	$M_{Ed} = 0.00$ N.P. ⁽¹⁾	x: 0 m $\eta = 2.1$	$V_{Ed} = 0.00$ N.P. ⁽²⁾	$\eta < 0.1$	N.P. ⁽³⁾	x: 4.62 m $\eta = 4.4$	$\eta < 0.1$	$M_{Ed} = 0.00$ N.P. ⁽⁴⁾	N.P. ⁽⁵⁾	N.P. ⁽⁵⁾	N.P. ⁽⁵⁾	CUMPLE h = 4.4
N11/N13	$N_{Ed} = 0.00$ N.P. ⁽⁶⁾	$\eta = 0.7$	x: 0 m $\eta = 4.0$	$M_{Ed} = 0.00$ N.P. ⁽¹⁾	x: 0 m $\eta = 2.1$	$V_{Ed} = 0.00$ N.P. ⁽²⁾	$\eta < 0.1$	N.P. ⁽³⁾	x: 0 m $\eta = 4.5$	$\eta < 0.1$	$M_{Ed} = 0.00$ N.P. ⁽⁴⁾	N.P. ⁽⁵⁾	N.P. ⁽⁵⁾	N.P. ⁽⁵⁾	CUMPLE h = 4.5
N13/N15	$N_{Ed} = 0.00$ N.P. ⁽⁶⁾	$\eta = 0.8$	x: 0 m $\eta = 4.0$	$M_{Ed} = 0.00$ N.P. ⁽¹⁾	x: 0 m $\eta = 2.1$	$V_{Ed} = 0.00$ N.P. ⁽²⁾	$\eta < 0.1$	N.P. ⁽³⁾	x: 0 m $\eta = 4.6$	$\eta < 0.1$	$M_{Ed} = 0.00$ N.P. ⁽⁴⁾	N.P. ⁽⁵⁾	N.P. ⁽⁵⁾	N.P. ⁽⁵⁾	CUMPLE h = 4.6



Listados

Pórtico frontal 1

Fecha: 10/06/15

Barras	COMPROBACIONES (CTE DB SE-A) - SITUACIÓN DE INCENDIO													Estado
	N _t	N _c	M _y	M _z	V _z	V _y	M _V V _z	M _z V _y	NM,M _z	NM,M _z V _y V _z	M _t	M _V V _z	M _V V _y	
N15/N17	$\eta < 0.1$	$\eta = 0.9$	x: 0 m $\eta = 3.9$	M _{Ed} = 0.00 N.P. ⁽¹⁾	x: 0 m $\eta = 2.1$	V _{Ed} = 0.00 N.P. ⁽²⁾	$\eta < 0.1$	N.P. ⁽³⁾	x: 0 m $\eta = 4.7$	$\eta < 0.1$	M _{Ed} = 0.00 N.P. ⁽⁴⁾	N.P. ⁽⁵⁾	N.P. ⁽⁵⁾	CUMPLE h = 4.7
N17/N19	$\eta = 0.1$	$\eta = 1.2$	x: 0 m $\eta = 3.7$	M _{Ed} = 0.00 N.P. ⁽¹⁾	x: 4.62 m $\eta = 2.0$	V _{Ed} = 0.00 N.P. ⁽²⁾	$\eta < 0.1$	N.P. ⁽³⁾	x: 0 m $\eta = 4.7$	$\eta < 0.1$	M _{Ed} = 0.00 N.P. ⁽⁴⁾	N.P. ⁽⁵⁾	N.P. ⁽⁵⁾	CUMPLE h = 4.7
N1/N23	$\eta = 6.5$	N _{Ed} = 0.00 N.P. ⁽⁷⁾	M _{Ed} = 0.00 N.P. ⁽¹⁾	M _{Ed} = 0.00 N.P. ⁽¹⁾	V _{Ed} = 0.00 N.P. ⁽²⁾	V _{Ed} = 0.00 N.P. ⁽²⁾	N.P. ⁽³⁾	N.P. ⁽³⁾	N.P. ⁽⁸⁾	N.P. ⁽⁹⁾	M _{Ed} = 0.00 N.P. ⁽⁴⁾	N.P. ⁽⁵⁾	N.P. ⁽⁵⁾	CUMPLE h = 6.5
N23/N2	$\eta = 7.0$	N _{Ed} = 0.00 N.P. ⁽⁷⁾	M _{Ed} = 0.00 N.P. ⁽¹⁾	M _{Ed} = 0.00 N.P. ⁽¹⁾	V _{Ed} = 0.00 N.P. ⁽²⁾	V _{Ed} = 0.00 N.P. ⁽²⁾	N.P. ⁽³⁾	N.P. ⁽³⁾	N.P. ⁽⁸⁾	N.P. ⁽⁹⁾	M _{Ed} = 0.00 N.P. ⁽⁴⁾	N.P. ⁽⁵⁾	N.P. ⁽⁵⁾	CUMPLE h = 7.0
N21/N4	$\eta = 7.3$	N _{Ed} = 0.00 N.P. ⁽⁷⁾	M _{Ed} = 0.00 N.P. ⁽¹⁾	M _{Ed} = 0.00 N.P. ⁽¹⁾	V _{Ed} = 0.00 N.P. ⁽²⁾	V _{Ed} = 0.00 N.P. ⁽²⁾	N.P. ⁽³⁾	N.P. ⁽³⁾	N.P. ⁽⁸⁾	N.P. ⁽⁹⁾	M _{Ed} = 0.00 N.P. ⁽⁴⁾	N.P. ⁽⁵⁾	N.P. ⁽⁵⁾	CUMPLE h = 7.3
N3/N21	$\eta = 5.3$	N _{Ed} = 0.00 N.P. ⁽⁷⁾	M _{Ed} = 0.00 N.P. ⁽¹⁾	M _{Ed} = 0.00 N.P. ⁽¹⁾	V _{Ed} = 0.00 N.P. ⁽²⁾	V _{Ed} = 0.00 N.P. ⁽²⁾	N.P. ⁽³⁾	N.P. ⁽³⁾	N.P. ⁽⁸⁾	N.P. ⁽⁹⁾	M _{Ed} = 0.00 N.P. ⁽⁴⁾	N.P. ⁽⁵⁾	N.P. ⁽⁵⁾	CUMPLE h = 5.3
N21/N23	$\eta = 0.5$	$\eta = 2.1$	x: 5 m $\eta = 4.6$	M _{Ed} = 0.00 N.P. ⁽¹⁾	x: 5 m $\eta = 2.3$	V _{Ed} = 0.00 N.P. ⁽²⁾	$\eta < 0.1$	N.P. ⁽³⁾	x: 5 m $\eta = 6.2$	$\eta < 0.1$	M _{Ed} = 0.00 N.P. ⁽⁴⁾	N.P. ⁽⁵⁾	N.P. ⁽⁵⁾	CUMPLE h = 6.2
N23/N24	$\eta = 0.3$	$\eta = 1.3$	x: 5 m $\eta = 4.5$	M _{Ed} = 0.00 N.P. ⁽¹⁾	x: 5 m $\eta = 2.2$	V _{Ed} = 0.00 N.P. ⁽²⁾	$\eta < 0.1$	N.P. ⁽³⁾	x: 5 m $\eta = 5.5$	$\eta < 0.1$	M _{Ed} = 0.00 N.P. ⁽⁴⁾	N.P. ⁽⁵⁾	N.P. ⁽⁵⁾	CUMPLE h = 5.5
N24/N25	$\eta = 0.1$	$\eta = 0.9$	x: 4.62 m $\eta = 4.1$	M _{Ed} = 0.00 N.P. ⁽¹⁾	x: 4.62 m $\eta = 2.1$	V _{Ed} = 0.00 N.P. ⁽²⁾	$\eta < 0.1$	N.P. ⁽³⁾	x: 4.62 m $\eta = 4.8$	$\eta < 0.1$	M _{Ed} = 0.00 N.P. ⁽⁴⁾	N.P. ⁽⁵⁾	N.P. ⁽⁵⁾	CUMPLE h = 4.8
N25/N26	N _{Ed} = 0.00 N.P. ⁽⁶⁾	$\eta = 0.5$	x: 4.62 m $\eta = 4.0$	M _{Ed} = 0.00 N.P. ⁽¹⁾	x: 4.62 m $\eta = 2.1$	V _{Ed} = 0.00 N.P. ⁽²⁾	$\eta < 0.1$	N.P. ⁽³⁾	x: 4.62 m $\eta = 4.5$	$\eta < 0.1$	M _{Ed} = 0.00 N.P. ⁽⁴⁾	N.P. ⁽⁵⁾	N.P. ⁽⁵⁾	CUMPLE h = 4.5
N26/N27	N _{Ed} = 0.00 N.P. ⁽⁶⁾	$\eta = 0.3$	x: 0 m $\eta = 4.0$	M _{Ed} = 0.00 N.P. ⁽¹⁾	x: 0 m $\eta = 2.1$	V _{Ed} = 0.00 N.P. ⁽²⁾	$\eta < 0.1$	N.P. ⁽³⁾	x: 0 m $\eta = 4.2$	$\eta < 0.1$	M _{Ed} = 0.00 N.P. ⁽⁴⁾	N.P. ⁽⁵⁾	N.P. ⁽⁵⁾	CUMPLE h = 4.2
N27/N28	$\eta < 0.1$	$\eta = 0.6$	x: 0 m $\eta = 4.0$	M _{Ed} = 0.00 N.P. ⁽¹⁾	x: 0 m $\eta = 2.1$	V _{Ed} = 0.00 N.P. ⁽²⁾	$\eta < 0.1$	N.P. ⁽³⁾	x: 0 m $\eta = 4.5$	$\eta < 0.1$	M _{Ed} = 0.00 N.P. ⁽⁴⁾	N.P. ⁽⁵⁾	N.P. ⁽⁵⁾	CUMPLE h = 4.5
N28/N29	$\eta = 0.1$	$\eta = 0.9$	x: 0 m $\eta = 4.1$	M _{Ed} = 0.00 N.P. ⁽¹⁾	x: 0 m $\eta = 2.1$	V _{Ed} = 0.00 N.P. ⁽²⁾	$\eta < 0.1$	N.P. ⁽³⁾	x: 0 m $\eta = 4.8$	$\eta < 0.1$	M _{Ed} = 0.00 N.P. ⁽⁴⁾	N.P. ⁽⁵⁾	N.P. ⁽⁵⁾	CUMPLE h = 4.8
N29/N30	$\eta = 0.3$	$\eta = 1.3$	x: 0 m $\eta = 4.1$	M _{Ed} = 0.00 N.P. ⁽¹⁾	x: 0 m $\eta = 2.2$	V _{Ed} = 0.00 N.P. ⁽²⁾	$\eta < 0.1$	N.P. ⁽³⁾	x: 0 m $\eta = 5.2$	$\eta < 0.1$	M _{Ed} = 0.00 N.P. ⁽⁴⁾	N.P. ⁽⁵⁾	N.P. ⁽⁵⁾	CUMPLE h = 5.2
N30/N22	$\eta = 0.5$	$\eta = 2.0$	x: 0 m $\eta = 4.3$	M _{Ed} = 0.00 N.P. ⁽¹⁾	x: 0 m $\eta = 2.2$	V _{Ed} = 0.00 N.P. ⁽²⁾	$\eta < 0.1$	N.P. ⁽³⁾	x: 0 m $\eta = 5.9$	$\eta < 0.1$	M _{Ed} = 0.00 N.P. ⁽⁴⁾	N.P. ⁽⁵⁾	N.P. ⁽⁵⁾	CUMPLE h = 5.9
N18/N22	$\eta = 5.4$	N _{Ed} = 0.00 N.P. ⁽⁷⁾	M _{Ed} = 0.00 N.P. ⁽¹⁾	M _{Ed} = 0.00 N.P. ⁽¹⁾	V _{Ed} = 0.00 N.P. ⁽²⁾	V _{Ed} = 0.00 N.P. ⁽²⁾	N.P. ⁽³⁾	N.P. ⁽³⁾	N.P. ⁽⁸⁾	N.P. ⁽⁹⁾	M _{Ed} = 0.00 N.P. ⁽⁴⁾	N.P. ⁽⁵⁾	N.P. ⁽⁵⁾	CUMPLE h = 5.4
N22/N17	$\eta = 7.4$	N _{Ed} = 0.00 N.P. ⁽⁷⁾	M _{Ed} = 0.00 N.P. ⁽¹⁾	M _{Ed} = 0.00 N.P. ⁽¹⁾	V _{Ed} = 0.00 N.P. ⁽²⁾	V _{Ed} = 0.00 N.P. ⁽²⁾	N.P. ⁽³⁾	N.P. ⁽³⁾	N.P. ⁽⁸⁾	N.P. ⁽⁹⁾	M _{Ed} = 0.00 N.P. ⁽⁴⁾	N.P. ⁽⁵⁾	N.P. ⁽⁵⁾	CUMPLE h = 7.4
N30/N19	$\eta = 7.2$	N _{Ed} = 0.00 N.P. ⁽⁷⁾	M _{Ed} = 0.00 N.P. ⁽¹⁾	M _{Ed} = 0.00 N.P. ⁽¹⁾	V _{Ed} = 0.00 N.P. ⁽²⁾	V _{Ed} = 0.00 N.P. ⁽²⁾	N.P. ⁽³⁾	N.P. ⁽³⁾	N.P. ⁽⁸⁾	N.P. ⁽⁹⁾	M _{Ed} = 0.00 N.P. ⁽⁴⁾	N.P. ⁽⁵⁾	N.P. ⁽⁵⁾	CUMPLE h = 7.2
N20/N30	$\eta = 6.6$	N _{Ed} = 0.00 N.P. ⁽⁷⁾	M _{Ed} = 0.00 N.P. ⁽¹⁾	M _{Ed} = 0.00 N.P. ⁽¹⁾	V _{Ed} = 0.00 N.P. ⁽²⁾	V _{Ed} = 0.00 N.P. ⁽²⁾	N.P. ⁽³⁾	N.P. ⁽³⁾	N.P. ⁽⁸⁾	N.P. ⁽⁹⁾	M _{Ed} = 0.00 N.P. ⁽⁴⁾	N.P. ⁽⁵⁾	N.P. ⁽⁵⁾	CUMPLE h = 6.6
<p>Notación:</p> <p>N: Resistencia a tracción N_c: Resistencia a compresión M_y: Resistencia a flexión eje Y M_z: Resistencia a flexión eje Z V_z: Resistencia a corte Z V_y: Resistencia a corte Y M_VV_z: Resistencia a momento flector Y y fuerza cortante Z combinados M_zV_y: Resistencia a momento flector Z y fuerza cortante Y combinados NM,M_z: Resistencia a flexión y axil combinados NM,M_zV_yV_z: Resistencia a flexión, axil y cortante combinados M_t: Resistencia a torsión M_VV_z: Resistencia a cortante Z y momento torsor combinados M_VV_y: Resistencia a cortante Y y momento torsor combinados x: Distancia al origen de la barra h: Coeficiente de aprovechamiento (%) N.P.: No procede</p> <p>Comprobaciones que no proceden (N.P.):</p> <p>⁽¹⁾ La comprobación no procede, ya que no hay momento flector. ⁽²⁾ La comprobación no procede, ya que no hay esfuerzo cortante. ⁽³⁾ No hay interacción entre momento flector y esfuerzo cortante para ninguna combinación. Por lo tanto, la comprobación no procede. ⁽⁴⁾ La comprobación no procede, ya que no hay momento torsor. ⁽⁵⁾ No hay interacción entre momento torsor y esfuerzo cortante para ninguna combinación. Por lo tanto, la comprobación no procede. ⁽⁶⁾ La comprobación no procede, ya que no hay axil de tracción. ⁽⁷⁾ La comprobación no procede, ya que no hay axil de compresión. ⁽⁸⁾ No hay interacción entre axil y momento flector ni entre momentos flectores en ambas direcciones para ninguna combinación. Por lo tanto, la comprobación no procede. ⁽⁹⁾ No hay interacción entre momento flector, axil y cortante para ninguna combinación. Por lo tanto, la comprobación no procede.</p>														

2.3.3.- Sismo

Norma utilizada: NCSE-02

Norma de Construcción Sismorresistente NCSE-02

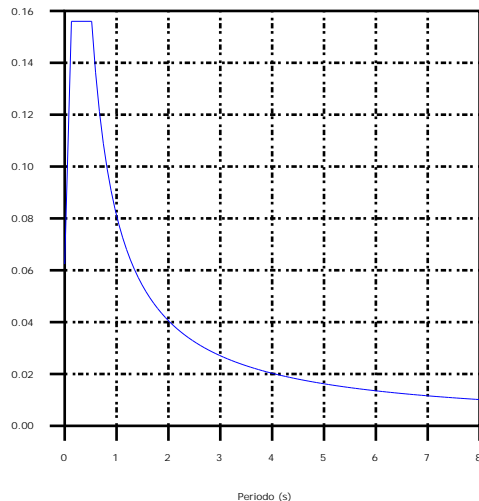
Método de cálculo: Análisis mediante espectros de respuesta (NCSE-02, 3.6.2)



2.3.3.1.- Espectro de cálculo

2.3.3.1.1.- Espectro elástico de aceleraciones

Coef. Amplificación (g)



Coef. Amplificación:

$$S_{ae} = a_c \cdot \alpha(T)$$

Donde:

$$\alpha(T) = 1 + (2,5 \cdot v - 1) \cdot \frac{T}{T_A} \quad T < T_A$$

$$\alpha(T) = 2,5 \cdot v \quad T_A \leq T \leq T_B$$

$$\alpha(T) = \frac{K \cdot C}{T} \cdot v \quad T > T_B$$

es el espectro normalizado de respuesta elástica.

El valor máximo de las ordenadas espectrales es 0.156 g.

NCSE-02 (2.2, 2.3 y 2.4)

Parámetros necesarios para la definición del espectro

 a_c : Aceleración sísmica de cálculo (NCSE-02, 2.2) a_c : 0.062 g

$$a_c = S \cdot \rho \cdot a_b$$

 a_b : Aceleración básica (NCSE-02, 2.1 y Anejo 1) a_b : 0.060 g r : Coeficiente adimensional de riesgo r : 1.00

Tipo de construcción: Construcciones de importancia normal

 S : Coeficiente de amplificación del terreno (NCSE-02, 2.2) S : 1.04

$$S = \frac{C}{1,25}$$

$$\rho \cdot a_b \leq 0,1g$$

$$S = \frac{C}{1,25} + 3,33 \cdot (\rho \cdot \frac{a_b}{g} - 0,1) \cdot (1 - \frac{C}{1,25})$$

$$0,1g < \rho \cdot a_b < 0,4g$$

$$S = 1,0$$

$$0,4g \leq \rho \cdot a_b$$

 C : Coeficiente del terreno (NCSE-02, 2.4) C : 1.30

Tipo de suelo (NCSE-02, 2.4): Tipo II

 a_b : Aceleración básica (NCSE-02, 2.1 y Anejo 1) a_b : 0.060 g r : Coeficiente adimensional de riesgo r : 1.00 n : Coeficiente dependiente del amortiguamiento (NCSE-02, 2.5) n : 1.00

$$v = \left(\frac{5}{\Omega} \right)^{0,4}$$

 W : Amortiguamiento (NCSE-02, Tabla 3.1) W : 5.00 % T_A : Periodo característico del espectro (NCSE-02, 2.3) T_A : 0.13 s

$$T_A = \frac{K \cdot C}{10}$$

 K : Coeficiente de contribución (NCSE-02, 2.1 y Anejo 1) K : 1.00 C : Coeficiente del terreno (NCSE-02, 2.4) C : 1.30

Tipo de suelo (NCSE-02, 2.4): Tipo II

 T_B : Periodo característico del espectro (NCSE-02, 2.3) T_B : 0.52 s



Listados

Pórtico frontal 1

Fecha: 10/06/15

$$T_A = \frac{K \cdot C}{2,5}$$

K: Coeficiente de contribución (NCSE-02, 2.1 y Anejo 1)

K : 1.00

C: Coeficiente del terreno (NCSE-02, 2.4)

C : 1.30

Tipo de suelo (NCSE-02, 2.4): Tipo II

2.3.3.1.2.- Espectro de diseño de aceleraciones

El espectro de diseño sísmico se obtiene reduciendo el espectro elástico por el coeficiente (μ) correspondiente a cada dirección de análisis.

$$S_a = a_c \cdot \left(1 + \left(2,5 \cdot \frac{v}{\mu} - 1 \right) \cdot \frac{T}{T_A} \right) \quad T < T_A$$

$$S_a = a_c \cdot 2,5 \cdot \frac{v}{\mu} \quad T_A \leq T \leq T_B$$

$$S_a = a_c \cdot \frac{K \cdot C}{T} \cdot \frac{v}{\mu} \quad T > T_B$$

b: Coeficiente de respuesta

b : 0.50

$$\beta = \frac{v}{\mu}$$

n: Coeficiente dependiente del amortiguamiento (NCSE-02, 2.5)

n : 1.00

$$v = \left(\frac{5}{\Omega} \right)^{0,4}$$

W: Amortiguamiento (NCSE-02, Tabla 3.1)

W : 5.00 %

m: Coeficiente de comportamiento por ductilidad (NCSE-02, 3.7.3.1)

m : 2.00

Ductilidad (NCSE-02, Tabla 3.1): Ductilidad baja

a_c : Aceleración sísmica de cálculo (NCSE-02, 2.2)

a_c : 0.062 g

K: Coeficiente de contribución (NCSE-02, 2.1 y Anejo 1)

K : 1.00

C: Coeficiente del terreno (NCSE-02, 2.4)

C : 1.30

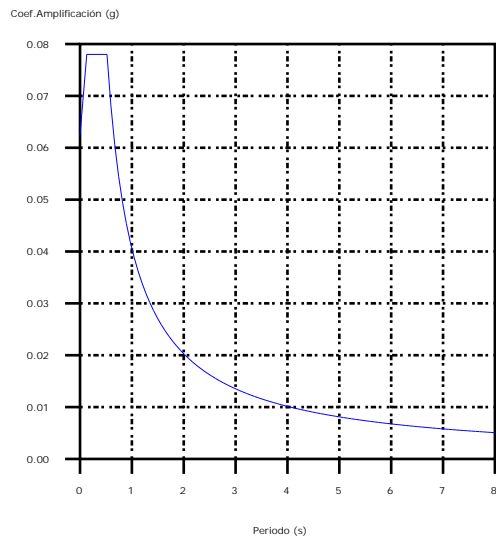
T_A : Periodo característico del espectro (NCSE-02, 2.3)

T_A : 0.13 s

T_B : Periodo característico del espectro (NCSE-02, 2.3)

T_B : 0.52 s

NCSE-02 (3.6.2.2)

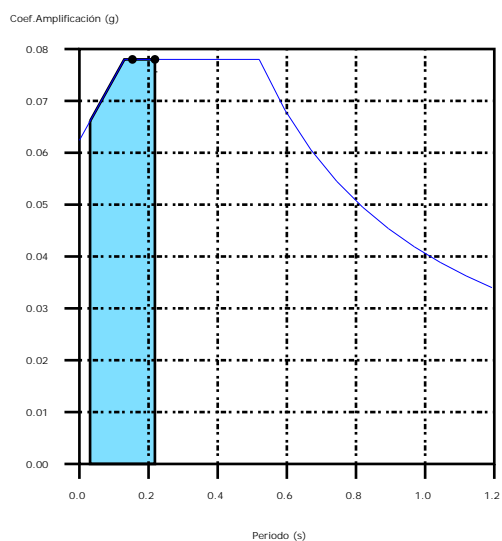


2.3.3.2.- Coeficientes de participación

	T	Lx	Ly	Mx	My	Hipótesis X(1)	Hipótesis Y(1)
Modo 1	0.218	1	0	71.54 %	0 %	R = 2 A = 0.765 m/s ² D = 0.92432 mm	R = 2 A = 0.765 m/s ² D = 0.92432 mm
Modo 2	0.153	0	1	0 %	79.71 %	R = 2 A = 0.765 m/s ² D = 0.45552 mm	R = 2 A = 0.765 m/s ² D = 0.45552 mm
Modo 3	0.043	0	1	0 %	0 %	R = 2 A = 0.663 m/s ² D = 0.03137 mm	R = 2 A = 0.663 m/s ² D = 0.03137 mm
Modo 4	0.215	1	0	0.51 %	0 %	R = 2 A = 0.765 m/s ² D = 0.89572 mm	R = 2 A = 0.765 m/s ² D = 0.89572 mm
Modo 5	0.039	0	1	0 %	20.29 %	R = 2 A = 0.658 m/s ² D = 0.02533 mm	R = 2 A = 0.658 m/s ² D = 0.02533 mm
Modo 6	0.031	0	1	0 %	0 %	R = 2 A = 0.648 m/s ² D = 0.01563 mm	R = 2 A = 0.648 m/s ² D = 0.01563 mm
Total				72.05 %	100 %		

- T = Periodo de vibración en segundos.
- Lx, Ly = Coeficientes de participación normalizados en cada dirección del análisis.
- Mx, My = Porcentaje de masa desplazada por cada modo en cada dirección del análisis.
- R = Relación entre la aceleración de cálculo usando la ductilidad asignada a la estructura y la aceleración de cálculo obtenida sin ductilidad.
- A = Aceleración de cálculo, incluyendo la ductilidad.
- D = Coeficiente del modo, equivale al desplazamiento máximo del grado de libertad dinámico.

Representación de los periodos modales



Se representa el rango de periodos abarcado por los modos estudiados, con indicación de los modos en los que se desplaza más del 30% de la masa:

Hipótesis (1)

	T (s)	A (g)
Modo 1	0.218	0.078
Modo 2	0.153	0.078